

دانشگاه صنعتی شهرود

دانشکده معدن و ژئوفیزیک

پایان نامه کارشناسی ارشد

طراحی سیستم حمل و نقل حین اجرای تونل انتقال آب از سد امیرکبیر به تصفیه خانه شماره ۶ تهران

دانشجو:

علی تبریزی

اساتید راهنما :

دکتر محمد عطایی

دکتر رضا کاکائی

استاد مشاور:

مهندس محسن کریمی

تقدیم به:

پدر عزیزم

و مادر مهربانم

ملمان نخستین زندگیم

آنان که خمیدند، تا راست قامت بمانم

آنان که موی سپید گردند، تا روی سپید بمانم.

تقدیر و تشکر:

الهی شکر از یاریت که پاهای لرزان مرا در راه علم توانا ساختی و به امیدت که تا همیشه در وادی علم استوارشان سازی.

اکنون که این پایان نامه به پایان رسیده است، برخود لازم می دانم از تمام کسانی که مرا در انجام این پایان نامه یاری کردند، تشکر نمایم. از آقایان دکتر محمد عطایی و دکتر رضا کاکائی که اساتید راهنمای اینجانب بودند و همچنین از جناب آقای مهندس محسن کریمی معاونت محترم فنی و اجرایی مؤسسه حرا که زحمت مشاوره این پایان نامه را بر عهده داشتند، تشکر می نمایم.

جا دارد از آقایان مهندس گلیان و مهندس فرزی در مؤسسه حرا و آقای مهندس طاهری دوست در دفتر فنی کارگاه مؤسسه حرا و آقایان مهندس شمسی و مهندس حسن پور در مؤسسه مهندسین مشاور ساحل که در جمع آوری داده، با اینجانب همکاری کردند و همچنین مهندس نادر زیاری و تمامی دوستانم در دانشکده معدن و ژئوفیزیک تشکر نمایم.

چکیده

در سی سال اخیر طرحهای مطالعاتی و اجرایی تأمین، انتقال و تصفیه آب مطابق با رشد روز افزون جمعیت و گسترش سایر تأسیسات زیر بنایی و توسعه شهری انجام نشده و لذا در سالهای آینده برای تأمین آب مورد نیاز شهر تهران با حالتی بحرانی تر مواجه خواهد شد. به منظور تأمین آب شرب بخش غربی شهر تهران تونل انتقال آب از پایین دست سد امیر کبیر به تصفیه خانه شماره ۶ (واقع در شمال غرب تهران، شمال شهرک راه آهن، مجاور ضلع شمالی شهرک نیروی انتظامی) در حال احداث می باشد.

قطعه اول تونل انتقال آب از پایین دست سد تنظیمی کرج به تصفیه خانه شماره ۶ تهران حد فاصل تصفیه خانه شماره ۶ واقع در اراضی کن تا اراضی کندر به طول ۱۵۹۸۰ متر و شیب ۰/۱۳ درصد و با قطر حفاری ۴/۶۵ متر طراحی شده است. در این پایان نامه سیستم ترابری در حین احداث تونل با دو هدف استفاده از حداکثر قابلیت ماشین تونلزنی تمام مقطع برای پیشروی و بیشینه سازی پیشروی در هر سیکل طراحی شده است. برای این منظور ابتدا با بررسی عوامل زمین‌شناسی مسیر تونل و زمانبندی انجام پروژه، دستگاه ماشین تونلزنی تمام مقطع سپری مضاعف برای حفر و احداث قطعه اول تونل انتقال آب کرج انتخاب شده و سپس با توجه به شرایط زمین، ماشین و با استفاده از روش تجربی Q_{TBM} ، عملکرد ماشین تونلزنی تمام مقطع برای هر یک از واحدهای زمین‌شناسی مهندسی تونل کرج پیش بینی شده است. در نهایت به دلیل مسائل فنی و اقتصادی برای قطعه اول تونل کرج سیستم ترابری ریلی حین احداث تونل در نظر گرفته شده که با توجه به مقطع کوچک تونل تنها می توان از یک خط ریل در طول تونل استفاده کرد و با افزایش پیشروی تونل، به تردد چند قطار در سیستم نیاز می باشد. بنابراین به منظور جلوگیری از تداخل و

ترافیک، لازم است در مترازهایی از تونل سوئیچ کالیفرنیا نصب شود. از طرفی با توجه به هدف تعریف شده و محدودیت زمانی در تکمیل پروژه توسط پیمانکار، راندمان پیشروی تونل با اهمیت بوده و سیستم ترابری D.S.TBM حین احداث تونل می باشد به گونه ای که عامل محدود کننده برای پیشروی دستگاه تونل این احداث تلقی نشود. لذا در این پایان نامه تحلیلهای جامعی به منظور زمانبندی سیستم ترابری حین احداث تونل کرج انجام شده است. مطالعات فنی و بررسی های اقتصادی نشان می دهد که برای احداث این تونل یک سوئیچ کالیفرنیا باید در کیلومتر ۷/۵ تا ۸ تونل نصب شود و به منظور نیازهای سیستم ترابری در حین احداث تونل در ابتدا از دو دستگاه قطار استفاده خواهد شد اما به تدریج تعداد قطارها در حدود کیلومتر ۵ به بعد به ۳ دستگاه و در حدود کیلومتر ۷/۵ تا ۸ به بعد به ۴ دستگاه افزایش خواهد یافت.

عنوان مطالب

شماره صفحه

فصل اول : کلیات

۱ ۱-۱- مقدمه
۳ ۲-۱- خلاصه‌ای از طرح
۴ ۳-۱- موقعیت جغرافیایی و راه‌های دسترسی به منطقه
۶ ۴-۱- مروری بر کارهای انجام شده و اطلاعات موجود
۷ ۵-۱- هدف پایان نامه
۷ ۶-۱- سازماندهی پایان نامه

فصل دوم : زمین‌شناسی، زمین‌شناسی مهندسی

۱۱ ۱-۲- مقدمه
۱۱ ۲-۱- زمین‌شناسی منطقه
۱۴ ۲-۲- تفکیک واحدهای زمین‌شناسی مهندسی مسیر تونل
۱۷ ۲-۳- تشریح ویژگیهای توده سنگ‌های مسیر تونل
۱۸ ۲-۴- پارامترهای فیزیکی و مکانیکی ماده سنگ
۲۰ ۲-۴-۱- مشخصات ناپیوستگی‌ها
۲۷ ۲-۴-۲- طبقه بندی مهندسی توده سنگ
۲۸ ۲-۴-۳- پارامترهای مقاومتی توده سنگ

فصل سوم : انتخاب روش مناسب برای حفر تونل

۳۲ ۱-۳- مقدمه
۳۲ ۲-۱- دلایل انتخاب ماشینهای تونلزنانی تمام مقطع برای حفر تونل
۳۴ ۲-۲- انواع مختلف ماشینهای تونلزنانی مورد استفاده در محیط‌های سنگی
۳۵ ۲-۳-۱- ماشین تونلزنانی تمام مقطع بدون سپر

۴۱	- ماشین تونلزنی تمام مقطع سپردار.....	۲-۳-۳
۴۲	- ماشین تونلزنی تمام مقطع سپری منفرد.....	۲-۳-۳
۴۷	- ماشین تونلزنی تمام مقطع سپری مضاعف.....	۲-۲-۳-۳
۴۸	- ماشین تونلزنی تمام مقطع سپری تعادلی با فشار زمین.....	۳-۲-۳-۳
۵۱	- انتخاب ماشین تونلزنی.....	۴-۳

فصل چهارم : پیش‌بینی سرعت نفوذ و سرعت پیشروی ماشین در مسیر تونل کرج بر اساس روش تجربی Q_{TBM}

۶۲	- مقدمه.....	۱-۴
۶۳	- مفاهیم اساسی کارکرد TBM.....	۲-۴
۶۳	- سرعت نفوذ.....	۱-۲-۴
۶۳	- بهره‌وری TBM.....	۲-۲-۴
۶۴	- سرعت پیشروی.....	۳-۲-۴
۶۴	- عوامل موثر در سرعت نفوذ TBM.....	۳-۴
۶۴	- شرایط زمین.....	۱-۳-۴
۶۸	- ویژگی های ماشین.....	۲-۳-۴
۶۹	- پیش بینی کارکرد ماشین توسط روش تجربی Q_{TBM}	۴-۴
۷۰	- رده بندی Q و Q_{TBM}	۱-۴-۴
۷۴	- روابط کلی بین سرعت نفوذ و سرعت پیشروی با Q_{TBM}	۲-۴-۴
۷۸	- شرایط زمین شناسی مسیر تونل.....	۵-۴
۷۸	- محاسبات پیش بینی عملکرد TBM توسط Q_{TBM}	۶-۴

فصل پنجم : طراحی سیستم ترابری حین اجرای تونل

۹۰	- مقدمه.....	۱-۵
۹۱	- انتخاب نوع سیستم حمل و نقل.....	۲-۵

۹۲	- مبانی طراحی سیستم تراابری
۹۲	۱-۳-۵ - تعیین طول پیشروی در هر سیکل حفاری
۹۴	۱-۱-۳-۵ - عرض قابل عبور و مرور در تونل
۹۶	۲-۱-۳-۵ - محدودیت ناشی از ابعاد سگمنت هنگام چرخش و قرارگیری بر روی تغذیه کننده نصاب
۹۹	۳-۱-۳-۵ - اختلاف ارتفاعی که لازم است سوئیچ کالیفرنیا ایجاد کند
۱۰۰	۲-۲-۳-۵ - شیب تونل، مشخصات هندسی مقطع و مشخصات فیزیکی سنگهای خرد شده
۱۰۱	۳-۳-۵ - مشخصات پوشش تونل
۱۰۲	۴-۳-۵ - تقسیم بندی عملیات اجرایی و مقادیر کمی مواد و سنگهای خرد شده برای حمل
۱۰۳	۵-۳-۵ - تراابری خارج تونل
۱۰۶	۶-۳-۵ - مشخصات ریل و سوئیچ ها
۱۰۹	۷-۳-۵ - ریل گذاری
۱۱۰	۸-۳-۵ - مشخصات واگن های مورد نیاز
۱۱۱	۹-۳-۵ - واگنهای حمل خاک
۱۱۲	۱۰-۳-۵ - واگن های حمل و نقل پرسنل
۱۱۲	۱۱-۳-۵ - واگنهای کفی و مخزن مربوطه جهت حمل شن نخودی
۱۱۳	۱۲-۳-۵ - واگن های حمل سگمنت
۱۱۴	۱۳-۳-۵ - واگنهای کفی جهت حمل سیمان و وسائل یدکی و قطعات تعویض شده ..
۱۱۴	۱۴-۳-۵ - واگن های کفی جهت حمل لوله و ریل و تراورس ..
۱۱۶	۱۵-۳-۵ - انتخاب نوع لوکوموتیو
۱۱۸	۱۶-۳-۵ - روابط بین نیروی کشش و نیروی مقاوم و توان
۱۲۰	۱۷-۳-۵ - نیروهای مقاوم در طی حرکت قطار
۱۲۰	۱۸-۳-۵ - مقاومت غلتشی

۱۲۱	۵-۳-۱۰-۲- مقاومت شبیب
۱۲۲	۵-۳-۱۰-۳- مقاومت لختی یا اینرسی
۱۲۴	۵-۳-۱۰-۴- مقاومت در قوس ها
۱۲۶	۵-۳-۱۱- تعیین مجموع نیروهای مقاوم در طی حرکت قطار، هنگام برگشت
۱۲۸	۵-۳-۱۲- تعیین مجموع نیروهای مقاوم در طی حرکت قطار، در هنگام رفت
۱۳۰	۵-۳-۱۳- تعیین وزن و توان لوکوموتیو
۱۳۴	۵-۴- زمان بندی سیکل عملیات تراپری و محاسبه تعداد تجهیزات مورد نیاز
۱۳۵	۵-۴-۱- زمان بارگیری و تخلیه در سیستم پشتیبانی
۱۴۴	۵-۴-۲- زمان بارگیری و تخلیه در محوطه ترانشه
۱۴۵	۵-۴-۳- زمانبندی سیستم حمل و نقل از ابتدا تا انتهای تونل
۱۴۷	۵-۴-۳-۱- زمانبندی با در نظر گرفتن حالت ۱
۱۵۴	۵-۴-۳-۲- زمان بندی با در نظر گرفتن حالت ۲
۱۶۸	۵-۴-۴- تعداد تجهیزات مورد نیاز
۱۷۰	۵-۴-۵- عملیات بارگیری و تخلیه در محوطه ترانشه

فصل ششم : نتیجه‌گیری و پیشنهادات

۱۷۳	۶-۱- نتیجه‌گیری
۱۷۶	۶-۲- پیشنهادات
۱۷۸	فهرست منابع

ضمائیم

۱۸۱	ضمیمه الف : جداول تعیین پارامتر های سیستم طبقه بندی مهندسی توده سنگ (Q)
۱۸۷	ضمیمه ب : جدول مربوط به جهتداری ناپیوستگیهای مرثر در حفاری، سطح سینه کار و زاویه بین آنها

ضمیمه ج : مقادیر پارامترهای ورودی مورد نیاز برای روش Q _{TBM}	۱۸۹
و نتایج محاسبات برای هر مقطع	
ضمیمه د : مشخصات فنی تجهیزات Rolling Stock شرکت MSD	۲۱۹
ضمیمه ه : نمودارهای گانت و CPM در سیستم پشتیبانی	
برای هر واحد زمین شناسی مهندسی	۲۳۱

عنوان اشکال

شماره صفحه

فصل اول : کلیات

..... ۴	شکل ۱-۱ - پلان مسیر تونل (قطعه' ET-K) طول کل ۱۵۹۸۰ متر
..... ۶	شکل ۲-۱ - موقعیت جغرافیایی و راههای دسترسی به بخش‌های مختلف تونل انتقال آب کرج
..... ۹	شکل ۳-۱ - سازماندهی پایان نامه

فصل دوم : زمین شناسی، زمین‌شناسی مهندسی

..... ۱۲	شکل ۲-۱ - نقشه زمین شناسی منطقه (چهارگوش کرج با مقیاس (۱:۱۰۰۰۰)
----------	---

فصل سوم : انتخاب روش مناسب برای حفر تونل

..... ۳۶	شکل ۳-۱-۳ - محدوده کاری ماشینهای حفر تونل درسنگ
..... ۳۸	شکل ۳-۲-۳ - سیکل کامل حفاری ماشین تونلزنی تمام مقطع بدون سپر نوع محور اصلی
..... ۳۹	شکل ۳-۳-۳ - سیکل کامل حفاری ماشین تونلزنی تمام مقطع بدون سپر نوع دو کفشه
..... ۴۰	شکل ۳-۴-۳ - فلوچارت کلی سیکل پیشروی ماشین تونلزنی تمام مقطع بدون سپر
..... ۴۵	شکل ۳-۵-۳ - سیکل کامل حفاری ماشین تونلزنی تمام مقطع سپری منفرد
..... ۴۶	شکل ۳-۶-۳ - فلوچارت کلی سیکل پیشروی ماشین تونلزنی تمام مقطع سپری منفرد
..... ۴۸	شکل ۳-۷-۳ - سیکل حفاری D.S.TBM در زمینهای نیمه خرد شده یا مناسب در حالت کاری Double
..... ۴۹	شکل ۳-۸-۳ - فلوچارت کلی سیکل پیشروی ماشین D.S.TBM در زمینهای با مقاومت مناسب
..... ۵۰	شکل ۳-۹-۳ - سیکل کامل حفاری D.S.TBM در زمینهای بسیار خرد شده و ریزشی در حالت کاری Single

فصل چهارم : پیش‌بینی سرعت نفوذ و سرعت پیشروی ماشین در مسیر تونل کرج بر اساس روش تجربی Q_{TBM}

..... ۶۷	شکل ۴-۱ - چهار رده عمدۀ شرایط زمین در بحث تونل‌سازی
----------	---

شکل ۲-۴- رابطه عمومی میان Q ، سرعت نفوذ و سرعت پیشروی.....	۷۰
شکل ۳-۴- دامنه تغییرات شاخص عمرتیغه در سنگهای مختلف.....	۷۲
شکل ۴-۴- نفوذ تیغه غلتان وقتی $\beta = 90^\circ$ باشد کمترین کارایی را دارد که به شدت به ناهمسانی شاخص مقاومت بار نقطه ای سنگ و استگی دارد.....	۷۴
شکل ۴-۵- روند کلی مورد انتظار برای سرعت نفوذ نسبت به جهتداری بافت و نسبت سر سختی سنگ $(\frac{\sigma_c}{I_{50}})$	۷۴
شکل ۴-۶- تعیین مقدار شیب m_1 با استفاده از مقدار Q	۷۵
شکل ۷-۴- رابطه پیشنهادی بین سرعت نفوذ و سرعت پیشروی Q_{TBM}	۷۶
شکل ۸-۴- فلوچارت کلی روش Q_{TBM}	۷۷
شکل ۹-۴- هیستوگرام تغییرات سرعت نفوذ و سرعت پیشروی TBM در واحدهای زمین شناسی مهندسی مسیر تونل با استفاده از مدل Q_{TBM}	۸۸
شکل ۱۰-۴- درصد طول واحدهای زمین شناسی مهندسی مسیر تونل	۸۸

فصل پنجم : طراحی سیستم ترابری حین اجرای تونل

شکل ۱-۵- نحوه قرارگیری سگمنتها بر روی واگن حمل سگمنت.....	۹۳
شکل ۲-۵- مقطعی فرضی از تونل در محل نصب سوئیچ کالیفرنیا.....	۹۵
شکل ۳-۵- وضعیت چرخش سگمنت از نمای بالا هنگام قرارگیری بر روی تغذیه کننده نصاب..	۹۷
شکل ۴-۵- مشخصات هندسی مقطع عرضی تونل.....	۱۰۰
شکل ۵-۵- نمای عمومی ترانشه پرتال و متعلقات سیستم ترابری.....	۱۰۵
شکل ۶-۵- مقطع عرضی تونل در حالت نامتقارن در محدوده ای از سیستم پشتیبانی.....	۱۰۷
شکل ۷-۵- نمونه ای از مقطع عرضی تونل در حالت متقارن در محدوده ای از سیستم پشتیبانی.....	۱۰۷
شکل ۸-۵- نمونه سوئیچ کالیفرنیای ثابت به کار رفته در داخل تونل در حالت نامتقارن.....	۱۰۸
شکل ۹-۵- نمونه سوئیچ کالیفرنیای ثابت به کار رفته در داخل تونل در حالت متقارن.....	۱۰۸

۱۰۹	شکل ۱۰-۵ - تراورس های طراحی شده و جایگیری آن در کف تونل.....
۱۱۰	شکل ۱۱-۵ - مشخصات هندسی تراورس های مورد استفاده در ترانشه.....
۱۲۵	شکل ۱۲-۵ - نمایی شماتیک از قرارگیری قطار در شیب مسیر تونل هنگام برگشت.....
۱۲۷	شکل ۱۳-۵ - نمایی شماتیک از نحوه قرارگیری قطار بر روی شیب مسیر تونل، شیب کالیفرنیا سوئیچ، روی سوئیچ کالیفرنیا در هنگام برگشت.....
۱۲۹	شکل ۱۴-۵ - نمایی شماتیک از قرارگیری قطار در شیب مسیر تونل هنگام رفت.....
۱۳۰	شکل ۱۵-۵ نمایی شماتیک از نحوه قرارگیری قطار بر روی مسیر تونل، شیب سوئیچ کالیفرنیا و روی سوئیچ کالیفرنیا در هنگام رفت.....
۱۴۰	شکل ۱۶-۵ - نمودار گانت فعالیتهای انجام شده برای ۲ گام پیشروی با در نظر گرفتن سرعت نفوذ متوسط(حالت ۱).....
۱۴۱	شکل ۱۷-۵ - نمودار CPM فعالیتهای انجام شده برای ۲ گام پیشروی با در نظر گرفتن سرعت نفوذ متوسط(حالت ۱).....
۱۴۳	شکل ۱۸-۵ - نمودار گانت فعالیتهای انجام شده برای ۲ گام پیشروی با در نظر گرفتن سرعت نفوذ متوسط (حالت ۲).....
۱۴۴	شکل ۱۹-۵ -نمودار CPM فعالیتهای انجام شده برای ۲ گام پیشروی با در نظر گرفتن سرعت نفوذ متوسط(حالت ۲).....
۱۴۸	شکل ۲۰-۵ - نمودارهای گانت یک سیکل ترابری برای حالت ۱ زمانیکه دو قطار در سیستم تردد می کنند.....
۱۵۰	شکل ۲۱-۵ - نمودارهای گانت یک سیکل ترابری برای حالت ۱ زمانیکه سه قطار در سیستم تردد می کنند.....
۱۵۱	شکل ۲۲-۵ - نمودارهای گانت برای چند سیکل ترابری با سه قطار و سوئیچ کالیفرنیا.....
۱۵۱	شکل ۲۳-۵ - نمودارهای گانت یک سیکل ترابری برای حالت ۱ زمانیکه سوئیچ کالیفرنیا نصب و چهار قطار در سیستم تردد می کنند.....
۱۵۶	شکل ۲۴-۵ - نمودارهای گانت یک سیکل ترابری برای حالت ۲ زمانی که دو قطار در سیستم تردد می کنند.....

.....	شکل ۲۵-۵- نمودارهای گانت یک سیکل تراابری برای حالت ۲ زمانی که سه قطار در سیستم تردد می کنند.....	۱۵۷
.....	شکل ۲۶-۵- نمودارهای گانت یک سیکل تراابری برای حالت ۲ زمانیکه سوئیچ کالیفرنیا نصب و چهار قطار در سیستم تردد می کنند.....	۱۵۸
.....	شکل ۲۷-۵- نمودارهای گانت یک سیکل تراابری برای حالت ۲ زمانیکه سوئیچ کالیفرنیای دوم نصب و پنج قطار در سیستم تردد می کنند.....	۱۵۹
.....	شکل ۲۸-۵- نمودارهای گانت برای چهار سیکل تراابری با پنج قطار و دو سوئیچ کالیفرنیای ثابت.....	۱۶۱
.....	شکل ۲۹-۵- نمودارهای گانت یک سیکل تراابری (پس از اصلاح) برای حالت ۲ زمانیکه سوئیچ کالیفرنیای دوم نصب و پنج قطار در سیستم تردد می کنند.....	۱۴۴
.....	شکل ۳۰-۵- نمودارهای گانت برای چهار سیکل تراابری (پس از اصلاح) با پنج قطار و دو سوئیچ کالیفرنیای ثابت.....	۱۶۵

ضمائيم

شکل ۱-۱- نمودار گانت فعالیتهای انجام شده برای ۲ گام پیشروی
با در نظر گرفتن زمان حفاری در واحد Gta2 (حالت ۱) ۲۳۲

شکل ۱-۲- نمودار گانت فعالیتهای انجام شده برای ۲ گام پیشروی
با در نظر گرفتن زمان حفاری در واحد Gta3 (حالت ۱) ۲۳۳

شکل ۱-۳- نمودار گانت فعالیتهای انجام شده برای ۲ گام پیشروی
با در نظر گرفتن زمان حفاری در واحد Gta4 (حالت ۱) ۲۳۴

شکل ۱-۴- نمودار گانت فعالیتهای انجام شده برای ۲ گام پیشروی
با در نظر گرفتن زمان حفاری در واحد Sts1 (حالت ۱) ۲۳۵

شکل ۱-۵- نمودار گانت فعالیتهای انجام شده برای ۲ گام پیشروی
با در نظر گرفتن زمان حفاری در واحد Sts2 (حالت ۱) ۲۳۶

شکل ۱-۶- نمودار گانت فعالیتهای انجام شده برای ۲ گام پیشروی
با در نظر گرفتن زمان حفاری در واحد Sts2-3 (حالت ۱) ۲۳۷

- شکل ۵-۷- نمودار گانت فعالیتهای انجام شده برای ۲ گام پیشروی
با در نظر گرفتن زمان حفاری در واحد Tsh (حالت ۱) ۲۳۸
- شکل ۵-۸- نمودار گانت فعالیتهای انجام شده برای ۲ گام پیشروی
با در نظر گرفتن زمان حفاری در واحد Mdg (حالت ۱) ۲۳۹
- شکل ۵-۹- نمودار گانت فعالیتهای انجام شده برای ۲ گام پیشروی
با در نظر گرفتن زمان حفاری در واحد Gta1 (حالت ۲) ۲۴۰
- شکل ۵-۱۰- نمودار گانت فعالیتهای انجام شده برای ۲ گام پیشروی
با در نظر گرفتن زمان حفاری در واحد Cz (حالت ۲) ۲۴۰
- شکل ۵-۱۱- نمودار CPM فعالیتهای انجام شده برای ۲ گام پیشروی
با در نظر گرفتن زمان حفاری در واحد Gta2 (حالت ۱) ۲۴۱
- شکل ۵-۱۲- نمودار CPM فعالیتهای انجام شده برای ۲ گام پیشروی
با در نظر گرفتن زمان حفاری در واحد Gta3 (حالت ۱) ۲۴۱
- شکل ۵-۱۳- نمودار CPM فعالیتهای انجام شده برای ۲ گام پیشروی
با در نظر گرفتن زمان حفاری در واحد Gta4 (حالت ۱) ۲۴۱
- شکل ۵-۱۴- نمودار CPM فعالیتهای انجام شده برای ۲ گام پیشروی
با در نظر گرفتن زمان حفاری در واحد Sts1 (حالت ۱) ۲۴۲
- شکل ۵-۱۵- نمودار CPM فعالیتهای انجام شده برای ۲ گام پیشروی
با در نظر گرفتن زمان حفاری در واحد Sts2 (حالت ۱) ۲۴۲
- شکل ۵-۱۶- نمودار CPM فعالیتهای انجام شده برای ۲ گام پیشروی
با در نظر گرفتن زمان حفاری در واحد Sts2-3 (حالت ۱) ۲۴۲
- شکل ۵-۱۷- نمودار CPM فعالیتهای انجام شده برای ۲ گام پیشروی
با در نظر گرفتن زمان حفاری در واحد Tsh (حالت ۱) ۲۴۳
- شکل ۵-۱۸- نمودار CPM فعالیتهای انجام شده برای ۲ گام پیشروی
با در نظر گرفتن زمان حفاری در واحد Mdg (حالت ۱) ۲۴۳
- شکل ۵-۱۹- نمودار CPM فعالیتهای انجام شده برای ۲ گام پیشروی
با در نظر گرفتن زمان حفاری در واحد Gta1 (حالت ۲) ۲۴۳

شکل ۵-۲۰- نمودار CPM فعالیتهای انجام شده برای ۲ گام پیشروی
با در نظر گرفتن زمان حفاری در واحد Cz (حالت ۲) ۲۴۳

عنوان جداول

شماره صفحه

فصل اول : کلیات

جدول ۱-۱ - مختصات نقاط شاخص در مسیر تونل..... ۵

فصل دوم : زمین شناسی، زمین‌شناسی مهندسی

جدول ۱-۲ - خلاصه‌ای از ویژگیهای واحدهای چینه شناسی تفکیک شده ۱۵

جدول ۲-۲ - واحدهای زمین‌شناسی مهندسی شناسایی شده در مسیر تونل ۱۶

جدول ۳-۲ - آزمون شاخص دستی، استاندارد شده توسط ISRM ۱۹

جدول ۴-۲ - تخمین مقاومت تک محوری ماده سنگ در واحدهای

زمین‌شناسی مهندسی از طریق آزمونهای صحرایی ۲۰

جدول ۵-۲ - نتایج خام آزمایشات آزمایشگاهی انجام شده در مرحله اول ۲۱

جدول ۶-۲ - نتایج خام آزمایشات آزمایشگاهی انجام شده در مرحله دوم ۲۲

جدول ۷-۲ - نتایج جمع بندی شده آزمونهای مقدماتی صحرایی

و آزمونهای آزمایشگاهی ۲۳

جدول ۸-۲ - جهتداری دسته ناپیوستگی‌های مختلف در

واحدهای زمین‌شناسی مهندسی منطقه ۲۵

جدول ۹-۲ - ویژگیهای دسته ناپیوستگی‌های مختلف در واحدهای

زمین‌شناسی مهندسی منطقه ۲۶

جدول ۱۰-۲ - نتایج تست‌های برش انجام شده بر روی سطوح اره بر شده

در واحدهای زمین‌شناسی مهندسی مختلف ۲۷

جدول ۱۱-۲ : نتایج نهایی طبقه بندی مهندسی توده سنگ‌های مسیر تونل ۲۹

جدول ۱۲-۲ - نتایج تعیین پارامترهای مقاومتی توده سنگ در تونل ۳۰

فصل سوم : انتخاب روش مناسب برای حفر تونل

جدول ۱-۳ - پارامترهای ژئوتکنیکی و زمین‌شناسی ۵۲

جدول ۲-۳- تقسیم بندی زمین از نظر خاصیت مچاله شوندگی ۵۴
جدول ۳-۳- مقادیر کمی و کیفی مچاله شوندگی در طول مسیر ۵۵

فصل چهارم : پیش‌بینی سرعت نفوذ و سرعت پیشروی ماشین در مسیر تونل کرج بر اساس روش تجربی Q_{TBM}

جدول ۱-۴ - مشخصات فنی ماشین تونلزنی تمام مقطع سپری مضاعف ساخت شرکت Herrenknecht ۶۹
جدول ۲-۴ - داده های مربوط به مقادیر Q و RQD در جهت تونل ۷۹
جدول ۳-۴ - نتایج حاصل از محاسبه پارامتر SIGMA برای واحدهای زمین شناسی مختلف ۷۹
جدول ۴-۴ - نیروی رانش به ازای هر تیغه برای واحدهای مختلف ۸۰
جدول ۴-۵ - محاسبه Q_{TBM} بر اساس پارامترهای تعیین شده و نیروی رانش به ازای تیغه ۸۱
جدول ۴-۶ - محاسبه گرادیان منفی با توجه به روابط بیان شده و شکل ۶-۴ ۸۲
جدول ۴-۷ - سرعت نفوذ، سرعت پیشروی و ضریب بهره وری برای واحدهای زمین شناسی مهندسی مسیر تونل ۸۳
جدول ۴-۸ - تغییرات پارامترهای Q قبل و بعد از تزریق مقدماتی در واحد زمین شناسی Cz ۸۴
جدول ۴-۹ - نیروی رانش را به ازای هر تیغه برای واحدهای زمین شناسی مهندسی مسیر تونل بعد از درنظر گرفتن تزریق مقدماتی در Cz ۸۵
جدول ۴-۱۰ - سرعت نفوذ، سرعت پیشروی، ضریب بهره وری و شب منفی m برای واحد زمین شناسی مهندسی Cz (سنگ خرد شده) با در نظر گرفتن تزریق مقدماتی ۸۶
جدول ۱۱-۴ - نتایج پیش‌بینی عملکرد TBM با استفاده از روش Q_{TBM} ۸۷
جدول ۱۲-۴ - متوسط سرعت نفوذ و سرعت پیشروی ۸۷

فصل پنجم : طراحی سیستم ترابری حین اجرای تونل

جدول ۱-۵ - حجم مواد و سنگهای خرد شده مورد نیاز برای پیشروی به اندازه دو رینگ سگمنتی که توسط هر قطار جابجا می شود ۱۰۳
جدول ۲-۵ - مشخصات فنی واگن های حمل سگمنت ۱۱۳

جدول الف-۴- عدد دگرگونی (هوازدگی) درزه J_a	۱۸۴
جدول الف-۵- فاکتور کاهش تنش SRF	۱۸۵
جدول الف-۶- شاخص آب درزه J_w	۱۸۶
جدول ب-۱- جهتداری ناپیوستگیهای مؤثر در حفاری، سطح سینه کار و زاویه بین آنها	۱۸۸

فصل اول

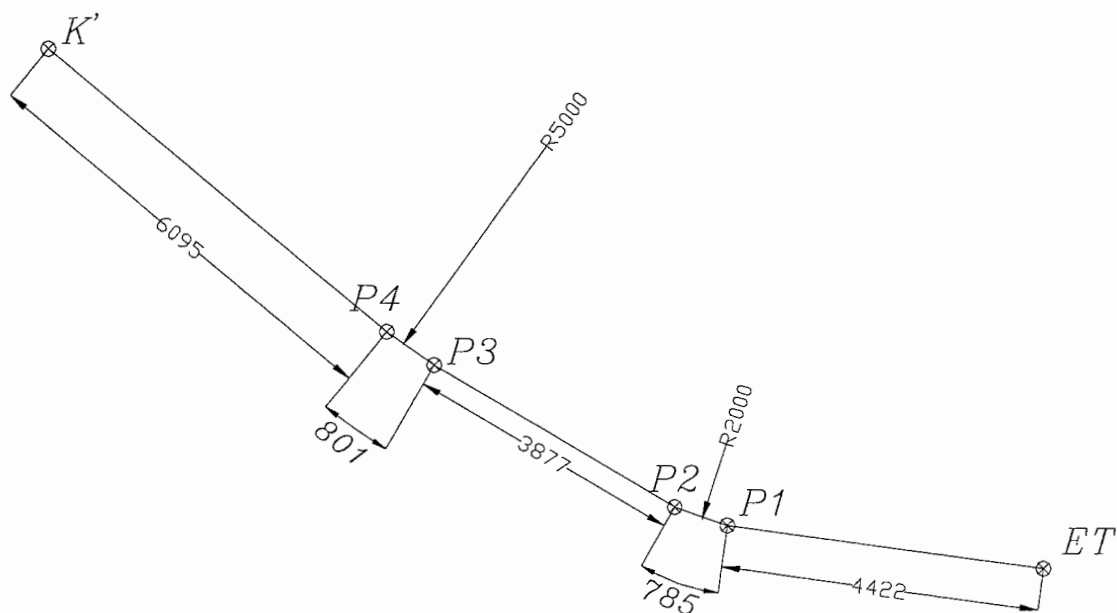
کلیات

گردیده است. در سالهای اخیر برای تأمین نیاز آب شرب شهروندان تهرانی ضمن افزایش برداشت آب زیرزمینی که دارای ظرفیت محدودی بوده و برداشت بیش از حد آن آلودگی منابع مزبور را بدنبال خواهد داشت، تمام سعی و تلاش لازم انجام شده که از توان نهایی منابع و ظرفیت خطوط انتقال و تصفیه خانه‌های موجود حداکثر استفاده بعمل آید. به منظور پاسخ افزایش تقاضای آب، مطالعه و اجرای پروژه سامانه انتقال و تصفیه خانه آب از غرب به تهران، با توجه به موارد فوق و انتقال حدود ۶۰۰ میلیون متر مکعب آب (شامل ۳۰۰ میلیون متر مکعب از سد کرج و ۳۰۰ میلیون متر مکعب از طالقان) در آینده ضروری می‌باشد. همچنین انتقال آب به تصفیه خانه شماره ۶ (واقع در شمال غرب تهران، شمال شهرک راه آهن، مجاور ضلع شمالی شهرک نیروی انتظامی) با توجه به گزارش مدیریت منابع آب مهندسین مشاور برابر ۳۵۰ میلیون متر مکعب در سال در نظر گرفته شده است. ظرفیت تونل برابر ۱۶ متر مکعب در ثانیه می‌باشد (مؤسسه حرا، ۱۳۸۲).

۲-۱- خلاصه‌ای از طرح

سامانه انتقال آب غرب تهران به منظور انتقال آب شرب تهران از سد امیرکبیر طراحی و در حال اجرا می‌باشد. مهمترین بخش این پروژه احداث تونلی طویل با طول تقریبی ۳۰ کیلومتر می‌باشد که قرار است در دو قطعه مجزا اجرا شود. برای اجرای قطعه اول این تونل از ET به 'K دو گزینه اصلی به عنوان مسیر تونل مطرح گردید که در نهایت به دلایل مختلف از جمله شرایط زمین شناسی مسیر (به ویژه برای اجتناب از گسل پورکان - وردیچ) گزینه مسیر قوسی انتخاب گردید (مؤسسه مهندسین مشاور ساحل، ۱۳۸۴). پلان مسیر تونل (قطعه 'K-ET) در شکل ۱-۱ و مختصات نقاط اصلی در جدول ۱-۱ همراه با طول قطعات مختلف نشان داده شده است. طول کلی مسیر

قطعه اول (قطعه' ET-K) ۱۵۹۸۰ متر بوده و با استفاده از روش مکانیزه به وسیله ماشین حفار تمام مقطع (TBM) حفر خواهد شد. اجرای این بخش از طریق مناقصه به قرارگاه خاتم الانبیاء (مؤسسه حرا به عنوان پیمانکار و مؤسسه مهندسین مشاور ساحل بعنوان مشاور پیمانکار) واگذار گردیده است.



شکل ۱-۱- پلان مسیر تونل (قطعه' ET-K) طول کل ۱۵۹۸۰ متر (مؤسسه مهندسین مشاور ساحل، ۱۳۸۴)

۱-۳- موقعیت جغرافیایی و راه های دسترسی به منطقه

در مطالعات صورت گرفته توسط مشاور کارفرما (مهندسین مشاور تهران - بوستن) پرتاب خروجی تونل در ضلع شمال غرب محوطه‌ای که برای احداث تصفیه خانه شماره ۶ تهران در نظر گرفته شده است، انتخاب شده است.

جدول ۱-۱- مختصات نقاط شاخص در مسیر تونل (موسسه حرا، ۱۳۸۲)

نقطه	X	Y	ترازکف	فوacial-متر	شیب طولی(متبرمتر)	توضیحات		
K'	۵۰۷۹۵۸/۵۶۶۸	۳۹۶۵۹۹۴/۰۹۱۹	۱۵۸۲	K'-P4	۶۰۹۵/۴۱۶۳	K'-P4	۰/۰۱۳۷۶۷۲	خط مستقیم
P4	۵۱۲۶۷۲/۰۷۲۵	۳۹۶۲۱۲۹/۲۵۵۱	۱۵۷۳/۳۱۶۶	P4-P3	۸۰۱/۳۴۴۳	P4-P3	۰/۰۱۳۷۶۷۲	قوس دایروی به شعاع ۵۰۰۰ متر
P3	۵۱۳۳۲۹/۷۲۱۲	۳۹۶۱۶۷۲/۸۸۰۸	۱۵۷۲/۵۹۸۲	P3-P2	۳۸۷۶/۷۳۵۶	P3-P2	۰/۰۱۳۷۶۷۲	خط مستقیم
P2	۵۱۶۶۸۱/۳۹۸۷	۳۹۵۹۷۲۴/۷۱۸۳	۱۵۶۷/۱۵	P2-P1	۷۸۴/۶۳۷۰	P2-P1	۰/۰۱۳۷۶۷۲	قوس دایروی به شعاع ۲۰۰۰ متر
P1	۵۱۷۴۱۸/۸۵۶۴	۳۹۵۹۴۷۱/۸۲۴۵	۱۵۶۶/۰۷۲۵	P1-ET	۴۴۲۱/۸۶۶۸	P1-ET	۰/۰۱۳۷۶۷۲	خط مستقیم
ET	۵۲۱۸۰۰/۹۶۴۳	۳۹۵۸۸۸۰/۱۸۵۷	۱۵۶۰	K'-ET	۱۵۹۸۰	K'-ET	۰/۰۱۳۷۶۷۲	خط مستقیم

تصفیه خانه شماره ۶ در شمال غرب تهران و شمال شهرک راه آهن در مجاورت ضلع شمالی شهرک نیروی انتظامی واقع شده است. دسترسی به این بخش از تونل از طریق بخش غربی اتوبان همت میسر می باشد. محدوده شافت K' نیز در نزدیکی روستای کندر در مجاورت راه دسترسی جدید الاحادث که از جاده چالوس منشعب می شود، واقع شده است. شافت K' در کیلومتر ۳ از این جاده در محلی که جاده توسط رودخانه کندر قطع شده است، قرار گرفته است. دسترسی به بخش‌های میانی تونل نیز از طریق جاده آسفالتی وردیج و جاده خاکی ورک آباد از جاده وردیج منشعب می شود، میسر است. در شکل ۲-۱ موقعیت جغرافیایی و راه های دسترسی به بخش‌های مختلف تونل نشان داده شده است (مؤسسه مهندسین مشاور ساحل، ۱۳۸۴).



شکل ۱-۲-۱- موقعیت جغرافیایی و راه‌های دسترسی به بخش‌های مختلف تونل انتقال آب کرج

(مؤسسه مهندسین مشاور ساحل، ۱۳۸۴)

۱-۴- مروری بر کارهای انجام شده و اطلاعات موجود

تا به امروز خدمات مهندسی عمومی اولیه در دوره برگزاری مناقصه، کارهای مطالعاتی و طراحی تفضیلی در دوره قرارداد، تجهیز کارگاه (شامل تهیه ملزمات و ساختمانهای رفاهی، آماده کردن فضای لازم برای نصب دستگاه حفار، تهیه، نصب و راه اندازی کارخانه ساخت قطعات بتني (سگمنت)، احداث ساختمانهای سرویس دهی حین اجرا نظیر ساختمانها و تأسیسات تهویه، روشنایی و ایمنی، ساختمانها و تأسیسات سرویس دهی به دستگاه حفار و ...)، احداث راههای دسترسی و حمل، نصب تجهیزات و احداث پرتال ورودی انجام گرفته است. اطلاعات موجود درباره طرح مذکور شامل زمین‌شناسی و زمین‌شناسی‌مهندسی، مربوط به اسناد فنی شرکت در مناقصه (مؤسسه حرا) و گزارش

زمین‌شناسی‌مهندسی نهایی توسط مشاور (مؤسسه مهندسین مشاور ساحل) می‌باشد. در زمینه طراحی سیستم ترابری کار مفصل و مناسبی انجام نشده تنها طراحی های مربوط به دوره مناقصه و مقدماتی موجود می باشد.

۱-۵-هدف پایان نامه

برای حفاری تونل کرج استفاده از دستگاه تونلزنی تمام مقطع (TBM) پیش بینی شده است. در این روش، ترابری مواد حفاری شده از سینه کار پیشروی و انتقال قطعات نگهداری به محل نصب آن نقش به سزاوی در میزان پیشروی با دستگاه TBM دارند لذا انجام مطالعات جامع به منظور بررسی و طراحی سیستم ترابری حین اجرای تونل کرج حائز اهمیت می باشد. سیستم ترابری حین اجرا بایستی به گونه ای طراحی و اجرا شود که اولاً امکان بهره‌برداری از حداکثر قابلیت دستگاه TBM را فراهم نماید. به عبارت دیگر به صورت عامل محدود کننده سرعت تونل‌سازی مطرح نشود و ثانیاً در طراحی ترابری، بیشینه سازی طول پیشروی در هر سیکل در نظر گرفته شود. هدف این پایان نامه طراحی سیستم حمل و نقل حین اجرای تونل با توجه به شرایط مذکور می‌باشد.

۱-۶-سازماندهی پایان نامه

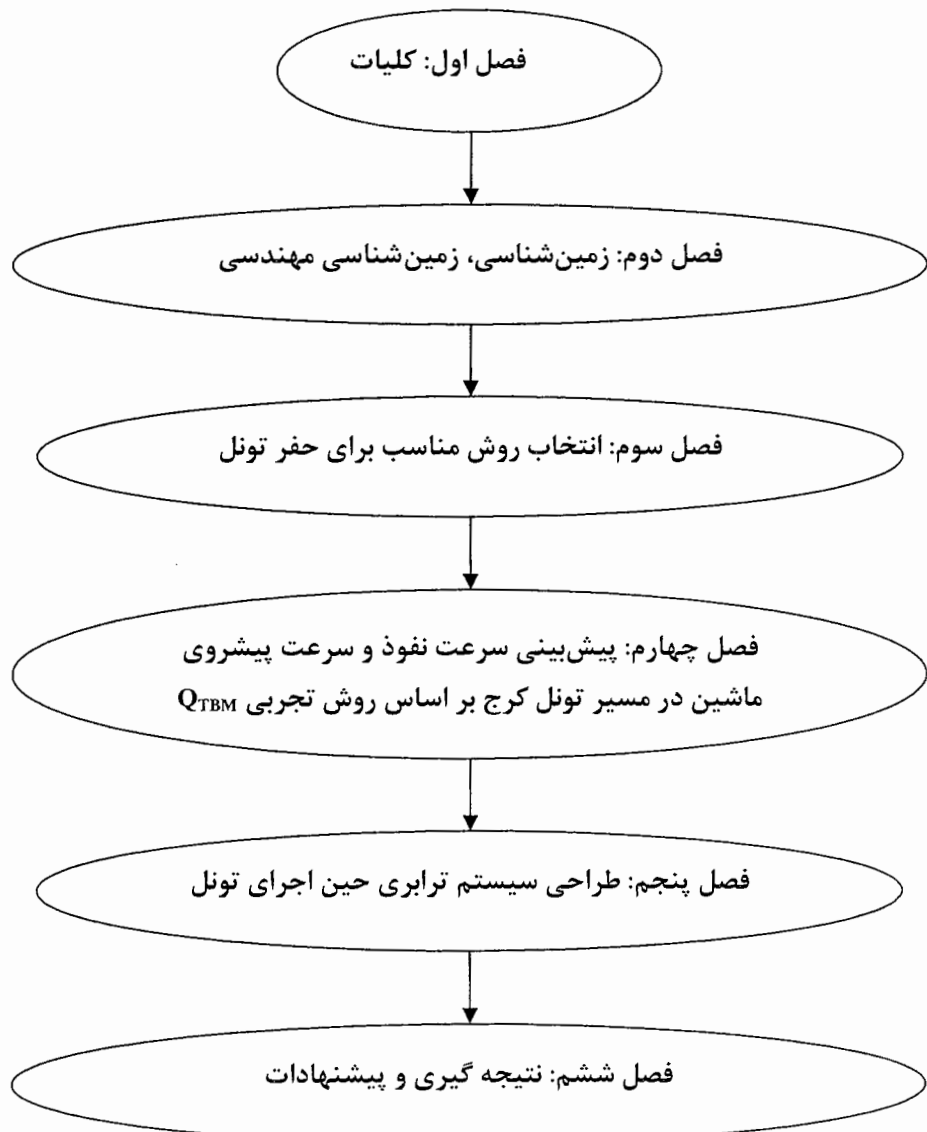
پایان نامه حاضر مشتمل بر شش فصل می‌باشد. مابقی فصول این پایان نامه به شرح ذیل سازماندهی شده است:

فصل دوم تحت عنوان زمین‌شناسی، زمین‌شناسی مهندسی است که در آن زمین‌شناسی منطقه و بررسی کمی و کیفی واحدهای زمین‌شناسی مهندسی مسیر تونل مورد مطالعه قرار گرفته است.

فصل سوم تحت عنوان انتخاب روش مناسب برای حفر تونل است. در این فصل با توجه به شرایط زمین و زمان‌بندی انجام پروژه، به انتخاب روش حفاری مناسب پرداخته شده است.

فصل چهارم تحت عنوان پیش‌بینی سرعت نفوذ و سرعت پیشروی ماشین در مسیر تونل کرج بر اساس روش تجربی Q_{TBM} است که در آن نخست پارامترهای مؤثر در سرعت نفوذ و پیشروی و پارامترهای بکار رفته در روش Q_{TBM} مورد مطالعه قرار گرفته سپس با استفاده از همین روش سرعت نفوذ و پیشروی برای هر یک از واحد‌های زمین‌شناسی مهندسی مسیر تونل پیش‌بینی شده است.

فصل پنجم تحت عنوان طراحی سیستم ترابری حین اجرای تونل است که با توجه به تمامی محدودیت‌های موجود، حداکثر طول پیشروی در هر سیکل حفاری، مشخصات فنی تجهیزات رولینگ استوک^۱، وزن لازم برای لوکوموتیو، زمان‌بندی سیکل ترابری و تعداد تجهیزات مورد نیاز تعیین شده است. در فصل ششم نتایج بدست آمده مورد بررسی قرار گرفت و در نهایت پیشنهاداتی ارائه گردید. شکل ۱-۳ مراحل فوق را نشان می‌دهد.



شکل ۱-۳- سازماندهی پایان نامه

فصل دوم

زمین شناسی، زمین شناسی مهندسی

۱-۲- مقدمه

در این فصل زمین‌شناسی منطقه به اختصار شرح داده شده و واحد‌های زمین‌شناسی مهندسی مسیر تونل به صورت تفکیک شده ارائه گردیده است. در نهایت به تشریح ویژگیهای توده سنگ‌ها مسیر تونل، پارامترهای فیزیکی و مکانیکی ماده سنگ، مشخصات ناپیوستگی‌ها، طبقه بندی مهندسی توده سنگ و پارامترهای مقاومتی توده سنگ پرداخته می‌شود.

۲-۲- زمین‌شناسی منطقه

گستره طرح از دیدگاه چینه شناختی در برگیرنده مجموعه‌های رسوی-آتشفسانی مختلفی از سازند کرج است. این مجموعه‌ها بر پایه نقشه ۱:۱۰۰۰۰۰ چهارگوش تهران (سازمان زمین‌شناسی (شکل ۱-۲)، وابسته به بالاترین بخش توف میانی و بخش‌های زیرین تا میانی شیل آستانه از سازند کرج هستند که در قلمرو سنی اتوسن پسین تا میانی قرار می‌گیرند. سنگ‌شناسی آنها به طور کلی شامل تناوب‌هایی از توف، ماسه سنگ، کنگلومراهای ریز دانه و بخش‌های سیلت سنگ و گدازه و حتی آگلومرایی هستند که به طور جانبی تغییرات چشمگیری دارند و گاهی در فاصله کمتر از ۱۰ کیلومتر، با مجموعه‌هایی هم ارز خود به طور قطعی قابل انطباق نیستند و تنها از روی جایگاه چینه شناختی آنها می‌توان آنها را معادل یکدیگر قرار داد.

فصل دوم

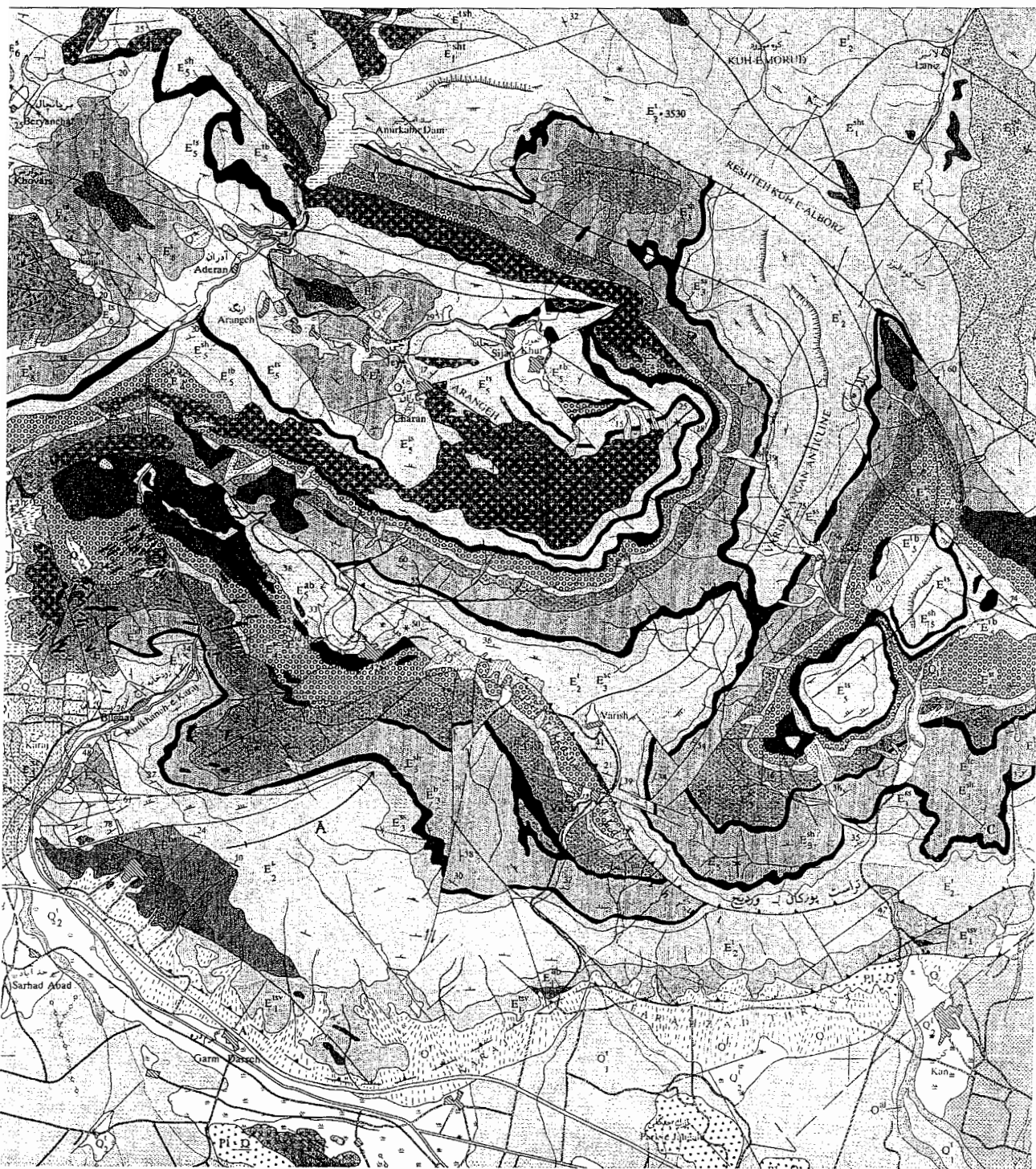
زمین شناسی، زمین شناسی مهندسی

۱-۲- مقدمه

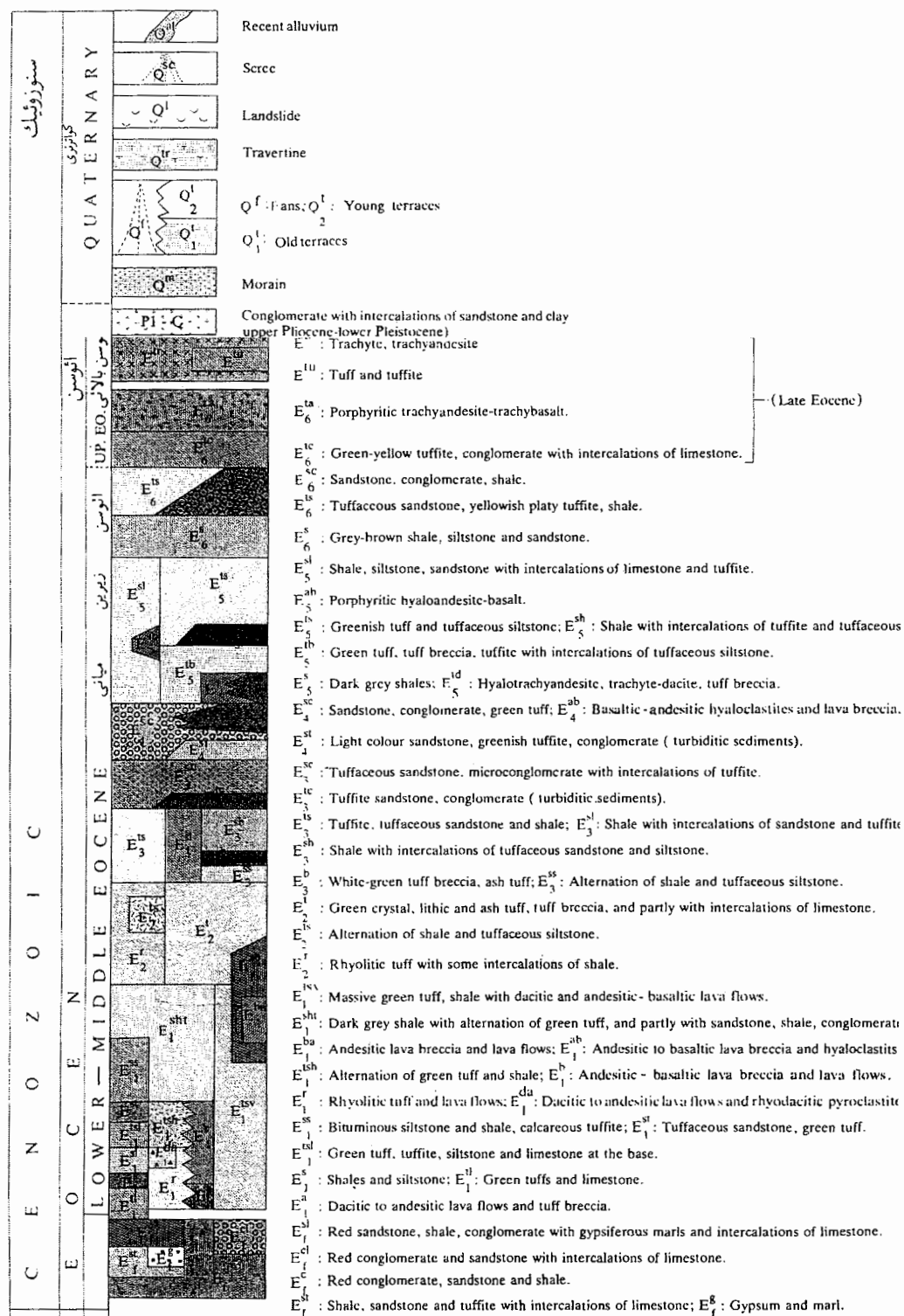
در این فصل زمین‌شناسی منطقه به اختصار شرح داده شده و واحد‌های زمین‌شناسی مهندسی مسیر تونل به صورت تفکیک شده ارائه گردیده است. در نهایت به تشریح ویژگیهای توده سنگ‌ها مسیر تونل، پارامترهای فیزیکی و مکانیکی ماده سنگ، مشخصات ناپیوستگی‌ها، طبقه‌بندی مهندسی توده سنگ و پارامترهای مقاومتی توده سنگ پرداخته می‌شود.

۲-۲- زمین‌شناسی منطقه

گستره طرح از دیدگاه چینه شناختی در برگیرنده مجموعه‌های رسویی-آتشفسانی مختلفی از سازند کرج است. این مجموعه‌ها بر پایه نقشه ۱:۱۰۰۰۰۰ چهارگوش تهران (سازمان زمین‌شناسی (شکل ۱-۲)، وابسته به بالاترین بخش توف میانی و بخش‌های زیرین تا میانی شیل آستارا از سازند کرج هستند که در قلمرو سنی ائوسن پسین تا میانی قرار می‌گیرند. سنگ‌شناسی آنها به طور کلی شامل تنابه‌هایی از توف، ماسه سنگ، کنگلومراهای ریز دانه و بخش‌های سیلت سنگ و گدازه و حتی آگلومرایی هستند که به طور جانبی تغییرات چشمگیری دارند و گاهی در فاصله کمتر از ۱۰ کیلومتر، با مجموعه‌های هم ارز خود به طور قطعی قابل انطباق نیستند و تنها از روی جایگاه چینه شناختی آنها می‌توان آنها را معادل یکدیگر قرار داد.



شکل ۱-۲- نقشه زمین‌شناسی منطقه (چهارگوش کرج با مقیاس (۱:۱۰۰۰۰۰) سازمان زمین‌شناسی کشور (موسسه حرا، ۱۳۸۲)



شکل ۱-۲- راهنمای نقشه زمین‌شناسی منطقه

این مجموعه در قالب تاقدیس و ناویدیس های مختلف از کوچک تا بزرگ مقیاس چین خورده و با گسل‌های کوچک و بزرگ مختلفی بریده شده است. از دیگر ویژگیهای زمین‌شناسی گستره به وجود توده‌های نفوذی، دایکهای آذرین و حتی دایکهای سیلیسی می‌توان اشاره کرد، که در میان واحدهای رسوبی و یا در راستای برخی از گسلهای بیرون زده‌اند. در مطالعات زمین‌شناسی صورت گرفته، کل مسیر تونل به ۱۴ واحد چینه شناسی تقسیم شده است که ویژگیهای آنها به طور خلاصه در جدول ۱-۲ درج شده است. گستره مورد مطالعه در برگیرنده مجموعه چین خوردهای از تاقدیس و ناویدیس‌های ملایم تا بازی است که در روند عمومی شمال شرقی – جنوب غربی شکل گرفته‌اند و از شرق رو به غرب، هندسه آنها پیچیده‌تر و شدت دگر شکلی در آنها بیشتر شده است. این مجموعه با دو پهنه گسلی به نسبت بزرگ شمال تهران و پورکان – وردیچ در برگرفته شده است که با جهت شبی عمومی رو به شمال – شمال شرقی، بلوکهای شمالی خود را رو به جنوب رانده‌اند. به این ترتیب، گستره مورد نظر ما در یک پهنه فشاری کهن، میان دو گسله راندگی بزرگ به دام افتاده و پذیرای دگرشکلی ناشی از جنبش‌های دراز مدت آنها بوده است (مؤسسه مهندسین مشاور ساحل، ۱۳۸۴).

۳-۲- تفکیک واحدهای زمین‌شناسی مهندسی مسیر تونل

بر اساس بررسی‌های انجام شده در بازدید زمین‌شناسی صورت گرفته از منطقه و اطلاعات به دست آمده از عملیات ژئوتکنیک (گمانه‌های اکتشافی و آزمایشات آزمایشگاهی) صرف نظر از رسوبات و نهشته‌های کواترنر، در مجموع ۹ واحد زمین‌شناسی مهندسی در سیستم فعال قابل شناسایی و تفکیک از یکدیگر می‌باشند. این واحدهای زمین‌شناسی مهندسی در جدول ۲-۲ معرفی شده‌اند.

جدول ۲-۱- خلاصه‌ای از ویژگیهای واحدهای چینه شناسی تفکیک شده
 مؤسسه مهندسین مشاور ساحل، (۱۳۸۴)

نام واحد سنگی در نقشه زمین ۱:۵۰۰۰۰	نام واحد سنگی در نقشه زمین ۱:۱۰۰۰۰	سنگ شناسی
U ₁₋₁	U ₁	توده منزوودیوریت متوسط بلور.
U ₁₋₂		توده منزووگابرو متوسط بلور که به همراه توده منزوودیوریتی در میان واحدهای U ₂ و U ₃ رخنه کرده است و شدیداً هوازده و تکتونیزه شده است.
U ₂		تناوب میکرو کنگلومرا، ماسه سنگ و کنگلومرا، توده ای تا سبتر لایه با میان لایه هایی از توفیت و توفیتهای ماسه ای، صخره ساز.
U ₃₋₁	U ₃	سیلت سنگهای توفی، ماسه ای نازک لایه و نا مقاوم به رنگ سبز تیره که در درون خود دگر شکل شده اند.
U ₃₋₂		ستبرهایی از توفیت، ماسه ای نازک لایه و نا مقاوم به رنگ سبز تیره که در درون خود دگر شکل شده اند.
U ₄		ماسه سنگ و ماسه سنگهای توفی مقاوم متوسط تا سبتر لایه با میان لایه های نازکی از شیل و سیلت سنگهای توفی و بخشهای میکرو کنگلومراپی.
U ₅		تناوب شیل، سیلت سنگ و ماسه سنگهای نازک لایه، هوازده و خرد شده که در بخشهایی از ستبرای خود لایه های ماسه سنگی مقاوم و متوسط لایه دیده می شود.
U ₆		ستبرایی از کنگلومرا و ماسه سنگ متوسط لایه که رو به باخته به آگلومرا تبدیل می گردد و از ستبرای آن کاسته می شود.
U ₇		سیلت سنگها توفی با میان لایه های نازکی از ماسه سنگ ریز دانه که در گذار به واحد زیرین به توفهای سیلیسی تبدیل می شود.
U ₈		توف توده ای به رنگ سبز روشن تا کرم که رو به باخته از ستبرای آن کاسته شده و به کنگلومرا و ماسه سنگهای درشت دانه تبدیل می شود.
U ₉		تناوبی از توفهای سبز، آهکهای ریز بلور و ماسه سنگهای با دانه بندی گوناگون، نازک لایه.
U ₁₀		تناوبی از توفهای سبز تیره سیلیسی نازک لایه و ماسه سنگ و توفهای متوسط تا سبتر لایه که در گذار به واحد زیرین به میکرو کنگلومرا توده ای تبدیل می شوند.
U ₁₁		میکرو کنگلومرا توده ای، خاکستر توف با ترکیب گوناگون و میان لایه هایی از توفهای سبز نازک لایه.
U ₁₂		توفهای روشن رنگ سبتر لایه تا توده ای درشت دانه بسیار مقاوم.
U ₁₃		ستبرای زیادی از ماسه سنگهای متوسط لایه کرم رنگ تا قهوه ای، بخشهایی از توفهای سبز روشن توده ای و توفهای سبز سیلیسی نازک لایه.
U ₁₄		بخشهای جدانشده U ₁₃ و U ₁₀ که در پی جنبشها تکتونیکی بهم ریخته شده است.

جدول ۲-۲- واحدهای زمین‌شناسی مهندسی شناسایی شده در مسیر تونل
(مؤسسه مهندسین مشاور ساحل، ۱۳۸۴)

رده پایداری	شدت	متوجه	واحدهای چینه شناسی	واحد زمین	ردیف
علامت	توصیف	شرایط آب زیر زمینی	روباره(متر)	معادل(مقیاس ۱:۲۰۰۰)	
C	Weak to Moderately Strong, Thin to moderately bedded, Fractured, May be Unstable	خشک	۲۰۰	U ₁₃ , U ₁₄	Gta1 ۱
B-C	Moderately strong, Moderately to thick bedded, Moderately fractured, Stable	نمک تا مرطوب	۳۵۰		Gta2 ۲
B	Moderately strong, Moderately to thick bedded, Moderately fractured, Stable	نمک تا مرطوب	۳۵۰	U ₁₀ , U ₁₁ , U ₁₂	Gta3 ۳
A-B	Very strong, Thick bedded, Stable	نمک تا مرطوب	۵۰۰		Gta4 ۴
C	Weak to Moderately Strong, Thin to moderately bedded, Fractured, May be Unstable	جريان به صورت موضعی	۱۵۰	U ₅ to U ₉	Sts1 ۵
A-B	Very strong, Thick bedded, Stable	نمک تا مرطوب	۲۵۰		Sts2 ۶
C	Weak to Moderately Strong, Thin to moderately bedded, Fractured, May be Unstable	مرطوب	۱۵۰	U ₃ , U ₄	Tsh ۷
B	Moderately strong, Moderately to thick bedded, Moderately fractured, Stable	مرطوب	۱۰۰	U ₁	Mdg ۸
D	Very weak, Crushed rock, Intense water inflow, Unstable	جريان	۳۰۰	U ₁ to U ₁₃	Cz ۹

مرز این واحدهای زمین‌شناسی مهندسی فقط در برخی موارد منطبق بر مرز واحدهای چینه شناسی است و در بیشتر موارد ویژگیهای ژئومکانیکی واحدها عامل تفکیک واحدهای زمین‌شناسی مهندسی بوده است. در مشاهدات صحرایی، برخی واحدهای زمین شناسی مهندسی از جمله واحدهای

زمین‌شناسی مهندسی Gta1، Tsh، Cz به دلیل وجود درزهای ساختاری و سطوح تورق با فاصله داری اندک، وضعیتی خرد شده داشته، قابلیت حفاری خوبی دارند ولی در صورت رخنمون یافتن در دیواره تونل از پایداری کافی برخوردار نمی‌باشند، در حالیکه سایر واحدها توده سنگهایی بلوکی را تشکیل می‌دهند که از پایداری و مقاومت نسبتاً خوبی برخوردار بوده ولی حفاری در آنها با توجه به شرایط ناپیوستگی‌ها دشوار می‌باشد.

۴-۲- تشریح ویژگیهای توده سنگهای مسیر تونل

منظور از ویژگیهای توده سنگها آن دسته از خصوصیاتی است که مستقیماً بر رفتار مکانیکی توده سنگها و میزان پایداری آنها هنگام حفر تونل و ترانشه و همچنین بر قابلیت حفاری آنها تاثیر می‌گذارد. این ویژگیها علاوه بر اینکه منعکس کننده رفتار ماده سنگ هستند تا حد زیادی به شرایط ناپیوستگیها نیز وابسته هستند. ویژگیهای ماده سنگ را می‌توان شامل مواردی نظیر مقاومت تراکمی تک محوری، مقاومت کششی، پارامترهای مقاومت برشی، مدول یانگ، ساینده‌گی، سختی و ... دانست. تعیین این خواص نیازمند نمونه برداری صحیح و دقیق از کلیه واحدهای سنگی منطقه و انجام آزمایشات آزمایشگاهی بر روی نمونه‌های فوق می‌باشد، اگر چه با استفاده از برخی از آزمونهای مقدماتی صحرایی نیز قابل تخمین هستند. برای تعیین شرایط ناپیوستگی‌های عمل کرده در توده سنگ‌ها نیز، لازم است مشخصات ناپیوستگی‌ها در بخش‌های مختلف محدوده مورد مطالعه، با استفاده از روش خط برداشت یا به صورت پراکنده در ایستگاههای مختلف مورد بررسی قرار گیرد. این مشخصات شامل جهتداری، فاصله داری، تداوم، بازشدگی، جنس مواد پرکننده، درجه هوازدگی سطوح

درزه‌ها، زبری و موجداری سطوح درزه و ... می‌شود که بصورت سیستماتیک برداشت گردیده و مورد تجزیه و تحلیل قرار می‌گیرند (مؤسسه مهندسین مشاور ساحل، ۱۳۸۴).

۱-۴-۲- پارامترهای فیزیکی و مکانیکی ماده سنگ

پارامترهای فیزیکی و مکانیکی ماده سنگ به همراه ویژگیهای درزه داری و ساختاری سنگ معمولاً مهمترین پارامترهایی هستند که در تفکیک واحدهای زمین‌شناسی مهندسی مورد استفاده قرار می‌گیرند. سهولت و سرعت حفاری در سنگ تا حد زیادی به این پارامترها بستگی دارد. پارامترهایی نظیر دانسیته، تخلخل جذب آب، سختی، شاخص بار نقطه‌ای، مقاومت کششی، مقاومت فشاری، مدول دگر شکل پذیری، ضربی پواسون، سرعت امواج لرزه‌ای، نفوذ و ... از جمله پارامترهای فیزیکی و مکانیکی ماده سنگ هستند که معمولاً از طریق آزمایشات آزمایشگاهی و تخمین‌های صحرایی قابل اندازه‌گیری هستند. در این پژوهه در ابتدا ویژگیهای مقاومتی سنگهای منطقه با انجام آزمونهای صحرایی مقدماتی بر روی رخنمونهای سطحی تعیین شده است. ساده‌ترین آزمونی که در این زمینه وجود دارد، آزمون شاخص دستی است که به طور خیلی ساده با استفاده از چکش زمین‌شناسی و چاقوی جیبی، مقاومت تراکمی تک محوری سنگها را تعیین می‌نماید. این آزمون که توسط انجمن بین‌المللی مکانیک سنگ ISRM استاندارد شده است، در جدول ۳-۲ ارائه شده است. در این مطالعات همچنین از چکش اشمیت نیز برای تخمین مقاومت تک محوری سنگها استفاده شده است. برای این منظور در ۱۰ نقطه از سنگ مورد نظر ضربات چکش اشمیت نواخته شده اعداد به دست آمده ثبت شد.

**جدول ۲-۳- آزمون شاخص دستی، استاندارد شده توسط ISRM
(مؤسسه مهندسین مشاور ساحل، ۱۳۸۴)**

Grade*	Term	Uniaxial Comp. Strength (MPa)	Point Load Index (MPa)	Field estimate of strength	Examples
R6	Extremely Strong	> 250	>10	Specimen can only be chipped with a geological hammer	Fresh basalt, chert, diabase, gneiss, granite, quartzite
R5	Very strong	100 - 250	4 - 10	Specimen requires many blows of a geological hammer to fracture it	Amphibolite, sandstone, basalt, gabbro, gneiss, granodiorite, limestone, marble, rhyolite, tuff
R4	Strong	50 - 100	2 - 4	Specimen requires more than one blow of a geological hammer to fracture it	Limestone, marble, phyllite, sandstone, schist, shale
R3	Medium strong	25 - 50	1 - 2	Cannot be scraped or peeled with a pocket knife, specimen can be fractured with a single blow from a geological hammer	Claystone, coal, concrete, schist, shale, siltstone
R2	Weak	5 - 25	**	Can be peeled with a pocket knife with difficulty, shallow indentation made by firm blow with point of a geological hammer	Chalk, rocksalt, potash
R1	Very weak	1 - 5	**	Crumbles under firm blows with point of a geological hammer, can be peeled by a pocket knife	Highly weathered or altered rock
R0	Extremely weak	0.25 - 1	**	Indented by thumbnail	Stiff fault gouge

* Grade according to Brown (1981).

** Point load tests on rocks with a uniaxial compressive strength below 25 MPa are likely to yield highly ambiguous results.

سپس براساس توصیه USBR (سازمان عمران امریکا) ۵ مورد که بیشترین مقدار را داشته‌اند

انتخاب و از آنها متوسط گیری شده و بعد از تصحیح نتایج به وسیله نمودارهای مربوطه، مقاومت تک

محوری سنگ تعیین گردیده است. نتایج تخمین مقاومت فشاری ماده سنگ در واحدهای مختلف

منطقه بر اساس دو روش فوق الذکر در جدول ۴-۲، درج شده است. علاوه بر تست‌های صحرایی فوق

الذکر، از تست‌های آزمایشگاهی نیز برای تعیین خصوصیات فیزیکی و مکانیکی ماده سنگ استفاده

شده است.

جدول ۲-۴- تخمین مقاومت تک محوری ماده سنگ در واحدهای زمین‌شناسی مهندسی
از طریق آزمونهای صحرایی (مؤسسه مهندسین مشاور ساحل، ۱۳۸۴)

آزمون شاخص دستی	چکش اشمیت	مقاومت تک محوری سنگ (MPa)	واحد زمین شناسی مهندسی
R3(25-50)	30-40	Gta1	
R4(50-100)	70-80	Gta2	
R4(50-100)	>80	Gta3	
R5(100-250)	>80	Gta4	
R5(100-250)	>80	Sts1	
R5(100-250)	>80	Sts2	
R4(50-100)	50-60	Tsh	
R4(50-100)	>80	Mdg	
R2(5-25)	-----	Cz	

آزمایش‌های انجام شده شامل آزمایش‌هایی از قبیل آزمایش تعیین دانسیته، تخلخل، جذب آب و تستهای تک محوری، سه محوری، بار نقطه‌ای، برزیلین، برش مستقیم و ... می‌باشد. نتایج این آزمایشها در جدول ۲-۵ و ۲-۶ ارائه شده است. همانطور که مشاهده می‌شود، نتایج دو مرحله آزمایش بر روی نمونه‌های اخذ شده از گمانه‌های حفر شده در مرحله اول تا حدود زیادی مشابهت را نشان می‌دهد. دامنه تغییرات مقادیر به دست آمده از آزمایشات آزمایشگاهی بر روی نمونه‌های گرفته شده از گمانه‌های مرحله دوم نیز در محدوده مورد انتظار برای هر واحد زمین‌شناسی بوده است. نتایج جمع‌بندی شده این آزمونها که براساس بررسیهای آماری و قضاوت مهندسی تعیین شده است، در جدول ۷-۲ درج شده است.

۲-۴-۲- مشخصات ناپیوستگی‌ها

ناپیوستگی‌هایی که به ویژگیهای ژئومکانیکی توده سنگ‌های منطقه تأثیر مستقیم دارند، به چهار دسته شامل سطوح لایه بندی، تورق، درزهای ساختاری و خرده گسلها تقسیم می‌شوند.

جدول ٢- نتائج خام آز

Borehole	Sample	Depth (m)	Lithology	Dry Density (gr/cm ³)	Saturated Density (gr/cm ³)	F	Direct Shear Strength		
							Cohesion (Mpa)	ϕ	Type
BH6	SR5	45-46	Microgabbro	2.756	2.794				
	SR6	49-50		2.769	2.802				
	SR7	52.4-52.75		2.758	2.799	0	18.5		
	SR8	66.5-66.9		2.785	2.815				
	SR9	74.4-74.7		2.805	2.822				
	SR10	80.5-80.9		2.81	2.825				
BH25	SR1	430-431	Silty/Shally tuff, sandy tuff, Tuff	2.639	2.681				
	SR2	435-436		2.53	2.606				
	SR3	440-441		2.585	2.647				
	SR4	444.3-445		2.373	2.499				
	SR5	448.4-450		2.592	2.648	0	35.2		
	SR6	451-453		2.483	2.573				
BH17	SR1	272-273	Silty/sandy tuff, Shally	2.654	2.68				
	SR2	276-277		2.653	2.675				
	SR3	280-280.6		2.661	2.68				
	SR4	285-285.7		2.662	2.693				
	SR5	289-290	tuff, some brecciated tuff	2.676	2.702	0	39.7	Natural Joint	
	SR6	292-293.7		2.606	2.627				
	SR7	295-296		2.598	2.621	0	34.7	Natural Joint	
	SR8	303-304		2.654	2.686				
BH7	SR1	101-102	Silty tuff	2.505	2.56				
	SR2	104-104.5		2.378	2.474				
	SR3	108-109		2.405	2.49				
	SR4	113-113.4		2.147	2.306				
	SR5	116-1116.7		2.305	2.42				
	SR6	119-120		2.269	2.405	0	24.9		
	SR7	122-123		2.252	2.403				
	SR8	128-128.5		2.396	2.481				
	SR9	130-131		2.357	2.457	0	25.6		
	SR10	134-135		2.379	2.482				
BH14	SR1	60.4-60.8	Silty tuff, some	2.608	2.632				
	SR2								
	SR3	66.0-66.85		2.56	2.608				
	SR4	73-74		2.578	2.615				
	SR5	78.4-79		2.554	2.61	0	39.3		
	SR9	83-84		2.4	2.462				
	SR10								
	SR11		brecciated tuff						
	SR12	89.3-89.6							
	SR13	92.4-92.6		2.536	2.602				
	SR14	95-96		2.533	2.575				
BH21	SR1	142-142.8		2.407	2.476				
	SR2	151.5-152		2.363	2.459				
	SR3	158-158.5		2.557	2.6				
	SR4	162-163		2.65	2.675	1.216	32.8	Natural Joint	
	SR5	168-169		2.299	2.417				
	SR6	170.170.5		2.261	2.382				
	SR7	174-174.5							
BH22	SR1	229.4-230		2.61	2.626				
	SR2	233.5-234		2.633	2.649				
	SR3	236-237		2.523	2.583				
BH23	SR1	54-54.2	Dacitic to Rhyodacitic tuff, Limy tuff,	2.504	2.511	0	27.8		
	SR3	57.3-57.7		2.632	2.691				
	SR5	61-62		2.555	2.63				
	SR6	64-65		2.219	2.37	0	37.3		
	SR7	69-69.5		2.295	2.427				
	SR8	74-75	Crystal lithic tuff, Vitric tuff	2.49	2.556				
	SR8	74-75		2.49	2.556				
	SR9	78-78.8		2.376	2.475				
	SR10	81.5-82		2.301	2.425				
	SR11	83-83.5		2.258	2.4				
BH24	SR3	18.5	Silty tuff	2.559	2.609				
	SR4	25.5-26		2.609	2.65				
	SR5	29.5-30		2.497	2.557				
	SR6	33.5-33.8		2.603	2.637				
	SR7	39.6		2.554	2.623				

Borehole	Sample	Depth (m)	Lithology
BH.6	BH.6(1)	74.50	
	BH.6(2)	83.00	
BH.7	BH.7(1a)	51.50	ural
	BH.7(1b)	51.50	
	BH.7(2)	116.00	
	BH.7(3)	133.50	
BH.13	BH.13(1)	--	
BH.14	BH.14(1)	83.50	
	BH.14(2)	88.50	
BH.17	BH.17(1)	141.70	
	BH.17(2a)	271.50	
	BH.17(2b)	271.50	
	BH.17(3a)	281.50	
	BH.17(3b)	281.50	ural
BH.21	BH.21(1)	161.50	
	BH.21(2)	164.50	ural
	BH.21(3)	177.00	
BH.22	BH.22(1a)	221.00	
	BH.22(1b)	221.00	ural
	BH.22(2)	237.00	ural
BH.23	BH.23(1)	73.30	
	BH.23(2)	73.30	
BH.24	BH.24(1)	41.50	
BH.25	BH.25(1)	238.50	
	BH.25(2a)	411.00	
	BH.25(2b)	411.00	
	BH.25(2c)	411.00	
	BH.25(3a)	433.00	
	BH.25(3b)	433.00	
	BH.25(3c)	433.00	
	BH.25(4)	445.00	
	BH.25(5)	455.50	
	BH.25(6)	455.50	
Block	--	--	
	--	--	
	A	Portal	
	B	Portal	
	C	Portal	
	D	Portal	
	E	Portal	
	F	Portal	
	--	--	
	--	--	
BH.A	BH.A(1)	108-109	tural
	BH.A(2)	122-122.8	
	BH.A(3)	124.5-125	
	BH.A(4)	129.5-130	
	BH.A(5)	138.45-138.65	
	BH.A(6)	144-144.5	
	BH.A(7)	147.5-148	
	BH.A(8)	152.6-153	
	BH.A(9)	159.5-160	
	BH.B(1)	108-108.8	
BH.B	BH.B(2)	109.2-110	
	BH.B(3)	114.3-114.7	
	BH.B(4)	115.4-115.95	
	BH.B(5)	124.85-125	
	BH.B(6)	125.45-126	
	BH.B(7)	129.25-130	
	1	183.3-184	
BH.D	2	194.55-195	
	3	186.4-186.7	
	4	202.3-202.65	
	5	229.5-230.3	
	6	224.45-224.9	
	7	216.4-217	
	8	199-199.4	
	9	211.45-211.8	
	10	205.1-205.5	
	S1	350.5-351	
BH.E	S2	359.6-360	
	S3	363.25-363.95	
	S4	365.5-365.8	
	S5	373.2-373.6	
	S6	376.3-376.7	
	S7	389-390	
	S8	392.45-393	
	S9	397-397.9	
	S10	399.2-399.6	

خرده گسلها و درزهای پدیده‌هایی هستند که کاملاً به تکتونیک و شرایط ساختاری منطقه وابسته هستند (از نظر جهت داری، فاصله داری، تعداد و...). سطوح لایه بندی و تورق نیز پدیده‌هایی هستند که ویژگیهای آنها به شرایط رسوب‌گذاری و تکتونیک منطقه بستگی دارد. از سوی دیگر مشخصات ناپیوستگیهایی که بر رفتار ژئومکانیکی توده سنگ موثر هستند را می‌توان در دو گروه ویژگیهای زمین‌شناسی و ویژگیهای مکانیکی دسته بندی کرد.

**جدول ۷-۲- نتایج جمع بندی شده آزمونهای مقدماتی صحرایی و آزمونهای آزمایشگاهی
(مؤسسه مهندسین مشاور ساحل، ۱۳۸۴)**

کوارتز (%)	مقاومت کششی (MPa)	نسبت پواسون	مدول الاستیسیته (GPa)	مقاطع فشاری تک محوری (MPa)	تخلخل (%)	چگالی متوسط (t/m ³)	واحد زمین‌شناسی مهندسی
10-20	3-4	0.13-0.17	5-15	30	10-15	2.6	Gta1
10-20	4-6	0.13-0.17	10-15	75	5-10	2.6	Gta2
10-20	6-8	0.13-0.15	10-15	100	5-10	2.6	Gta3
10-20	10-20	0.13-0.15	12-18	150	5-10	2.6	Gta4
20-30	8-10	0.13-0.17	10-15	120	5-10	2.6	Sts1
20-30	10-20	0.13-0.17	17-25	150	10-15	2.55	Sts2
20-30	4-6	0.15-0.2	5-10	50	5	2.6	Tsh
0-5	4-6	0.15-0.17	15-20	90	<5	2.8	Mdg

ویژگیهای دسته اول شامل موقعیت فضایی و هندسی ناپیوستگی‌ها (جهت شیب، زاویه شیب، تعداد دسته ناپیوستگی‌ها، فاصله داری، تداوم) و شرایط سطوح ناپیوستگیها (زبری، موجوداری، مقاومت دیواره، بازشدگی، مواد پرکننده و...) می‌باشند که براساس اطلاعات برداشت شده از رخنمونهای سطحی توده سنگهای منطقه و گمانهای حفاری شده در مسیر تونل، مورد بررسی قرار گرفته‌اند.

ویژگیهای دسته دوم یا ویژگیهای مکانیکی ناپیوستگی‌ها، براساس اطلاعاتی که از ارزیابی‌های صحرایی

و نتایج آزمایش‌های آزمایشگاهی بر روی نمونه‌های برداشت شده از گمانه‌های حفر شده و ترانشه‌ها بدست آمده است، قابل تعیین می‌باشند. اطلاعات مورد نظر به صورت سیستماتیک از بخش‌های مختلف واحدهای زمین‌شناسی مهندسی شناسایی شده، برداشت شده‌اند. خلاصه نتایج این مطالعات در جداول ۹-۲ و ۸-۲ درج شده است. بدیهی است که برخی مشخصات سطح ناپیوستگی‌های توده سنگ در رخنمونهای سطحی و عمقی توده سنگ تا حدی متفاوت خواهد بود. به ویژه دو عامل درجه هوازدگی و بازشدگی ناپیوستگی‌ها در عمق توده سنگ شرایطی کاملاً متفاوت با سطح خواهند داشت.

در این راستا علاوه بر مطالعه ویژگی‌های درزهای سطحی، در عمق نیز خصوصیات درزهای مورد بررسی قرار گرفته است. این بررسیها در پنج گمانه حفر شده در مرحله دوم و همچنین گمانه‌های حفر شده در مرحله اول صورت پذیرفته است و از نتایج به دست آمده برای تصحیح برداشت‌های سطحی استفاده شده است. دو پارامتر JRC و JCS در جدول ۹-۲ به ترتیب ضریب زبری و مقاومت فشاری سطوح درزه هستند. مقدار JRC از مقایسه نمودارهای تیپیک ارائه شده توسط بارتون با پروفیل سطوح درزه در صحرا به دست آمده است. مقدار JCS نیز با استفاده از نواختن ضربات چکش اشمیت بر روی سطوح برخی درزهای تعیین شده است. مقدار JCS معمولاً به دلیل عملکرد هوازدگی روی سطوح درزه تاحدی کمتر از مقاومت تراکمی تک محوری ماده سنگ می‌باشد.

زاویه اصطکاک پایه سنگ است که از نتایج آزمایشاتی که بر روی سطوح ارله بر شده انجام می‌شوند قابل حصول است. نتایج تست‌های انجام شده بر روی سطوح ارله بر شده مغزه‌های گرفته شده از گمانه‌های مختلف در جداول ۱۰-۲ ارائه شده است.

جدول ۲-۸- جهتداری دسته ناپیوستگی‌های مختلف در واحدهای زمین‌شناسی مهندسی منطقه
 مؤسسه مهندسین مشاور ساحل، (۱۳۸۴)

متراز	جهتداری میانگین سطوح ناپیوستگی								دسته ناپیوستگیها	نام واحد زمین شناسی مهندسي		
	III دسته درزه		II دسته درزه		I دسته درزه		لایه بندی					
	جهت شیب	شیب	جهت شیب	شیب	جهت شیب	شیب	جهت شیب	شیب				
0-2230	270	80-85	180-190	45-50	225-230	70-80	330-350	20-40	3+Random+Bedding	Gta1		
2280-4580			180-190	45-50	225-230	70-80	330-350	20-40	2 Joint Sets+Bedding	Gta2		
4800-6000			110-120	75-85	225-230	65-75	355-5	30-40	2 Joint Sets+Bedding	Gta3		
6000-7230			95	80	220	85	5-20	25-40	2+ Random + Bedding	Sts2-1		
7230-7850			135-145	60-65	240-260	70-80	10-30	35-45	2+Bedding (Foliation)	Sts1		
7850-8710			300-310	50-60	230-240	70-80	20-30	05-15	2+Random+Bedding (Foliation)	Tsh-1		
8710- 10010&10260- 10950			315	55	200-210	80-90	90-100	30-40	2+ Random + Bedding	Sts2-2		
10950-13400			130-140	75-85	220-240	70-80	50-60	25-35	2+ Random + Bedding	Gta4-1		
13400-4230							295-300	45-55	3+ Random + Bedding	Gta4-2		
14230-14680			190	80	150-160	55-60	300-310	45-55	2+ Random + Bedding	Sts2-3		
14680-15230							20-40	45-50	2+Random+Bedding (Foliation)	Tsh-2		
15350-15980	63	25	157	80	235	64	---	---	3 Joint sets	Mdg		

نکته: لازم به توضیح است که سایر زونهایی که این جدول آنها را شامل نمی شود، مربوط به زونهای خردشده (Cz) است که از نظر درزه داری شرایط خاص خود را دارد.

جدول ۲-۹-ویژگیهای دسته ناپیوستگیهای مختلف در واحدهای زمین‌شناسی مهندسی
منطقه (مؤسسه مهندسین مشاور ساحل، ۱۳۸۴)

Φ_b	JRC	JCS (MPa)	فاصله داری (متر)	تداوم (متر)	شرایط سطح ناپیوستگیها				نوع ناپیوستگی	تعداد ناپیوستگی های اصلی	واحد زمین‌شناسی مهندسی
					درجہ هوازدگی	بازشدگی (mm)	موجداری	زبری			
۳۰	۸-۱۰	۲۲	<۰/۱۵	<۱	متوسط	<۱	موجدار	صف تا کمی زبر	J1	4+ Random	Gta1
	۸-۱۰	۲۵	<۰/۲۵	<۱	اندک تا متوسط	<۱	موجدار	کمی زبر	J2		
	۲-۴	۲۵	<۰/۱۵	<۱	اندک تا متوسط	۱-۳	مسطح	کمی زبر	J3		
	۸-۱۰	۲۲	۰/۳-۰/۱۵	>۲۰	متوسط	کیپ	موجدار	صف تا کمی زبر	B		
۳۰	۸-۱۰	۶۰	۰/۲-۰/۴	۱-۳	اندک تا متوسط	<۱	موجدار	صف تا کمی زبر	J1	3	Gta2
	۲-۴	۶۰	۰/۱۵-۰/۳	<۱	اندک تا متوسط	<۱	مسطح	کمی زبر	J2		
	۸-۱۰	۶۰	۰/۲۵-۲	>۲۰	اندک تا متوسط	کیپ	موجدار	صف تا کمی زبر	B		
۳۰	۱۰-۱۲	۹۰	۰/۳-۰/۱۵	۱-۳	اندک	کیپ	موجدار	کمی زبرتا زبر	J1	3	Gta3
	۸-۱۰	۹۰	۰/۴-۰/۶	۱-۳	اندک	۰/۱-۱	موجدار	کمی زبر	J2		
	۱۰-۱۲	۹۰	۱-۳	>۲۰	اندک	کیپ	موجدار	کمی زبرتا زبر	B		
۳۲	۱۰-۱۲	۱۵۰	۰/۵-۰/۸	۳-۱۰	هوانزده	کیپ	موجدار	کمی زبرتا زبر	J1	2+ Random	Gta4
	۱۰-۱۲	۱۵۰	۱-۳	۳-۱۰	هوانزده	کیپ	موجدار	زبر	J2		
	۱۰-۱۲	۱۵۰	۱-۵	>۲۰	هوانزده	کیپ	موجدار	کمی زبرتا زبر	B		
۲۸	۲-۴	۱۱۰	۰/۳-۰/۱۵	۱-۳	اندک	کیپ	مسطح	صف تا کمی زبر	J1	3	Sts1
	۸-۱۰	۱۱۰	۰/۲۵-۲	۱-۳	اندک	کیپ	موجدار	کمی زبر	J2		
	۰-۲	۱۲۰	<۰/۴	>۲۰	هوانزده	کیپ	مسطح	صف	B-F		
۲۶	۸-۱۰	۱۴۰	۰/۵-۰/۸	۳-۱۰	اندک	کیپ	موجدار	کمی زبر	J1	2+ Random	Sts2
	۲-۴	۱۴۰	۰/۷۵-۱	۳-۱۰	اندک	کیپ	مسطح	کمی زبر	J2		
	۸-۱۰	۱۴۰	۱-۵	>۲۰	اندک	کیپ	موجدار	کمی زبر	B		
۲۷	۰-۲	۴۰	۰/۲-۰/۱۵	<۱	اندک تا متوسط	<۱	صف	صف	J1	3+ Random	Tsh
	۰-۲	۴۰	۰/۲۵-۲	<۱	اندک تا متوسط	کیپ	مسطح	صف	J2		
	۰-۲	۴۰	<۰/۲	>۲۰	هوانزده	کیپ	مسطح	صف	B-F		
۲۵	۱۰-۱۲	۸۰	۰/۲-۰/۱۵	۱-۳	اندک	کیپ	موجدار	زبر	J1	3	Mdg
	۱۰-۱۲	۷۰	۰/۴-۰/۱۸	۱-۳	اندک تا متوسط	<۰/۱	موجدار	زبر	J2		
	۱۰-۱۲	۸۰	۰/۵-۱	۱-۳	اندک	<۰/۱	موجدار	کمی زبرتا زبر	J3		
	۰-۲	۱۰	<۰/۰۶	<۰/۲	زیاد	>۱۰	مسطح	صیقلی		Crushed Rock	Cz

مقادیر RMR، RQD و GSI توده سنگ مسیر تونل تعیین شده و نتایج آن در جدول ۱۱-۲ درج شده است. منظور از RMR پایه در جدول ۱۱-۲ مقدار تصحیح نشده RMR از نظر جهت داری ناپیوستگیها می‌باشد. با توجه به تغییرات احتمالی جهت داری ناپیوستگی‌ها و عدم اطلاع دقیق از جهتداری ناپیوستیگها در عمق و با در نظر گرفتن زاویه شیب درزه‌های مشاهده شده در گمانه‌ها، به نظر می‌رسد که فرض شرایط Fair تا Very favorable مناسب باشد. بنابراین برای تصحیح RMR حدود ۵ واحد از مقدار آن کاسته می‌شود (مؤسسه مهندسین مشاور ساحل، ۱۳۸۴).

۲-۶- پارامترهای مقاومتی توده سنگ

برای تعیین پارامترهای مقاومتی توده سنگ از معیار شکست تجربی اصلاح شده هوک و براون استفاده شده است. معیار مذکور برای پیش‌بینی رفتار ماده سنگ و توده سنگ درزه دار قابل استفاده است. با استفاده از معادلات ریاضی می‌توان روابطی را بین پارامترهای رابطه هوک^۱ و براون^۲ و تنشهای برشی و قائم تعیین کرد. روابط مورد نظر در مقاله ارائه شده توسط هوک و همکاران ۲۰۰۲ ارائه شده‌اند (مؤسسه مهندسین مشاور ساحل، ۱۳۸۴). نتایج تعیین پارامترهای ثابت معیار هوک و براون، پارامترهایی مقاومتی و در نهایت پارامترهای مقاومت برشی برای گونه‌های لیتولوژیکی رخنمون یافته در مسیر تونل در جدول ۱۲-۲ ارائه شده است. مقادیر پارامترهای مقاومت برشی متوسط ارائه شده در جدول ۱۲-۲ بدون در نظر گرفتن میزان تنش قائم و از طریق برازش کردن رابطه خطی موهر-کولمب^۳ با رابطه خطی هوک و براون محاسبه شده‌اند.

1 -Hoek

2-Brown

3 -Mohr-Coulomb

جدول ۱۱-۲: نتایج نهایی طبقه بندی مهندسی توده سنگ‌های مسیر توغل

(مؤسسه مهندسین مشاور ساحل، ۱۳۸۴)

Q (بارتن سال ۱۹۷۴ میلادی)		GSI	رتبه بندی توده سنگ (بنياوسکى سال ۱۹۸۰ میلادی)				RQD (%)	واحد زمین شناسی مهندسى
توضیحات	مقدار		توضیحات	RMR _{89'}	RMR	RMR پایه		
Very Poor	0.167	43	Fair	48	43-48	48	15-50 (25)	Gta1
Very Poor	0.98	52.5	Fair	57.5	46.5-51.5	51.5	30-60 (50)	Gta2
Poor	2.05	68.5	Good	73.5	61.5-66.5	66.5	60-80 (50)	Gta3
Good	21.11	77.5	Good	82.5	72.5-77.5	77.5	90-100 (95)	Gta4
Poor	1.03	67	Fair	73	55-60	60	50-75 (70)	Sts1
Good	15	74.5	Good	79.5	69.5-74.5	74.5	75-100 (90)	Sts2
Very Poor	0.138	51.5	Fair	56.5	43.5-48.5	48.5	40-60 (50)	Tsh
Fair	6.16	68.5	Good	73.5	60.5-65.5	65.5	>70 (70)	Mdg
Exc. Poor	0.003	33.5	Very Poor to Poor	38.5	18.5-23.5	23.5	<25 (15)	Cz

برای تعیین پارامترهای مقاومت برشی در تنشهای قائم مختلف لازم است در هر نقطه بر منحنی هوک

و براون مماس رسم گردد. عرض از مبدأ شیب مماس مورد نظر به ترتیب مقادیر C و Φ توده سنگ

در تنש قائم مورد نظر هستند (مؤسسه مهندسین مشاور ساحل، ۱۳۸۴).

جدول ۱۲-۲ - نتایج تعیین پارامترهای مقاومتی توده سنگ در توپل

(مؤسسه مهندسین مشاور ساحل، ۱۳۸۴)

متوجه روباره (m)	پارامترهای مقاومت برشی متوجه		σ_t (MPa)	$\sigma_{m\text{global}}$ (MPa)	σ_m (MPa)	D	m _i	GSI	σ_c (MPa)	واحد زمین شناسی مهندسي
	Φ	C (MPa)								
200	40	0.69	0.031	5.101	1.192	13	43	30	Gta1	
350	45.5	1.69	0.161	15.634	5.223	13	52.5	75	Gta2	
350	51.3	3.093	0.715	29.978	17.285	13	68.5	100	Gta3	
500	54.4	6.518	1.833	60.415	42.897	15	77.5	150	Gta4	
150	57.6	2.584	0.712	35.773	19.066	14	67	120	Sts1	
250	57.1	4.946	1.567	54.154	36.281	14	74.5	150	Sts2	
150	48.5	0.865	0.099	10.202	3.286	13	51.5	50	Tsh	
100	63.1	1.819	0.310	37.111	15.557	27	68.5	90	Mdg	
300	24.7	0.484	0.012	1.605	0.327	8	33.5	15	Cz	

فصل سوم

انتخاب روش مناسب برای حفر تونل

۱-۳-مقدمه

پروژه قطعه اول تونل انتقال آب از پایین دست سد کرج به تصفیه خانه شماره ۶ تهران با مجموع طول ۱۵۹۸۰ متر، شیب ۰/۱۳۸ درصد، قطر حفاری ۴/۶۶۵ متر و قطر تمام شده ۳/۹ متر، یکی از پروژه هایی است که طراحی و اجرای آن به قرارگاه سازندگی خاتم الانبیاء (ص) واگذار شده است. در این فصل، استفاده از روشهای حفاری متداول، همانند روش چالزنی و آتشباری و همچنین استفاده از روشهای حفاری تمام مکانیزه با استفاده از ماشین تونلزنی کله گاوی^۱ یا ماشینهای حفر تمام مقطع تونل^۲ برای اجرای این تونل بررسی و در نهایت روش مناسب انتخاب می شود.

۲-۳-دلایل انتخاب ماشینهای تونلزنی تمام مقطع برای حفر تونل

در صورت استفاده از روشهای چالزنی و آتشباری و ماشین تونلزنی کله گاوی، بدلیل طول زیاد تونل و عدم کاربرد این روشهای در طول زیاد، نیاز به تونلهای دستری متعدد و ایجاد چند سینه کار برای احداث تونل می باشد. مدت زمان اتمام کل پروژه محدود به ۷۰ ماه است و مسیرهای تقسیم شده توسط تونلهای دستری طولانی می باشد. بنابراین استفاده تنها از این دو روش بدلیل پایین بودن سرعت حفاری و سرعت انجام آستر بتنی^۳ تونل در داخل کشور منطقی به نظر نمی رسد. به

1 -Roadheader

2 -Full Face Tunnel Boring Machine - TBM

3 -Lining

عنوان مثال، طولانی ترین مسیر با طول ۶۵۸۰ متر، بین 'K و A می‌باشد (در طول مسیر اولیه پیشنهادی مشاور تهران-بوستان موجود در استناد مناقصه دو تونل دسترسی پیش‌بینی شده است که یکی در نقطه A واقع در متراز ۶۵۸۰ از سمت نقطه 'K می‌باشد) که با ایجاد دو سینه کار، این مسیر به دو بخش ۳۲۹۰ متری تقسیم می‌شود. با توجه به سرعت متوسط حفاری ۶۰ متر در ماه برای هر دو روش حفاری با ماشین تونلزنی کله گاوی و چالزنی و آتشباری و همچنین ۱۲۰ متر در ماه برای بتن ریزی تمام مقطع تونل، حفاری این بخش از تونل اصلی، ۵۷ ماه و آستر بتی آن ۲۵ ماه به طول می‌انجامد به این ترتیب اجرای پروژه بیش از ۷۰ ماه طول خواهد کشید (مؤسسه حرا، ۱۳۸۲).

از آنجا که طول تونل در این پروژه ۱۵۹۸۰ متر است، اجرای بخشی یا تمامی این مسیر بدون استفاده از روش‌های تمام مکانیزه تونل‌سازی(ماشین‌های تونلزنی تمام مقطع)، در مدت زمان مدنظر کارفرما (۷۰ ماه) امکان پذیر نمی‌باشد. از طرفی با توجه به قرارگیری این دسترسیها در تپوگرافی نامناسب برای کار با روش‌های متداول و روش تونلزنی با ماشین کله گاوی و همچنین مسائل مربوط به تمليک به دليل احتمال قرارگیری برخی از دهانه ها در زمينه‌های ارتش، لزوم استفاده از روش‌های مکانیزه با ماشین‌های تونلزنی تمام مقطع در تمامی پروژه، بیش از پیش احساس می‌شود (مؤسسه حرا، ۱۳۸۲).

در نهایت با توجه به زمان ۷۰ ماهه مورد نظر کارفرما و نیاز به احداث دسترسی‌های متعدد در روش‌های اجرا با ماشین کله گاوی و چالزنی و آتشباری که بسیار بر هزینه‌های اجرا می‌افزایند و همچنین کاربرد وسیع استفاده از روش‌های حفاری تمام مقطع مکانیزه در احداث تونلهای طویل در جهان، اجرای تمام مکانیزه کل طول ۱۵۹۸۰ متری قطعه اول تونل کرج با ماشین‌های تونلزنی تمام

قطع، انتخاب شده است. برای این منظور انواع مختلف ماشینهای تونلزنی تمام مقطع بررسی و سپس ماشین تونلزنی مناسب انتخاب خواهد شد.

۳-۳- انواع مختلف ماشینهای تونلزنی مورد استفاده در محیطهای سنگی

در روش تونلزنی مکانیزه عمدتاً از دو نوع ماشین تونلزنی استفاده می‌شود. این دو نوع ماشین تونلزنی شامل ماشینهای تونلزنی تمام مقطع (TBM) و ماشینهای تونلزنی بازویی^۱ می‌باشد. ماشین تونلزنی تمام مقطع، تمام مقطع تونل را در یک وهله حفاری می‌کند ولی در ماشینهای تونلزنی بازویی، یک یا چند بازوی حفاری وجود دارد و سر حفار روی بازو سوار است. سطح مقطع سر حفار این ماشینها به مراتب کمتر از سطح مقطع تونل است و با جابجا کردن آن در نقاط مختلف سطح مقطع تونل، تونل حفاری می‌شود. هر یک از ماشینهای تونلزنی به انواع مختلفی تقسیم بندی می‌شوند که بسته به شرایط مختلف، می‌توان از هر کدام استفاده کرد. در محیطهای سنگی عمدتاً از ماشینهای تونلزنی زیر استفاده می‌شود (Herrenknecht et al, 2001):

۱- ماشین تونلزنی تمام مقطع بدون سپر^۲

۲- ماشین تونلزنی تمام مقطع سپری منفرد^۳

۳- ماشین تونلزنی تمام مقطع سپری مضاعف^۴

۴- ماشین تونلزنی تمام مقطع سپری تعادلی با فشار زمین^۵

۵- ماشین تونلزنی کله گاوی

۶- ماشین تونلزنی چکش هیدرولیکی^۶

1 -Boom Type Machine

2 -Open TBM

3 -Single Shiled TBM

4 -Double Shield TBM

5 -Earth Pressure Balance Shield

با توجه به مطالب مذکور در ابتدای فصل تنها ماشینهای تونلزنی تمام مقطع TBM (موارد ۱ تا ۴ اشاره شده در بالا) بررسی می‌شود و در نهایت با دلایل فنی مناسب دستگاه حفاری تمام مکانیزه انتخاب خواهد شد. تعریف انجمن بین المللی مکانیک سنگ (ISRM) در سال ۱۹۸۰ در مورد سنگ سخت^۲، مقاومت متجاوز از ۵۰ تا ۱۰۰ مگاپاسکال است؛ با قبول این تعریف کلی، می‌توان نتیجه گرفت که سنگ نرم^۳، سنگی با مقاومت کمتر از ۵۰ مگاپاسکال خواهد بود. در شکل ۱-۳ بر اساس این تعریف، محدوده کاری این ماشینها از سوی شرکت Robbins آمریکا پیشنهاد شده است (Askilsrud, 1996). همانطور که مشاهده می‌شود ماشین تونلزنی تمام مقطع بدون سپر در سنگهای سخت و ماشین تونلزنی تمام مقطع سپری منفرد در سنگهای نرم کاربرد دارد. همچنین ماشین تونلزنی تمام مقطع سپری مضاعف، قابل کاربرد در هر دو رده سنگی نرم و سخت و ماشین تونلزنی تمام مقطع سپری تعادلی با فشار زمین، قابل کاربرد در سنگهای خرد شده و زمینهای نرم می‌باشد.

۱-۳-۳-۳- ماشین تونلزنی تمام مقطع بدون سپر

از آنجا که این ماشین تونلزنی تمام مقطع حین حفاری تونل به دیواره تونل تکیه می‌کند، در مواردی به نام ماشین تونلزنی تمام مقطع چنگ زن^۴ نیز خوانده می‌شود. یک ماشین تونلزنی تمام مقطع بدون سپر، در حالت کلی از بخش‌های مختلفی تشکیل شده است. این اجزاء بطور کلی شامل بدنه ماشین تونلزنی^۵، سرحفار ماشین، ابزار برش^۶ و سرمهتهای، چنگزنهای ماشین، جکهای هل دهنده سرحفار^۷، سیستم بارگیری و تخلیه مواد حفر شده^۸ و بازوی نصاب^۹ می‌باشند.

1 -Hydraulic Hammer

2 -Hard Rock

3 -Soft Rock

4 -Gripper

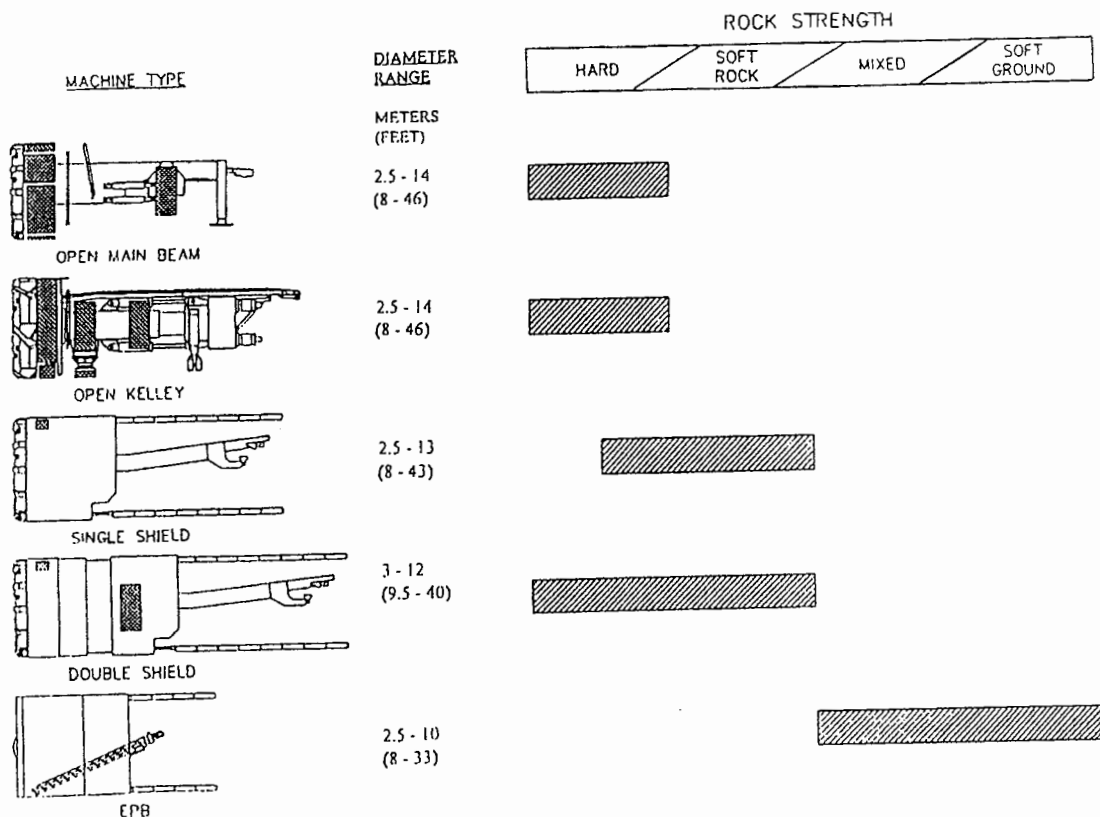
5 -Machine body

6 -Cutters

7 -Thrust jacks

8 -Mucking system

9 -Elector arm



شکل ۳-۱- محدوده کاری ماشینهای حفر تونل در سنگ با توجه به مقاومت سنگ (Askilsrud, 1996)

این ماشینها طرحیهای متفاوتی دارند ولی در کل دو سیستم دو کفشه^۱ و محور اصلی^۲ عمومیت بیشتری در میان سازندگان این نوع ماشینها دارند. شکل ۳-۲ و ۳-۳ دو نما از این دو شکل طراحی به همراه سیکل کاری آنها را نمایش می‌دهد (Askilsrud, 1996).

اساس کار ماشین تونلزنی تمام مقطع را می‌توان در چهار مرحله به صورت زیر خلاصه کرد : (Bickel et al, 1996; whittaker et al, 1990)

مرحله اول : در این مرحله، ماشین در جلو جبهه کار تونل مستقر می‌شود. دیوارگیرهای موجود در قسمت عقب و جلو ماشین کاملاً باز شده و به دیواره تونل تکیه می‌کنند. در این حالت جک

1 -Double gripper type

2 -Main beam type

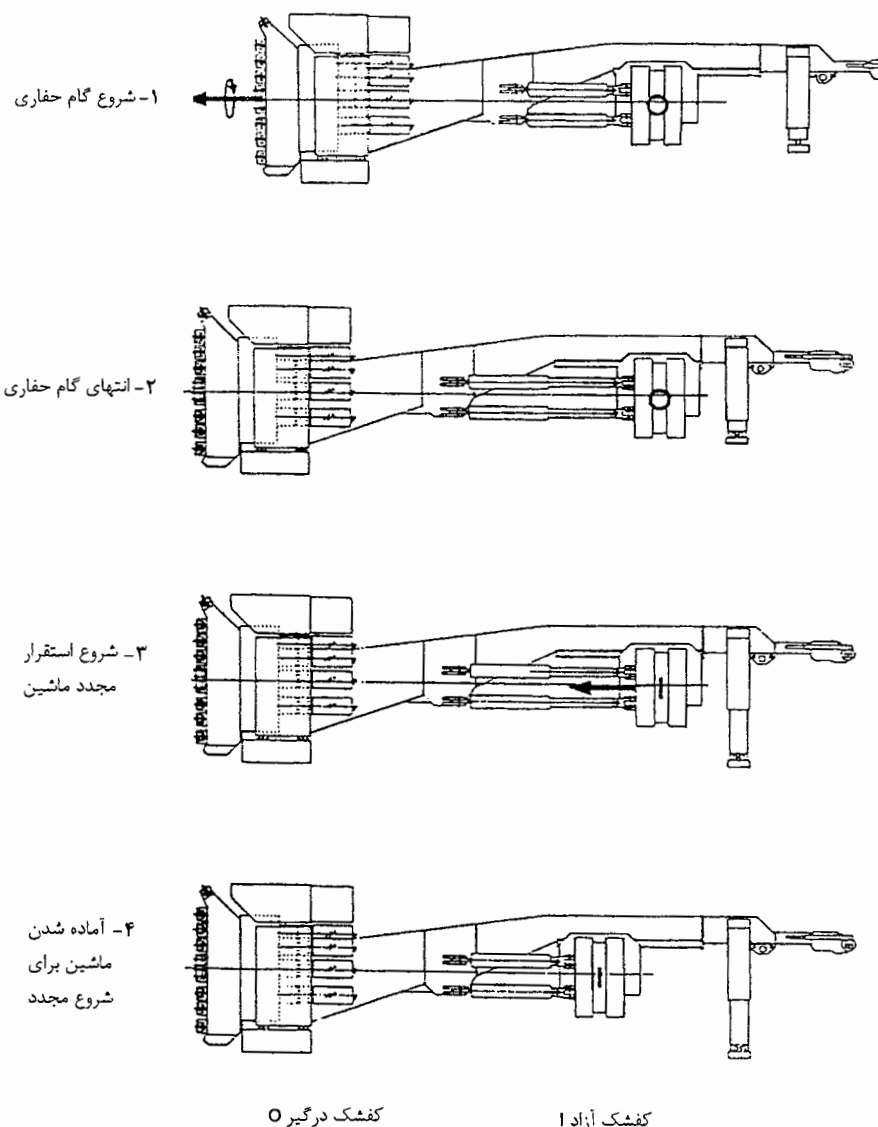
نگهدارنده عقب دستگاه آزاد است و ماشین تونلزنی برای انجام عملیات حفاری آماده است. یک سری از جکهای هل دهنده در پشت سر حفار ماشین وجود دارد و در حین حفاری تونل، سرحفار ماشین تونلزنی را به جلو هل می‌دهند.

مرحله دوم : عملیات حفاری تونل بطور پیوسته، تا جایی که جکهای هل دهنده سر حفار ماشین کاملاً باز شوند ادامه می‌یابد. میزان پیشروی سر حفار در ماشینهای مختلف تونلزنی متفاوت است و به طول جکهای هل دهنده سرحفار بستگی دارد.

مرحله سوم : در این مرحله، جکهای نگهدارنده عقبی ماشین و بازوی نگهدارنده سرحفار ماشین باز می‌شوند و کفشكهای ماشین جمع می‌شوند. در این حالت ماشین بر روی جکهای نگهدارنده عقبی و بازوی نگهدارنده سر حفار ماشین قرار گرفته است. حال جکهای هل دهنده قسمت عقب ماشین باز شده و بدنه ماشین تونلزنی را به جلو هل می‌دهند. همچنین جکهای هل دهنده سرحفار ماشین نیز جمع می‌شوند.

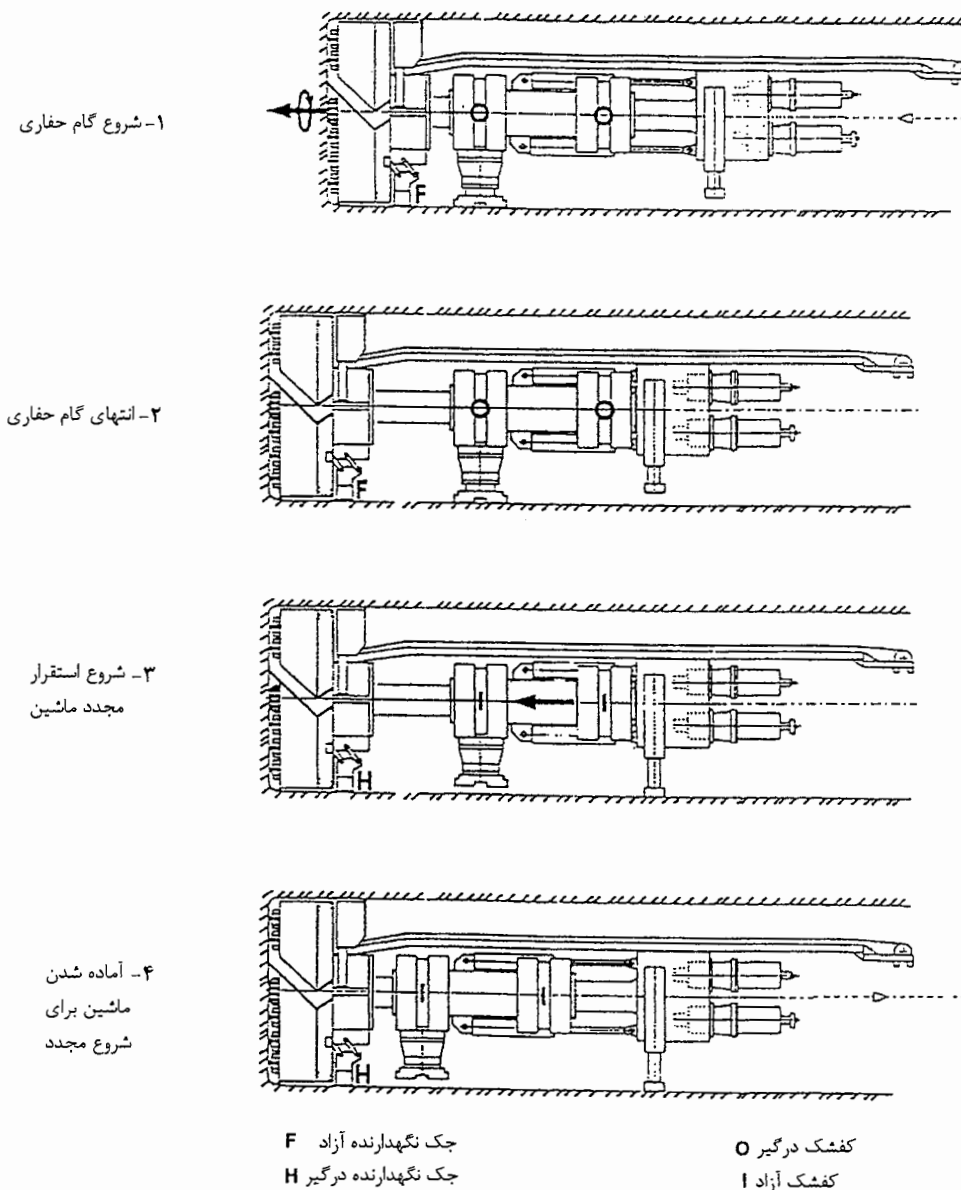
مرحله چهارم : در این حالت سر حفار ماشین تونلزنی دوباره به سینه کار تونل رسیده است. دیوارگیرهای ماشین باز شده و به دیواره تونل تکیه می‌کنند، جک نگهدارنده عقبی و بازوی نگهدارنده سرحفار ماشین جمع شده و ماشین برای انجام مجدد عملیات تونلزنی آماده است.

قبل از شروع سیکل جدید در صورتیکه در اثر چرخش ماشین حول محورش انحرافی ایجاد شده باشد و تصحیحاتی در جهت عمودی افقی و پیچشی ماشین در مسیر تونل نیاز باشد، توسط قاب در برگیرنده کفشكها و سیلندرهای تنظیم جهت ماشین، انجام می‌گیرد.



شکل ۳-۲-۲- سیکل کامل حفاری ماشین تونلزنی تمام مقطع بدون سپر
نوع محور اصلی (Askilsrud, 1996)

لازم به ذکر است که همزمان با عملیات حفاری ماشین نصب نگهداری موقت همانند مش و شاتکریت، بولت و یا قاب (در صورت نیاز) انجام می‌پذیرد. سیکل فوق الذکر برای تمام ماشینهای تونلزنی تمام مقطع بدون سپر صادق است، منتهی تفاوت‌های جزئی در انجام تصحیحات یا ایجاد قوسهای افقی یا عمودی در طول مسیر بین ماشینهای محور اصلی و ماشینهای دو کفشه وجود دارد.



شکل ۳-۳- سیکل کامل حفاری ماشین تونلزنی تمام مقطع بدون سپر

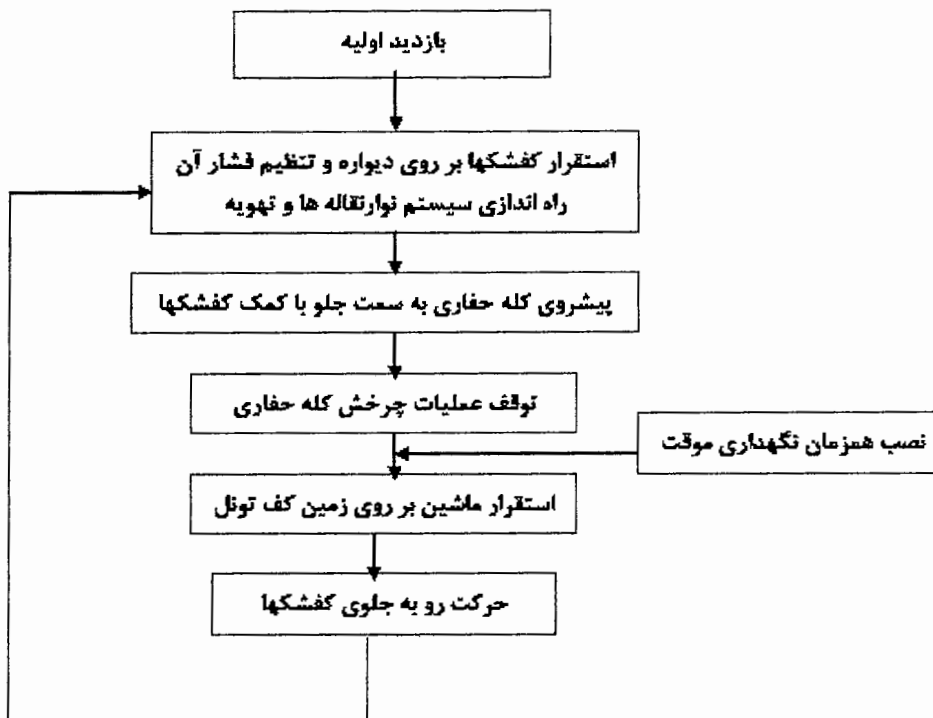
(Askilsrud, 1996)

در نوع اول به دلیل وجود یک دست کفشهک، تصحیحات در حین سیکل انجام می‌گیرد. لیکن در

نوع دوم، قبل از شروع سیکل، مسیر تنظیم شده و در طول هر سیکل، یک کورس مستقیم که در

طول خط محوری ماشین است، حفر می‌شود (مؤسسهٔ حرا، ۱۳۸۲). شکل ۴-۴ فلوچارت سیکل

پیشروی این ماشینها را به طور خلاصه نشان می‌دهد.



شکل ۳-۴- فلوچارت کلی سیکل پیشروی ماشین تونلزی تمام مقطع بدون سپر (مؤسسه حرا، ۱۳۸۲)

همانطور که قبلاً گفته شد، چون در حین عملیات تونلزی با این ماشین، دیوارگیرهای ماشین به دیواره تونل تکیه می‌کنند، در نتیجه سنگهای موجود در دیواره تونل باید ظرفیت باربری کافی برای تحمل نیروی عکس العمل کفشهای را داشته باشند. لذا در شرایطی که توده سنگ میزبان مقاومت فشاری پایینی دارد، استفاده از این ماشین تونلزی دارای محدودیت است. از سوی دیگر با پیشرفت‌های صورت گرفته در تکنولوژی ساخت انواع سرمته‌های مورد استفاده در این ماشینهای تونلزی، می‌توان سنگهای بسیار سخت و مقاوم را به کمک این ماشینهای تونلزی حفاری کرد (Bickel et al, 1996; whittaker et al, 1990).

مهمنترین مزیت ماشینهای تونلزی تمام مقطع بدون سپر نسبت به سپردارها، امکان دستیابی به سرعتهای بالای حفاری می‌باشد. این ماشینها، عمل حفاری و نصب نگهداری موقت را تقریباً همزمان انجام می‌دهند و به همین جهت سرعت بالایی در اجرا دارند. در پروژه‌هایی که امکان حذف آستر بتی

نهایی و یا اجرای سریع آن وجود دارد و شرایط سنگ نیز مناسب است، این ماشین ارجح و انتخاب اول است.

۲-۳-۳- ماشین تونلزنی تمام مقطع سپردار

کشور ژاپن بعنوان یکی از پیشگامان تکنیک تونلزنی سپری¹ است. البته در کشورهای اروپایی از جمله در کشور آلمان نیز پیشرفت‌هایی در این زمینه صورت گرفته است. بطور کلی می‌توان گفت ماشین تونلزنی تمام مقطع سپردار برای حفاری تونلهای به طول زیاد در زمینهای سست و ریزشی که ضخامت روبره تونل کم است کاربرد دارد. با به کار بردن ماشین تونلزنی تمام مقطع سپردار برای حفاری تونل، می‌توان از به هم ریختگی ایجاد شده در توده سنگ اطراف تونل جلوگیری کرد و در نتیجه در این شرایط می‌توان وقوع نشست در سطح زمین را به حداقل مقدار خود رساند (Maidl et al, 1989; Maidl et al, 1996).

محدوده کاربرد ماشین تونلزنی سپردار بسیار گسترده است. در زمینهای خاکی و بسیار سست تا زمینهای سنگی شکسته و ریزشی می‌توان از ماشین تونلزنی سپردار استفاده کرد. کلیه تجهیزات یک ماشین تونلزنی تمام مقطع (شامل تجهیزات حفاری، تجهیزات انتقال مواد از سینه کارتونل به پشت ماشین، تجهیزات مربوط به نصب پوشش حائل تونل و ...) درون یک استوانه فولادی قرار گرفته است. همزمان با عملیات حفاری تونل، پوشش حائل تونل تحت حفاظ سپر و در پشت ماشین تونلزنی نصب می‌شود. در نتیجه بدنه سپر به صورت یک محافظ بین سینه کار تونل و پوشش حائل نصب شده در پشت ماشین عمل می‌کند و لذا یک فضای ایمن برای پرسنل حفار و همچنین

1 -Shield tunneling

تجهیزات موجود در حین اجرای عملیات تونلزنی ایجاد می‌شود. همزمان با عملیات حفاری تونل، جکهای هل دهنده ماشین، بدنه سپر را به جلو هل می‌دهند و به این ترتیب به جلو پیشروی می‌کند.(Friant et al, 1993; Maidl et al, 1989)

مزایای ماشین تونلزنی تمام مقطع سپردار، عبارتند از(Maidl et al, 1989):

۱- به علت مکانیزه بودن عملیات و امکان نصب پوشش حائل تونل همزمان با عملیات تونلزنی، سرعت پیشروی عملیات تونلزنی بسیار زیاد است.

۲- به علت ایجاد به هم ریختگی کمتر در توده سنگ میزبان تونل، خطرات واردہ به ساختمان و تاسیسات موجود در سطح زمین کمتر است.

۳- در حین عملیات تونلزنی، اینمی پرسنل موجود در تونل حفظ می‌شود.

۴- از نظر مسائل و مشکلات زیست محیطی^۱ مثل آب زیرزمینی و سر و صدا، ماشینهای تونلزنی سپردار دارای بهترین عملکرد می‌باشند.

۵- پوشش حائل نصب شده دارای بهترین کیفیت و عملکرد می‌باشد و همچنین از نظر اقتصادی نیز مناسب تر است.

در مقابل مزایای گفته شده در بالا، استفاده از ماشینهای تونلزنی تمام مقطع سپردار با محدودیت هایی نیز همراه است. عمدۀ محدودیت های استفاده از این ماشینهای تونلزنی عبارتند از:

۱- مدت زمان زیادی جهت آماده سازی، ساخت و مونتاژ دستگاه لازم است.

۲- آماده سازی محل احداث تونل اغلب وقت گیر است.

1 -Environmental problem

۳- استفاده از این ماشینهای تونلزنی، تنها در مواردی که طول تونل از یک مقدار حداقلی بیشتر است، اقتصادی است.

۴- در مواردی که ویژگیهای زمین شناسی محل مورد حفاری بسیار متغیر است استفاده از این ماشینهای تونلزنی می‌تواند با ریسک زیادی همراه باشد.

۵- ماشینهای تونلزنی تمام مقطع سپردار عمدتاً تنها قادر به حفر تونلهای دایره‌ای شکل می‌باشند و از این نظر دارای محدودیت می‌باشند.

۶- تغییر مقدار سطح مقطع تونل، مثلًاً افزایش قطر تونل، با این ماشینها بسیار محدود است.

۷- در بعضی از ماشینهای تونلزنی سپردار، در حین طراحی پوشش حائل تونل، باید به مقدار نیروی ناشی از جکهای هل دهنده ماشین نیز توجه شود. در مواردی پوشش حائل تونل ممکن است قادر به تحمل نیروی عکس العمل جکهای هل دهنده ماشین نباشد.

امروزه با پیشرفت تکنولوژی، انواع بسیار متنوعی از ماشینهای تونلزنی سپردار به بازار عرضه شده است. ماشینهای تونلزنی سپردار انواع مختلفی دارند که تعدادی از آنها در محیط‌های سنگی قابل استفاده می‌باشد. در ادامه به بررسی این ماشینها پرداخته می‌شود.

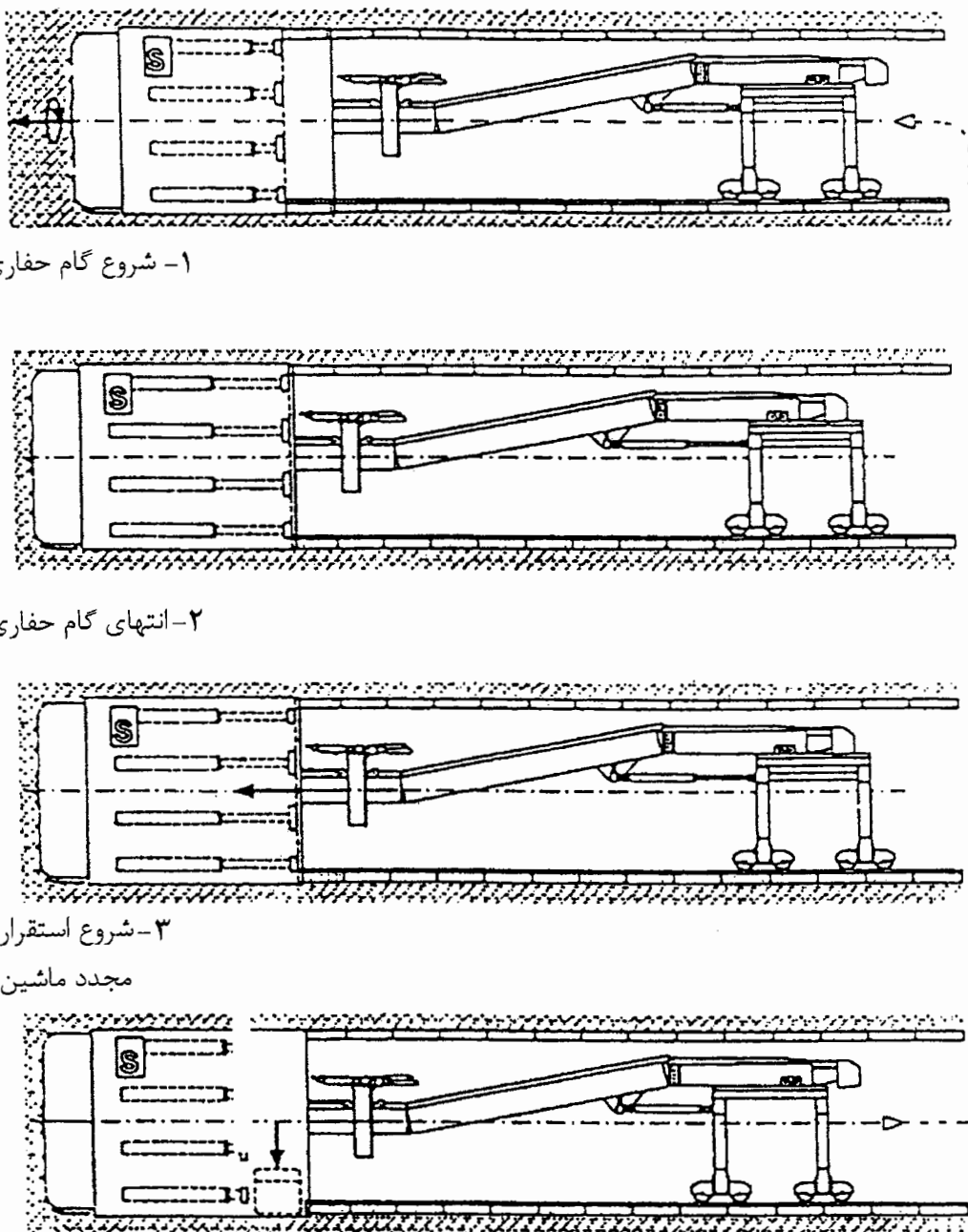
۱-۲-۳-۳-۳-۱- ماشین تونلزنی تمام مقطع سپری منفرد

این ماشین تونلزنی تمام مقطع، به صورت یک سپر استوانه‌ای کامل است و در شرایطی که لازم است تونل بطور کامل نگهداری شود، کاربرد دارد. پوشش حائل مورد استفاده با این ماشین تونلزنی عمدتاً قطعات پیش ساخته می‌باشد که در حین عملیات تونلزنی از قسمت دنباله سپر، در دیواره تونل نصب می‌شوند. پیش روی ماشین تونلزنی بوسیله جکهای هل دهنده ای که در انتهای ماشین به حلقه

نگهداری نصب شده تکیه می‌کنند، صورت می‌گیرد (Whittaker&Frith, 1990). نوع سرمهه‌ها و ترتیب قرارگیری آنها روی سر حفار ماشین، مشابه سایر ماشینهای تونلزنی تمام مقطع است. امروزه طرحهای مختلفی از ماشینهای تونلزنی تمام مقطع سپری منفرد به بازار عرضه می‌شود که هر کدام در شرایط خاص زمین شناسی کاربرد دارند. در این ماشینهای تونلزنی، نرخ پیشروی عملیات به سرعت نصب پوشش حائل در پشت ماشین بستگی دارد. سینه کار این ماشینها به هر دو صورت باز و بسته می‌تواند طراحی شود که این مورد بیشتر به میزان آب ورودی از جبهه کار بستگی دارد. در شکل ۵-۳ نمایی از این ماشین به همراه سیکل حفاری و سگمنت گذاری آن ارائه شده است.

سیکل عملیات حفاری این ماشینها به ترتیب زیر می‌باشد (مؤسسه حرا، ۱۳۸۲):

- ۱- بازدید اولیه : بازدید کله، متنهای، و دیسکهای حفاری و سایر قسمتهای مکانیکی دستگاه.
- ۲- شروع چرخش کله حفاری : پس از شروع کار سیستم تخلیه ماشین (نوار نقاله) و آمادگی سیستم تخلیه تونل، چرخش کله حفاری آغاز می‌شود.
- ۳- انجام حفاری و پیشروی همزمان ماشین به جلو : پس از اینکه کله حفاری، شروع به چرخش کرد، با اعمال فشار از طریق سیلندرهای پیش برنده بر روی سگمنت‌هایی که قبلًا در پشت دستگاه نصب شده‌اند، عملیات حفاری انجام شده و ماشین نیز همزمان به جلو رانده می‌شود.
- ۴- توقف بازوهای هیدرولیک پیش برنده : با پایان یافتن کورس بازویهای هیدرولیک، در واقع سیکل پیشروی نیز پایان می‌یابد.
- ۵- تخلیه مواد باقیمانده در سینه کار : پس از اتمام کورس بازویهای هیدرولیک، کله حفاری برای چند ثانیه به چرخش خود ادامه می‌دهد، تا کلیه مواد خردشده، از جلوی سینه کار تخلیه شوند.



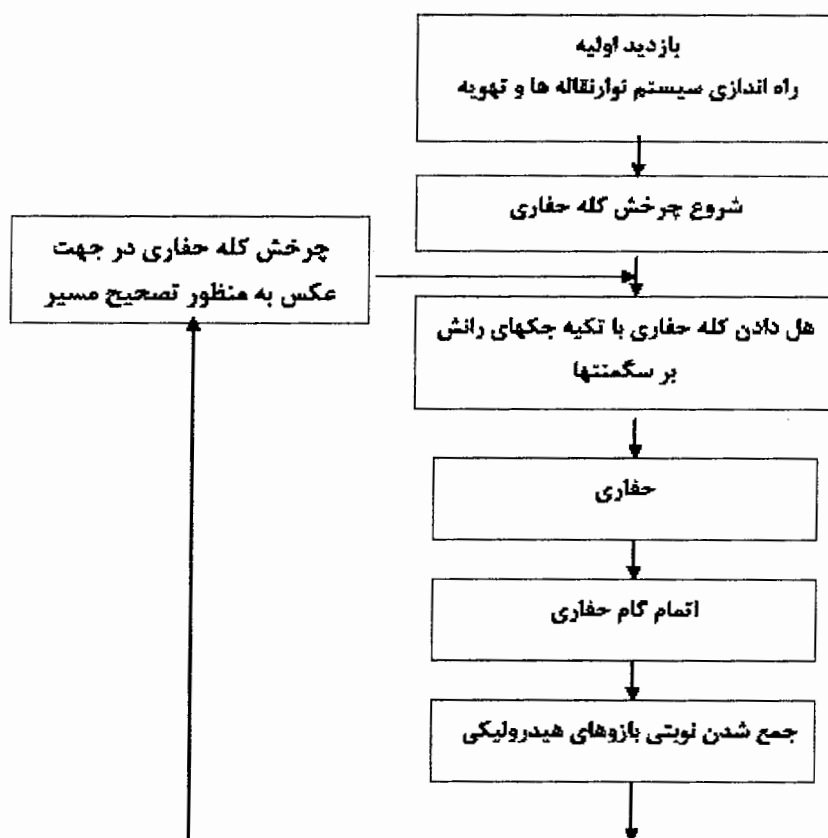
۶- نصب سگمنت : با توجه به اینکه فشار بازوهای هیدرولیک بر سگمنت نگهداری، نیروی پیش برنده

دستگاه را فراهم می کند، نصب سگمنتها را می توان جزئی از سیکل عملیات حفاری به حساب آورد.

پس از توقف چرخش کله حفاری، بازوهای هیدرولیکی که یک یا چند عدد از آنها روی هر قطعه از

سگمنتها قرار گرفته‌اند، رها شده و پس از نصب قطعه، با اعمال فشار ناچیزی، سگمنت را نگهداری می‌کند. در این حالت سایر بازوها، در محل قبلی خود باقی می‌مانند تا نوبت قطعه تحت فشار آنها برسد.

در ماشینهای تونلزنی تمام مقطع سپری منفرد به دلیل عدم وجود کفشک، تصحیحات چرخش حول محور، از طریق چرخش عکس کله در هر سیکل تأمین می‌شود. بدین ترتیب که در یک سیکل کله در جهت عقربه‌های ساعت و در سیکل بعدی در خلاف جهت عقربه‌های ساعت چرخش می‌کند. شکل ۳-۶، فلوچارت کلی سیکل پیشروی (حفاری و سگمنت گذاری) این ماشین را می‌دهد.



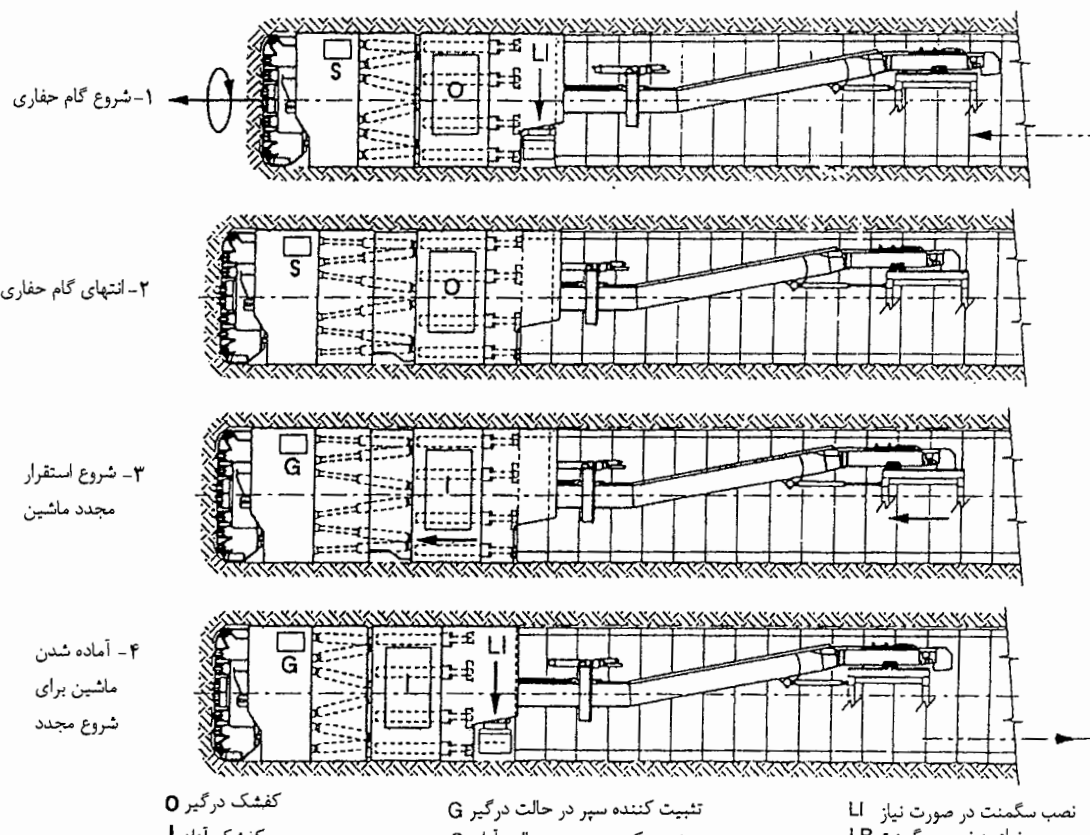
شکل ۳-۶- فلوچارت کلی سیکل پیشروی ماشین تونلزنی تمام مقطع سپری منفرد
(مؤسسه حرا، ۱۳۸۲)

۲-۳-۳-۳-۲- ماشین تونلزنی تمام مقطع سپری مضاعف

برای اولین بار شرکت پیمانکاری SELI از ایتالیا که سابقه‌ای طولانی در پروژه‌های حفاری مکانیزه تونلها دارد، ایده ساخت ماشینی با توانایی کار هم در زمینهای بسیار خرد شده و ضعیف و هم در زمینهای نیمه خرد شده و سخت را مطرح کرد و این ماشین تحت عنوان Double Shiled TBM توسط شرکت Robbins آمریکا ساخته شد. این ماشین دارای دو سپر جلو و عقب است و هم مجهز به کفشک (همانند ماشینهای Open TBM) و هم مجهز به جکهای رانش (همانند ماشینهای Single shield TBM) می‌باشد. به همین دلیل توانایی کار هم در زمینهای ریزشی و هم در زمینهای با مقاومت مناسب برای کفشک را دارد. در حالتی که زمین مقاومت مناسب را برای ایجاد رانش با کمک کفشک دارد، ماشین می‌تواند به حفاری و سگمنت گذاری مستقل و همزمان بپردازد و به همین دلیل سرعت حفاری ماشینهای تونلزنی تمام مقطع سپری مضاعف به طور تئوریک دو برابر ماشینهای تونلزنی تمام مقطع سپری منفرد و در عمل در پروژه‌های مشابه، ۳۰ درصد بیشتر است (Askilsrud, 1996). شکل ۷-۳ نمایی از سیکل کاری این ماشین در زمینهای با مقاومت مناسب برای کفشک زدن را نمایش می‌دهد.

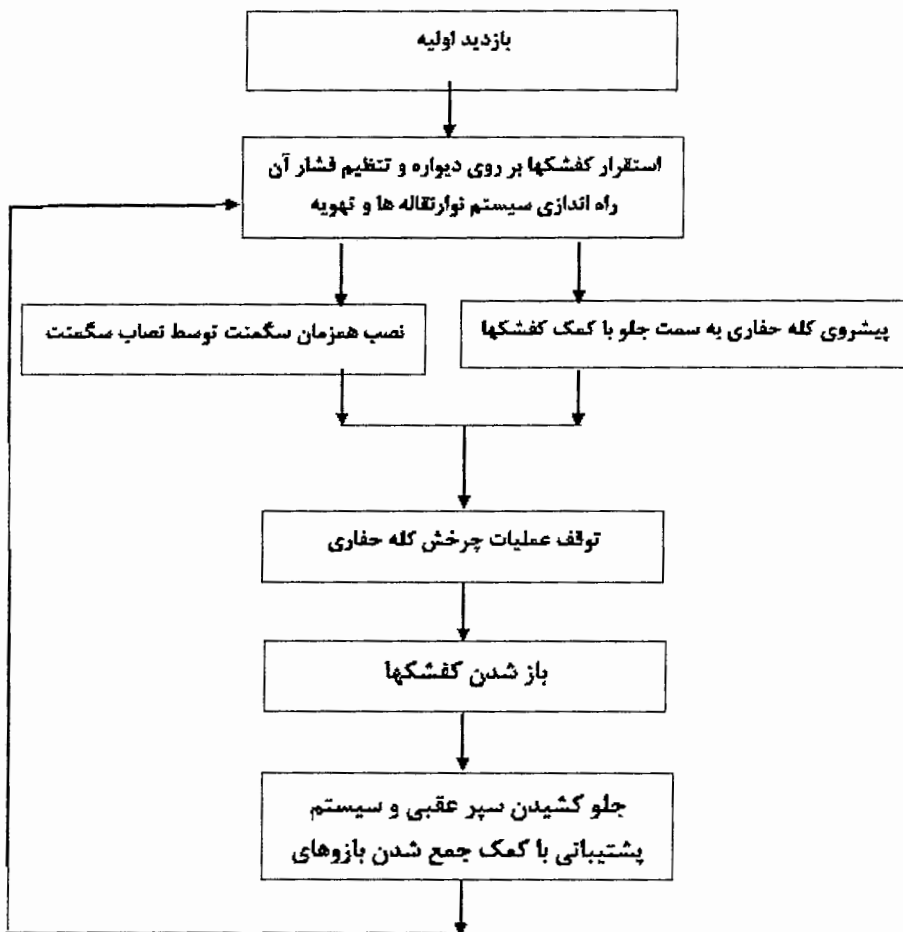
شکل ۸-۳ نیز فلوچارت سیکل عملیات حفاری در زمینهای با مقاومت مناسب را نمایش می‌دهد. همانطور که مشاهده می‌شود در هنگام حفاری در این حالت، از جکهای رانش استفاده نمی‌شود. در زمینهای ریزشی و خرد شده که امکان کفشک زدن وجود ندارد، ماشین تونلزنی تمام مقطع سپردار مضاعف (D.S.TBM) دقیقاً همانند یک ماشین تونلزنی تمام مقطع سپری منفرد (S.S.TBM) پیش روی می‌کند؛ یعنی عمل حفاری با کمک ایجاد نیروی رانش توسط جکهای انتهایی سپر و سپس

سیکل پیش روی این ماشین در سنگهای سست و ریزشی را ارائه می دهد.



شکل ۳-۷- سیکل حفاری D.S.TBM در زمینهای نیمه خرد شده یا مناسب در حالت کاری (Askilsrud, 1996)

پیش روی در ماشین تونلزنی تمام مقطع سپری تعادلی با فشار زمین، در اوایل دهه هفتاد در ژاپن شروع شد. اولین ماشین تونلزنی تمام مقطع سپری تعادلی با فشار زمین، برای حفاری یک تونل به طول ۱۹۰۰ متر و به قطر ۳/۷۲ متر در شهر توکیو بکار گرفته شد. در سالهای اخیر، انواع مختلفی از این ماشینهای تونلزنی توسط کارخانه‌های مختلف ماشین سازی در سراسر دنیا ساخته و با نامهای مختلفی به بازار عرضه شده است (Maidl et al, 1989).

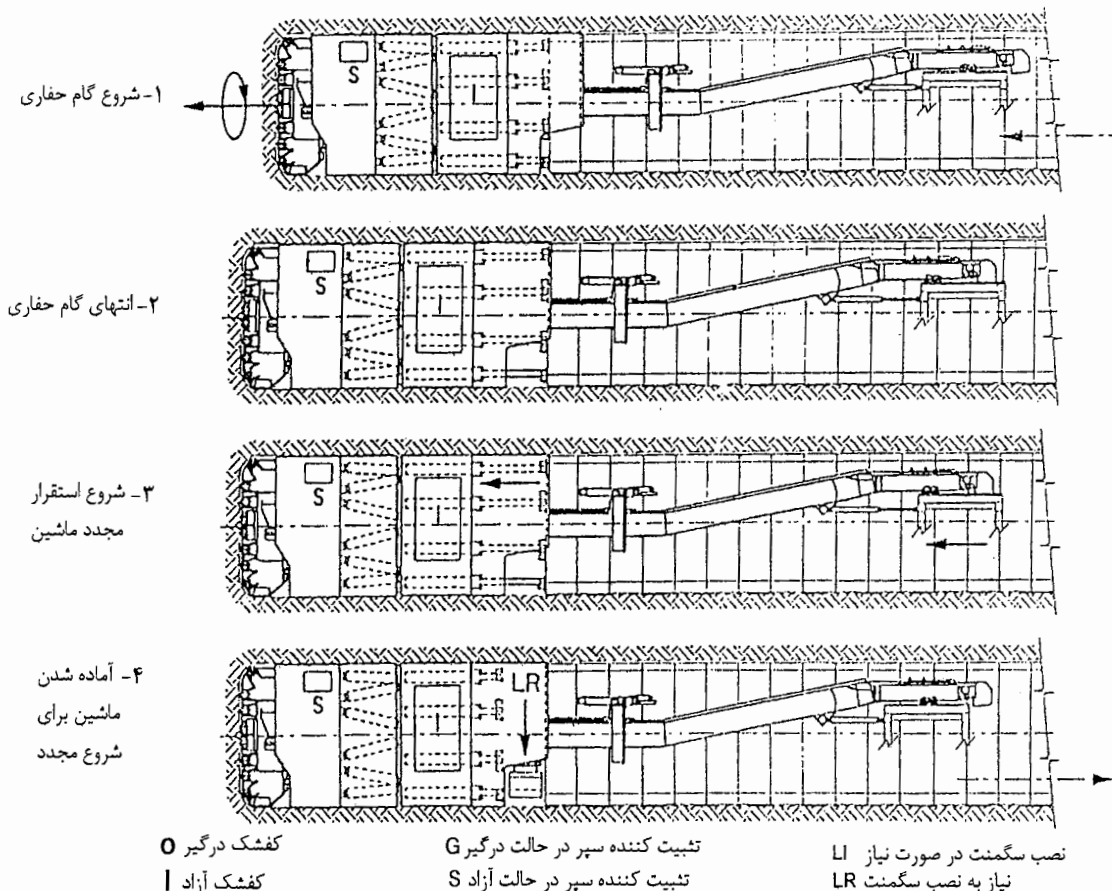


شکل ۳-۸- فلوچارت کلی سیکل پیشروی ماشین D.S.TBM در زمینهای با مقاومت مناسب
(مؤسسه حرا، ۱۳۸۲)

این ماشین تونلزنی در ردۀ ماشینهای تونلزنی سپر بسته^۱ قرار می‌گیرد. با این ماشین تونلزنی علاوه بر کنترل سینه کار تونل، می‌توان فشار هیدرواستاتیک آب زیرزمینی را کنترل کرد. عمدۀ هدف از استفاده ماشین تونلزنی سپری تعادلی با فشار زمین کنترل سینه کار تونل بوسیله فشار ناشی از مواد حفاری شده در جلو سینه کار تونل است. در حقیقت در این ماشین تونلزنی، مواد حفاری شده درون اتاق حفاری^۲ در جلو سینه کار تونل انباشته می‌شوند و فشار لازم را به سینه کار تونل اعمال می‌کنند.

1 -Closed Face Machine

2 -Excavation Chamber



شكل ۳-۹- سیکل کامل حفاری D.S.TBM در زمینهای بسیار خرد شده و ریزشی

(Askilsrud, 1996) Single

برای آنکه مواد حفاری شده و انباسته شده در اتاقک حفاری بتوانند فشار لازم را به سینه کار تونل اعمال کنند، لازم است این مواد پس از حفاری، یکدستی^۱ و خصوصیات پلاستیکی مناسبی داشته باشند. در غیر اینصورت لازم است با تزریق مواد افزودنی مثل گل بنتونیت، کف و... ویژگی‌های پلاستیکی مواد حفاری بهبود یابد. خارج کردن و انتقال مواد حفاری شده از جلو سینه کار تونل به پشت ماشین تونلزنی بوسیله یک دستگاه نوار نقاله حلزونی^۲ صورت می‌گیرد. این نوار نقاله حلزونی همچنین در کنترل میزان فشار موجود در اتاقک حفاری ماشین نیز موثر است. محدوده

1 -Consistency

2 -Screw conveyor

کاربری ماشینهای تونلزنی تمام مقطع سپری تعادلی با فشار زمین بسیار گسترده است. این ماشین تونلزنی هم در محیطهای سنگی بسیار سخت (با بکارگیری سرمته‌های دیسکی و غلطکی روی سرحفار ماشین) و هم در خاکهای بسیار سست و ریزشی کاربرد دارد. به ویژه در حفاری تونلهای کم عمق در مناطق حساس، که وقوع نشت در سطح زمین بسیار مهم است، استفاده از این ماشین تونلزنی بهترین گزینه می‌باشد (منصوری بروجنی، ۱۳۸۲).

۴-۳- انتخاب ماشین تونلزنی

یکی از حساسترین مسائلی که در رابطه با اجرای مکانیزه تونلهای مطرح است، انتخاب صحیح نوع ماشین حفار می‌باشد که با بررسی فنی، بسته به شرایط زمین شناسی و برنامه زمانبندی پروژه، انتخاب می‌شود. شرایط زمین شناسی و ژئوتکنیک سنگ در برگیرنده و نوع مصالح تشکیل دهنده آن یکی از مهمترین مواردی بوده که همواره اجرای تونلهای را تحت الشعاع قرار داده است. علاوه بر این وضعیت ناپیوستگی‌ها، تغییرات لایه‌ها، میزان نفوذ آب و بسیاری موارد دیگر نیز مسائل مهمی هستند که در تصمیم گیری برای انتخاب نوع ماشین باید روشن شده باشند. برنامه زمانبندی پروژه نیز به خودی خود بر روی نوع ماشین تأثیرگذار خواهد بود. مثلاً در انتخاب یک ماشین تونلزنی تمام مقطع سپردار مضاعف جهت اجرای تونل، نرمهای معمول بتن ریزی و آستر بتونی نهایی تونل در داخل هر کشور نیز موثر است. بنابراین مورد مذکور نیز باید به دقت بررسی شود تا ماشین توانایی اجرای به موقع پروژه، را داشته باشد. برخی پارامترهای ژئوتکنیکی و زمین شناسی لازم برای انتخاب ماشین همراه با مقادیر کمی در جدول ۳-۱ گردآوری شده است.

جدول ۳-۱- پارامترهای زئوتکنیکی و زمین شناسی (مؤسسه مهندسین مشاور ساحل، ۱۳۸۴)

متوسط روباره (m)	σ_m (MPa)	RQD (%)	* فاصله داری (m)	چگالی متوسط (t/m³)	σ_c (MPa)	واحد زمین شناسی مهندسي
200	1.192	15-50 (25)	<0.25	2.6	30	Gta1
350	5.223	30-60 (50)	<0.4	2.6	75	Gta2
350	17.285	60-80 (50)	<0.6	2.6	100	Gta3
500	42.897	90-100 (95)	<3	2.6	150	Gta4
150	19.066	50-75 (70)	<2	2.6	120	Sts1
250	36.281	75-100 (90)	<1	2.55	150	Sts2
150	3.286	40-60 (50)	<2	2.6	50	Tsh
100	15.557	>70 (70)	<1	2.8	90	Mdg
300	0.327	<25 (15)	<0.06	2.6		Cz

* بزرگترین فاصله داری نایپوستگیها در هر واحد در نظر گرفته شده است.

مجاله شوندگی^۱ در حین حفر تونل یکی از مسائل مهمی است که می‌بایست بررسی شود. مجاله شوندگی حین حفاری از جنبه برنامه زمانبندی پروژه و هزینه‌ای می‌تواند مشکلاتی را برای پروژه ایجاد کند. لذا در این بخش، ابتدا به بررسی رفتار مجاله شوندگی برای انواع واحدهای زمین شناسی مهندسی مسیر تونل (Gta1, Gta2 و...) پرداخته می‌شود. بنا به تعریف انجمن بین المللی مکانیک سنگ (ISRM) به تغییر شکلهای بزرگ و وابسته به زمان که در سنگهای در برگیرنده تونل اتفاق افتاده و ضرورتاً مرتبط با رفتار خزشی ناشی از افزایش تنفس برشی محدود شده در سنگ می‌باشد، رفتار مجاله شوندگی گفته می‌شود (Barla, 1995). برای کمی کردن رفتار مجاله شوندگی روش‌های مختلفی وجود دارد از میان روشها، روش نیمه تجربی هوک و مارینوس ۲۰۰۰، انتخاب شده است(Hoek&Marinos, 2000).

1 -Squeezing

در سال ۲۰۰۰ هوک و مارینوس خاطر نشان کردند که برای تعیین میزان پتانسیل مچاله شوندگی زمین می‌توان از کرنش تونل^۱ بر حسب شاخص سازگاری^۲ استفاده کرد. منظور از کرنش، نسبت میزان جابجایی شعاعی تونل به شعاع اولیه تونل است یعنی:

$$\varepsilon_t = \frac{\Delta R}{R_o} \quad (1-3)$$

ΔR : تغییرات ایجاد شده در شعاع تونل در اثر وقوع پدیده مچاله شوندگی

R_o : شعاع اولیه تونل

همچنین منظور از شاخص سازگاری، نسبت مقاومت فشاری تک محوری توده سنگ به تنش روباره می‌باشد. یعنی:

$$N_c = \frac{\sigma_{cm}}{P_o} = \frac{\sigma_{cm}}{\gamma H} \quad (2-3)$$

σ_{cm} : مقاومت فشاری تک محوری توده سنگ

P_o : میزان تنش درجا در عمق

γ : وزن واحد حجم سنگ

H : عمق تونل

هوک در سال ۲۰۰۰ به کمک مطالعات صورت گرفته به روش اجزاء محدود در حالت تقارن محوری^۳ و در مقادیر گسترهای از توده سنگ‌های مختلف، در مقادیر مختلفی از تنش درجا و فشار داخلی حائل

: (Hoek&Marinos, 2000) رابطه تقریبی زیر را برای محاسبه مقدار کرنش تونل ارائه کرد (P_i)

$$\varepsilon_t = 0.15 \left(1 - \frac{P_i}{P_o}\right) \frac{\sigma_{cm}^{-(3P_i/P_o + 1)/(3.8P_i/P_o + 0.54)}}{P_o} \quad (3-3)$$

که در این رابطه P_i فشار داخلی ناشی از حائل نصب شده در دیوار تونل می‌باشد و سایر پارامترها قبل از تعریف شده است.

1 -Tunnel strain

2 -Competency factor

3 -Axi-symmetric

در حین حفاری تونل و قبل از نصب هر گونه پوشش حائل داخلی، مقدار کرنش تونل ε_t را می‌توان

بصورت زیر برآورد کرد (Hoek&Marinos, 2000):

$$\varepsilon_t = 0.15 \frac{\sigma_{cm}^{-1.852}}{P_o} \quad (4-3)$$

بر اساس مطالعات صورت گرفته و پژوههای مختلف بررسی شده توسط هوک، زمین از نظر خاصیت

مچاله شوندگی مطابق جدول ۲-۳ تقسیم بندی شده است (Hoek&Marinos, 2000).

جدول ۲-۳- تقسیم بندی زمین از نظر خاصیت مچاله شوندگی (Hoek&Marinos, 2000)

کرنش تونل (%)	میزان مچاله شوندگی	شماره طبقه
≤ 1	No squeezing (Few support problem)	1
1 - 2.5	Light squeezing (Minor squeezing)	2
2.5 - 5	Fair squeezing (Sever squeezing)	3
5 - 10	Heavy squeezing (Very sever squeezing)	4
≥ 10	Very Heavy squeezing (Extreme squeezing)	5

بنابراین با استفاده از رابطه ۴-۳ و با جدول ۲-۳ می‌توان رفتار مچاله شوندگی حین حفاری تونل برای

انواع واحدهای زمین‌شناسی مهندسی مسیر تونل را محاسبه نمود. جدول ۳-۳ مقادیر کمی و کیفی

شرایط مچاله شوندگی را برای انواع واحدهای زمین‌شناسی مهندسی مسیر تونل نشان می‌دهد.

بنابراین با برآورد تقریبی رفتار مچاله شوندگی حین حفاری برای هر یک از واحدهای زمین‌شناسی

مهندسی مسیر تونل، وجود پتانسیل مچاله شوندگی در طول مسیر تونل منتفی می‌باشد. با این وجود

برای اطمینان بیشتر (به خاطر تقریبی بودن محاسبات)، پیشنهاد می‌شود در صورت استفاده از ماشین

تونلزنی سپردار و به منظور جلوگیری از گیر کردن ماشین در اثر همگرایی تونل به ویژه در ناحیه‌های

خرد شده (واحد زمین‌شناسی مهندسی Cz) حتی المقدور از تعطیلی بلند مدت کارگاه جلوگیری

شود. البته در صورت ایجاد مشکل راه حلهایی همچون تزریق بنتونیت در پشت سپر و حفاری فضای اطراف آن با روشهای دستی جهت کاستن از اصطکاک وجود دارد ولی بهترین و موثرترین راه مقابله، جلوگیری از تعطیلی کارگاه با تعمیر و نگهداری منظم و رفع به موقع مشکلات مالی و فنی مرتبط با ماشین است.

جدول ۳-۳- مقادیر کمی و کیفی مچاله شوندگی در طول مسیر

توضیحات	کرنش تونل (%)	واحد زمین شناسی مهندسی
No squeezing	0.021	Gta1
No squeezing	0.001	Gta2
No squeezing	0.00008	Gta3
No squeezing	0.00001	Gta4
No squeezing	0.00016	Sts1
No squeezing	0.00003	Sts2
No squeezing	0.00425	Tsh
No squeezing	0.00033	Mdg
No squeezing	0.15242	Cz

ماشینهای مختلف تونلزنی در حفاری سنگها، با مقاومت فشاری تک محوری خاصی دارای بهترین عملکرد هستند. از سوی دیگر در بعضی مقادیر مقاومت فشاری تک محوری ماده سنگ، ممکن است استفاده از یک ماشین تونلزنی بسیار محدود و حتی غیر ممکن باشد. لازم است ابتدا محدوده‌هایی از مقاومت فشاری تک محوری ماده سنگ، که هر یک از ماشینهای تونلزنی مورد نظر در آن محدوده از مقاومت فشاری تک محوری بهترین عملکرد را دارند، تعیین شود. ماشین تونلزنی تمام مقطع بدون سپر در حفاری تونل در سنگهای با مقاومت فشاری تک محوری بیش از 40 MPa به کار گرفته می‌شود. این نوع ماشین در زمینهای با مقاومت کم بسیار حساس هستند، به طوری که در زمینهای با

مقاومت فشاری تک محوری کمتر از 40 MPa لازم است میزان ظرفیت تاب آوری سنگ در محل دیوارگیرهای ماشین به نحوی افزایش یابد که حین تکیه کردن کفشکهای ماشین به دیواره تونل، سنگ دچار خرابی و گسیختگی نشود. همچنین حین استفاده از این ماشین‌ها در حفاری تونل در سنگهای با مقاومت فشاری تک محوری بسیار زیاد، لازم است پارامترهای مربوط به قابلیت حفاری ماشین به دقت طراحی شوند (منصوری بروجنی، ۱۳۸۲).

بنا به نظر گروه تحقیقاتی DAUB یک ماشین تونلزنی تمام مقطع بدون سپر در محدوده مقاومت فشاری تک محوری بین ۵۰ تا ۳۰۰ مگاپاسکال کاربرد دارد. در مقادیر بالاتر مقاومت فشاری تک محوری ماده سنگ، استفاده از این ماشین‌ها دارای محدودیت اقتصادی است (منصوری بروجنی، ۱۳۸۲).

بنا به نظر گروه تحقیقاتی DAUB ماشینهای تونلزنی تمام مقطع سپری منفرد در سنگهای شکننده و ناپایدار با مقاومت فشاری تک محوری بین ۵ تا ۵۰ مگاپاسکال کاربرد دارند. در حقیقت در سنگهای با مقاومت فشاری تک محوری بیشتر از ۵۰ مگاپاسکال این ماشین تونلزنی می‌تواند بکار گرفته شود ولی به علت مشکل بودن تعویض سرمته‌ها، اغلب عملیات حفاری با این نوع ماشین‌ها در سنگهای با مقاومت فشاری تک محوری بالا بسیار وقت گیر است (منصوری بروجنی، ۱۳۸۲).

ماشین تونلزنی تمام مقطع سپری مضاعف، چون به صورت ترکیبی از ماشین تونلزنی تمام مقطع کفشک دار و ماشین تونلزنی تمام مقطع سپری منفرد است، در نتیجه مزایا و محدودیت‌های هر دو ماشین فوق را دارا می‌باشد. در زمینهای نرم مشکل فرو رفتن کفشکهای ماشین را دارد و در زمینهای با مقاومت فشاری تک محوری بسیار زیاد تعویض سرمته‌ها بسیار وقتگیر است ولی در این ماشین‌ها چون پوشش حائل تونل مستقل از عملیات حفاری ماشین نصب می‌شود و عملیات نصب

پوشش حائل تونل تحت حفاظ سپر اجرا می‌شود، در نتیجه در شرایط خاص کاربرد زیادی دارد. می‌توان گفت محدوده کاربری مناسب این ماشین تونلزنی در مقاومت فشاری تک محوری بین ۲۰ تا ۱۲۰ مگاپاسکال است. چون کفشکهای این نوع ماشین از کفشکهای بکار گرفته شده در ماشین تونلزنی تمام مقطع بدون سپر، بزرگتر هستند در نتیجه در زمین‌های با مقاومت فشاری کمتر نیز کاربرد دارند (منصوری بروجنی، ۱۳۸۲).

همچنین ماشینهای تونلزنی در دامنه‌های خاصی از ضریب کیفیت سنگ (RQD) عملکرد بهتری دارند. به طور کلی ماشینهای تونلزنی تمام مقطع بدون سپر، در محدوده مقدار ضریب کیفیت سنگ بین ۵۰ تا ۱۰۰ درصد عملکرد مناسبی دارند. در مقادیر کمتر مقدار ضریب کیفیت سنگ (RQD)، که کیفیت سنگ افت می‌کند، لازم است پایداری سینه کار تونل کنترل شود. در مقادیر ضریب کیفیت سنگ بین ۱۰ تا ۵۰ درصد، انواع ماشینهای تونلزنی تمام مقطع سپردار مناسب می‌باشند. البته در شرایط خاص، لازم است تدبیر خاصی در طراحی ماشین منظور شود (منصوری بروجنی، ۱۳۸۲).

یکی از عوامل اساسی که در انتخاب نوع ماشین تونلزنی بسیار موثر است، فاصله داری درزه‌ها می‌باشد. در زمینهایی که فاصله داری ناپیوستگی‌های موجود در محل کمتر از ۶۰ سانتی متر است، عمدتاً ماشین تونلزنی تمام مقطع بدون سپر، مشکلاتی در محل کفشکهای ماشین خواهد داشت. ولی ماشین تونلزنی تمام مقطع سپری مضاعف چون کفشکهای بزرگتری دارد بروز این مشکلات کمتر است (منصوری بروجنی، ۱۳۸۲).

زمانبندی کلی مورد نظر کارفرما برای پروژه (۷۰ ماه) و همچنین برنامه‌ریزی‌های زمانبندی انجام پروژه، از مهمترین مسائلی می‌باشد که باید مورد توجه قرار گیرد. در صورت استفاده از ماشین تمام مقطع بدون سپر و با توجه به قطر کم تونل برای بتن ریزی بر جای همزمان با اجرا و نرم‌های پایین بتن ریزی در کشور (حدود ۱۲۰ متر در ماه)، برای آستر بتنی این تونل نیاز به زمانی حدود ۱۳۴ ماه از یک جبهه کار و حتی اگر امکان کار از 'K (نقطه ورودی تونل) باشد، با دو جبهه کار، این زمان به ۶۷ ماه کاهش خواهد یافت که با توجه به مدت زمان ۷۰ ماهه برای کل پروژه از زمانبندی کارفرما خارج خواهد شد. شایان ذکر است که به دلیل مشکلات راههای دسترسی و فضای محدود در 'K و همچنین مشکلات احتمالی ناشی از آبهای زیرزمینی، امکان تجهیز کارگاه مکانیزه دوم در نقطه 'K وجود ندارد. همچنین با توجه به برنامه‌های زمانبندی پروژه، کل مسیر می‌بایست در مدت ۴۳ ماه حفاری و سگمنت گذاری شود. با فرض ۲۵ روز کاری در ماه و نرم مورد نیاز ۳۷۲ متر در ماه یا ۱۵ متر در روز می‌بایست ماشینی با سرعت بالا انتخاب کرد تا با احتمال برخورد با برخی مشکلات در طول مسیر و توقفهای ناخواسته و همچنین طول زیاد تونل، بتوان با سرعت بیشتری حفاری کرد (مؤسسه حرا، ۱۳۸۲).

برای انتخاب مناسب ماشینهای تونلزنی تمام مقطع می‌بایست، سرعت حفاری مد نظر قرار بگیرد. بطور کلی، سرعت حفاری ماشین تونلزنی تمام مقطع سپری مضاعف به طور تئوریک دو برابر ماشین تونلزنی تمام مقطع سپری منفرد و در عمل بر اساس آمار پروژه‌های مشابه، ۳۰ درصد بیشتر است. ماشین تونلزنی بدون سپر نیز همین برتری را بر ماشین تونلزنی سپری منفرد دارد با این تفاوت که ماشین تونلزنی تمام مقطع سپری مضاعف به دلیل نصب همزمان سگمنت در پایان حفاری، اجرای

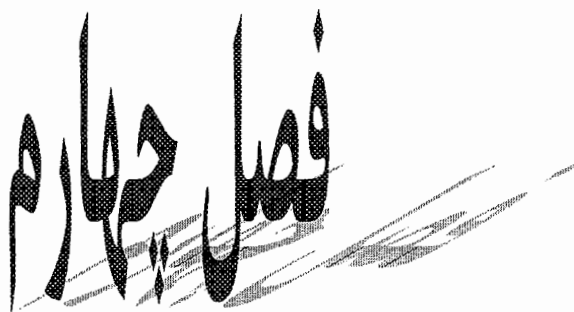
تونل را تکمیل می کند ولی پس از حفاری با ماشین تونلزنی تمام مقطع بدون سپر، تونل‌سازی تمام نشده و فعالیت بتن ریزی آغاز می شود و به این ترتیب زمان بتن ریزی بر زمان اجرای تونل افزوده خواهد شد. همچنین با استناد به پروژه های مشابه در جهان استفاده از ماشین تونلزنی سپری منفرد در طولهای بطور متوسط $\frac{3}{5}$ کیلومتر رایج می باشد و طولانی ترین طول کار شده با توجه به اطلاعات موجود، ۸ کیلومتر در ترکیه بوده است. در حالیکه این طول متوسط برای ماشین تونلزنی سپری مضاعف حدود ۱۰ کیلومتر می باشد و سابقه اجرای تونل با طول بیش از ۱۵ کیلومتر از یک دهانه با این ماشین وجود داشته است (مؤسسه حرا، ۱۳۸۲).

با توجه به خارج بودن بازه زمانی آستر بتنی از کل زمان محدود انجام پروژه (70ماه) و عدم توانایی کفشک زدن در واحدهای زمین شناسی مهندسی Gta1 و Cz بدليل فاصله داری اندک دسته درزه ها ($\text{Spacing} \leq 60\text{cm}$), پایین بودن مقاومت فشاری تک محوری ($40\text{MPa} < 5$) و ضریب کیفت سنگ ($RQD < 50\%$), استفاده از ماشین تونلزنی تمام مقاطع بدون سپر در این پروژه رد می شود. وجود زونهای خرد شده (Cz) و زونهای با فاصله داری اندک دسته درزه ها (Gta1) در طول مسیر، احتمال ریزش فضای حفر شده بلافاصله پس از حفاری را محتمل می سازد. به این ترتیب استفاده از سپر به منظور نگهداری فضای حفاری شده، قبل از نصب قطعات پیش ساخته بتنی امری لازم و اجتناب ناپذیر است، همچنین بدليل منتفی بودن پتانسیل مچاله شوندگی در طول مسیر، محدودیتی از لحاظ همگرایی و گیرکردن بدليل مچاله شوندگی برای انتخاب ماشین تونلزنی تمام مقطع سپردار وجود ندارد. در بین سه نوع ماشین تونلزنی تمام مقطع سپردار، استفاده از ماشین سپری تعادلی با فشار زمین بدليل کاربرد خاص آن در زمینهای خاکی و ریز دانه (شکل ۱-۳) و با

توجه به شرایط لیتوژئیکی مسیر تونل برای پروژه منتفی می باشد. در نهایت بین دو ماشین تونلزنی تمام مقطع سپری مضاعف و ماشین تونلزنی تمام مقطع سپری منفرد بنا به مجموعه دلایل زیر، ماشین تونلزنی سپری مضاعف (D.S.TBM) علیرغم هزینه سرمایه گذاری بالاتر و پیچیدگی اجرای بیشتر آن نسبت به ماشین تونلزنی سپری منفرد (S.S.TBM) برای حفاری و سگمنت گذاری قطعه اول تونل انتقال آب از سد امیرکبیر به تصفیه خانه ششم تهران، انتخاب می شود:

- ۱- امکان کفشک زدن برای ماشین تونلزنی تمام مقطع سپری مضاعف (D.S.TBM) در طول زیادی از مسیر (نواحی با مقاومت فشاری تک محوری $\sigma_c < 120 \text{ MPa}$) $(20 \text{ MPa} < \sigma_c < 120 \text{ MPa})$.
- ۲- صرف زمان زیاد برای حفاری به خاطر مشکل بودن تعویض سرمته ها در ماشین تونلزنی تمام مقطع سپرداری منفرد (S.S.TBM) هنگام عبور از زونهای با مقاومت بالاتر از 50 MPa پاسکال در طول مسیر (Gta3، Gta4 و...).
- ۳- نیاز به سرعت بیشتر حفاری برای امکان پذیری اتمام پروژه در موعد مقرر (۴۳ ماه).
- ۴- ترجیح ماشین تونلزنی تمام مقطع سپری مضاعف نسبت به ماشین تونلزنی تمام مقطع سپری منفرد به دلیل متراز زیاد تونل (حدود ۱۶ کیلومتر).

شایان ذکر است مشکلاتی همانند وجود رگه های کوارتزی و سینه کار مختلط که باعث سایش سریع دیسکهای حفاری می شود و همچنین نفوذ آب زیرزمینی به داخل تونل، از دیگر مشکلاتی است که در صورت بروز باعث ایجاد توقفهای ناخواسته در کار تونلسازی خواهد شد. این مشکلات بین همه انواع TBM مشترک است ضمن اینکه کنترل آبهای ورودی به تونل در ماشینهای سپردار با امکان کار در جبهه کار بسته آسانتر از ماشینهای باز (بدون سپر) می باشد.



پیش بینی سرعت نفوذ و سرعت پیش روی ماشین

در مسیر تونل کرج بر اساس روش تجربی QTBM

۱-۴-مقدمه

سرعت تونل‌سازی با TBM بر حسب شرایط زمین شناسی می‌تواند از ۱۵ کیلومتر در سال تا ۱۵ متر در سال (یا حتی کمتر) تغییر کند (Barton&Itoh, 2000). مشکل حفاری با TBM هنگامی است که شرایط زمین خیلی نامطلوب یا خیلی خوب (توده سنگ مقاوم بدون درزه و یکپارچه) باشد. در واقع در دو حالت حدی به لحاظ شرایط زمین شناسی، ممکن است گزینه‌های دیگر تونل‌سازی نظیر آتشباری نتیجه‌ای بهتر از TBM بدهد (Barton&Itoh, 2000). به عنوان مثال در سال ۱۹۶۷ میلادی در یک پروژه تونل‌سازی که با TBM ساخت Robbins اجرا می‌شد، ۷/۵ کیلومتر از تونل در مدت ۴ ماه (که یک رکورد محسوب می‌شود)، اجرا شده است. در همین پروژه، ۲۷۰ متر از تونل که از مصالح رسوبات یخچالی عبور می‌کرد، طی مدت ۷ ماه اجرا شد. کاهش سرعت پیشروی از ۲/۵ متر در ساعت به ۰/۰۵ متر در ساعت در این پروژه، دلیلی بر تأثیر شرایط زمین شناسی است (Barton&Itoh, 2000). بنابراین کسب اطلاعات دقیق از شرایط زمین قبل از شروع حفاری اجتناب ناپذیر می‌باشد. با آگاهی از شرایط زمین و ارزیابی صحیح نحوه عملکرد عوامل موثر بر کارکرد TBM می‌توان تا حدود زیادی کارکرد TBM در شرایط مورد نظر را پیش‌بینی کرد. در این فصل بعد از شرح مفاهیم اساسی کارکرد TBM (نظیر سرعت نفوذ، سرعت پیشروی، ضریب بهره وری) و عوامل

مؤثر بر سرعت نفوذ با استفاده از روش تجربی Q_{TBM} ، سرعت نفوذ و سرعت پیش روی TBM در واحدهای زمین شناسی مهندسی مختلف مورد ارزیابی قرار می‌گیرد.

۲-۴-۱- مفاهیم اساسی کارکرد TBM^۱

در کار تونل‌سازی مکانیزه برای بیان کارکرد TBM از پارامترهای نظیر سرعت نفوذ، ضریب بهره‌وری و سرعت پیش روی استفاده می‌شود که در زیر شرح داده شده‌اند:

۲-۴-۲- سرعت نفوذ^۱

این پارامتر بیانگر سرعت نفوذ ماشین TBM در سنگ به هنگام حفاری است و از مشخصات ماشین و برخی خواص سنگ بکر (اغلب مقاومت فشاری تک محوری) و پارامترهای توده سنگ (نظیر جهت داری و فاصله داری ناپیوستگی‌ها و ...) تأثیر می‌پذیرد.

۲-۴-۳- بهره‌وری^۲ TBM

نرخ بهره‌وری یک ماشین حفار در واقع زمان واقعی حفاری در یک توده سنگ خاص می‌باشد که معمولاً به صورت درصدی از شیفت کاری بیان می‌شود. به عبارت دیگر ضریب بهره‌وری عبارتست از زمان خالص حفاری به کل زمان کاری. بهره‌وری یک TBM به تأخیرات ناشی از نصب سیستم نگهدارنده، تعمیرات ماشین، تعویض تیغه‌های برش و همچنین مدیریت سایت بستگی دارد.

1 Penetration rate

2 Utilization

۳-۲-۴- سرعت پیشروی^۱

این پارامتر، در اصل به دو فعالیت اساسی تونل‌سازی شامل حفاری سنگ و نصب سیستم نگهدارنده و سایر فعالیت‌های زمان بر بستگی دارد. نصب سیستم نگهدارنده و فعالیتهای زمان بر دیگر (نظیر برنامه نگهداری و تعمیرات) و تأخیرات ناخواسته (نظیر قطع برق، تأخیر در تخلیه، خرابی ماشین و ...) متوسط سرعت نفوذ را تا حد زیادی کاهش می‌دهند. این کاهش تحت عنوان بهره وری متوسط ماشین TBM تعریف می‌شود. بنابراین با آگاهی از سرعت نفوذ واقعی می‌توان سرعت پیشروی متوسط را از طریق کاهش سرعت نفوذ واقعی، بر اساس مقدار بهره وری TBM بدست آورد. در واقع حاصل ضرب سرعت نفوذ در ضریب بهره وری را سرعت پیشروی می‌نامند یعنی (Barton, 2000 :

$$AR = PR \times U(\%) \quad (1-4)$$

که در آن :

AR : سرعت پیشروی (m/hr)

PR : سرعت نفوذ (m/hr)

U : ضریب بهره وری در یک مدت زمان معین بر حسب درصد

۳-۳-۴- عوامل موثر در سرعت نفوذ TBM

مطالعات گسترده نشان داده است که بیشتر پارامترهای مهم که در بررسی کارکرد ماشین TBM بکار می‌رود به دو دسته اصلی "شرایط زمین" و "ویژگیهای ماشین" تقسیم می‌شود.

۳-۱-۳-۴- شرایط زمین

پارامترهای مرتبط با ویژگی‌های ماده سنگ و توده سنگ در این دسته قرار می‌گیرند که در زیر به آنها اشاره شده است (Ramezanzadeh et al, 2003).

¹ Advance rate

الف) ویژگی ماده سنگ

- مقاومت ماده سنگ (مقاومت فشاری تک محوری "UCS" ، مقاومت کششی برزیلی "BTS" ، شاخص بار نقطه ای " I_{50} ")
- سفتی^۱ (شاخص نفوذ پانچ^۲ ، شاخص شکست سفتی^۳)
- سختی^۴ و قابلیت چالخوری^۵
- شکنندگی^۶
- سایندگی^۷
- دیگر پارامترها (نسبت پواسون^۸ " ν " ، مدول الاستیک^۹ "E" ، زاویه اصطکاک داخلی^{۱۰} " φ " ، تخلخل^{۱۱} ، اندازه ذرات بافت^{۱۲} و...).

نتایج تعیین پارامترهای مختلف ماده سنگ در فصل دوم ارائه شده است. از این نتایج برای پیش‌بینی کارکرد TBM توسط روش تجربی QTBM استفاده خواهد شد.

ب) ویژگی توده سنگ

- وجود رگه‌های کوارتز و سایر کانیهای ساینده
- عملکرد گسلها و زونهای برشی عمدۀ
- وجود تناوب سنگهای سخت و نرم در سینه کار
- درجه خرد شدگی و نوع درزه

1 Toughness

2 Punch Penetration index

3 Fracture Toughness index

4 -Hardness

5 -Drillability

6 -Brittleness

7 -Abrasion

8 -Poisson

9 -Elasticity module

10 I-nternal friction angle

11 -Porosity

12 -Grain size

- شیب و جهت شیب درزه ها و ارتباط آنها با محور تونل

- مقاومت و خواص دگر شکلی پذیری توده سنگ

- فاصله ناپیوستگی، RQD

دسته درزه های توده سنگ می توانند در کارکرد ماشین نقش اساسی داشته باشند. معمولاً کمتر

شدن فاصله بین شکستگیها به منزله تأثیر بیشتر در سرعت نفوذ ماشین است. شرایط زمین شناسی

مثل گسل ها و آب زیر زمینی نیز نقش اساسی در انتخاب ماشین، کاربرد آن، عملکرد دستگاه و

نرخ تولید آن دارد. آنالیز عملکرد اجرایی TBM های مختلف در پروژه های گوناگون با

ویژگیهای زمین‌شناسی متفاوت، مبنای برآورد عملکرد واقعی دستگاه می باشد. به طور خلاصه

می توان توده سنگ را بر حسب شرایط زمین‌شناسی آنها و رفتار آنها در پروژه های تونل‌سازی به چهار

رده عمدۀ شامل سنگ های درزه‌دار، سنگهای توده ای سخت، سنگهای مچاله شونده و سنگهای

گسلش یافته تقسیم بندی نمود. کارکرد TBM در هر یک از این گونه توده سنگ ها ویژگیهای خاص

خود را دارد. شکل ۱-۴ این تقسیم بندی را نشان می دهد.

در پروژه تونل انتقال آب کرج، شرایط توده سنگ در بخش‌های مختلف مسیر متفاوت می باشد

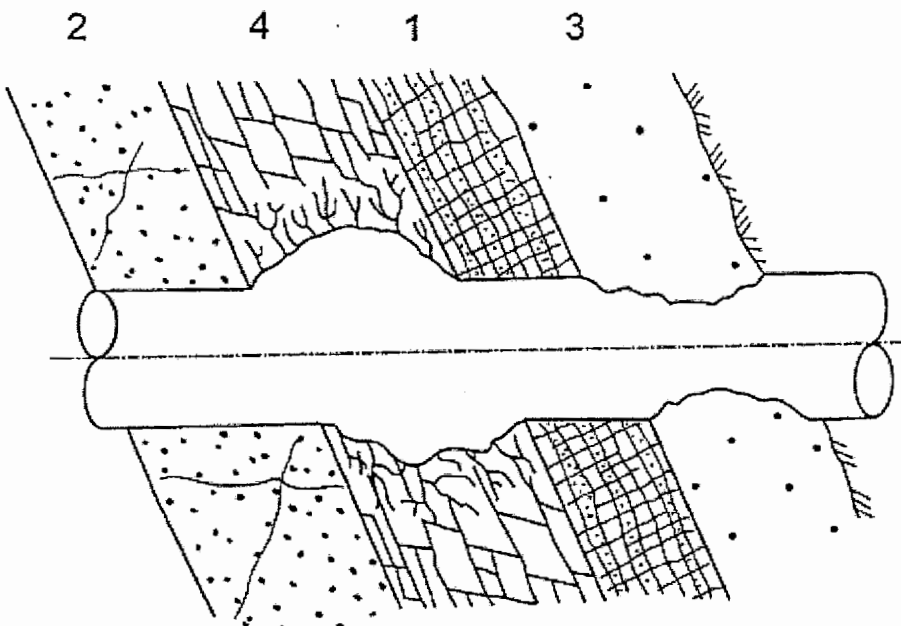
به طوریکه با توجه به شکل ۱-۴ احتمال برخورد با سه کلاس از کلاس بندی فوق وجود دارد. به

عنوان مثال بخش زیادی از توده سنگهای توفی مسیر تونل (واحد Gta2, Gta3, Sts1) را می توان در

کلاس ۱ (سنگهای درزه دار) قرار دارد. پیش بینی می شود که با توجه به خصوصیات فیزیکی و

mekanikی این سنگها حفاری در آنها با استفاده از TBM چندان دشوار نباشد. زونهای خرد شده و گسله

های موجود در مسیر تونل را می توان در کلاس ۴ طبقه بندی کرد.



شکل ۱-۴ چهار رده عمدۀ شرایط زمین در بحث تونل‌سازی (Bradly, 1978)

- ۱- سنگهای متخلخل درزه دار: حفاری آن آسان است، بار زیادی بر پوشش بتنی وارد نمی شود.
- ۲- سنگهای توده ای سخت: حفاری آن مشکل است و اغلب نیاز به تعویض تیغه های برش وجود دارد. بار وارد بر پوشش بتنی تونل حداقل است.
- ۳- سنگهای تحت تنش زیاد فشارنده: استفاده از ماشین در این سنگها مشکلاتی به همراه دارد و نیاز به اضافه حفاری دارد (برای اینکه بعد از همگرایی تونل، ماشین گیر نکند) فشار وارد بر پوشش بتنی زیاد است.
- ۴- سنگهای گسله ای: حفاری در این سنگها اضافه حفاری ناخواسته به همراه دارد. سایش ناخنهای دستگاه زیاد است. برای انجام زهکشی بایستی توقفات زیادی داشت. نیاز به تزریق و بهسازی زمین ایست. بار وارد بر پوشش بتنی بسیار زیاد است.

مسلماً در این زونها اضافه حفاری های ناخواسته رخ خواهد داد. هجوم آب از دیگر مشکلاتی است

که به ویژه در زونهای خرد شده پتانسیل وقوع خواهد داشت. در هر دو صورت احتمال زیاد وقفه در حفاری تونل پیش بینی می شود. تزریق مقدماتی^۱ هنگام رسیدن به این زونها از جمله کارهایی است که می تواند به کارگرفته شود. برای شناسایی محل دقیق این زونها لازم است با استفاده از نتایج مطالعات زمین شناسی مهندسی، در نزدیکی این زونها، حفاری پیشرو^۲ صورت گیرد. رفتار واحدهای

1 -Pre-injection

2 -Probe drilling

سنگی 2 و Gta4 Sts2 که طول زیادی از مسیر تونل را در بر می‌گیرند را می‌توان تا حدودی مشابه سنگهای رده ۲ دانست. به دلیل فاصله داری زیاد درزه‌ها و استحکام بالای سنگها، حفاری آنها با استفاده از TBM دشوار بوده و مصرف کاترها بیشتر از سایر بخشها خواهد بود. سرعت نفوذ ماشین در این واحدها حداقل پیش‌بینی می‌شود. اما با توجه به پایداری سنگها در دیواره تونل بهره‌وری ماشین می‌تواند بیشتر از سایر بخشها باشد.

۴-۳-۲- ویژگی‌های ماشین

کلیه پارامترهای فنی ماشین TBM می‌تواند در این دسته در نظر گرفته شود که مهمترین آنها به شرح زیر می‌باشد (Ramezanzadeh et al, 2003).

- نیروی رانش
- گشتاور
- RPM (دور بر دقیقه کله حفاری)
- توان
- مشخصات دیسک از قبیل:
- ◆ تعداد دیسک‌ها در کله حفاری (و فاصله شان)
- ◆ هندسه دیسک (قطر، عرض ناخن، زاویه نوک ناخن)
- ◆ ویژگی مکانیکی دیسک (ماکزیمم ظرفیت بارگذاری، سرعت مجاز)

برای حفاری تونل انتقال آب کرج از ماشین تونلزنی تمام مقطع سپری مضاعف ساخت شرکت Herrenknecht استفاده خواهد شد که در جدول ۱-۴ مشخصات فنی ماشین آورده شده است.

جدول ۴-۱- مشخصات فنی ماشین تونلزنی تمام مقطع سپری مضاعف

ساخت شرکت Herrenknecht (مؤسسه حرا، ۱۳۸۴)

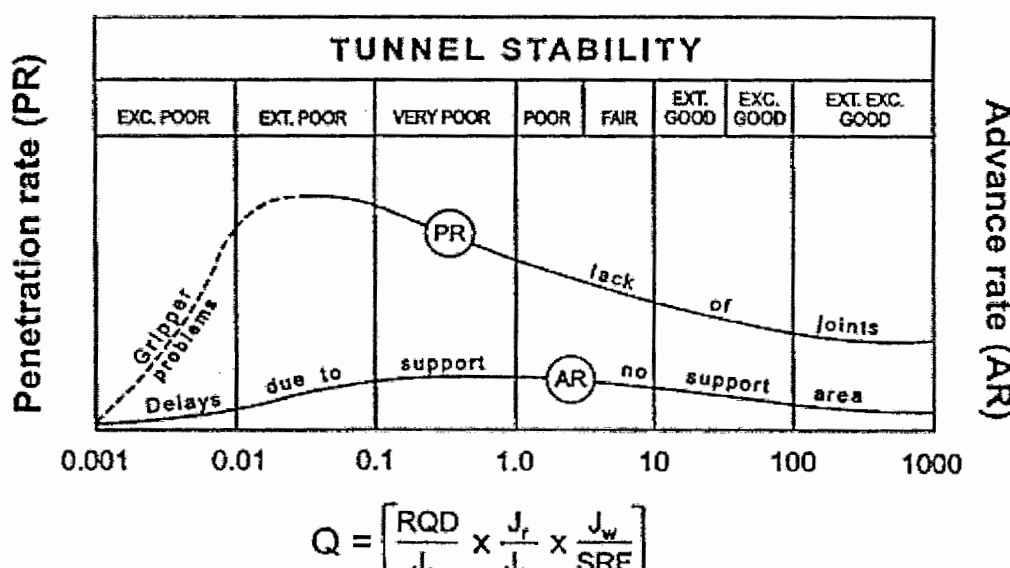
مشخصات فنی ماشین	واحد	اندازه / تعداد
قطر حفاری	m	۴/۶۶
توان کله حفاری	KW	۱۲۵۰
نیروی رانش پیشروی	KN	۱۵۴۶۳
گشتاور پیچشی اسمی	KNm	۱/۰ ۲۹(11rpm)
سرعت دوران کله حفاری	rpm	۰ - ۱۱
فاصله اسمی دیسکها	mm	۹۰
قطر دیسکهای (استاندارد و مرکزی)	mm	۴۳۲
تعداد کلی دیسکها	کمی	۳۰ عدد
حداکثر توان نصب شده	KW	۲۲۵۰
عرض نوار نقاله	mm	۶۵۰
سرعت نوار نقاله	m/s	۲
ظرفیت نوار نقاله	m ³ /h	۲۰۰

۴-۴- پیش‌بینی کارکرد ماشین تونلزنی توسط روش تجربی Q_{TBM}

در این بخش از روش جدیدی برای پیش‌بینی سرعت نفوذ (PR) و سرعت پیشروی (AR) در پروژه تونل انتقال آب کرج استفاده می‌شود. این روش بر اساس نگارش جدید از سیستم رده بندی Q توسط بارتون بنا نهاده شده است (Barton, 2000).

۱-۴-۴- رده بندی Q و QTBM

رده بندی Q بر مبنای تونل هایی که توسط آتشباری حفر شده اند در سال ۱۹۴۷ توسط بارتون و همکارانش پیشنهاد شده است (Bieniawski, 1974). در حال حاضر این رده بندی، سنگها را به شش رده تقسیم می کند. مقدار Q از ۰/۰۰۱ در سنگهای شدیداً ضعیف تا ۱۰۰۰ در سنگهای سخت و بدون درزه متغیر است. رابطه عمومی Q با سرعت نفوذ در سرعت پیشروی واقعی که در دوره های طولانی مدت اندازه گیری شده در شکل ۲-۴ ارائه شده است. همانطور که از این شکل مشخص است، مقدار Q می تواند تا حدی در تخمین مقادیر سرعت نفوذ و سرعت پیشروی استفاده شود، اما این پارامتر بدون تصحیح و اضافه کردن پارامترهای اندرکنش سنگ و ماشین کفايت لازم برای انجام این کار را ندارد.



شکل ۲-۴- رابطه عمومی میان Q، سرعت نفوذ و سرعت پیشروی (Barton, 2000)

بنابراین بارتن روش Q_{TBM} را در سال ۲۰۰۰ از تحلیل ۱۴۵ تونل ارائه داد (Barton, 2000). در روش Q_{TBM} برای تخمین سرعت نفوذ و پیشروی ماشین، جهتداری درزه‌ها، بافت، مقاومت فشاری، شاخص بار نقطه‌ای و مقاومت کششی سنگ در نظر گرفته شده‌اند. همچنین شاخص عمر تیغه (CLI) (بر اساس اندیس عمر تیغه برش دانشگاه Trondheim)، درصد کانیهای ساینده، متوسط بار تیغه، مقاومت توده سنگ و سطح تنفس سنگ نیز در نظر گرفته شده‌اند. در واقع نامبرده در رابطه اصلی روش Q (بارتون ۱۹۷۴، رابطه ۲-۴) اصلاحاتی را انجام داده و رابطه اصلی Q_{TBM} (رابطه ۳-۴) را به صورت زیر ارائه کرده است (Barton, 2000).

$$Q = \frac{RQD}{J_n} \times \frac{J_r}{J_a} \times \frac{J_w}{SRF} \quad (2-4)$$

$$Q_{TBM} = \frac{RQD_o}{J_n} \times \frac{J_r}{J_a} \times \frac{J_w}{SRF} \times \frac{SIGMA}{F^{10}/20^9} \times \frac{20}{CLI} \times \frac{q}{20} \times \frac{\sigma_\theta}{5} \quad (3-4)$$

که در آن :

RQD_0 : شاخص کیفی توده سنگ در جهت محور تونل

J_n : عدد مربوط به دسته درزه

J_r : عدد مربوط به زبری سطح درزه

J_a : عدد مربوط به هوازدگی و دگرسانی درزه‌ها

J_w : عدد مربوط به وضعیت آب درزه‌ها

SRF : ضریب کاهش تنفس

F : نیروی رانش متوسط به ازای هر تیغه

$SIGMA$: معرف مقاومت فشاری توده سنگ

CLI : شاخص عمر تیغه

q : درصد کوارتز

σ_0 : تنفس مماسی ایجاد شده در سینه کار تونل (بر حسب MPa) است که برای عمق ۱۰۰ متر نرمال شده است.

پارامتر σ_0 از جنس تنشهای حول دیواره استوانه‌ای تونل می‌باشد و بستگی زیادی به K (نسبت تنفس

افقی به قائم) دارد. این پارامتر برای دیواره سینه کار فضاهای زیر زمینی از رابطه زیر بدست می‌آید.

$$\sigma_\theta = (3 - K) \times \sigma_\gamma \quad (4-4)$$

که در آن σ_θ تنش عمودی است که تابع عمق تونل و چگالی سنگها می باشد(فاروق حسینی، ۱۳۷۹).

در محاسبه σ_θ مقادیر وزن مخصوص متوسط سنگهای روباره و نسبت تنش افقی به قائم به ترتیب

$$26\text{KN/m}^3 \text{ و } 1 \text{ انتخاب شده اند.}$$

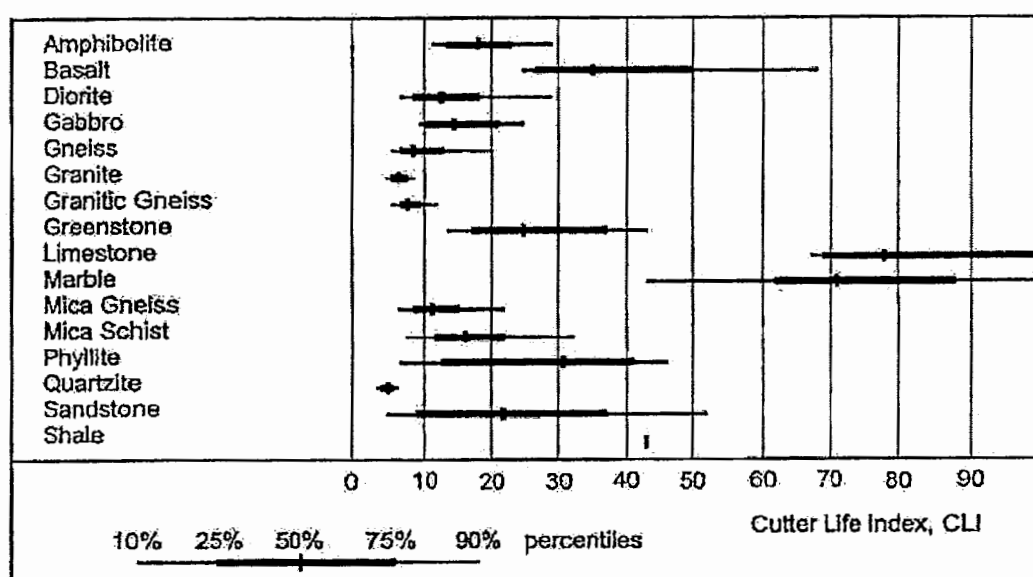
در رابطه QTBM، پارامترهای J_r و J_a براساس ناپیوستگی بحرانی (ناپیوستگی که بیشترین کمک را در

جهت تسهیل حفاری می کند) نمره‌دهی می شوند (Barton, 2000). بعلت تأثیر زیاد فاصله‌داری

ناپیوستگی ها در سرعت حفاری، در بین ناپیوستگی های موجود در هر واحد زمین شناسی مهندسی،

ناپیوستگی با کمترین فاصله داری به عنوان ناپیوستگی بحرانی، قلمداد شده است. مقدار پارامتر CLI

با توجه به عدم امکان انجام آزمایشات لازم از طریق شکل ۴-۳ قابل تخمین می باشد.



شکل ۴-۳- دامنه تغییرات شاخص عمرتیغه در سنگهای مختلف (مؤسسه مهندسین مشاور ساحل، ۱۳۸۴)

مقاومت توده سنگ (SIGMA) را می‌توان با استفاده از دانسیته سنگ و مقدار Q، بر اساس رابطه

$$SIGMA = 5 \cdot \gamma \cdot Q^{\frac{1}{3}} \quad (\text{Singh})$$

باشد). در رابطه Singh مقدار Q براساس مقاومت تک محوری سنگ (σ_c) نسبت به 100 MPa

$$(5-4) \quad \text{با رابطه } Q = Q_c \left(\frac{\sigma_c}{100} \right)^4 \text{ و براساس انديس بار نقطه اي } I_{50} \text{ نسبت به}$$

$$(5-5) \quad \text{با رابطه } Q_i = Q \left(\frac{I_{50}}{4} \right) \text{ نرماليزه مى شود (Barton, 2000)}$$

$$SIGMA = SIGMA_{cm} = 5 \cdot \gamma \cdot Q_c^{\frac{1}{3}} \quad \text{برای جهت داری نامطلوب} \quad (5-6)$$

$$SIGMA = SIGMA_{tm} = 5 \cdot \gamma \cdot Q_t^{\frac{1}{3}} \quad \text{برای جهت داری مطلوب} \quad (5-7)$$

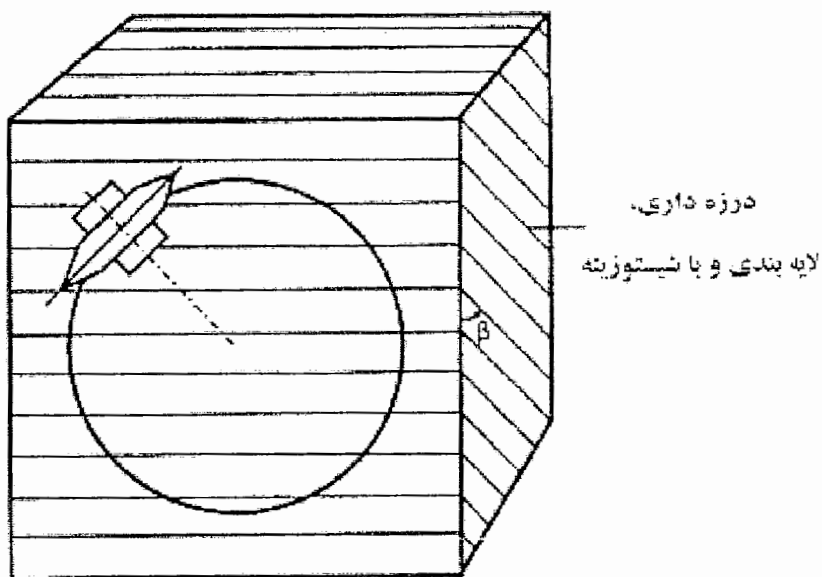
انتخاب $SIGMA_{tm}$ و $SIGMA_{cm}$ به جهتداری ناپيوستگي ها بستگي دارد (Barton, 2000).

در واقع موقعی که عملیات حفاری بر مقاومت فشاری غلبه کند از رابطه (5-4) و موقعی که عملیات حفاری بر مقاومت کششی غلبه کند از رابطه (5-6) برای بدست آوردن مقاومت توده سنگ استفاده می شود (Barton, 2000). جهتداری ناپيوستگيها از جنبه نفوذ تیغه غلتان به داخل سنگ می تواند به عنوان مطلوبترین جهتداری (سطوح ناپيوستگي با سطح سينه کار موازي باشنند $\beta = 0^\circ$) و نامطلوبترین جهتداری (سطوح ناپيوستگي بر سطح سينه کار عمود باشنند $\beta = 90^\circ$) قلمداد شود.

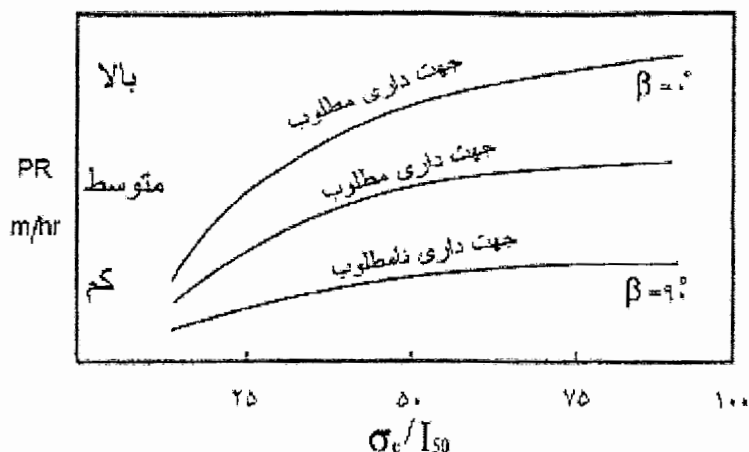
شكلهای 4-4 و 4-5 به ترتیب روند برش از طریق نفوذ تیغه غلتان و روند کلی مورد انتظار برای

$$\text{سرعت نفوذ با توجه به جهتداری بافت و نسبت سرسختی سنگ } \frac{\sigma_c}{I_{50}} \text{ را نشان می دهد.}$$

بنابراین برای مشخص کردن میزان مطلوبیت جهت داری ناپيوستگيها فی ما بین دو حالت حدی، زوایای $\beta \leq 45^\circ$ به عنوان جهت داری مطلوب و $\beta > 45^\circ$ به عنوان جهت داری نامطلوب در نظر گرفته شده اند. برای سادگی محاسبات جهت داری دو مسیر قوسی (P1-P2 و P3-P4) تونل به صورت مستقیم فرض شده اند.



شکل ۴-۴- نفوذ تیغه غلتان وقتی $\beta = 90^\circ$ باشد کمترین کارایی را دارد که به شدت به ناهمسانی شاخص مقاومت بار نقطه ای سنگ وابستگی دارد(Barton, 2000).



شکل ۴-۵- روند کلی مورد انتظار برای سرعت نفوذ نسبت به جهتداری

بافت و نسبت سر سختی سنگ $(\frac{\sigma_c}{I_{50}})$.(Barton, 2000)

۴-۴-۲- روابط کلی بین سرعت نفوذ و سرعت پیشروی با QTBM

بارتن (۲۰۰۰) براساس سعی و خطا مبتنی بر پردازش اطلاعات پژوهه های اجرا شده قبلی رابطه

بین سرعت نفوذ و QTBM را بصورت زیر ارائه کرده است :

$$PR \approx 5.Q_{TBM}^{-\frac{1}{5}} \quad (7-4)$$

همچنین تحلیل پروژه های گذشته نشان می دهد که بهرهوری TBM با گذر زمان، بصورت لگاریتمی

یکنواخت (رابطه ۸-۴) کاهش می یابد (Barton, 2000).

$$U = T^m \quad (8-4)$$

که در آن:

T : زمان برحسب ساعت

m : ضریبی است که بصورت منفی در فرمول فوق وارد می شود و از رابطه ۹-۴ ارائه شده توسط بارتون بدست می آید (Barton, 2000).

$$m = m_1 \left(\frac{D}{5} \right)^{0.2} \left(\frac{20}{CLI} \right)^{0.15} \left(\frac{q}{20} \right)^{0.1} \left(\frac{n}{2} \right)^{0.05} \quad (9-4)$$

که در آن:

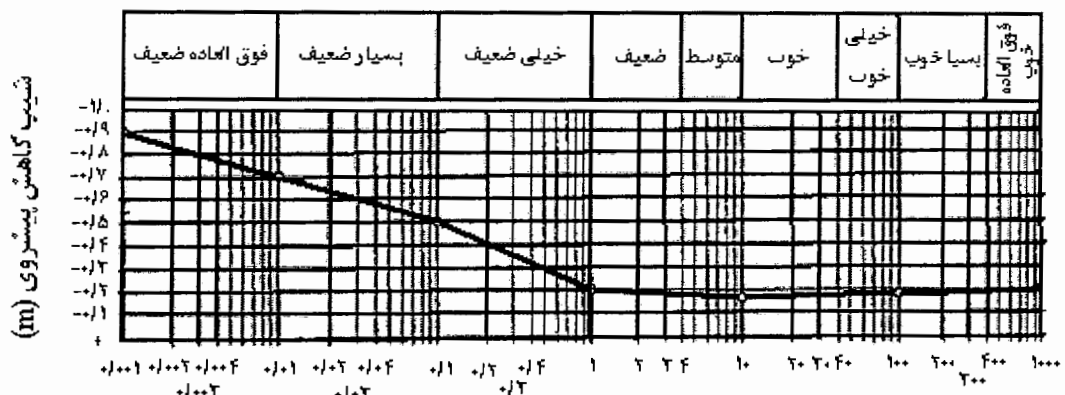
CLI : شاخص عمر تیغه

D : قطر تونل (m)

n : درصد تخلخل (%)

q : درصد کوارتز (%)

m_1 : گرادیان منفی که مقدار آن را می توان با توجه به شکل ۶-۴ بدست آورد.
اگر n و q صفر باشند مقدار آنها ۰/۰۵ لحاظ می شود (Barton, 2000).



$$Q = \left(\frac{RQD}{J_s} \right) \times \left(\frac{J_s}{J_w} \right) \times \left(\frac{J_w}{SRF} \right)$$

شکل ۶-۴- تعیین مقدار شیب m_1 با استفاده از مقدار Q (Barton, 2000).

بنابراین با در نظر گرفتن رابطه ۱-۴ بین سرعت پیشروی (AR) و QTBM رابطه زیر برقرار است:

$$AR = 5.Q_{TBM}^{-0.2}.T^m \quad \text{رابطه (۱۰-۴)}$$

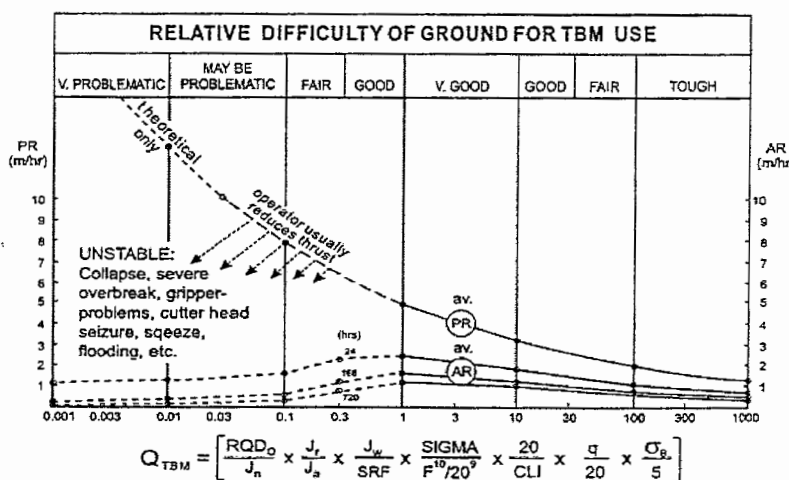
میان سرعت نفوذ و زمان مورد نیاز برای حفر تونلی به طول L نیز رابطه ۱۱-۴ برقرار است :

(Barton, 2000)

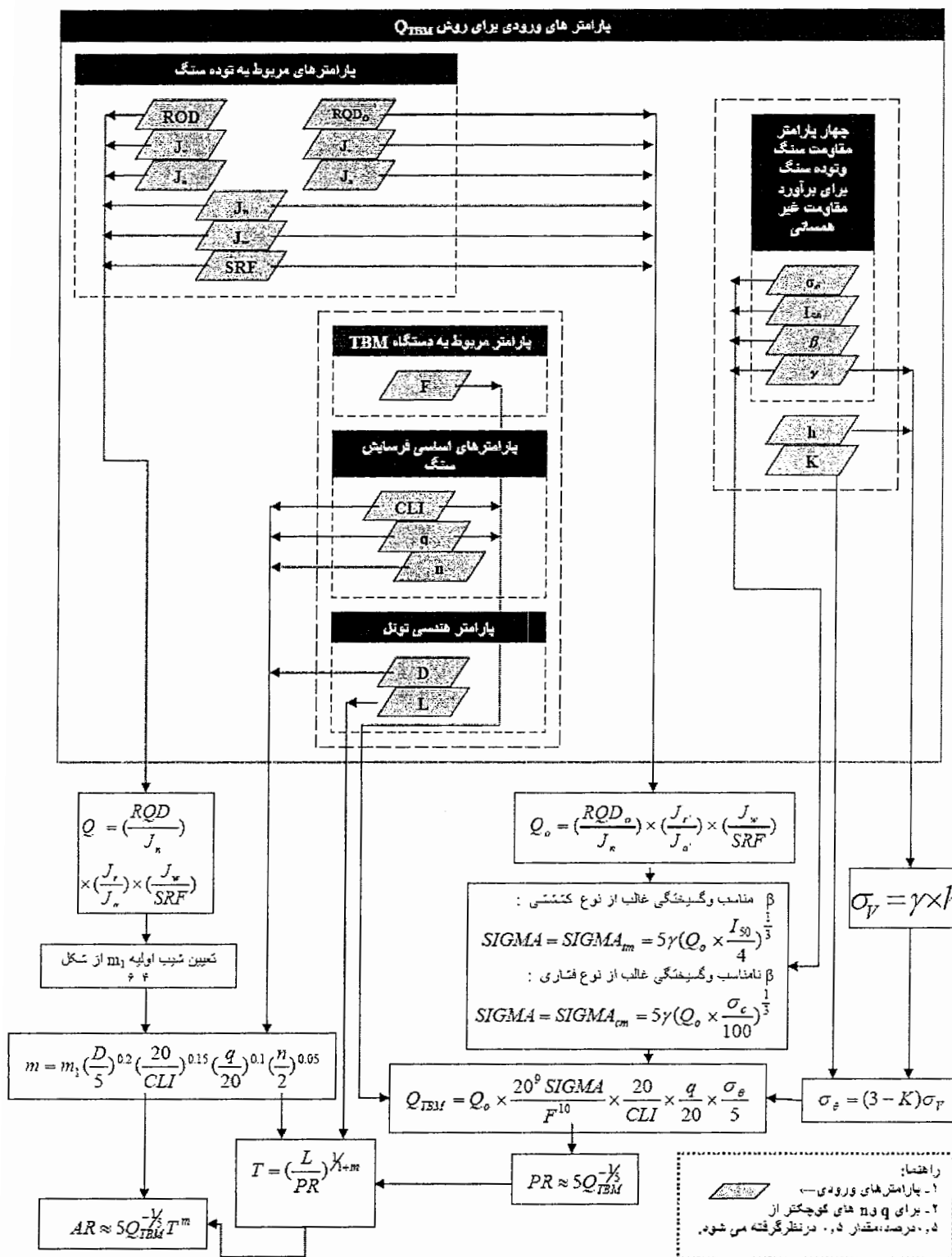
$$T = \left(\frac{L}{PR} \right)^{\frac{1}{1+m}} \quad \text{رابطه (۱۱-۴)}$$

همچنین رابطه عمومی میان معیار QTBM و پارامترهای سرعت نفوذ و سرعت پیشروی در شکل ۷-۴ ارائه شده است. توصیفات ارائه شده در بالای این شکل، صعوبت و سهولت حفاری در زمین مورد نظر را نشان می دهند. با معلوم بودن مقادیر QTBM می توان از طریق شکل ارائه شده ۷-۴ یا روابط فوق سرعت نفوذ و سرعت پیشروی TBM را در واحدهای زمین شناسی مختلف پیش بینی نمود.

شکل ۷-۴، فلوچارت کلی روش QTBM را بر اساس کلیه پارامترهای ورودی نشان می دهد. این فلوچارت برگرفته شده از مطالب ارائه شده توسط بارتون برای استفاده از روش QTBM می باشد که برای سادگی استفاده از این روش تنظیم شده است.



شکل ۷-۴ - رابطه پیشنهادی بین سرعت نفوذ و سرعت پیشروی و QTBM (Barton, 2000)

شکل ۸-۴- فلوچارت کلی روش Q_{TBM}

RQD : ضریب کیفیت سنگ، RQD_0 : ضریب کیفیت سنگ در جهت حفر تونل، J_r : عدد زبری برای درزه ای که مؤثر در نفوذ تیغه است، J_{r_1} : عدد هوازدگی برای درزه ای که مؤثر در نفوذ تیغه است، J_{r_2} : عدد دسته درزه، J_{r_3} : شاخص آب درزه، SRF : فاکتور کاهش تنش، σ_{σ} : مقاومت فشاری تک محوری (MPa)، I_{50} : شاخص بار نقطه ای، β : زاویه سطح مقطع تونل با صفحه ناپیوستگی، γ : چگالی (gr/cm^3)، h : ارتفاع روباره (عمق تونل)، k : نسبت تنش افقی به قائم، F : نیروی رانش به ازای هر تیغه (tnf)، CLI : شاخص عمر تیغه، q : درصد کوارتز، n : درصد تخلخل، D : قطر تونل (m)، L : طول مشخص از تونل (m).

۴-۵- شرایط زمین شناسی مسیر تونل

براساس مطالعات زمین شناسی و زمین شناسی مهندسی مسیر قطعه اول ('ET-K') تونل انتقال آب کرج از درون سنگهای آذر آواری مانند توف، توفیت، آگلومرا، ماسه سنگهای توفی، توفهای ماسه ای و شیلی و ...، که در سازند آذر آواری کرج قرار دارند، عبور می کند و قسمتی از آن نیز از سنگهای آذرین نفوذی مانند مونزوودیوریت، مونزوگابرو و...، که آثار فعالیت های آذرین مربوط به الیگوسن می باشند، عبور می کند. در فصل دوم (بخش ۴-۲) جداول پارامترهای ژئومکانیکی واحدهای زمین شناسی مسیر تونل ارائه شده است.

۶- محاسبات پیش‌بینی عملکرد TBM توسط Q_{TBM}

داده های مربوط به مقادیر Q_0 ، RQD_0 و RQD با توجه به شرایط ژئومکانیکی حاکم بر مسیر تونل در واحدهای زمین شناسی مهندسی مختلف در جدول ۴-۲ نشان داده شده است. امتیازدهی پارامتر های Q از طریق جداول تهیه شده توسط Barton & Grimstad (۱۹۹۴ میلادی) انجام می شود (به ضمیمه الف مراجعه شود). در ضمن به علت عدم اطلاعات کافی و احتمال زیاد خطأ در تخمین، شاخص کیفی سنگ در جهت حفر تونل (RQD_0) مقدارش برابر RQD فرض شده است ($RQD=RQD_0$). در واقع تفاوت Q و Q_0 در پارامترهای J_r و J_a می باشد. در Q_0 ، پارامترهای J_r و J_a برای ناپیوستگی موثر بر حفاری نمره دهی می شوند. همچنین پارامتر SIGMA که معرف مقاومت تونه سنگ مسیر تونل می باشد، با استفاده از روابط ۴-۵ و ۶-۴ و توجه به جهتداری ناپیوستگی در مسیر تونل محاسبه شده و در جدول ۳-۴ ارائه شده است. زاویه β با در دست داشتن مشخصات صفحات ناپیوستگی (شیب و جهت شیب) و امتداد و شیب محور تونل، توسط نرم افزار StereoNet

محاسبه شده است. جزئیات محاسبات مربوط به جهتداری در جدول ب-۱ همراه با نمره دهی پارامترهای J_r و J_a ناپیوستگی موثر در حفاری در متراژ های مختلف مسیر تونل به صورت ضمیمه آورده شده است (ضمیمه ب).

جدول ۲-۴- داده های مربوط به مقادیر Q و RQD در جهت تونل

Q_0	RQD ₀	Q	شیب کاهش پیشروی غیر اصلاحی (m ₁)	واحد های زمین شناسی مهندسی مسیر
۰/۱	۲۵	۰/۱۷	-۰/۴۲	Gta1
۰/۲۴	۵۰	۰/۹۸	-۰/۲	Gta2
۱/۳۷	۷۰	۲/۰۵	-۰/۱۹	Gta3
۲۱/۱	۹۵	۲۱/۱	-۰/۱۷	Gta4
۱/۳۷	۷۰	۱/۰۳	-۰/۲	Sts1
۱۵	۹۰	۱۵	-۰/۱۶	Sts2
۱۵	۹۰	۱۵	-۰/۱۶	Sts2-3
۰/۳۷	۵۰	۰/۱۴	-۰/۴۴	Tsh
۶/۱۶	۷۰	۶/۱۶	-۰/۱۷	Mdg
۰/۰۰۳	۱۵	۰/۰۰۳	-۰/۸	Cz

جدول ۳-۴- نتایج حاصل از محاسبه پارامتر SIGMA برای واحد های زمین شناسی مختلف.

SIGMA	SIGMA _{tm}	SIGMA _{cm}	جهتداری	Q_t	Q_c	I ₅₀ (Mpa)	UCS (Mpa)	γ (gr/cm ³)	واحد های زمین شناسی مهندسی
۴/۱۸	—	۴/۱۸	نا مطلوب	—	۰/۰۳	—	۳۰	۲/۶	Gta1
۷/۳۸	—	۷/۳۸	نا مطلوب	—	۰/۱۸	—	۷۵	۲/۶	Gta2
۱۴/۴۳	—	۱۴/۴۳	نا مطلوب	—	۱/۳۷	—	۱۰۰	۲/۶	Gta3
۴۱/۱۲	—	۴۱/۱۲	نا مطلوب	—	۳۱/۸۷	—	۱۵۰	۲/۶	Gta4
۱۵/۳۳	—	۱۵/۳۳	نا مطلوب	—	۱/۶۴	—	۱۲۰	۲/۶	Sts1
۳۵/۹۹	۳۳/۱۸	۳۵/۹۹	نا مطلوب	۱۷/۶۲۵	۲۲/۵	۴/۷	۱۵۰	۲/۵۵	Sts2
۳۳/۱۸	۳۳/۱۸	۳۵/۹۹	مطلوب	۱۷/۶۲۵	۲۲/۵	۴/۷	۱۵۰	۲/۵۵	Sts2-3
۷/۳۸	—	۷/۳۸	نا مطلوب	—	۰/۱۸	—	۵۰	۲/۶	Tsh
۲۴/۷۷	—	۲۴/۷۷	نا مطلوب	—	۵/۵۴	—	۹۰	۲/۸	Mdg
۱/۰۰۹۹	—	۱/۰۰۹۹	نا مطلوب	—	۰/۰۰۰۵	—	۱۵	۲/۶	Cz

نیروی رانش به ازای هر تیغه (F) بر حسب تن نیرو (tnf) با توجه به مقاومت توده سنگ (شرایط حفاری سنگ) برای واحدهای زمین شناسی مختلف مسیر تونل به صورت نشان داده شده در

جدول ۴-۴ پیش‌بینی می‌شود.

جدول ۴-۴- نیروی رانش به ازای هر تیغه برای واحدهای مختلف

واحدهای زمین شناسی مهندسی	SIGMA	نیروی وارد بر هر تیغه (F) بر حسب تن نیرو
Gta1	۴/۱۸	۱۲
Gta2	۷/۳۸	۱۵
Gta3	۱۴/۴۳	۲۰
Gta4	۴۱/۱۲	۲۵
sts1	۱۵/۳۳	۲۰
sts2	۳۵/۹۹	۲۵
sts2-3	۳۳/۱۸	۲۵
Tsh	۷/۳۸	۱۵
Mdg	۲۴/۷۷	۲۲
Cz	۱۰۰/۹۹	۱/۵

اپراتور TBM معمولاً نیروی وارد را با توجه به نوع سنگ تنظیم می‌کند و بیشترین میزان نیرو را در هنگامی که سنگ حداقل قابلیت حفاری را دارد به کار می‌برد (Barton, 2000). بنابراین مقادیر پیش‌بینی شده نیروی تیغه (F) در جدول ۴-۴ منطقی به نظر می‌رسد. افزایش نیروی تیغه در مناطق گسلی و خرد شده احتمال خطر بسیار بالایی دارد چرا که ناحیه گسل دار به طور تقریبی هیچ زمان ایستایی ندارد (وقتی $Q = 0/0\cdot 1$ تا $0/0\cdot 1$)، و به احتمال زیاد دستگاه گیر می‌کند یا تونل ریزش می‌کند. شاید تنها روش قابل اطمینان حرکت نسبتاً آهسته در سنگ گسل دار تقویت شده باشد (Barton, 2000).

بنابراین پیش‌بینی نیروی تیغه اعمالی از طرف اپراتور برابر $1/\delta tnf$ ، در واحد زمین شناسی Cz قابل قبول می‌باشد. شایان توجه است که در این واحد زمین شناسی (Cz) در مسیر تونل حتماً باید تزریق مقدماتی انجام شود در غیر اینصورت ضریب بهره وری به شدت افت خواهد کرد. در ادامه با توجه به نتایج بدست آمده تغییراتی در پارامترهای سیستم طبقه بندی توده سنگ Q در این واحد (Cz) مبنی بر در نظر گرفتن افزایش کیفیت توده سنگ در اثر تزریق مقدماتی صورت می‌گیرد. با توجه به نیروی رانش به ازای هر تیغه فرض شده در جدول ۴-۴ و رابطه ۳-۴، مقدار QTBM محاسبه می‌گردد که مقادیر محاسبه شده در جدول ۵-۴ نشان داده شده است.

جدول ۵-۴- محاسبه QTBM بر اساس پارامترهای تعیین شده و نیروی رانش به ازای تیغه.

Q _{TBM}	σ_0 (Mpa)	q (%)	CLI	نیروی وارد بر هر تیغه بر حسب تن نیرو	SIGMA	واحد‌های زمین شناسی مهندسي
۴/۷۱	۱۰/۲۰	۱۵	۲۵	۱۲	۴/۱۸	Gta1
۳/۴۳	۱۷/۸۵	۱۵	۲۵	۱۵	۷/۳۸	Gta2
۲/۱۲	۱۷/۸۵	۱۵	۲۵	۲۰	۱۴/۴۳	Gta3
۱۴/۲۷	۲۵/۵۱	۱۵	۲۵	۲۵	۴۱/۱۲	Gta4
۱/۳۴	۷/۶۵	۲۵	۳۰	۲۰	۱۵/۳۳	Sts1
۶/۰۴	۱۲/۵۱	۲۵	۳۰	۲۵	۳۵/۹۹	Sts2
۵/۵۷	۱۲/۵۱	۲۵	۳۰	۲۵	۳۳/۱۸	Sts2-3
۲/۰۴	۷/۶۵	۲۵	۴۵	۱۵	۷/۳۸	Tsh
۰/۵۴	۵/۴۹	۲/۰	۱۵	۲۲	۲۴/۷۷	Mdg
۲۸۵۸۶۸۸۶/۱	۱۵/۳۰	۵	۱۵	۱/۵	۱/۰۰۹۹	Cz

برای بدست آوردن پارامتر سرعت پیشروی لازم است تا ضریب m برای واحدهای سنگی مختلف تونل کرج با توجه به رابطه ۴-۹ محاسبه شود. پارامترهای مربوط به m برای تونل کرج با قطر حفاری ۴/۶ متر تعیین شده است که نتایج آن در جدول ۴-۶ آورده شده است. در جدول ۴-۶ برای محاسبه مقادیر m_1 با استفاده از نمودار شکل ۶-۴ و با توجه به مقدار Q و شاخص عمر تیغه با توجه به شکل ۳-۴ بدست آمده است. در نهایت توسط روابط ۷-۴، ۸-۴، ۱۰-۴، ۱۱-۴ و با توجه به مشخصات ماشین و خواص توده سنگ مسیر، سرعت نفوذ، سرعت پیشروی و ضریب بهره وری محاسبه شده است. نتایج آن در جدول ۷-۴ نشان داده شده است.

جدول ۶-۴- محاسبه گرادیان منفی با توجه به روابط بیان شده و شکل ۶-۴.

شیب کاهش پیشروی اصلاحی (m)	تخلخل (%)	شیب کاهش پیشروی غیر اصلاحی (m_1)	واحدهای زمین شناسی مهندسی
-۰/۴۲۵۴	۱۲/۵	-۰/۴۲	Gta1
-۰/۱۹۷۵	۷/۵	-۰/۲	Gta2
-۰/۱۸۷۶	۷/۵	-۰/۱۹	Gta3
-۰/۱۶۷۸	۷/۵	-۰/۱۷	Gta4
-۰/۲۰۲۲	۷/۵	-۰/۲	Sts1
-۰/۱۶۵۹	۱۲/۵	-۰/۱۶	Sts2
-۰/۱۶۵۹	۱۲/۵	-۰/۱۶	Sts2-3
-۰/۴۱۰۲	۵	-۰/۴۴	Tsh
-۰/۱۴۳۴	۲/۵	-۰/۱۷	Mdg
-۰/۷۸۳۷	۱۲/۵	-۰/۸	Cz

جدول ۷-۴- سرعت نفوذ، سرعت پیشروی و ضریب بهره وری برای واحدهای زمین شناسی مهندسی مسیر تونل.

واحدهای زمین شناسی مهندسی	طول (m)	Q _{TBM}	سرعت نفوذ (m/hr)	سرعت پیشروی (m/hr)	ضریب بهره وری %
Gta1	۲۱۱۰	۴/۷۱	۳/۶۷	۰/۰۳۳	۱
Gta2	۱۹۹۰	۳/۴۳	۳/۹۱	۰/۸۴۲	۲۲
Gta3	۱۲۰۰	۲/۱۲	۴/۳۰	۱/۱۷۳	۲۷
Gta4	۳۲۸۰	۱۴/۲۷	۲/۹۴	۰/۷۱۴	۲۴
Sts1	۶۲۰	۱/۳۴	۴/۷۲	۱/۳۷	۲۹
Sts2	۳۲۲۰	۶/۰۴	۳/۴۹	۰/۸۹۷	۲۶
Sts2-3	۴۵۰	۵/۵۷	۳/۵۵	۱/۳۵۳	۳۸
Tsh	۱۳۶۰	۲/۰۴	۴/۳۳	۰/۰۸	۲
Mdg	۶۳۰	۰/۵۴	۵/۶۶	۲/۵۷۱	۴۵
Cz	۱۱۲۰	۲۸۵۸۶۸۸۶/۱	۰/۱۶	۰/.....۲	۰

البته در نتایج بدست آمده از جدول ۷-۴ در واحد زمین شناسی مهندسی Cz، یک مسئله پنهان مانده است. همانطور که ملاحظه می‌شود ضریب بهره وری در واحد زمین شناسی مهندسی Cz بـ علت شدیداً ضعیف بودن کیفیت توده سنگ ($Q=0/003$)، خیلی پایین می باشد. هر چیزی که موجب افزایش بهره وری به ویژه میانگین بهره وری می شود باید تامین شود، حتی چنانچه معنایش این باشد که در بهره وری، به دلیل انجام عملیات ترزیق^۱ یا نگهداری مقدماتی^۲ در کوتاه مدت ظاهرآ کاهش ایجاد شود (Barton, 2000). روزهایی که صرف اصلاح مقدماتی^۳ می شود با داشتن سرعت پیشروی

1 -Grouting

2 -Pre-support

3 -Pre-treatment

ثابت تری جبران می‌شود (Barton, 2000). بنابراین انجام تزریق مقدماتی در واحد زمین شناسی

مهندسی CZ برای افزایش بهره وری ضروری می‌باشد. با انجام عملیات تزریق مقدماتی کیفیت توده

سنگ افزایش می‌یابد. چون تغییر شکل تونل به نحو نزدیکی با نسبت $\frac{D_{هائ}}{Q}$ و نیاز به نگهداری

مستقیماً به $Q^{\frac{-1}{3}}$ متصل است، نتیجه اجتناب ناپذیر (که با ثبت و انعکاس سرعت لرزه‌ای و آزمایش

تغییر شکل پذیری بدان رسیده خواهد شد) این است که مقدار مؤثر Q با انجام تزریق مقدماتی

افزایش یافته است (Barton, 2000). این تغییرات را می‌توان از طریق تغییرات شش مولفه پارامتر

نشان داد ولیکن جواب دقیق همواره نامعلوم است (Barton, 2000). می‌توان تصور کرد تغییرات

پارامترهای Q در واحد زمین شناسی مهندسی CZ بعد از تزریق مقدماتی به صورت نشان داده شده در

جدول ۸-۴ باشد.

جدول ۸-۴-تغییرات پارامترهای Q قبل و بعد از تزریق مقدماتی در واحد زمین شناسی CZ

پارامترهای سیستم Q						Q	وضعیت
SRF	J _w	J _a	J _f	J _n	RQD		
۱۵	۰/۵	۴	۰/۵	۲۰	۱۵	۰/۰۰۳	قبل از تزریق مقدماتی
۱۵	۰/۶۶	۱	۲	۹	۲۵	۰/۲۴۴	بعد از تزریق مقدماتی

بهبودی که در مقدار Q بدست آمده (جدول ۸-۴) یک مطلب غیر واقعی نیست و در عمل ممکن

است ۱۰ تا ۱۰۰ برابر حالت اولیه تغییر کند (Barton, 2000). با توجه به Q تعیین شده توسط

پارامترهای تغییر یافته بعد از تزریق در جدول ۸-۴، این نسبت ۷۸ می‌باشد. بنابراین Q بدست آمده

قابل قبول می‌باشد.

در صورت فرض افزایش کم وزن مخصوص (۶) در اثر تزریق مقدماتی می‌توان در نظر گرفت تیغه را در واحد زمین شناسی Cz به مقدار ۱۲tnf افزایش یافته است. بنابراین می‌توان نیروی رانش به ازای هر نیروی تیغه برای واحدهای زمین شناسی مهندسی مسیر تونل را نشان می‌دهد.

جدول ۴-۹- نیروی رانش را به ازای هر تیغه برای واحدهای زمین شناسی مهندسی مسیر تونل بعد از درنظر گرفتن تزریق مقدماتی در Cz

واحدهای زمین شناسی مهندسی مسیر تونل بعد از درنظر گرفتن تزریق مقدماتی در Cz	SIGMA	نیروی وارد بر هر تیغه (F) بر حسب تن نیرو
Gta1	۴/۱۸	۱۲
Gta2	۷/۳۸	۱۵
Gta3	۱۴/۴۳	۲۰
Gta4	۴۱/۱۲	۲۵
Sts1	۱۵/۳۳	۲۰
Sts2	۳۵/۹۹	۲۵
Sts2-3	۳۳/۱۸	۲۵
Tsh	۷/۳۸	۱۵
Mdg	۲۴/۷۷	۲۲
Cz	۴/۳۲	۱۲

با این حساب شبیه m_1 ضریب بھره وری، سرعت نفوذ و سرعت پیشروی در واحد زمین شناسی مهندسی Cz (سنگ خرد شده) اصلاح می‌شود و نتایج آنرا می‌توان همراه با مقایسه با حالت قبل از تزریق مقدماتی در جدول ۴-۱۰ مشاهده کرد.

جدول ۱۰-۴- سرعت نفوذ، سرعت پیشروی، ضریب بهره وری و شیب منفی m برای واحد زمین شناسی مهندسی Cz (سنگ خرد شده) با در نظر گرفتن تزریق مقدماتی.

شیب منفی m	ضریب بهره وری %	سرعت پیشروی (m/hr)	سرعت نفوذ (m/hr)	Q_{TBM}	طول (m)	وضعیت
-۰/۸	۰	۰	۰/۱۶	۲۸۵۸۶۸۸۶/۱	۱۱۲۰	قبل از تزریق مقدماتی
-۰/۳۶۲	۴	۰/۱۱۵	۳/۲۳	۸/۹۰۷	۱۱۲۰	بعد از تزریق مقدماتی

نتایج نهایی محاسبه سرعت نفوذ و سرعت پیشروی برای واحدهای مختلف زمین شناسی مهندسی مسیر تونل کرج در جدول ۱۱-۴ و شکل ۹-۴ نشان داده شده است. متوسط وزنی سرعت نفوذ و سرعت پیشروی برای تمام طول مسیر تونل کرج در جدول ۱۲-۴ نشان داده شده است. در ضمنیمه ج جداوی که مقدار پارامترهای ورودی مورد نیاز برای روش Q_{TBM} و نتایج محاسبات آن برای هر مقطع با توجه به متراژش را نشان می دهد، آورده شده است.

باتوجه به نتایج بدست آمده کمترین سرعت نفوذ مربوط به واحد Gta4 (در برگیرنده ۲۰ درصد از کل مسیر تونل با توجه به شکل ۱۰-۴) و بیشترین سرعت نفوذ مربوط به واحد Mdg (در برگیرنده ۴ درصد از کل مسیر تونل با توجه به شکل ۱۰-۴) می باشد. سرعت نفوذ متوسط برای کل مسیر تونل ۳/۷ متر بر ساعت پیش بینی شده است. همچنین کمترین سرعت پیشروی مربوط به واحد Gta1 (در برگیرنده ۱۳ درصد از کل مسیر تونل با توجه به شکل ۱۰-۴) و بیشترین سرعت پیشروی مربوط به واحد Mdg (در برگیرنده ۴ درصد از کل مسیر تونل با توجه به شکل ۱۰-۴) می باشد. سرعت پیشروی در واحدهای Gta1 و Tsh (طولی برابر ۲۱ درصد از کل مسیر تونل) به علت پایین بودن کیفیت توده سنگ، بسیار کم پیش بینی شده است.

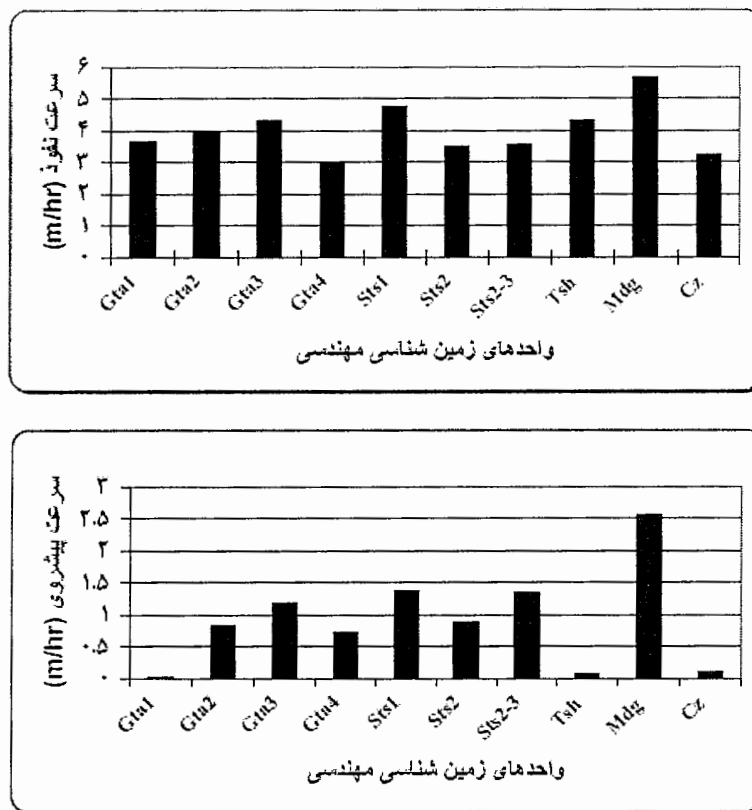
جدول ۴-۱۱- نتایج پیش‌بینی عملکرد TBM با استفاده از روش Q_{TBM}

واحد های زمین شناسی مهندسی	طول (m)	Q _{TBM}	سرعت نفوذ (m/hr)	سرعت پیشروی (m/hr)	ضریب بهره وری %
Gta1	۲۱۱۰	۴/۷۱	۳/۶۷	۰/۰۳۳	۱
Gta2	۱۹۹۰	۳/۴۳	۳/۹۱	۰/۸۴۲	۲۲
Gta3	۱۲۰۰	۲/۱۲	۴/۲۰	۱/۱۷۳	۲۷
Gta4	۳۲۸۰	۱۴/۲۷	۲/۹۴	۰/۷۱۴	۲۴
Sts1	۶۲۰	۱/۳۴	۴/۷۲	۱/۳۷	۲۹
Sts2	۳۲۲۰	۶/۰۴	۳/۴۹	۰/۸۹۷	۲۶
Sts2-3	۴۵۰	۵/۵۷	۳/۵۵	۱/۳۵۳	۳۸
Tsh	۱۳۶۰	۲/۰۴	۴/۳۳	۰/۰۸	۲
Mdg	۶۳۰	۰/۵۴	۵/۶۶	۲/۵۷۱	۴۵
Cz	۱۱۲۰	۸/۹۰۷	۳/۲۳	۰/۱۱۶	۴

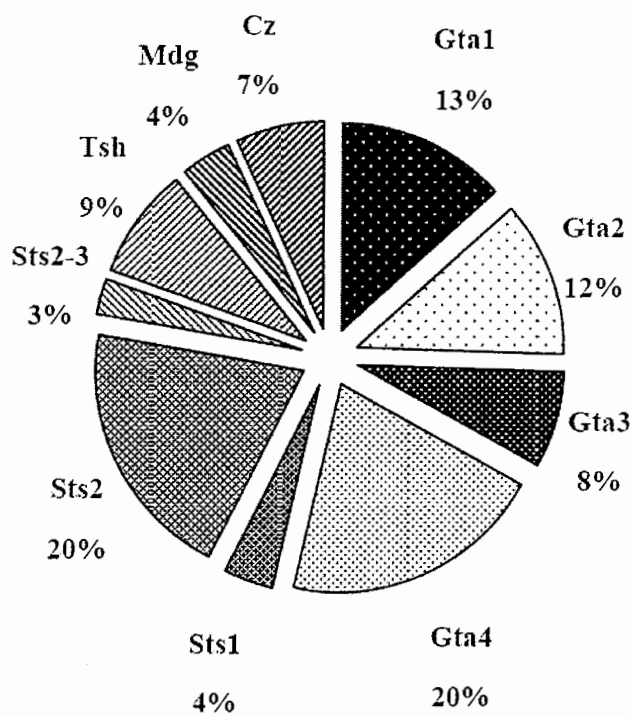
جدول ۴-۱۲- متوسط سرعت نفوذ و سرعت پیشروی

سرعت نفوذ متوسط (m/hr)	سرعت پیشروی متوسط (m/hr)
۳/۷	۰/۷۳۲

در واحد Cz به دلیل تزریق مقدماتی به نوعی شرایط کیفی سنگ بهبود یافته و سرعت پیشروی افزایش یافته (از تقریباً صفر "توقف") است. اما این مقطع همواره پتانسیل خطر توقف را دارد و می بایست با احتیاط بیشتری نسبت به دیگر مقاطع حفاری شود. متوسط سرعت پیشروی برابر ۰/۷۳۲ متر بر ساعت پیش‌بینی شده است که با احتساب ۲۰ ساعت کاری در روز و ۲۶ روز کاری در ماه زمان حفاری کل تونل حدوداً ۴۱ ماه پیش‌بینی می شود.



شکل ۹-۴- هیستوگرام تغییرات سرعت نفوذ و سرعت پیشروی TBM
در واحدهای زمین شناسی مهندسی مسیر تونل با استفاده از مدل Q_{TBM}



شکل ۱۰-۴- درصد طول واحدهای زمین شناسی مهندسی مسیر تونل.

فصل بیست و پنجم

طراحی سیستم تراپری حین اجرای توغل

۱-۵ - مقدمه

قطعه اول تونل انتقال آب از پایین دست سد کرج به تصفیه خانه شماره ۶ تهران (قطعه K-ET)، به طول حدود ۱۵۹۸۰ متر با استفاده از یک دستگاه حفر تمام مقطع تونل (TBM) حفاری و سگمنت گذاری می‌شود. با توجه به مشخصات زمین و مشخصات پروژه، دستگاه حفر تونل از نوع سپری مضاعف (D.S.TBM) انتخاب شده است. همچنین با توجه به مطالب بررسی شده در فصل سوم، متوسط راندمان تونل‌سازی با این دستگاه حدوداً ۴۰۰ متر در ماه پیش بینی شده است. بر این اساس سرعت متوسط پیشروی حدود ۱۵ متر در روز به دست می‌آید. عملأ در ماه‌های آغازین کار که پرسنل اجرائی آشنائی کامل به دستگاه پیدا نکرده اند، تونل‌سازی با سرعت کمتر انجام شده و به تدریج راندمان کاری افزایش می‌یابد و در ماه‌های آخر نیز با توجه به افزایش عمق تونل، به طور طبیعی سرعت پیشروی کاهش می‌یابد. علاوه بر این مواجهه با شرایط خاص زمین شناسی (احتمالاً در واحد زمین‌شناسی مهندسی Cz) و با بروز مشکلات اجرائی نیز در طول دوره اجرا می‌تواند باعث کاهش راندمان یا حتی توقف عملیات اجرائی شود. عملأ سرعت پیشروی روزانه در روزهای مختلف از صفر (توقف کار) تا سرعتهای بالاتر از ۱۵ متر در روز متغیر خواهد بود به نحوی که متوسط آن در طول دوره حدود ۱۵ متر در روز می‌باشد. بنابراین طراحی روش اجرا و به ویژه سیستم

ترابری بر اساس سرعت متوسط ۱۵ متر در روز در نظر گرفته می شود. به هر حال سیستم ترابری حین اجرا بایستی به گونه ای طراحی و اجرا شود که اولاً امکان بهره برداری از حداکثر قابلیت دستگاه D.S.TBM را فراهم نماید. به عبارت دیگر به صورت عامل محدود کننده سرعت تونلسازی مطرح نشود و ثانیاً در طراحی ترابری، بیشینه سازی طول پیشروی در هر سیکل در نظر گرفته شود. بر این اساس در این فصل به بررسی و طراحی سیستم حمل و نقل پرداخته شده است.

۲-۵- انتخاب نوع سیستم حمل و نقل

سیستم های مختلفی جهت حمل و نقل حین اجرای پروژه های تونلی مورد استفاده قرار می گیرند که بسته به شرایط هر یک از آنها از اولویت خاصی برخوردار می باشد. سیستم های حمل و نقل را از جنبه های مختلفی می توان تقسیم بندی کرد. براساس یکی از این بندی ها، سیستم حمل و نقل به دو دسته کلی پیوسته و ناپیوسته تقسیم می شوند. سیستم های حمل و نقل پیوسته شامل نوار نقاله و پمپاژ، و سیستم های حمل و نقل ناپیوسته شامل حمل و نقل ریلی و حمل و نقل کامیونی می باشند. هر یک از روشهای مورد اشاره مزايا و معایب خاص خود را دارند و بسته به شرایط ممکن است در هر پروژه خاص هر یک از آنها ارجحیت پیدا کند. به طور معمول در تونل های بلند از نوار نقاله برای تخلیه سنگهای خرد شده حاصل از حفاری و از سیستم ترابری ریلی برای سایر نیازهای حمل و نقل استفاده می شود. استفاده از پمپ عمدتاً در شرایطی مطرح می شود که مواد حاصل از حفاری آبدار هستند و امکان انتقال مواد آبدار به روش پمپاژ مقدور می باشد. استفاده از حمل و نقل جاده ای نیز عمدتاً در تونل های کوتاه و با مقطع بزرگ مقرر می باشد. در مورد پروژه انتقال آب از پایین دست سد کرج تا تصفیه خانه شماره ۶ تهران (قطعه ET-K)، استفاده از ترابری ریلی برای

حمل و نقل سگمنت، تجهیزات (ریل، لوله و ...)، نفرات، مواد و مصالح (سیمان، شن نخودی و ...) لازم و ضروری است. برای انتقال سنگهای خرد شده حاصل از حفاری می‌توان از سیستم ریلی یا نقاله استفاده کرد. با توجه به ملاحظات فنی و اقتصادی، سیستم ترابری ریلی به گونه‌ای طراحی شده که علاوه بر حمل مواد مورد نیاز به داخل تونل، امکان تخلیه مواد حاصل از حفاری نیز توسط آن وجود داشته باشد و نیازی به استفاده از نوار نقاله نباشد.

۳-۵- مبانی طراحی سیستم ترابری

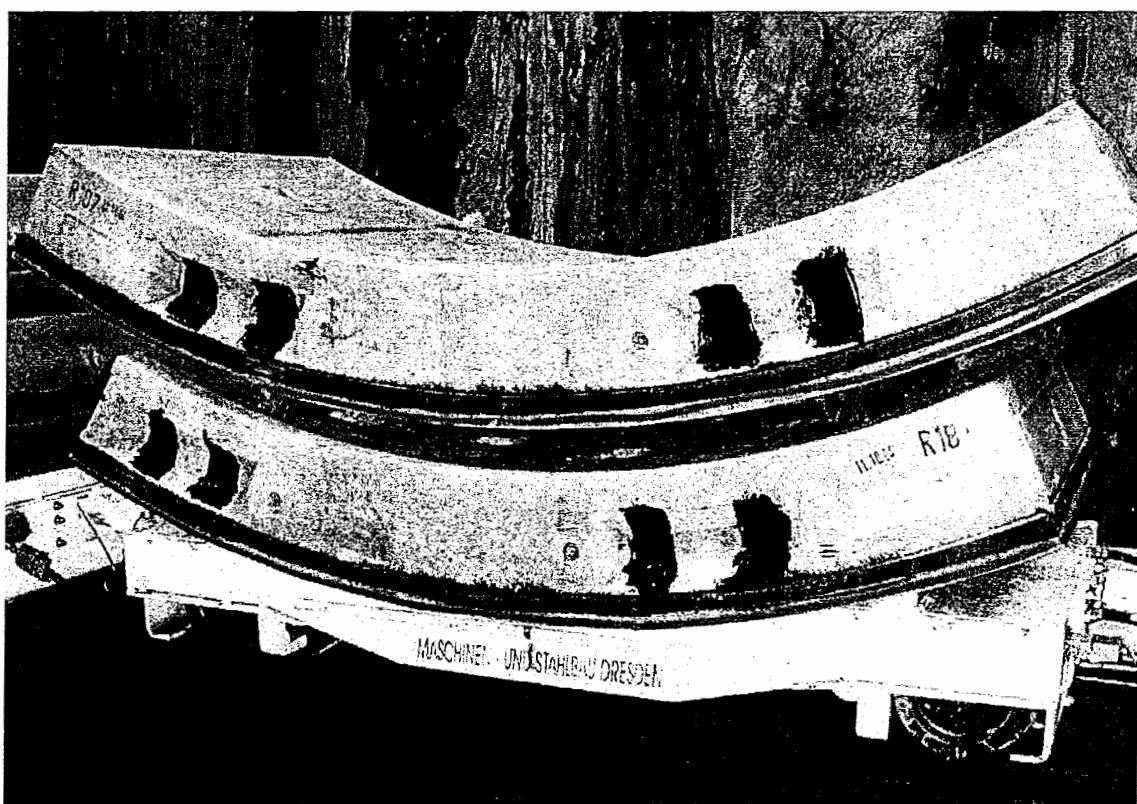
مشخصات هندسی مقطع، شیب طولی تونل، مشخصات هندسی و وزن سگمنت و سایر اجزاء پوشش، محل دپو، سرعت پیشروی روزانه و ساعتی، مشخصات فیزیکی سنگهای خرد شده حاصل از حفاری، محدودیت‌های احتمالی در انتخاب نوع و مشخصات ریل، لوکوموتیو، واگنها و... مهمترین مواردی هستند که در بررسی مبانی طراحی سیستم ترابری ریلی بایستی به آنها توجه شود.

۳-۱- تعیین طول پیشروی در هر سیکل حفاری

طول پیشروی در هر سیکل حفاری دقیقاً برابر طول یک رینگ سگمنتی می‌باشد. هر رینگ سگمنتی از ۶ قطعه (سگمنت) تشکیل شده است. سگمنت‌ها می‌بایست از محوطه ترانشه حمل و به سیستم پشتیبانی^۱ تحويل داده شوند. بنابراین نحوه قرارگیری سگمنت‌ها بر روی واگن حمل سگمنت در تعیین طول یک رینگ سگمنتی نقش مهمی دارد. طرز قرارگیری سگمنت‌ها بر روی واگن حمل سگمنت به گونه‌ایست که طول آنها در جهت طولی واگن و عرض آنها (که همان طول یک رینگ

¹ -Back up

سگمنتی می باشد) درجهت عرضی واگن قرار می گیرد. شکل ۱-۵ نحوه قرارگیری سگمنت را بر روی واگن حمل سگمنت نشان می دهد.



شکل ۱-۵- نحوه قرارگیری سگمنتها بر روی واگن حمل سگمنت

با توجه به مطالب مذکور و شکل ۱-۵ واضح است طول رینگ سگمنتی با عرض قابل عبور و مرور در تونل، ارتباط مستقیمی دارد. به عبارت دیگر عرض قابل عبور و مرور در تونل در تعیین عرض سگمنت که همان طول یک رینگ سگمنتی می باشد، موثر است. پس نخستین گام تعیین عرض قابل عبور و مرور در تونل می باشد. لازم به ذکر است که موارد زیر در محاسبات در نظر گرفته خواهند شد.

- ۱- سیستم پشتیبانی براساس طراحی انجام شده، سفارش داده خواهد شد. به عبارت دیگر سیستم پشتیبانی عامل محدود کننده در تعیین عرض قابل عبور و مرور نخواهد بود.

۲- محاسبات برای تعیین طول رینگ سگمنتی تنها با توجه به مسائل اجرائی (نحوه حمل و سپس نصب) انجام می‌گیرد و فرض می‌شود سگمنت با هر عرضی، طوری طراحی و ساخته خواهد شد که در برابر نیروهایی که در هنگام حمل و نصب به آن اعمال می‌شود مقاوم خواهد بود و دچار گسیختگی و شکست نخواهد شد.

۳- لوکوموتیو بزرگترین وسیله عبوری از لحاظ ارتفاعی می‌باشد.

۱-۱-۳-۵ عرض قابل عبور و مرور در تونل

برای انجام ترابری حین اجرای تونل، نیاز به دو مسیر رفت و برگشت می‌باشد. ولی به دلیل محدودیت فضا در داخل تونل نمی‌توان از دو خط مجزا برای عبور و مرور قطارها استفاده کرد. بنابراین در کل طول تونل از یک خط ریل استفاده می‌شود. اما در مترازهایی از تونل لازم است دو قطار از کنار هم عبور کنند و بهترین راه حل برای رفع این مشکل، استفاده از سوئیچ کالیفرنیا می‌باشد. با توجه به دایره‌ای بودن مقطع تونل، سوئیچ کالیفرنیا با بالا آوردن سطح تراز خط ریل، عرض عبوری تونل را افزایش می‌دهد (سطح تراز در تونل به منزله وتر دایره می‌باشد که با بالا آمدن تا ارتفاعی معین وتر بزرگتر می‌شود). طراحی عرض قابل عبور و مرور در داخل تونل می‌بایست با توجه به کلیه محدودیت‌های موجود، صورت گیرد. مطمئناً در کل طول مسیر تونل، نقاطی که سوئیچ کالیفرنیا قرار دارد و دو قطار از کنار هم عبور می‌کنند، بحرانی می‌باشند و می‌بایست در چنین شرایطی این طراحی صورت گیرد. به سادگی با در نظر گرفتن مقطعی از تونل در نقطه بحرانی (سوئیچ کالیفرنیا) و انجام محاسبات هندسی می‌توان عرض قابل عبور و مرور را محاسبه کرد. با توجه

به شکل ۲-۵ و روابط هندسی موجود، عرض قابل عبور و مرور را می‌توان از طریق رابطه ۱-۵ بدست آورد.

$$W = \sqrt{\left(\frac{D}{2}\right)^2 - [H + L_v + D_v - \left(\frac{D}{2}\right)]^2} - L_w - \frac{1}{2}L_t \quad (1-5)$$

که در آن:

W : عرض قابل عبور و مرور

D : قطر داخلی تونل

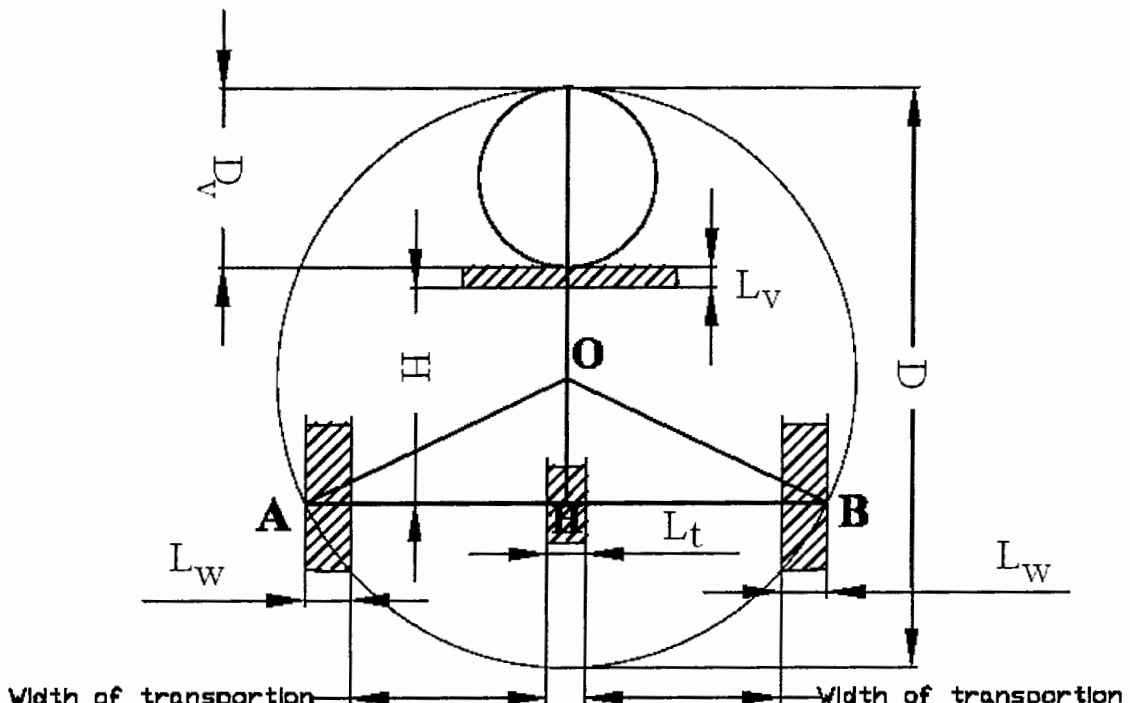
D_v : قطر لوله تهویه

H : ارتفاع بدن لوكوموتیو (به غیر از چرخهای آن)

L_w : حداقل فاصله ایمنی از دیواره تونل

L_v : حداقل فاصله ایمنی از لوله تهویه

L_t : حداقل فاصله ایمنی بین دو قطار (در کنار هم)



شکل ۲-۵- مقطعی فرضی از تونل در محل نصب سوئیچ کالیفرنیا

در این پروژه، قطر داخلی تونل ۳۹۰ سانتیمتر، قطر لوله تهویه ۱۲۰ سانتیمتر، ارتفاع بدن لوكوموتیو

(به غیر از چرخهای آن) ۱۵۷/۵ سانتیمتر، حداقل فاصله ایمنی از دیواره تونل ۱۳/۱ سانتیمتر، حداقل

فاصله ایمنی از لوله تهویه ۱۵ سانتیمتر و حداقل فاصله ایمنی بین دو قطار (درکنار هم) ۱۱/۵۵ سانتیمتر می باشد لذا با توجه به رابطه ۱-۵، عرض قبل عبور و مرور ۱۵۰ سانتیمتر خواهد بود. با فرض انتخاب لوکوموتیو ۲۵ تنی با حداکثر ارتفاع ۱۷۵ سانتیمتر و توجه به قطر چرخهایش (۳۵ سانتیمتر)، به عنوان یک پیش فرض، ارتفاع بدن لوکوموتیو بدست آمده است. بدیهی است در صورت تغییر مشخصات لوکوموتیو انتخابی مجدداً محاسبات از سرگرفته خواهد شد.

گام بعدی توجه به محدودیت ناشی از ابعاد سگمنت هنگام چرخش آن و قرارگیریش بر روی تغذیه کننده نصاب^۱ می باشد. ضمن توجه به این نکته که عرض سگمنت (Wseg) حداکثر می تواند با عرض قابل عبور و مرور در تونل (W) برابر باشد.

۲-۱-۳-۵ - محدودیت ناشی از ابعاد سگمنت هنگام چرخش و قرارگیری بر روی تغذیه

کننده نصاب

در ابتدا می بایست طرز بلند کردن سگمنت از روی واگن حمل سگمنت و حمل آن تا قرارگیری آن روی تغذیه کننده نصاب شرح داده شود. تخلیه سگمنتها توسط جرثقیل طراحی شده در سیستم پشتیبانی صورت می گیرد. قلاب جرثقیل به پیچی که بر روی سگمنت (سمت محدب آن) و درست در مرکز آن پیچ شده است، متصل می شود. در واقع سگمنت از یک نقطه (در مرکز ثقل) توسط جرثقیل بلند می شود. مراحل تخلیه سگمنت از واگن حمل سگمنت و قرار دادن آن بر روی تغذیه کننده نصاب به شرح زیر می باشد:

مرحله ۱ - قلاب جرثقیل به پیچی که به سگمنت پیچ شده متصل می شود.

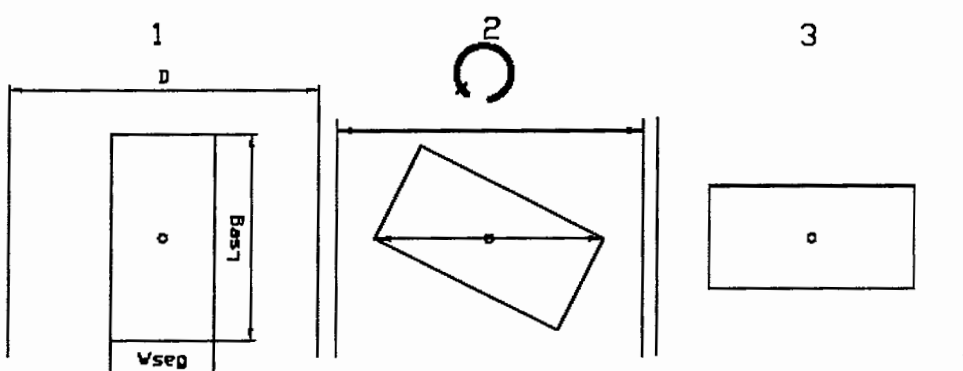
1 -Feeder elector

مرحله ۲- جرثقیل به حالت عمودی سگمنت را از روی واگن بلند کرده و به طورافقی به عقب (یعنی به سمت تغذیه کننده نصب) حرکت می کند و در محل مورد نظر قرار می گیرد.

مرحله ۳- توسط کارگر سگمنت حول نقطه اتصال قلاب به پیچ، گردانده می شود تا عرض سگمنت در راستای طول پیشروی قرار گیرد.

مرحله ۴- جرثقیل به طور عمودی به سمت پایین حرکت می کند و سگمنت روی تغذیه کننده نصب قرار می گیرد و قلاب آزاد می شود.

شایان ذکر است تمامی مراحل حرکتی جرثقیل در سیستم پشتیبانی توسط اپراتور مربوطه صورت می گیرد. همچنین فرض بر این است که ابعاد تجهیزات مربوط به جرثقیل واقع در سیستم پشتیبانی دارای ارتفاعی کمتر از شعاع داخلی تونل است. حال اگر به سگمنت از نمای بالا نگاه شود به شکل یک مستطیل می باشد که عرض آن در واقع عرض سگمنت و طول آن طول سگمنت می باشد. نکته قابل توجه اینجاست که ابعاد سگمنت (عرض و طول) باید در حدی باشند که امکان چرخش حول نقطه اتصال برای سگمنت میسر باشد. این زمانی تحقق می یابد که وتر مستطیل مذکور از قطر داخلی تونل کوچکتر باشد. شکل ۳-۵ که نشان دهنده نحوه چرخش سگمنت از نمای بالا در داخل تونل می باشد، مطالب مذکور را روشنتر می سازد.



شکل ۳-۵- وضعیت چرخش سگمنت از نمای بالا هنگام قرارگیری بر روی تغذیه کننده نصب

مطلوب بالا با توجه به روابط هندسی موجود به صورت رابطه ۲-۵ تعریف می شود در واقع ابعاد سگمنت می بایست به گونه ای باشد که شرط زیر بر قرار باشد.

$$\sqrt{{W_{seg}}^2 + {L_{seg}}^2} < D \quad \text{رابطه (۲-۵)}$$

که در آن:

W_{seg} : عرض سگمنت

L_{seg} : طول سگمنت

D : قطر داخلی تونل

با توجه به اینکه نهایتاً عرض سگمنت و عرض قابل عبور و مرور می توانند برابر باشند ($W_{seg}=W$) رابطه فوق به رابطه ۳-۵ تبدیل می شود.

$$\sqrt{{W}^2 + {L_{seg}}^2} < D \quad \text{رابطه (۳-۵)}$$

که در آن W عرض قابل عبور و مرور می باشد.

در صورت برقراری رابطه فوق، می توان تنها با توجه به این شرط، نتیجه گرفت حداکثر عرضی را که می توان برای سگمنت در نظر گرفت برابر عرض قابل عبور و مرور می باشد و در صورت عدم برقراری، می توان با مجھول قرار دادن عرض سگمنت (W_{seg}) در رابطه ۲-۵ آنرا بدست آورد. اما عرض بدست آمده از روابط فوق می بایست با محدودیتی که ظرفیت لوکوموتیو ایجاد می کند، مقایسه شود. در واقع

گام آخر توجه به محدودیتی است که لوکوموتیو به لحاظ ابعادی در نتیجه افزایش ظرفیت باربری ایجاد می کند.

با توجه به عرض قابل عبور و مرور بدست آمده (۱۵۰ Cm) و طول حداکثر سگمنت (۲۶۰ Cm) و قرارگیری این مقادیر در رابطه ۳-۵ شرط برقرار می باشد. اما با در نظر گرفتن این عرض سگمنت

(150 Cm) نیاز به یک لوکوموتیو ۳۰ تنی می باشد که از نظر ارتفاعی، قابلیت عبور و مرور در داخل تونل را نخواهد داشت. با در نظر گرفتن یک لوکوموتیو ۲۵ تنی، عرض ۱۳۰ سانتی متر برای سگمنت یا طول رینگ سگمنتی بدست می آید. با توجه به اینکه لوکوموتیو ۲۵ تنی قابلیت عبور و مرور در داخل تونل را دارد، این عرض برای سگمنت انتخاب می شود.

۳-۱-۳-۵- اختلاف ارتفاعی که لازم است سوئیچ کالیفرنیا ایجاد کند

با توجه به شکل ۲-۵ و اختلاف ارتفاعی که خط ریل ایجاد می کند و عرض قابل عبور و مرور (W) و روابط هندسی حاکم می توان رابطه زیر را ارائه کرد:

$$H_C = D - (D_v + L_v + H_{LOCO}) - hr \quad (4-5)$$

که در آن :

H_C : اختلاف ارتفاعی که باید سوئیچ کالیفرنیا برای رسیدن به عرض مورد نظر ایجاد کند

H_{LOCO} : ارتفاع لوکوموتیو

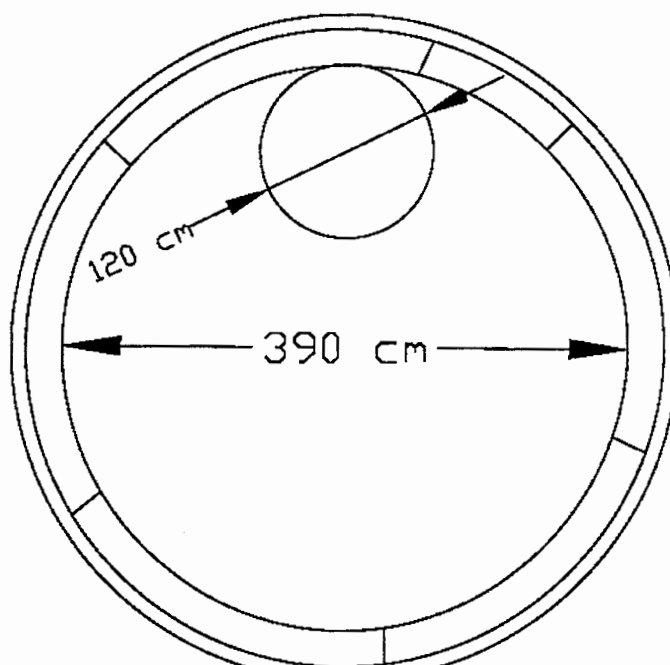
hr : اختلاف ارتفاعی که خط ریل نسبت به کف تونل ایجاد می کند.

بقیه پارامترها قبلًا تعریف شده است.

با توجه به آن که قطر داخلی تونل ۳۹۰ سانتیمتر، قطر لوله تهویه ۱۲۰ سانتیمتر، حداقل فاصله ایمنی از لوله تهویه ۱۵ سانتیمتر، ارتفاع لوکوموتیو ۱۷۵ سانتیمتر و اختلاف ارتفاعی که خط ریل نسبت به کف تونل ایجاد کند ۴۰ سانتیمتر می کند. این اختلاف ارتفاعی را که سوئیچ کالیفرنیا ایجاد می کند ۴۰ سانتیمتر خواهد بود.

۲-۳-۵- شیب تونل، مشخصات هندسی مقطع و مشخصات فیزیکی سنگهای خرد شده

شیب طولی تونل $137/0$ درصد ($1/3$ میلیمتر در هر متر) می باشد. جهت شیب به گونه ایست که واگن های پر از مواد حاصل از حفاری در سرازیری و واگن های پر از سگمنت و شن نخودی در سر بالایی حرکت می کنند. مقطع حفاری تونل، دایره ای به قطر $465/4$ متر می باشد که سطح مقطع آن $1709/1$ متر مربع خواهد شد. شکل ۴-۵ مشخصات هندسی مقطع حفاری تونل را به همراه سیستم نگهداری و جانمایی لوله تهویه نمایش می دهد. بنابراین حجم بر جای سنگهای خرد شده حاصل از حفاری یک سیکل پیشروی (یک رینگ به طول $1/3$ متر) در حدود $22/3$ متر مکعب خواهد بود. با احتساب ضریب تورم حجمی $1/6$ برای سنگهای خرد شده نابرجا به سنگهای خرد شده بر جا، حجم نابرجای سنگهای خرد شده مورد اشاره حدود $35/5$ متر مکعب می شود. با توجه به وزن مخصوص $2/6$ تن بر متر مکعب برای سنگ بر جا، وزن این مقدار مواد حدود $57/75$ تن می باشد.



شکل ۴-۵- مشخصات هندسی مقطع عرضی تونل

جنس سنگهایی که تونل در آن حفاری می شود، در بخش عمدۀ مسیر از سازند آذر آواری کرج (شامل انواع سنگهای آذرآواری مانند توف، توفیت، آگلومرا، ماسه سنگهای توفی، توفهای ماسه ای و شیلی و ...) و در بخش محدودی نیز از توده های نفوذی (از جنس مونزودیوریت و گابرو) تشکیل شده است. وزن مخصوص سنگهای خرد شده برجا در تمام این سنگ ها به طور متوسط در حدود ۲/۶ تن بر متر مکعب می باشد. اگر چه در بخشهايی از مسیر احتمال وجود آب زيرزميني وجود دارد لیکن جنس سنگهای خرد شده سنگی به گونه ايست که در آب حل نمی شوند و پيش بينی می شود سنگهای خرد شدهای که توسط سیستم ترابری حمل می شود به صورت گل و لای نباشد.

۳-۳-۵- مشخصات پوشش تونل

پوشش تونل به صورت قطعات بتني پيش ساخته می باشد که همزمان با پيشروي، در داخل سپر ۲۵ انتهایي دستگاه، نصب می شود. شكل قطعات بتني از نماي بالا به صورت مستطيل و ضخامت آنها سانتي متر می باشد. تعداد سگمنت ها در هر رينگ ۶ عدد (۵+۱) می باشد که به کمک قطعه ششم (کليد) در محل نصب می شود. طول رينگ سگمنتی با توجه به محاسبات بخش ۳-۵ ۱/۳ متر می باشد و با توجه به شكل خاص آنها به ازاي هر ۱/۳ متر پيشروي، يك رينگ كامل نصب می شود. قطر خارجي رينگ سگمنتی ۴/۴ متر و قطر داخلي ۳/۹ متر می باشد. در طراحی سیستم حمل و نقل، شكل، ابعاد هندسي، وزن قطعات سگمنت و همچنین تنوع سگمنت ها در هر رينگ تأثيرگذار است. وزن هر يك از سگمنت های پنجگانه به غير از قطعه کليد حدود ۱۹۸۰ کيلوگرم و وزن قطعه کليد حدود ۶۲۵ کيلوگرم می باشد. عرض سگمنت که در تعين عرض واگن مؤثر است، برابر طول يك رينگ سگمنتی يعني ۱/۳ متر می باشد (بخش ۲-۵). طول حداکثر سگمنت که تعين کننده طول

واگن کفی حمل سگمنت است در حدود ۲/۶ متر می باشد. حجم فضای خالی پشت سگمنت ها حدود ۱/۴ متر مکعب در هر متر طول تونل می باشد. بنابراین پیش بینی می شود به ازای هر متر طول پیشروی، ۱/۴ متر مکعب شن نخودی در پشت سگمنت تزریق شود. البته بدیهی است که در شرایط خاص ممکن است تغییراتی در این مقادیر پیش آید.

۴-۳-۵- تقسیم بندی عملیات اجرایی و مقادیر کمی مواد و سنگهای خرد شده برای حمل

به طور معمول در پروژه های تونلی که از دستگاه TBM برای حفاری استفاده می شود، عملیات اجرایی در قالب سه شیفت کاری در شبانه روز انجام می شود که شامل دو شیفت ۱۰ ساعته و یک شیفت ۴ ساعته می باشد. در دو شیفت ده ساعته کار حفاری، سگمنت گذاری و تزریق پشت سگمنت انجام می شود و در یک شیفت ۴ ساعته به سرویس دستگاه و انتقال تاسیساتی مثل آب و برق، تهویه و روشنایی پرداخته می شود. در شیفت کاری ۱۰ ساعته، فعالیت هایی مثل حفاری، نصب سگمنت، جابجایی کفشکها و استقرار دستگاه، تزریق شن نخودی، تزریق دوغاب، تعویض کاتر دیسک (بنا بر ضرورت) و ریل گذاری انجام می شود. سیکل زمانبندی این فعالیت ها (مدت زمان، تقدم و تأخیر و ...) در شرایط مختلف متفاوت است و به عوامل متعددی بستگی دارد. با توجه به مشخصات تونل و بر اساس تجارب قبلی، طراحی سیستم ترابری بر این اساس انجام شده که توسط هر قطار، نیاز های حمل و نقل پیشروی ۲ سیکل حفاری و سگمنت گذاری تأمین شود (۲×۱/۳ متر). بنابراین سیستم حمل و نقل می باشد امکان تخلیه سنگهای خرد شده حاصل از حفاری ۲/۶ متر تونل را فراهم کرده و امکان انتقال ۱۲ قطعه سگمنت را به محل سپر انتهایی فراهم نماید. بر این اساس حجم مواد و سنگهای خرد شده ای که توسط هر قطار جابجا می شود محاسبه و در جدول ۱-۵ درج شده است.

جدول ۱-۵- حجم مواد و سنگهای خرد شده مورد نیاز برای پیشروی به اندازه دو رینگ سگمنتی که توسط هر قطار جابجا می شود.

مقدار	واحد	مواد و سنگهای خرد شده‌ای که توسط هر قطار حمل می شود
۷۱/۱	m ³	سنگ و خاک حاصل از حفاری
۱۲	عدد	قطعات سگمنت
۳/۶	m ³	شن نخودی
۱۸۰۰ (۳۶ عدد کیسه ۵۰ کیلویی)	kg	سیمان کیسه‌ای

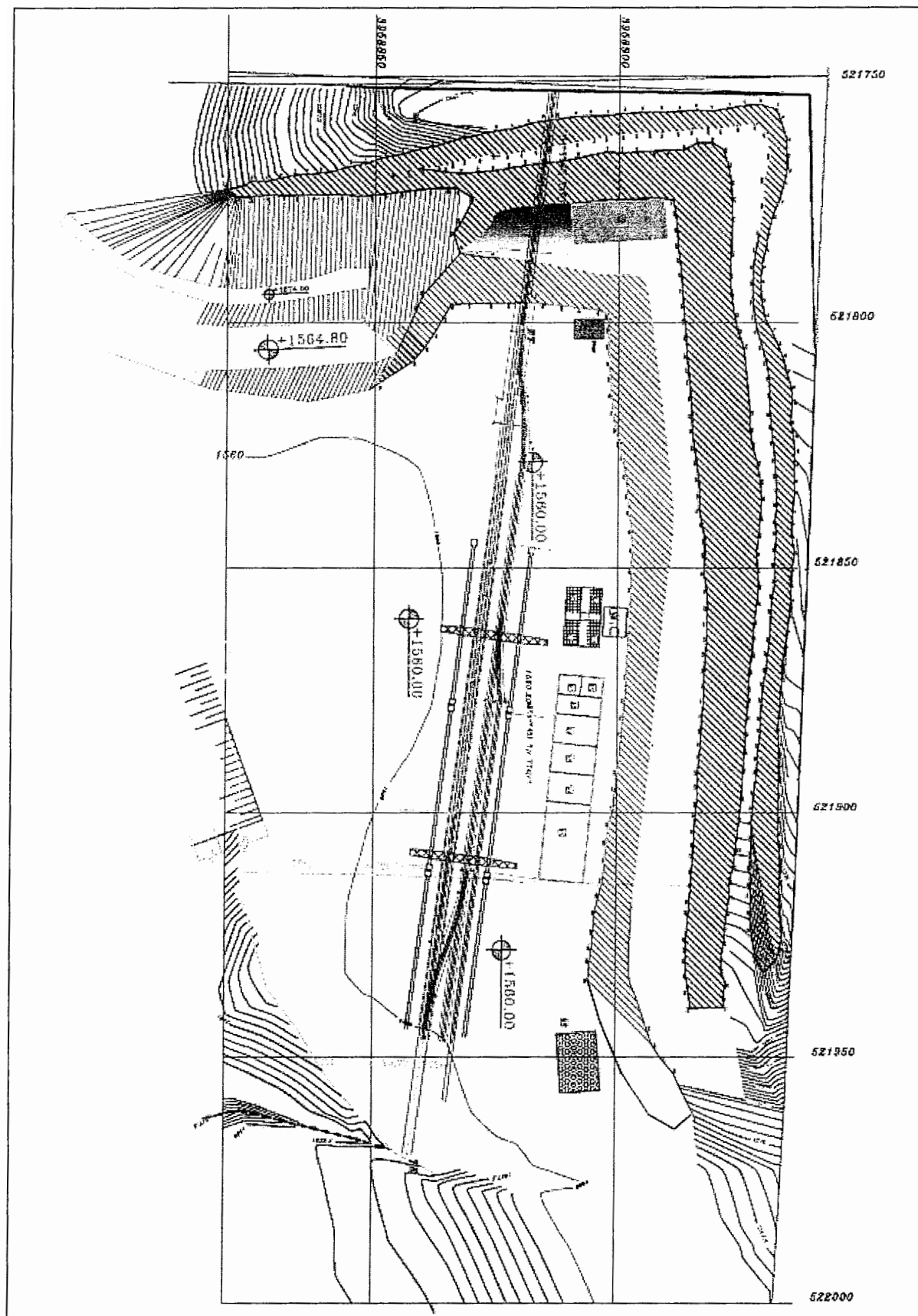
هر قطار در بیرون تونل (داخل محوطه ترانشه) و در داخل تونل (کنار سیستم پشتیبانی^۱) برای بارگیری و تخلیه توقف می کند. در بیرون تونل شن نخودی، سیمان کیسه‌ای، سگمنت و تجهیزات (ریل، لوله و ...) بارگیری شده و واگن‌های حمل خاک تخلیه می شوند در داخل تونل مواد حاصل از حفاری بارگیری شده و تخلیه سگمنت، شن نخودی، سیمان کیسه‌ای و تجهیزات (ریل، لوله ...) انجام می شود. واگن‌های حمل پرسنل معمولاً در هر دو طرف مسافرین خود را پیاده و سوار می کنند.

۱-۵-۳-۵- ترابری خارج تونل

مهمنترین موارد حمل و نقل در خارج تونل، انتقال سگمنت، شن نخودی، سیمان کیسه‌ای و تجهیزات به محل های بارگیری در داخل ترانشه و انتقال خاک های حاصل از حفاری تونل از محل واگن برگردان به محل دپوی اصلی می باشد. در شکل ۱-۵ نمای عمومی محوطه ترانشه پرتال واقع در شمال شهرک راه آهن نشان داده شده است. انتقال سگمنت از محل دپوی سگمنت به محوطه ترانشه توسط ریل و وینچ انجام می شود. شن نخودی نیز توسط کامیون از محل تأمین منابع قرضه به داخل ترانشه منتقل شده و در آنجا نیز توسط لودر بر روی تغذیه کننده نوار نقاله مربوط ریخته می شود.

سیمان کیسه‌ای نیز قبلً توسط کامیون به سوله مربوطه در محوطه ترانشه منتقل شده و در آنجا نیز توسط کارگر یا لیفتراک به بیرون سوله منتقل شده و توسط جرثقیل دروازه ای مستقر در محوطه ترانشه بر روی واگن‌های مخصوص بارگیری می‌شود. مواد حاصل از حفاری تونل توسط سیستم ریلی به خارج تونل (داخل محوطه ترانشه) منتقل شده و در دپوی موقت توسط دستگاه واگن برگردان^۱ تخلیه می‌شود. مواد مذکور توسط کامیون‌هایی با ظرفیت ۱۰ متر مکعب (۱۶ تن) از این محل به محل دپوی باطله منتقل و تخلیه می‌شوند. عملیات بارگیری کامیونها در محل دپوی موقت توسط یک دستگاه لودر صورت می‌پذیرد. با احتساب متوسط پیشروی ۱۵ متر در روز حجم نابرجای مواد سنگی حاصل از حفاری که توسط کامیون به محل دپوی اصلی منتقل می‌شود، در حدود ۴۰۰ متر مکعب (۶۶۷ تن) می‌باشد. ظرفیت کامیون‌های مورد استفاده ۱۰ متر مکعب می‌باشد که با احتساب ضریب پرشوندگی ۹۵٪ برای صندوقه کامیون، برای انتقال مواد سنگی حاصل از حفاری حدود ۴۴ سرویس لازم خواهد بود. اگر این مقدار مواد و سنگهای خرد شده ظرف مدت ۸ ساعت حمل شوند، در هر ساعت به طور متوسط ۵/۵ سرویس، خاک حمل خواهد شد. فاصله محل دپو تا ترانشه پرتال حدود ۳ کیلومتر است. اگر متوسط سرعت کامیون در رفت و برگشت ۲۵ کیلومتر بر ساعت، زمان بارگیری ۱۹ دقیقه و زمان تخلیه ۲ دقیقه در نظر گرفته شود، زمان یک سیکل کامل رفت و برگشت کامیون ۱۹ دقیقه خواهد شد. بنابراین هر کامیون در هر ساعت به طور متوسط ۳ سیکل رفت و برگشت خواهد داشت. در نتیجه حداقل ۲ دستگاه کامیون مورد نیاز است. وجود یک دستگاه لودر در محل ترانشه برای بارگیری ضروری است و یک دستگاه بلدوزر نیز برای تسطیح خاک‌ها در محل دپو مورد نیاز می‌باشد.

1 -Muck car tipper



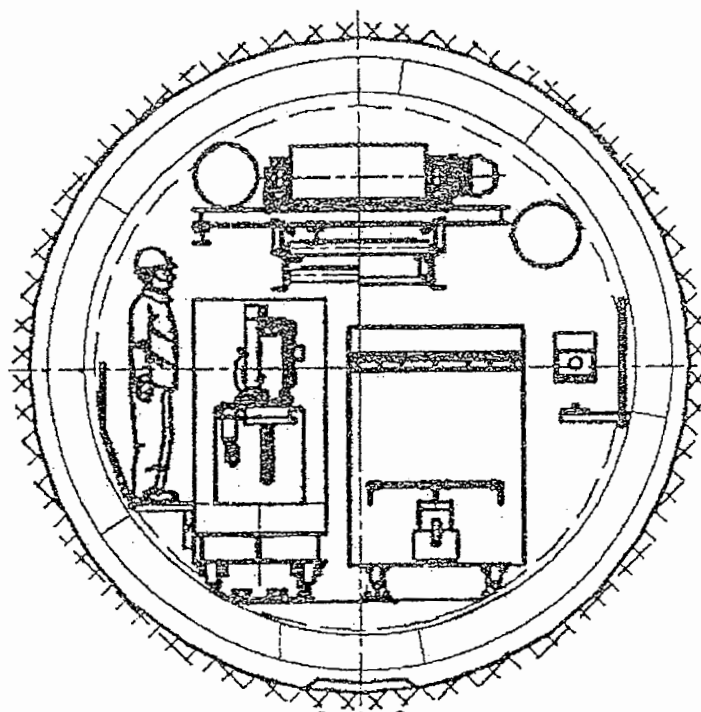
شکل-۵-۵- نمای عمومی ترانشه پرتال و متعلقات سیستم ترابری (مؤسسه حرا، ۱۳۸۵)

۵-۳-۶- مشخصات ریل و سوئیچ ها

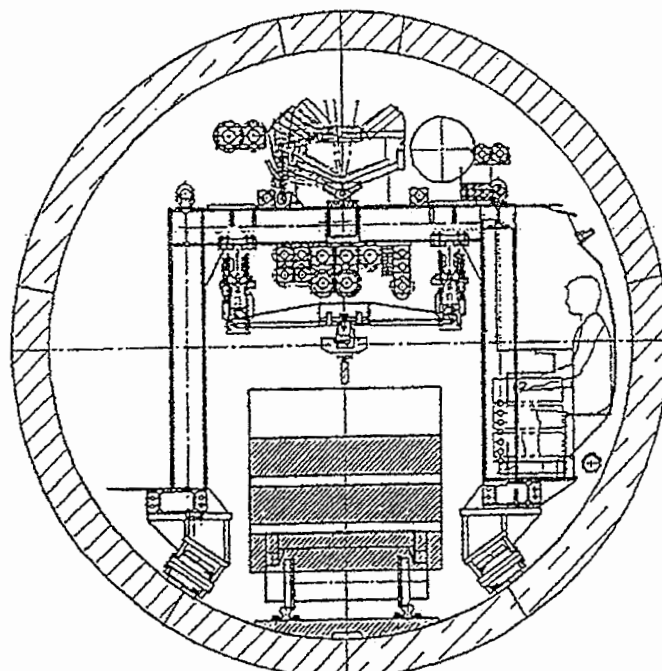
سیستم پشتیبانی دستگاه TBM می تواند به دو صورت متقارن و یا نامتقارن باشد (مؤسسه مهندسین مشاور ساحل، ۱۳۸۳).

حالت نامتقارن: در حالت نامتقارن سیستم پشتیبانی به گونه ایست که حدوداً نیمی از فضای مقطع تونل برای نصب سیستم پشتیبانی مصرف شده و قطارهای سیستم ترابری در کنار سیستم پشتیبانی تا نزدیک دستگاه TBM به جلو می روند به نحوی که فاصله نزدیکترین واگن به سینه کار در حدود ۳۵ متر می باشد (با احتساب ۱۰ متر برای طول بخش سپر دستگاه TBM، فاصله آخرین واگن تا انتهای سپر عقبی حدود ۲۵ متر می شود). یاد آور می شود عملکرد مطلوب این نوع سیستم پشتیبانی و مسیر ریل از نظر سایز و اندازه در پروژه های مشابه قبلاً به اثبات رسیده است. در شکل ۶-۵ مقطع عرضی تونل در حالت نامتقارن، در بخشی از سیستم پشتیبانی که سیستم هیدرولیک دستگاه مستقر است، نشان داده شده است. ملاحظه می شود که تقریباً در نیمه سمت چپ مقطع، اجزا سیستم پشتیبانی مستقر بوده و نیمه راست مقطع برای تردد قطارهای سیستم حمل و نقل خالی است.

حالت متقارن: در حالت متقارن سیستم پشتیبانی دو طرف مقطع تونل را اشغال کرده و قطارهای سیستم ترابری از وسط آن عبور می کنند (شکل ۵-۷). نظر به اینکه در حالت متقارن بخش راهروی سیستم پشتیبانی به ناچار باید کم عرض تر در نظر گرفته شود، به کارگیری این سیستم در تونل های با قطر کمتر از حدود ۵ تا ۶ متر باعث مشکل تر شدن رفت و آمد در راهروی سیستم پشتیبانی می شود. با این حال به علت اینکه عملیات نصب ریلها و عبور لوله تهویه ساده تر صورت می پذیرد، این سیستم نیز کاربردی مناسب در عملیات حفر ارائه می دهد.

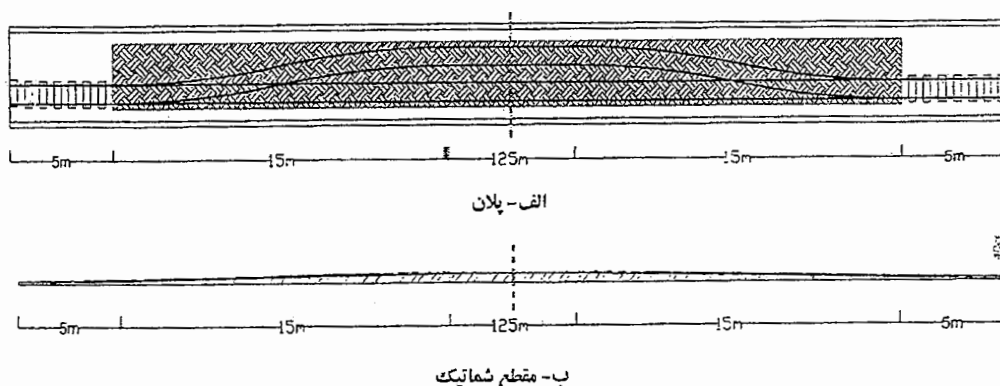


شکل ۵-۶- مقطع عرضی تونل در حالت نامتقارن در محدوده‌ای از سیستم پشتیبانی
(مؤسسه مهندسین مشاور ساحل، ۱۳۸۳)

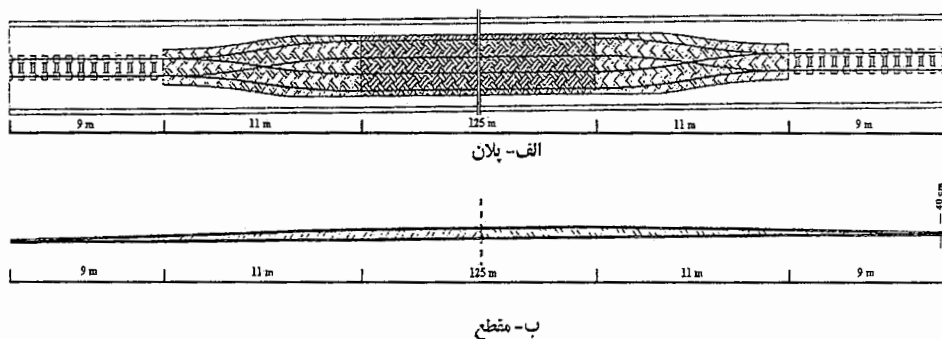


شکل ۵-۷- نمونه‌ای از مقطع عرضی تونل در حالت متقارن در محدوده‌ای از سیستم پشتیبانی
(مؤسسه مهندسین مشاور ساحل، ۱۳۸۳)

مسیر ریل داخل تونل یک مسیر تک بانده می باشد بنابراین جهت عبور دو قطار از کنار یکدیگر نیاز به استفاده از پذیرگاه یا سوئیچ می باشد و معمولترین روش مورد استفاده بدین منظور، استفاده از سوئیچ کالیفرنیا می باشد. طول سکوی انتظار این سوئیچ ها کمی بیش از طول قطار بوده و امکان عبور دو قطار از کنار یکدیگر را در داخل تونل فراهم می کنند. همانطور که در بالا اشاره شد بسته به اینکه سیستم ریل گذاری متقارن یا نامتقارن باشد، سوئیچ های کالیفرنیا مربوطه نیز به دو صورت متقارن و یا نامتقارن اجرا می شود. شکل ۹-۵ موقعیت یک سوئیچ کالیفرنیا نامتقارن و شکل ۹-۶ موقعیت یک سوئیچ کالیفرنیا متقارن را در پلان و مقطع نشان می دهد.



شکل ۸-۵- نمونه سوئیچ کالیفرنیای ثابت به کار رفته در داخل تونل در حالت نامتقارن
(مؤسسه مهندسین مشاور ساحل، ۱۳۸۳)

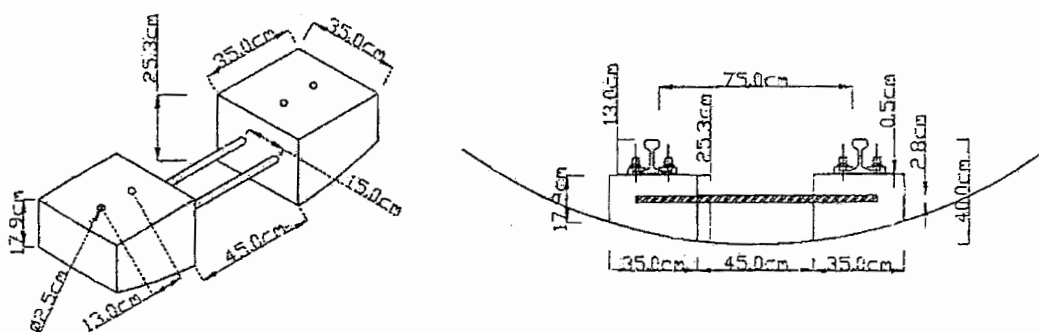


شکل ۹-۵- نمونه سوئیچ کالیفرنیای ثابت به کار رفته در داخل تونل در حالت متقارن
(مؤسسه مهندسین مشاور ساحل، ۱۳۸۳)

در تونل انتقال آب کرج با توجه به مقطع کاملاً دایره‌ای و شکل سگمنت‌ها، سیستم ریل گذاری متقارن پیشنهاد می‌شود مدت زمان ورود و خروج قطارها در سوئیچ کالیفرنیای ثابت ۳ دقیقه و برای ورود و خروج در سوئیچ کالیفرنیای متحرک کنار سیستم پشتیبانی ۵ دقیقه پیش بینی شده است. شایان ذکر است سوئیچ کالیفرنیای متحرک درست پشت سر سیستم پشتیبانی قرار دارد و پیوسته با پیشروی ماشین TBM همراه سیستم پشتیبانی به جلو پیش می‌رود.

۱-۶-۳-۵- ریل گذاری

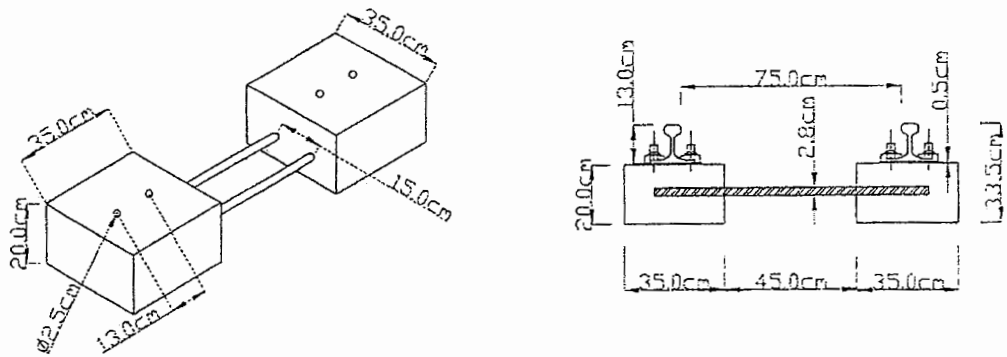
از آنجاییکه در طراحی سگمنت‌های تونل کرج، محل نصب ریل بر روی سگمنت کف دیده نشده، جهت ریل گذاری، تراورس‌های مخصوص مورد نیاز است. در سیستم تونل کرج تراورس‌های بتُنی به صورت شکل ۱۰-۵ طراحی شده که ریل بر روی آن نصب می‌شود. این تراورس‌ها از دو بلوك سیمانی تشکیل شده اند که توسط آرماتور به هم متصل هستند.



شکل ۱۰-۵- تراورس‌های طراحی شده و جایگیری آن در کف تونل
(مؤسسه مهندسین مشاور ساحل، ۱۳۸۳)

به ازای هر ۱۲ متر پیشروی دستگاه TBM یک سیکل ریل گذاری انجام می‌شود. نحوه ریل گذاری به این صورت است که ابتدا در بیرون تونل شاخه‌های ۱۲ متری ریل بر روی تراورس‌ها نصب شده و

سپس قطعات ۱۲ متری ریل و تراورس مونتاژ شده توسط واگن کفی به داخل تونل منتقل و در قسمت پشتیبانی دستگاه TBM این قطعات توسط جرثقیل های مخصوص در محل مناسب قرار می گیرند. در صورت نیاز تراورس ها در کف تونل، در فواصل معین به سگمنت کف پیچ می شوند. وزن هر یک از تراورس ها ۶۵ کیلوگرم بوده که به فواصل ۰/۷۵ متر از هم نصب می شوند. بنابراین در طول ۱۲ متر ریل تعداد ۱۶ عدد تراورس جای می گیرد که در نتیجه با در نظر گرفتن اتصالات وزن قطعات ۱۲ متری ریل و تراورس مونتاژ شده (سگمنت راه آهن) به حدود ۳۰۰۰ کیلو گرم خواهد رسید. ریل گذاری در ترانشه به کمک تراورس های مشابه تراورس های تونل انجام می گیرد با این تفاوت که سطح زیر آنها افقی می باشد. شکل ۱۱-۵ مشخصات هندسی این تراورس ها را نشان می دهد.



شکل ۱۱-۵-مشخصات هندسی تراورس های مورد استفاده در ترانشه
(مؤسسه مهندسین مشاور ساحل، ۱۳۸۳)

۷-۳-۵-مشخصات واگن های مورد نیاز

واگن های حمل خاک، سگمنت، تجهیزات (ریل و لوله و...)، مواد و مصالح (سیمان، شن نخودی و...) و پرسنل انواع اصلی واگن مورد نیاز در حین اجرای تونل می باشند. در انتخاب واگنها محدودیت عرضی

۱/۵ متر به خاطر عبور از روی سوئیچ کالیفرنیا و محدودیت ارتفاعی ۱/۵۶ متر به خاطر عبور در سیستم پشتیبانی و همچنین حجم مواد و مصالحی که می‌بایست توسط هر قطار حمل شود بایستی مورد توجه قرار گیرد. با توجه به تجهیزات رولینگ استوک^۱ ساخت شرکت آلمانی MSD و مطالب مذکور، واگنهایی با مشخصات فنی مربوطه انتخاب شده‌اند که در ادامه به بیان مشخصات فنی هر کدام پرداخته شده است. همچنین مشخصات فنی کامل تجهیزات رولینگ استوک مربوطه در ضمنیمه د آورده شده است.

۱-۷-۳-۵- واگنهای حمل خاک

صندوقه این واگنها ظرفیت حجمی حدود ۸ متر مکعب را دارا می‌باشد که با احتساب ضریب پرشوندگی ۹۵٪ حجمی حدود ۷/۶ متر مکعب از آن بارگیری می‌شود. ابعاد هندسی واگن، ۶/۳۵ متر طول، ۱/۵ متر عرض، ۱/۵۵ متر ارتفاع می‌باشد. وزن واگن بدون بار حدود ۶۰۰۰ کیلوگرم و وزن آن با بار حدود ۱۸۳۵۰ کیلوگرم می‌باشد. از آنجایی که وزن مخصوص سنگ نابرجا حدود ۲/۶ تن بر متر مکعب بوده و با توجه به اینکه ضریب افزایش حجم سنگ نابرجا به سنگ برجا برابر ۱/۶ در نظر گرفته شده، وزن مخصوص سنگ نابرجا در حدود ۱/۶۲۵ تن بر متر مکعب می‌شود. بنابراین وزن ۷/۶ متر مکعب صالح نابرجا در حدود ۱۲۳۵۰ کیلوگرم خواهد بود. با توجه به مقدار حجم حاصل از حفاری دو رینگ یعنی ۷۱/۱ متر مکعب و ظرفیت قابل بارگیری واگن (۷/۶ متر مکعب) تعداد ۱۰ دستگاه واگن حمل خاک در هر قطار لازم می‌باشد که پشت سر لوکوموتیو قرار می‌گیرند.

۲-۷-۳-۵ - واگن های حمل و نقل پرسنل

طول، عرض و ارتفاع این واگن به ترتیب $۵/۵۲۵$ ، $۱/۵$ و $۱/۵۵$ متر می باشد. وزن واگن خالی حدود ۳۰۰۰ کیلوگرم بوده و قادر به حمل ۱۰ نفر می باشد. بنابراین با احتساب متوسط وزن هر فرد ۷۵ کیلوگرم، وزن واگن پر به حدود ۳۷۵۰ کیلوگرم خواهد رسید. با توجه به نیازهای سیکل باربری و به منظور رعایت ملاحظات ایمنی واگن حمل پرسنل بلا فاصله بعد از لوکوموتیو در قطار قرار می گیرد. در هر قطار یک دستگاه واگن حمل پرسنل جای می گیرد و در مواردی که نیازی به حمل پرسنل نیست، می توان این واگن را از قطار جدا کرد.

۲-۷-۳-۵ - واگنهای کفی و مخزن مربوطه جهت حمل شن نخودی^۱

به ازای هر متر پیش روی تونل حدوداً $۱/۴$ متر مکعب شن نخودی مورد نیاز است. از آنجا که هر قطار برای حمل و نقل مورد نیاز دو رینگ پیش روی سرویس دهی می کند، لازم است حدود $۳/۶$ متر مکعب شن نخودی توسط هر قطار به سینه کار منتقل شود. شن نخودی به درون یک مخزن به ظرفیت $۳/۶$ متر مکعب منتقل می شود. به نحوی که مخزن بر روی واگن قرار گرفته و به درون تونل منتقل می شوند. طول، عرض و ارتفاع مخزن یا سیلوی حمل شن نخودی به ترتیب $۴/۵$ ، $۱/۲$ و ۱ متر می باشد. واگن کفی حمل مخزن شن نخودی، $۷/۷۸۰$ متر طول و $۱/۵$ متر عرض دارد. ارتفاع کلی واگن ($\text{کفی} + \text{مخزن}$) $۱/۴۶$ متر می باشد و وزن واگن با مخزن در حالت خالی ۵۹۰۰ کیلوگرم می باشد. با توجه به اینکه $۳/۶$ متر مکعب شن نخودی در حدود ۵۵۰۰ کیلوگرم وزن دارد و وزن واگن

¹ -Pea gravel

با مخزن در حالت پر ۱۱۴۰۰ کیلوگرم می باشد. در هر قطار به یک واگن حمل شن نخودی نیاز می باشد.

۴-۷-۳-۵- واگن های حمل سگمنت

توسط هر لوکوموتیو، سگمنت های مورد نیاز جهت دو گام پیشروی (دو رینگ سگمنت) به جبهه کار منتقل می شود. با توجه به اینکه در هر رینگ ۶ قطعه سگمنت (۵ قطعه + ۱ کلید) استفاده می شود، در مجموع ۱۲ عدد سگمنت مورد نیاز است. ابعاد سگمنت ها به گونه ایست که در هر واگن کفی ۳ قطعه سگمنت می توان جای داد. بنابراین در هر قطار از ۴ دستگاه واگن کفی حمل سگمنت (دو دستگاه حامل سه سگمنت دیواره و کف و دو دستگاه حامل دو سگمنت دیواره و کف و یک سگمنت کلید) استفاده می شود. مشخصات واگن حمل سگمنت در جدول ۲-۵ آورده شده است.

جدول ۲-۵- مشخصات فنی واگن های حمل سگمنت.

مشخصات	واحد	مقدار
طول هر واگن	متر	۳/۱۰۷
طول یک سگمنت کار دوتایی	متر	۶/۵۱۵
عرض	متر	۱/۲
ارتفاع (با توجه به قرارگیری ۳ سگمنت)	متر	۱/۵۶
تعداد سگمنتی که توسط هر واگن حمل شود	عدد	۳
وزن واگن کفی خالی	kg	۲۰۰۰
وزن واگن کفی پر (شامل سه سگمنت دیواره و کف)	kg	۷۹۴۰
وزن واگن کفی پر (شامل دو سگمنت دیواره و کف و یک سگمنت کلید)	kg	۶۵۸۵

هر قطار دارای یک مجموعه کامل از واگن های کفی حمل سگمنت است. هر مجموعه واگن کفی حمل سگمنت شامل ۴ دستگاه واگن کفی (دو دستگاه واگن حمل سگمنت دو تایی) به شرح فوق الذکر می باشد که توانایی حمل ۱۲ عدد سگمنت را دارد. طول کلی یک مجموعه ۱۳/۰۳ متر، وزن خالی در مجموع ۸۰۰۰ کیلوگرم و وزن پر آنها حدود ۲۹۰۵۰ کیلوگرم می باشد.

۵-۷-۳-۵- واگنهای کفی جهت حمل سیمان و وسائل یدکی و قطعات تعویض شده

این واگنهایها به منظور تأمین سیمان مورد نیاز جهت پیشروی دستگاه با نرخ اشاره شده و همچنین به منظور حمل وسایل یدکی و قطعات تعویض شده در صورت نیاز به کار گرفته می شوند. در هر قطار دو دستگاه از این واگن های کفی به کار گرفته می شود. یکی از این واگنهایها باید ظرفیت حمل ۳۶ عدد سیمان کیسه ای به وزن ۱۸۰۰ کیلوگرم و دیگری در صورت لزوم ظرفیت حمل حداکثر تا ۱۰۰۰ کیلوگرم قطعات یدکی و تعویضی را داشته باشد. طول، عرض و ارتفاع این واگن های کفی به ترتیب ۰/۴۶ و ۰/۱۵ متر می باشد. وزن خالی آنها حدود ۲۹۰۰ کیلوگرم می باشد که در یکی با احتساب ۱۸۰۰ کیلوگرم سیمان، وزن پر آن حدود ۴۷۰۰ کیلوگرم و در دیگری با احتساب حداکثر ۱۰۰۰ کیلوگرم قطعات یدکی و تعویضی وزن پر آن حدود ۳۹۰۰ کیلوگرم خواهد شد. واگن کفی خالی جهت حمل قطعات تعویضی و یدکی بعد از واگن حمل پرسنل قرار می گیرد.

۵-۷-۳-۶- واگن های کفی جهت حمل لوله و ریل و تراورس

این واگنهایها به منظور تأمین ریل و تراورس، کابل و لوله مورد نیاز جهت پیشروی تونل بکار گرفته می شود. در هر قطار نیاز به یک واگن کفی جهت حمل ریل و تراورس می باشد. این واگن می بایست ظرفیت حمل یک مجموعه ریل و تراورس مونتاژ شده به طول ۱۲ متر و وزن ۳۰۰۰ کیلوگرم را داشته

باشد. طول، عرض و ارتفاع واگن حمل ریل و تراورس به ترتیب $12/5$ ، $1/5$ و $0/5$ متر می باشد. وزن خالی واگن حمل ریل و تراورس حدود 8000 کیلوگرم می باشد. و با توجه به وزن یک مجموعه ریل و تراورس مونتاژ شده وزن پر آن حدود 11000 کیلوگرم می باشد. از این واگن می بایست جهت حمل لوله و کابل مورد نیاز در طول تونل نیز استفاده شود. تقریباً در هر 12 متر پیشروی یک بار برای حمل لوله و در هر 200 تا 250 متر پیشروی یک بار برای حمل کابل نیاز است. با در نظر گرفتن یک فاصله بکی در میان با استفاده از همین واگن می توان به نیازهای اشاره شده در زمینه حمل لوله پاسخ داد.

علاوه بر این اغلب اوقات در ترکیب قطار، یک واگن کفی خالی به منظور حمل وسائل یدکی و قطعات تعویضی وجود دارد که می توان از آن برای حمل کابل استفاده کرد. در نهایت برای جمع بندی مطالب مذکور، تعداد و وزن پر و خالی هر یک از انواع واگنهای قطار در جدول ۳-۵ درج شده است.

جدول ۳-۵ - تعداد و وزن واگنهای هر قطار

نوع واگن	وزن هر واگن خالی (kg)	وزن هر واگن پر (kg)	تعداد واگن هر قطار	وزن کل واگنهای در حالت خالی (kg)	وزن کل واگنهای در حالت پر (kg)
واگن حمل خاک	۶۰۰۰	۱۸۳۵۰	۱۰	۶۰۰۰	۱۸۳۵۰
واگن حمل سگمنت	۲۰۰۰	۷۹۴۰	۴	۸۰۰	۳۰۴۰۵
واگن حمل شن نخودی	۵۹۰۰	۱۱۴۰۰/۰۴	۱	۵۹۰۰	۱۱۴۰۰/۰۴
واگن حمل پرسنل	۳۰۰۰	۳۷۵۰	۱	۳۰۰۰	۳۷۵۰
واگن کفی حمل ریل و تراورس	۸۰۰۰	۱۱۰۰۰	۱	۸۰۰۰	۱۱۰۰۰
واگن کفی حمل سیمان کیسه‌ای	۲۹۰۰	۴۷۲۰	۱	۲۹۰۰	۴۷۲۰
واگن کفی حمل قطعات یدکی	۲۹۰۰	۳۹۰۰	۱	۲۹۰۰	۳۹۰۰

۸-۳-۵- انتخاب نوع لوکوموتیو

حرکت و جابجایی واگنها توسط لوکوموتیو انجام می‌گیرد. انواع لوکوموتیوها را بر اساس منبع تأمین انرژی دسته بندی می‌کنند که مهمترین آنها عبارتند از لوکوموتیو دیزلی، لوکوموتیوهای الکتریکی (برقی)، لوکوموتیوهای هوای فشرده. هر یک از انواع لوکوموتیو مزايا و معایب خاص خود را دارند که بسته به شرایط می‌توان نوع مناسب را انتخاب کرد. مهمترین مزايا لوکوموتیوهای دیزلی عبارتند از:

- آزادی نسبی قطار در مقایسه با لوکوموتیوهای الکتریکی
- آشنايی پرسنل و سابقه کار با اين نوع سیستم
- قابلیت ذخیره انرژی سوخت، سوختگیری سریع و آسان و امكان طی فواصل نسبتاً طولانی بدون نیاز به سوختگیری های متوالی
- در دسترس بودن انواع مختلف دیزل با قدرت ها مختلف
- ایمنی بیشتر نسبت به انواع الکتریکی در رابطه با برق گرفتگی
- در دسترس بودن لوکوموتیوهای دیزلی با ابعاد و قدرت های متفاوت در بازار

مهمترین مشکل لوکوموتیوهای دیزلی، آلودگی ناشی از احتراق سوخت موتورهای دیزلی می‌باشد که در طراحی سیستم تهویه تونل باید به آن توجه شود. به منظور رفع این مشکل سیستم های مناسبی مانند فیلتر (صفی و کاتالیزور) طراحی و ابداع شده‌اند. همچنین ایجاد تغییراتی در سیستم تخلیه دود مثل صدا خفه کن، امکان کاربرد این لوکوموتیوها در تونل های بلند و کم قطر را فراهم کرده است.

از طرفی استفاده از لوکوموتیو های الکتریکی خالی از خطر نیست و می بایست تمام شرایط ایمنی بطور جدی رعایت شود. هرگاه فاصله ریلها تا سیم سقف (قرارگرفته در بالای تونل) کم باشد احتمال برق گرفتگی افراد وجود دارد. به منظور رعایت مقررات، ارتفاع سیم مسی سقف از کف تونل نبایستی از ۲ متر کمتر باشد (Boky, 1967). در تونل کرج به دلیل قطر کم تونل و قرارگیری لوله تهویه در بالای تونل و استفاده از سوئیچ کالیفرنیا در نقاطی از مسیر تونل، فاصله سیم مسی سقف تا ریلها به کمتر از ۲ متر خواهد رسید. بنابراین به دلیل رعایت ایمنی استفاده از لوکوموتیو الکتریکی در سیستم حمل و نقل ریلی این تونل منتفی می باشد. همچنین لوکوموتیو های هوای فشرده دارای معايب زیر می باشند:

- گرانی تأسیسات مربوط به تهیه هوای فشرده
- پایین بودن راندمان موتورهای هوای فشرده در مقایسه با سایر روشهای تأمین انرژی و در نتیجه گرانتر شدن کار مکانیکی انجام شده نسبت به سایر روشها
- سنگینی بیش از حد آنها و کم بودن قدرت به ازای هر تن از وزن آنها با توجه به ظرفیت زیاد حمل و نقل در تونل کرج و معايب مذکور، نیاز به لوکوموتیو های هوای فشرده بسیار سنگین با ابعاد بزرگ می باشد که استفاده از آنها علاوه بر تحمل هزینه سرمایه گذاری بالا برای پروژه، مشکلات عبور و مروری در داخل تونل بخصوص در روی سوئیچ کالیفرنیا را ایجاد می کنند. بنابراین استفاده از لوکوموتیو هوای فشرده برای سیستم حمل و نقل ریلی این تونل نیز منتفی می باشد.

در نهایت با توجه به مطالب ذکر شده و عدم استفاده از دو نوع لوکوموتیو الکتریکی و هوای فشرده، برای سیستم حمل و نقل ریلی این تونل استفاده از لوکوموتیوهای دیزلی مدنظر قرارگرفته است. در ادامه پس از بررسی روابط بین نیروی کشش، نیروی مقاوم و توان، و بدست آوردن نیروهای مقاوم موجود در طی مسیر، وزن و توان لوکوموتیو محاسبه می‌شود.

۳-۹-۱- روابط بین نیروی کشش، نیروی مقاوم و توان

قدرت لازم برای به حرکت در آوردن وسائل پر و یا خالی در مسیرهای مشخص قابلیت برابری سیستم حمل و نقل مواد را مشخص خواهد کرد. وسائل موجود در سیستمهای حمل مواد، برای انتقال خود و باربر مورد نظر می‌باشد قادر باشند تا به مقاومتهای استاتیکی و دینامیکی که در طول مسیر در مقابل حرکت آن وسائل وجود دارد غلبه کنند. به عبارت دیگر برای شروع حرکت لازم است تا نیروی کشش وسیله با نیروهای مقاوم برابر باشد.

$$T_e \equiv T_R \quad (5-5)$$

که در آن:

T_e : نیروی کششی

T_R : نیروهای مقاوم

ارتباط قدرت (P) با نیروی کششی وسیله (T_e) و سرعت (V) آن مطابق رابطه ۶-۵ بیان می‌شود (Boky, 1967):

$$P = T_e \times V \quad (6-5)$$

البته در رابطه بالا نیروی کششی مربوط به سیستم‌های منقطع می‌باشد. همچنین کل نیروی مقاوم سیستم از رابطه ۷-۵ قابل محاسبه می‌باشد (Boky, 1967):

$$T_R = R_t \times W_t \quad (Y-5)$$

که در آن:

T_R : کل نیروی مقاوم سیستم (kg)

W_t : وزن ناخالص باربر (ton)

R_t : مجموع ضرایب نیروهای مقاوم (kg/t)

از طرف دیگر، زمانی تمام انرژی (قدرت) یک وسیله حمل و نقل صرف انتقال بار ناخالص می‌شود که

فقط بتواند به نیروی کششی تبدیل شود. این در حالی به وقوع می‌پیوندد که اصطکاک لغزشی

(کششی) بین محیط و وسیله وجود داشته باشد. بنابراین این نیروی کشش وسیله که متناسب با وزن

آن و ضریب اصطکاک بین محیط و وسیله مورد نظر می‌باشد، از رابطه ۸-۵ حاصل می‌شود

.(Boky, 1967)

$$T_e = 1000 \times \mu \times W_L \times 9.81 \quad (8-5)$$

که در آن:

T_e : نیروی کششی قابل اعمال (N)

W_L : وزن وسیله باربر (ton)

μ : ضریب اصطکاک لغزشی

اگر W_L افزایش پیدا کند، T_e به دلیل ثابت بودن μ ، می‌بایست افزایش پیدا کند. وزن عامل

چسبندگی وسیله بر روی محیط است به همین دلیل وزن روی محور متحرک را وزن چسبنده

می‌نامند و به ضریب اصطکاک بین چرخ و محیط آن «ضریب چسبندگی» یا «ضریب اصطکاک

لغزشی» اطلاق می‌شود.

۵-۳-۱۰- نیروهای مقاوم در طی حرکت قطار

در طی حرکت قطار، نیروهای مقاومی شکل می‌گیرند که نیروی کشنده باید بر آنها فائق آید. این نیروهای مقاوم از موارد زیر ناشی می‌شوند (قلیان، ۱۳۷۷).

۱- نیروی اصطکاک در یاتاقانها و نیز نیروی اصطکاک بین چرخها و ریل (مقاومت غلتی)

۲- مؤلفه ثقلی ایجاد شده در شیب‌ها، که در سربالایی مثبت و سر پایینی منفی است.

۳- اینرسی (لختی) ناشی از شتاب در شروع حرکت و هنگامی که سرعت ثابت نیست.

۴- مقاومت ایجاد شده به خاطر قوس‌های خط

در ادامه نحوه محاسبه هر یک از مقاومت‌های فوق الذکر شرح داده شده است:

۵-۳-۱۰-۱- مقاومت غلتی

این مقاومت شامل مقاومت حرکتی و مقاومت‌های ایجاد شده ناشی از اصطکاک طوقه چرخ با ریل و یاتاقانها می‌باشد. مقدار مقاومت غلتی برابر است با ضریب مقاومت غلتی بر حسب (kg/t) در کل وزن قطار بر حسب تن (Boky, 1967).

$$F_R = R_r \cdot W_t \quad (9-5)$$

که در آن:

F_R : نیروی مقاومت غلتی (kg)

R_r : ضریب مقاومت غلتی (kg/t)

W_t : وزن قطار (ton)

۲-۱۰-۳-۵ مقاومت شیب

مقاومت در مقابل حرکت وسائلی که در مسیرهای شیبدار به سمت بالا و یا پایین در حال حرکت هستند با زمانی که آن وسیله در یک مسیر افقی حرکت می کند، متفاوت است. مسیرهای با حرکت به سمت بالا، شیب مثبت، مقاومت حرکتی را افزایش و مسیرهای رو به پایین، شیب منفی، مقاومت حرکتی را کاهش می دهد. نیروی کشش لازم برای مقابله با نیروی مقاومت شیب از رابطه زیر بدست می آید (Boky, 1967)

$$F_g = W_t \times \sin \theta \quad (10-5)$$

که در آن:

F_g : نیروی مقاوم شیب (kg)

W_t : وزن قطار (ton)

θ : زاویه شیب مسیر

متداول ترین روش بیان شیب به صورت درصد است. یک درصد شیب عبارتست از راهی که در هر ۱۰۰ متر طول افقی آن تنها ۱ متر اختلاف ارتفاع وجود داشته باشد. همچنین می توان $\sin \theta$ را برای زوایای کوچک معادل با $\tan \theta$ در نظر گرفت. در این حالت اگر G را معادل مقدار عددی درصد شیب در نظر بگیریم، رابطه زیر برقرار خواهد بود (Boky, 1967)

$$\sin \theta = \tan \theta = \frac{G}{100} = 0.01G \quad (11-5)$$

اگر مقاومت مخصوص کششی شیب به عنوان نیروی لازم برای کشیدن باری به جرم یک تن، در سطحی با شیب G در صد تعریف شود. می توان آن را با استفاده از روابط ۱۰-۵ و ۱۱-۵ به صورت رابطه زیر در نظر گرفت:

$$R_g = 1000 \frac{G}{100} = 10G \quad (12-5)$$

که در آن:

R_g : مقاومت مخصوص کششی شیب (kg/t)

با توجه به مقدار R_g و مطالب اشاره شده، می‌توان رابطه ۱۰-۵ را به جهت راحتی و سهولت استفاده

به رابطه ۱۳-۵ تبدیل کرد.

$$F_g = \pm W_t \times 10 \times G \quad (13-5)$$

که در آن:

W_t : وزن قطار (ton)

G : مقدار عددی درصد شیب

F_g : نیروی مقاومت مخصوص کشش شیب (kg)

علامت مثبت زمانی در نظر گرفته می‌شود که مسیر حرکت وسیله در جهت افزایش شیب باشد، در

غیر این صورت علامت منفی خواهد بود.

۱۰-۳-۳- مقاومت لختی یا اینرسی

در حرکت با سرعت ثابت تنها مقاومت استاتیکی در مقابل حرکت وسیله وجود دارد ولی با تغییر

سرعت، با شتاب مثبت یا منفی، مقاومت دینامیکی متناسب با آن به وجود می‌آید. اگر جسمی با جرم

(ma) و شتاب a به حرکت درآید نیروی لازم برای حرکت آن متناسب با حاصلضرب جرم در شتاب

خواهد بود. حال با استفاده از همین رابطه می‌توان نیروی مورد نظر برای به حرکت درآوردن وسیله

ای با وزن کلی W_t و شتاب a را به صورت رابطه ۱۴-۵ نوشت (Boky, 1967):

$$F_a = \frac{W_t}{g} \times a \quad (14-5)$$

که در آن:

F_a : نیروی مقاوم اینرسی حرکت (kg)

W_t : وزن قطار (ton)

g : شتاب ثقل (m/s^2) برابر حسب

a : شتاب حرکت (m/s^2)

از آنجا که شتاب جسم بر حسب متر بر مجدور ثانیه می باشد و g یا شتاب ثقل نیز برابر 9.81 متر بر

مجدور ثانیه است می توان مقاومت مخصوص شتاب حرکتی را به صورت رابطه ۱۵-۵ فرض کرد:

$$R_a = 1000 \frac{a}{g} = 100a \quad (15-5)$$

که در آن:

R_a : مقاومت مخصوص شتاب حرکتی (kg/t)

a : شتاب حرکت (m/s^2)

با توجه به رابطه ۱۵-۵ می توان رابطه ۱۴-۵ را به رابطه ۱۶-۵ تبدیل کرد:

$$F_a = \pm 100 \times W_t \times a \quad (16-5)$$

که در آن :

F_a : نیروی مقاوم اینرسی حرکت (kg)

W_t : وزن قطار (ton)

a : شتاب حرکت (m/s^2)

در رابطه فوق مقدار افزایش یا کاهش جرم یا وزن قطعاتی که در حال چرخش هستند نظیر چرخ،

محورهای موتور و دنده ها در نظر گرفته نشده اند. در صورتی که اطلاعات مربوط به طراحی هر یک از

قطعات مشخص باشد در آن صورت می توان تأثیر آنها را نیز اندازه گیری کرد. در شرایط عادی

می توان به مقدار جرم جسم ۱۰ درصد آن را نیز اضافه کرد. بنابراین رابطه ۱۶-۵ به صورت رابطه زیر در خواهد آمد (Boky, 1967):

$$F_a = \pm 110 \times W_t \times a \quad (17-5)$$

۴-۳-۵- مقاومت در قوس ها

نیروی گریز از مرکز عمدۀ ترین نیروی مقاوم حرکت در قوس ها است. اگر سرعت در قوس های با مشخصات زیر هماهنگی داشته باشد مقاومتی در اثر نیروی گریز از مرکز اعمال نمی شود (صدری، ۱۳۸۱).

سرعت ۰ تا ۸ کیلومتر در ساعت در قوس های با شعاع ۳۰ متر

سرعت ۸ تا ۱۶ کیلومتر در ساعت در قوس های با شعاع ۳۰ تا ۶۰ متر

سرعت ۱۶ تا ۲۴ کیلومتر در ساعت در قوس های با شعاع ۶۰ تا ۹۰ متر

در صورت بیشتر بودن سرعت و شعاع مسیرهای حمل مواد از مقادیر مذکور، برای جلوگیری از اثر نیروی گریز از مرکز لازم است مقدار شبیه عرضی را متناسب با سرعت و شعاع قوس در نظر گرفت.

بدلیل تغییر سرعت وسیله در قوس ها و همچنین وجود قطعات متحرک مکانیکی مختلف که در

سیستم های حمل و نقل بکار گرفته شده است، ثابت شده که هیچگاه نمی توان اثر ناشی از قرارگیری

وسیله در قوس را برطرف نمود. بنابراین همواره در قوسها «نیروی اثر قوس» وجود دارد. مقدار مقاومت

مخصوص نیروی اثر قوس از رابطه تجربی زیر بدست می آید (صدری، ۱۳۸۱):

$$R_{ic} = 0.4 \times C_n \quad (18-5)$$

که در آن :

R_{ic} : مقاومت مخصوص نیروی اثر قوس (kg/t)

C_n : عدد قوس می باشد که از رابطه (۱۹-۵) بدست می آید (صدری، ۱۳۸۱):

$$C_n = \frac{1474}{R} \quad \text{رابطه (۱۹-۵)}$$

R : شعاع قوس مورد نظر (m)

علاوه بر نیروی های مقاوم ناشی از گریز از مرکز، در سیستم های ریلی «نیروی مالشی ریل» نیز

تصورت نیروی مقاوم در برابر حرکت عمل می نماید. با ثابت بودن محور باربرهای ریلی نسبت به هم و

یا ثابت بودن چرخ ها در هر محور همواره مالش ناشی از تماس ریل و چرخ بصورت نیروی مقاوم

مالشی وجود دارد. مقاومت مخصوص نیروی مالشی ریل از طریق رابطه تجربی زیر بدست

می آید (صدری، ۱۳۸۱):

$$R_{fc} = \frac{130(G + B)}{R} \quad \text{رابطه (۲۰-۵)}$$

که در آن:

R_{fc} : مقاومت مخصوص نیروی مالشی ریل (kg/t)

G : فاصله دو ریل (متر)

B : فاصله دو محور واگن یا لوکوموتیو (متر)

R : شعاع قوس مورد نظر (m)

بنابراین مقاومت مخصوص قوس بصورت رابطه (۲۱-۵)، جمع مقاومت مخصوص مربوط به دو نیروی

اثر قوس و نیروی مالشی ریل ها است.

$$R_c = R_{ic} + R_{fc} \quad \text{رابطه (۲۱-۵)}$$

R_c : مقاومت مخصوص قوس (kg/t)

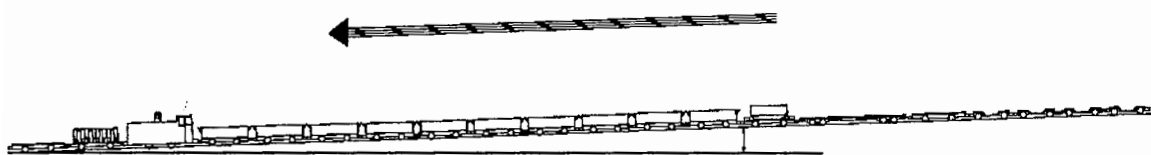
در نهایت مقدار نیروی مقاومت قوس برای وزن کلی قطار بر حسب تن از رابطه ۲۲-۵ بدست می آید:

$$F_c = W_t \cdot R_c \quad \text{رابطه (۲۲-۵)}$$

۱۱-۳-۵- تعیین مجموع نیروهای مقاوم در طی حرکت قطار، هنگام برگشت

در تعیین مجموع نیروهای مقاوم هدف انتخاب بیشترین مقاومت ایجاد شده در طی مسیر می باشد. در مسیر تونل هنگام برگشت قطار کلاً سه حالت «قطار در مسیر»، «ورود قطار به سوئیچ کالیفرنیا»، «خروج قطار از سوئیچ کالیفرنیا» وجود دارد که می بایست در محاسبات مربوطه مورد توجه قرار گیرند. چون در حالت خروج از سوئیچ کالیفرنیا نسبت به حالت ورود به سوئیچ کالیفرنیا شیب قسمتی از میسر منفی و در نتیجه مقاومت ناشی از شیب کمتر است، حالت سوم در محاسبات منظور نمی شود. در قطعه اول تونل کرج تنها دو قوس دایره ای با شعاع های ۲۰۰۰ متر و ۵۰۰۰ متر وجود دارد که با توجه به سرعت مجاز قطار در تونل، مقاومت ناشی از قوس بسیار ناچیز بوده که از آن صرفنظر نمی شود. همچنین در سوئیچ کالیفرنیا قوس دایره ای با شعاع ۴۰ متر وجود دارد ولی چون سرعت در عبور از سوئیچ کالیفرنیا از ۱۰ کیلومتر در ساعت تجاوز نمی کند، در نتیجه مقاومتی ایجاد نخواهد شد. بنابراین در محاسبات مربوط به مجموع نیروهای مقاوم، محاسبه مقاومت ناشی از قوس منتفی می باشد. در ادامه روابط مربوط به دو حالت ممکن ارائه می شود.

حالت ۱: تمام طول قطار در شیب تونل قرار گرفته است (شکل ۱۲-۵).



شکل ۱۲-۵ - نمایی شماتیک از قرارگیری قطار در شیب مسیر تونل هنگام برگشت.

در این حالت مجموع نیروهای مقاوم از رابطه زیر بدست می آید:

$$F_1 = (R_r - R_g + R_a)W_t \times 9.81 \quad \text{رابطه (۲۳-۵)}$$

که در آن :

F_1 : کل نیروی مقاوم در طی حرکت قطار در مسیر تونل در حالت مذکور (N)

R_r : ضریب مقاومت غلتی (kg/t)

R_g : مقاومت مخصوص کششی شیب (kg/t)

R_a : مقاومت مخصوص اینرسی حرکت (kg/t)

W_t : وزن ناخالص قطار در هنگام برگشت (kg)

حالت ۲ : ورود قطار به سوئیچ کالیفرنیا

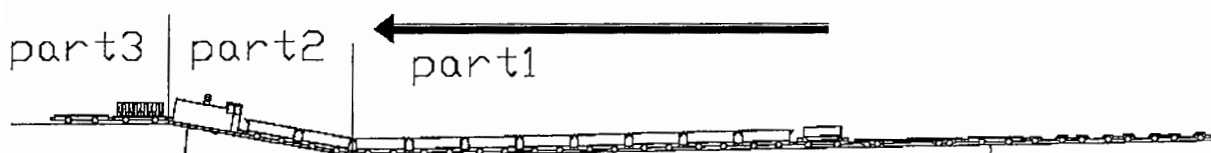
همانطور که در شکل ۱۳-۵ مشاهده می شود در این حالت قسمتی از طول قطار در شیب مسیر

(Part1)، بخشی بر روی شیب سوئیچ کالیفرنیا (Part2) و بخشی دیگر از قطار روی سوئیچ کالیفرنیا

(Part3) قرار می گیرد. بدیهی است بیشترین نیروی مقاوم زمانی حاصل می شود که بیشترین وزن

قطار بر روی شیب سوئیچ کالیفرنیا قرار گیرد (Part2). همچنین ترتیب چیدمان واگنها و لوکوموتیو به

ترتیبی است که در پشت سر لوکوموتیو، واگن های حمل خاک قرار گرفته اند.



شکل ۱۳-۵ - نمایی شماتیک از نحوه قرارگیری قطار بر روی شیب مسیر تونل، شیب کالیفرنیا سوئیچ، روش سوئیچ کالیفرنیا در هنگام برگشت.

با در نظر گرفتن این نکته که لوکوموتیو سنگین ترین عضو از قطار و بعد از آن واگن های حمل خاک

جزء سنگین ترین واگن ها هنگام برگشت (زمانی که خاک حمل می کنند) می باشند پس برای

محاسبه بیشترین نیروی مقاوم در این حالت، فرض می شود که در طول شیب سوئیچ کالیفرنیا، در بالاترین نقطه لوکوموتیو و سپس به دنبال آن واگن های حمل خاک قرار می گیرند. در طراحی سوئیچ کالیفرنیا طول مسیر شیبدار حدود ۲۰ متر و شیب آن ۲ درصد منظور شده است. بنابراین در این حالت مجموع نیروهای مقاوم از رابطه زیر بدست می آید:

$$F_2 = [(R_r - R_g)W_1 + (R_r + R_{g'})W_2 + R_r W_3 + R_a W_t] \times 9.81 \quad (رابطه ۲۴-۵)$$

که در آن :

F_2 : کل نیروی مقاوم در برابر قطار با توجه به وضعیت شرح داده شده (N)

W_1 : وزن ناخالص قطار در Part1 با توجه به وضعیت شکل ۱۳-۵ در هنگام برگشت (ton)

W_2 : وزن ناخالص قطار در Part2 با توجه به وضعیت شکل ۱۳-۵ در هنگام برگشت (ton)

W_3 : وزن ناخالص قطار در Part3 با توجه به وضعیت شکل ۱۳-۵ در هنگام برگشت (ton)

W_t : وزن ناخالص کل قطار در هنگام برگشت (ton)

R_g : مقاومت مخصوص کششی شیب (در روی شیب سوئیچ کالیفرنیا) (kg/t)

بقیه پارامترها قبلًا تعریف شده اند.

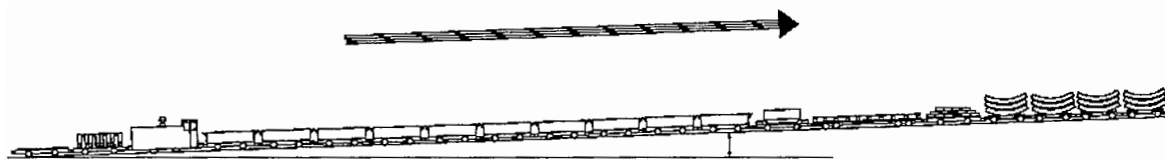
۱۲-۳-۵- تعیین مجموع نیروهای مقاوم در طی حرکت قطار، در هنگام رفت

در هنگام حرکت قطار به داخل تونل شرایطی مشابه با بخش قبل ایجاد می شود با این تفاوت که

جهت شیب تونل تغییر خواهد کرد. روابط دو حالتی که قطار در هنگام رفت با آنها روبرو می باشد

همراه با شکل های مربوطه در زیر ارائه شده است:

حالت اول : تمام طول قطار در شیب تونل قرار گرفته است (شکل ۱۴-۵).



شکل ۱۴-۵ - نمایی شماتیک از قرارگیری قطار در شیب مسیر تونل هنگام رفت

در این حالت مجموع نیروهای مقاوم از رابطه زیر بدست می آید:

$$F_3 = (R_r + R_g + R_a)W_t \times 9.81 \quad (25-5)$$

F_3 : کل نیروی مقاوم در برابر حرکت قطار در طول مسیر (هنگام رفت) (N)

بقیه پارامترها قبلًا تعریف شده اند.

حالت دوم : ورود قطار به سوئیچ کالیفرنیا (هنگام حرکت قطار به داخل تونل)

در این حالت با توجه به جهت شیب مثبت مسیر تونل و شیب سوئیچ کالیفرنیا بیشترین مقاومت زمانی

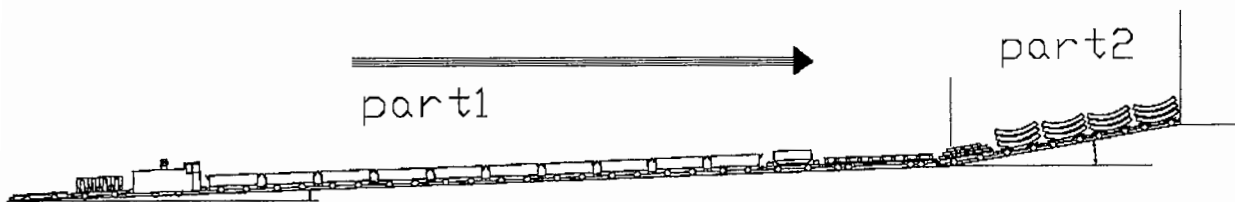
حاصل می شود که واگنهای حمل سگمنت و حدود ۹۰ درصد از طول واگن کفی حمل سیمان بر روی

شیب سوئیچ کالیفرنیا قرار گیرند. شکل ۱۵-۵ وضعیت قطار در حالت مذکور را نشان

می دهد. شایان ذکر است در محاسبات، حداقل شتاب لازم برای قطار در طول مسیر ۷٪ متر بر

مجذور ثانیه و برای عبور از روی سوئیچ کالیفرنیا به دلیل عدم نیاز به سرعت بالا برابر ۲٪ متر بر

مجذور ثانیه در نظر گرفته شده است.



شکل ۱۵-۵ نمایی شماتیک از نحوه قرارگیری قطار بر روی مسیر تونل، شبیب سوئیچ کالیفرنیا و روی سوئیچ کالیفرنیا در هنگام رفت.

بنابراین در این حالت مجموع نیروهای مقاوم از رابطه زیر بدست می آید:

$$F_4 = [(R_r + R_g)W'_1 + (R_r + R_{g'})W'_2 + R_a W'_t] \times 9.81 \quad (26-5)$$

که در آن:

F_4 : کل نیروی مقاوم در برابر قطار با توجه به وضعیت شرح داده شده (N)

W'_1 : وزن ناخالص قطار در Part1 با توجه به وضعیت شکل ۱۵-۵ در هنگام رفت (ton)

W'_2 : وزن ناخالص قطار در Part2 با توجه به وضعیت شکل ۱۵-۵ در هنگام رفت (ton)

W_t : وزن ناخالص کل قطار در هنگام برگشت (ton)

بقیه پارامترها قبل‌اً تعریف شده‌اند.

۱۳-۳-۵ تعیین وزن و توان لوکوموتیو

قطار زمانی می‌تواند حرکت کند که بر کلیه مقاومت‌های موجود غلبه کند و از آنجا که ماکزیمم

نیروی کشنده لوکوموتیو رابطه مستقیم با وزن آن دارد می‌باشد وزنی برای لوکوموتیو انتخاب شود

که ماکزیمم نیروی کشنده بزرگتر از نیروی مقاوم در برابر حرکت قطار باشد. برای این منظور وزن

لوکوموتیو مجهول در نظر گرفته می‌شود و روابط ۲۳-۵ تا ۲۶-۵ با رابطه ۸-۵ برابر قرار می‌گیرند و

می‌توان حداقل وزن لازم برای لوکوموتیو در حالتهای مذکور را بدست آورد. چون بیشترین وزن برای مقابله با بیشترین مقاومت بدست می‌آید می‌بایست در میان آنها بیشترین وزن به عنوان وزن لوکوموتیو انتخاب شود. همچنین هنگام کار کردن لوکوموتیو در تونل به دلیل وجود رطوبت و گرد و غبار، ضریب اصطکاک لغزشی کم می‌شود. در عمل ضریب اصطکاک یا چسبندگی بین ۰/۱۸-۰/۱۸ می‌باشد که در محاسبات ضریب اصطکاک لغزشی ۰/۱۸ منظور شده است. حداقل وزن لازم برای لوکوموتیو برای حالت‌های اول و دوم در هنگام برگشت و رفت به ترتیب توسط روابط ۲۷-۵ تا ۳۰-۵ بدست می‌آید که در زیر آورده شده اند:

$$W_{L1} = \frac{(R_r - R_g + R_a)W}{1000\mu - (R_r - R_g + R_a)} \quad \text{رابطه (۲۷-۵)}$$

$$W_{L2} = \frac{(R_r - R_g)W_1 + (R_r + R_{g'})W_C + R_r W_3 + R_a W}{1000\mu - (R_r + R_g + R_a)} \quad \text{رابطه (۲۸-۵)}$$

$$W_{L3} = \frac{(R_r + R_g + R_a)W'}{1000\mu - (R_r + R_g + R_a)} \quad \text{رابطه (۲۹-۵)}$$

$$W_{L4} = \frac{(R_r + R_g)W'_1 + (R_r + R_{g'})W'_C + R_a W'}{1000\mu - (R_r + R_g + R_a)} \quad \text{رابطه (۳۰-۵)}$$

که در روابط فوق :

W_{L1} : وزن لازم برای لوکوموتیو در هنگام برگشت در مسیر تونل (ton)

W_{L2} : وزن لازم برای لوکوموتیو در هنگام برگشت و عبور از روی سوئیچ کالیفرنیا (ton)

W_{L3} : وزن لازم برای لوکوموتیو در هنگام رفت در مسیر تونل (ton)

W_{L4} : وزن لازم برای لوکوموتیو در هنگام رفت و عبور از روی سوئیچ کالیفرنیا (ton)

μ : ضریب اصطکاک لغزشی

W : وزن ناخالص کلیه واگن‌ها در هنگام برگشت (ton)

W' : وزن ناخالص کلیه واگن‌ها در هنگام رفت (ton)

W_1 : وزن ناخالص واگن‌هایی که در هنگام برگشت با توجه به وضعیت شرح داده شده

در بخش ۱۱-۳-۵ و شکل ۱۳-۵ روی مسیر تونل قرار دارند (ton)

W'_1 : وزن ناخالص واگن‌هایی که در هنگام رفت با توجه به وضعیت شرح داده شده

در بخش ۱۲-۳-۵ و شکل ۱۴-۵ روی مسیر تونل قرار دارند (ton)

W_e : وزن ناخالص واگن‌های حمل خاک قرار گرفته روی شیب سوئیچ کالیفرنیا

در هنگام برگشت (ton)

W''_e : وزن ناخالص واگن‌های حمل خاک قرار گرفته روی شیب سوئیچ کالیفرنیا در هنگام رفت (ton)

W_3 : وزن ناخالص واگن‌هایی که در هنگام برگشت با توجه به وضعیت شرح داده شده

در بخش ۱۱-۳-۵ و شکل ۱۳-۵ روی سوئیچ کالیفرنیا قرار دارند (ton)

در مرحله‌ای که قطار از خارج تونل به سمت داخل تونل حرکت می‌کند، واگن‌های حمل خاک خالی

و سایر واگن‌ها پر می‌باشند و در هنگام خروج قطار از تونل، واگن‌های حمل خاک و واگن حمل

پرسنل پر بوده و سایر واگن‌ها خالی می‌باشند. واگن کفی حمل قطعات یدکی در هر حالت پر در نظر

گرفته می‌شود. وزن قطار در حالت رفت و برگشت به شرح جدول ۴-۵ خواهد بود. همچنین نتایج

بدست آمده از طریق روابط بالا در جدول ۵-۵ آورده شده است.

همانطور که از نتایج بدست آمده در جدول ۵-۵ مشخص است حداقل وزن لازم برای لوکوموتیو در

بدترین شرایط مقاومتی ۴۸/۲۴ تن می‌باشد. بنابراین انتخاب لوکوموتیو ۲۵ تنی مناسب می‌باشد و با

بررسی لوکوموتیو‌های مختلف موجود در بازار، در نهایت لوکوموتیو دیزلی ۲۵ تن

مدل CFL-180DCL ساخت شرکت آلمانی شوما با ۱۴۱ کیلووات توان انتخاب شد. با توجه به توان

لوکوموتیو انتخابی، سرعت قطار در مسیرهای رفت و برگشت محاسبه شده و به همراه سرعت متوسط حرکت قطار در هنگام رفت و برگشت در جدول ۵-۶ آورده شده است. در مبحث زمانبندی سیکل باربری، سرعت متوسط قطار در هنگام برگشت ۱۰ کیلومتر در ساعت و در هنگام رفت ۱۵ کیلومتر در ساعت در نظر گرفته می‌شود.

جدول ۵-۴- وزن قطار در رفت و برگشت

نوع واگن	وزن هنگام رفت (kg)	وزن هنگام برگشت (kg)
واگن حمل خاک	۱۸۳۵۰۰	۶۰۰۰
واگن حمل سگمنت	۸۰۰۰	۳۰۴۰۵
واگن حمل شن نخودی	۵۹۰۰	۱۱۴۰۰/۰۴
واگن حمل پرسنل	۳۷۵۰	۳۷۵۰
واگن حمل ریل و تراورس	۸۰۰۰	۱۱۰۰۰
واگن حمل سیمان کیسه ای	۲۹۰۰	۴۷۲۰
واگن حمل قطعات یدکی	۳۹۰۰	۳۹۰۰
جمع وزن واگنهای	۲۱۵۹۵۰	۱۲۵۱۷۵
وزن لوکوموتیو	۲۵۰۰۰	۲۵۰۰۰
جمع وزن قطار	۲۴۰۹۵۰	۱۵۰۱۷۵

جدول ۵-۵- وزن لازم برای لوکوموتیو با توجه به هر یک از حالت‌های اشاره شده.

حالات	مجموع مقاومتهای حداقل وزن لازم (N) موجود (ton)	لوکوموتیو در هنگام برگشت در مسیر تونل (شکل ۵-۵)
لوکوموتیو در هنگام برگشت و عبور از روی سوئیچ کالیفرنیا (شکل ۵-۵)	۴۳۳۲۶/۹۸	۲۴/۴۸
لوکوموتیو در هنگام رفت در مسیر تونل (شکل ۵-۵)	۴۳۳۶۴/۱	۲۴/۴۵
لوکوموتیو در هنگام رفت و عبور از روی سوئیچ کالیفرنیا (شکل ۵-۵)	۳۱۰۴۰/۶۹	۱۶/۵۹
لوکوموتیو در هنگام رفت و عبور از روی سوئیچ کالیفرنیا (شکل ۵-۵)	۲۹۳۵۷/۴۵	۱۵/۸۳

جدول ۵-۶- سرعت قطار در حالت‌های مختلف با توجه به توان ۱۴۱ کیلو وات

سرعت متوسط حرکت قطار (km/hr)	سرعت محاسباتی قطار با توجه به توان (km/hr) ۱۴۱ kw	حالات
۱۰	۱۱/۷۲	هنگام برگشت
۱۵	۱۶/۳۵	هنگام رفت

۴-۵- زمان بندی سیکل عملیات ترابری و محاسبه تعداد تجهیزات مورد نیاز

در بخش قبل مشخصات تجهیزات سیستم ترابری بیان شد. در این بخش ابتدا به بررسی سیکل زمانبندی عملیات ترابری پرداخته و سپس تعداد هر یک از تجهیزات مورد نیاز محاسبه خواهد شد. از آنجا که توسط هر قطار، مواد و مصالح و تجهیزات مورد نیاز برای دو رینگ پیشروی ($2 \times 1/3$) حمل می‌شود (و با توجه به مشخصاتی که در بخش قبل برای واگن‌ها بیان شد)، هر قطار شامل ۱۰ واگن حمل خاک، ۴ واگن حمل سگمنت، ۱ واگن حمل شن نخودی، ۱ واگن حمل پرسنل، ۱ واگن کفی حمل سیمان کیسه‌ای، ۱ واگن کفی حمل ریل و تراورس و کابل و لوله و ۱ واگن کفی حمل قطعات یدکی و تعویضی می‌باشد. بنابراین تعیین تعداد تجهیزات مورد نیاز وابسته به تعیین تعداد قطارهای فعال در سیستم ترابری و تعداد تجهیزات رزرو برای آنها می‌باشد. بدیهی است هر چه فاصله سینه کار از دهانه تونل بیشتر شود، مدت زمان لازم برای طی مسیر رفت و برگشت بیشتر شده و تعداد قطارهای مورد نیاز افزایش می‌یابد. به منظور تعیین تعداد قطارهای مورد نیاز لازم است مدت زمان توقف هر قطار در داخل و خارج تونل برای بارگیری و تخلیه و همچنین سرعت حرکت قطار در مسیر رفت و برگشت تعیین شود. همانطور که قبلاً بیان شد، سیستم ترابری به گونه‌ای طراحی می‌شود که امکان بهره برداری از حداکثر توان دستگاه D.S.TBM فراهم باشد. بدین منظور لازم است همواره یک قطار

در بخش پشتیبانی در حال بارگیری و تخلیه باشد و یک قطار دیگر در سوئیچ پشت سیستم پشتیبانی آماده باشد تا به محض خروج قطار فوق الذکر از محدوده سیستم پشتیبانی، جایگزین آن شود. در چنین شرایطی اگر شرایط زمین و شرایط اجرائی کارگاه اجازه دهد می‌توان در ساعت‌های متوالی کار حفاری و سگمنت گذاری را انجام داد. لازم به ذکر است مجاورت سوئیچ کالیفرنیایی متحرک با سیستم پشتیبانی، همچنین پیش‌بینی چیدمان مناسب برای سیستم پشتیبانی به منظور تخلیه همزمان سگمنت و گراول به موازات پرشدن واگن‌های حمل مواد حفاری شده امری الزامی بوده و در صورت عدم رعایت این نکته زمان‌های پیش‌بینی شده جوابگوی سیکل نبوده و عملیات حفر تونل با مشکل روبرو خواهد شد.

۵-۴-۱- زمان بارگیری و تخلیه در سیستم پشتیبانی

بارگیری مواد حاصل از حفاری به درون واگن‌ها توسط نوار نقاله سیستم پشتیبانی انجام می‌گیرد. در مجموعه پشتیبانی دستگاه سه نوار نقاله مجزا بدین منظور پیش‌بینی شده است. این نوارها که به طور متوالی نصب شده‌اند، کار انتقال مواد از پشت کله حفاری به داخل واگن‌ها را انجام می‌دهند و مواد حاصل از حفاری به طور پیوسته به واگن‌ها تحویل داده می‌شوند. بنابراین لازم است در حین بارگیری مواد، واگن‌ها به آرامی به سمت جلو (به سمت دهانه تونل) حرکت کنند تا به ترتیب تمام واگن‌ها در زیر تغذیه کننده انتهای نوار نقاله واقع شوند. در ضمن واگن‌ها باید به گونه‌ای طراحی شوند که هنگام پرشدن یک واگن و جایگزین شدن واگن دیگر نیاز به توقف نوار نقاله نباشد و بارگیری کل واگن‌ها به طور پیوسته انجام شود. برای تعیین زمان بارگیری و تخلیه در سیستم پشتیبانی می‌بایست به دو حالت کاری دستگاه D.S.TBM در طول مسیر تونل توجه داشت یعنی

توجه به شرایط زمین شناسی که دستگاه می‌تواند با اعمال فشار از طریق تکیه به کفشکها به سمت جلو حرکت کند (همزمان با حفاری، سگمنت گذاری نیز انجام شود) و شرایط زمین شناسی که دستگاه تنها با اعمال فشار جک های سپر عقبی به سگمنت های نصب شده به سمت جلو حرکت کند. بنابراین تعیین زمان بارگیری و تخلیه در سیستم پشتیبانی در دو حالت بررسی خواهد شد:

حالت ۱- در شرایط زمین شناسی که امکان کفشک زدن برای دستگاه D.S.TBM وجود دارد:

سیستم ترابری با ظرفیتی معادل دو گام پیشروی ($2 \times 1/3$)، جهت عملیات حمل و نقل در نظر گرفته شده است. بنابراین می‌بایست یک مجموعه فعالیتهای کاری زیر به صورت همزمان و یا با تقدم و تأخیر انجام گیرند تا بارگیری و تخلیه دو گام پیشروی انجام و دستگاه آماده حفاری گام بعدی باشد:

- حفاری سیکل اول
- سگمنت گذاری سیکل اول
- کفشک زنی دستگاه و آماده شدن آن برای شروع حفاری سیکل دوم
- حفاری سیکل دوم
- سگمنت گذاری سیکل دوم
- کفشک زنی دستگاه و آماده شدن آن برای شروع حفاری سیکل سوم
- جابجایی قطار حامل مواد حفاری شده واقع در سیستم پشتیبانی با قطار حامل سگمنت و شن خودی و سیمان در روی سوئیچ کالیفرنیایی متحرک پشت سیستم پشتیبانی بدیهی است در طی انجام فعالیتهای فوق، فعالیتهایی از قبیل تخلیه شن خودی، تخلیه سیمان و ریل و تراورس مونتاژ شده، تخلیه لوله و کابل و قطعات یدکی (در صورت وجود بر روی واگنها)، ریل گذاری

و تزریق دوغاب و شن نخودی در پشت سگمنتها انجام می شوند. در واقع فرصت انجام این فعالیتها از ابتدای حفاری و سگمنت گذاری سیکل اول تا اتمام حفاری و سگمنت گذاری سیکل دوم وجود دارد. به عبارت دیگر شناوری آنها بالا می باشد و زمان انجام آنها در زمان کلی بارگیری و تخلیه در سیستم پشتیبانی تأثیری ندارد. بنابراین برای جلوگیری از شلوغی، در محاسبات و رسم نمودارهای گانت^۱ و CPM منظور نشده اند. همچنین با فعالیتهای زمان بری که منجر به توقف حفاری و سگمنت گذاری می شود از قبیل ::

- تعویض و تعمیر تیغه های برش بعد از چند سیکل پیشروی (بسته به شرایط زمین)

- تعمیر و نگهداری های کوچک ماشین و سیستم پشتیبانی شامل روغنکاری و گریسکاری دستگاه

- مشکلات ناشی از زمین و آب زیرزمینی و نیاز به پیش تزریق

در طی احداث تونل برخورد خواهد شد اما به دلیل غیر مشخص بودن زمان وقوع و در برخی زمان اتمام آنها و پرهیز از محاسبات پیچیده و غیر شفاف، این دسته فعالیت ها در محاسبات زمانبندی سیکل ترابری و رسم نمودارهای گانت و CPM منظور نشده است.

برای مشخص کردن زمان تخلیه و بارگیری در داخل تونل در محدوده پشتیبانی دستگاه از نمودار

گانت و CPM استفاده می شود. بنابراین در ابتدا به زمان اجرای هر یک از فعالیتها اشاره شده و سپس

تقدم و تأخیر هر یک از فعالیتها نسبت به دیگری مشخص می شود. با مشخص بودن سرعت نفوذ

دستگاه TBM و طول یک گام پیشروی (۱/۳ متر) به راحتی زمان حفاری برای یک گام پیشروی

بدست می آید. با توجه به واحد های زمین شناسی مهندسی مختلف در مسیر، سرعتهای نفوذ مختلفی

در هر واحد سنگی وجود دارد در نتیجه باید برای هر واحد سنگی زمان حفاری مربوط به خودش را

1- Gantt Chart

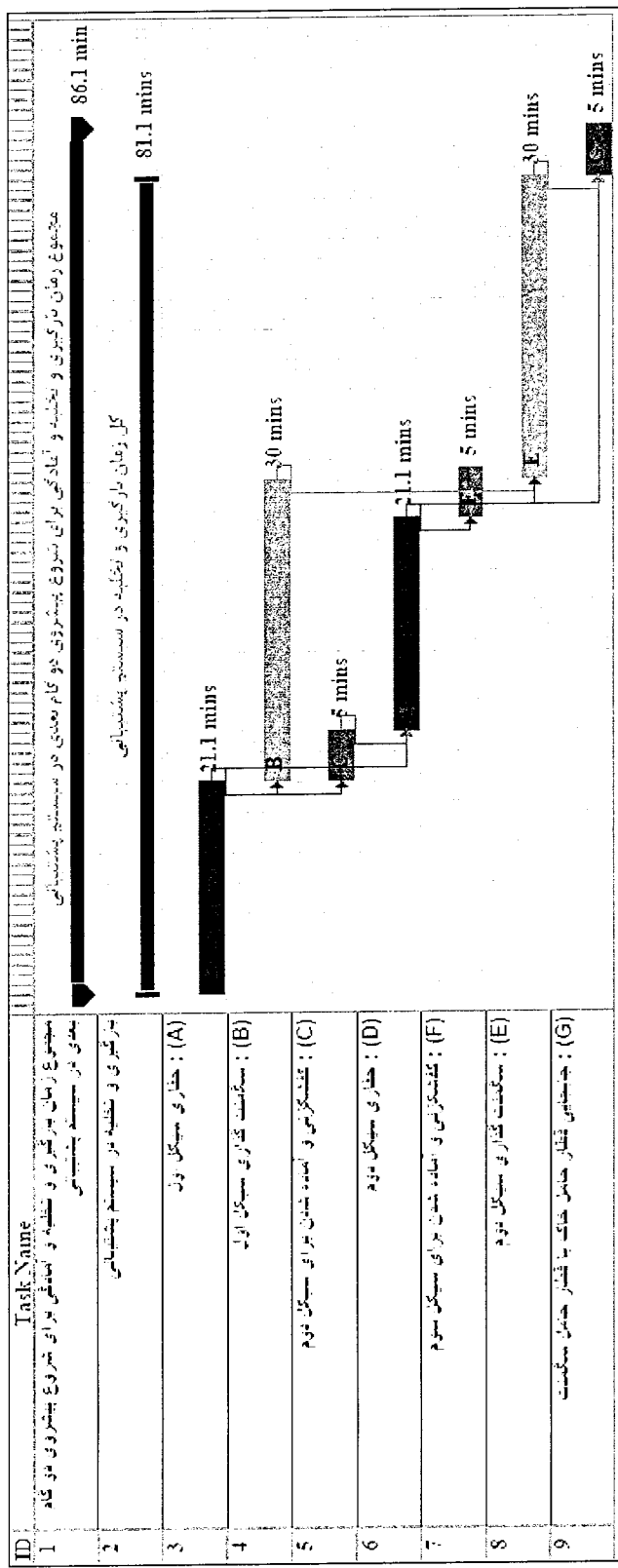
محاسبه کرد و در نمودارها تأثیر داد. برای مثال با توجه به سرعت نفوذ متوسط $3/7$ متر بر ساعت، زمان حفاری یک گام پیشروی (طولی برابر $1/3$) به طور متوسط حدود $21/1$ دقیقه به طول می انجامد. جدول ۷-۵ سرعت نفوذ و زمان حفاری یک گام پیشروی را برای واحد های مختلف زمین شناسی مسیر تونل نشان می دهد. زمان لازم برای نصب سگمنت های یک رینگ کامل حدود 30 دقیقه می باشد و زمان لازم برای کفشك زنی مجدد دستگاه و آماده شدن برای حفاری سیکل بعدی 5 دقیقه فرض می شود. زمان جابجایی قطار پر با خالی نیز 5 دقیقه به طول می انجامد.

جدول ۷-۵ سرعت نفوذ و زمان حفاری یک گام پیشروی برای واحد های زمین شناسی مختلف مسیر تونل.

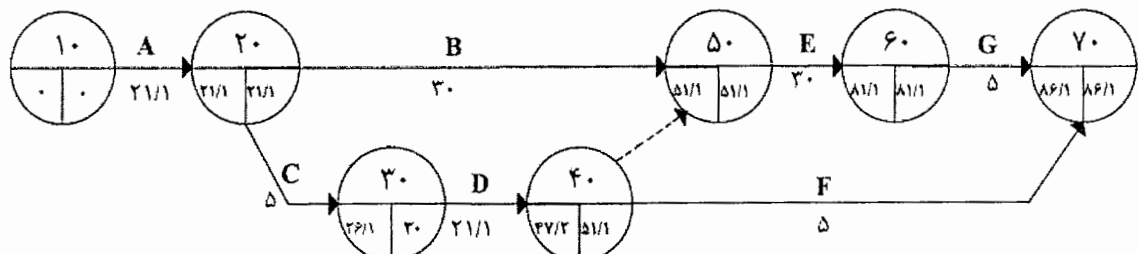
زمان حفاری یک سیکل (دقیقه)	سرعت نفوذ (m/hr)	واحد زمین شناسی مهندسی
$21/3$	$3/67$	Gta1
20	$3/91$	Gta2
$18/1$	$4/3$	Gta3
$26/5$	$2/94$	Gta4
$16/5$	$4/72$	Sts1
$22/4$	$3/49$	Sts2
22	$3/55$	Sts2-3
18	$4/33$	Tsh
$13/8$	$5/66$	Mdg
$24/2$	$3/23$	Cz

در حالتی که دستگاه TBM با توجه به شرایط زمین قادر به کفشک زدن باشد، اولین فعالیت، حفاری سیکل اول می باشد. فعالیت کفشک زنی دستگاه و آماده شدن آن برای شروع حفاری سیکل دوم و فعالیت سگمنت گذاری سیکل اول بعد از فعالیت حفاری سیکل اول انجام می شوند. فعالیت حفاری سیکل دوم بعد از فعالیت کفشک زنی دستگاه و آماده شدن آن برای شروع حفاری سیکل دوم انجام می شود. در واقع در حین سگمنت گذاری سیکل اول، حفاری سیکل دوم نیز انجام می شود. پس از اتمام فعالیت سگمنت گذاری سیکل اول و حفاری سیکل دوم، فعالیت سگمنت گذاری سیکل دوم شروع می شود. فعالیت کفشک زنی و آمادگی دستگاه برای شروع سیکل سوم بعد از اتمام فعالیت حفاری سیکل دوم شروع خواهد شد و برای انجام آن تا پایان تمامی فعالیتها زمان وجود دارد. فعالیت جابجایی قطار پر با خالی پس از اتمام فعالیت سگمنت گذاری سیکل دوم شروع می شود و آخرین فعالیت می باشد. شکل ۱۶-۵ و ۱۷-۵ به ترتیب نمودارهای گانت و CPM فعالیتهای مذکور را نشان می دهد. همچنین در جدول ۸-۵ شناوری جمعی و فردی هر یک از فعالیتها مشخص شده است.

همانطور که مشاهده می شود زمان بارگیری و تخلیه در سیستم پشتیبانی داخل تونل به طور متوسط ۸۱/۱ دقیقه محاسبه شده است. اما باید توجه داشت این زمان، با در نظر گرفتن سرعت نفوذ متوسط (۳/۷ متر در ساعت) بدست آمده است. برای دقت بیشتر، زمان بارگیری و تخلیه در سیستم پشتیبانی داخل تونل با توجه به تغییرات زمان حفاری یک گام پیش روی برای هر یک از واحدهای سنگی مسیر تونل که امکان کفشک زدن برای آنها وجود دارد از طریق نمودارهای گانت و CPM بدست آمده و نتایج آن در جدول ۹-۵ آورده شده است. نمودارهای گانت و CPM آنها در ضمیمه ه آورده شده است.



شکل ۵-۱۶ - نمودار گانت فعلیتهای انجام شده برای ۲۴ ساعت پیشروی با در نظر گرفتن سرعت تحویل متوسط (حالات ۱)



شکل ۱۷-۵- نمودار CPM فعالیتهای انجام شده برای ۲ گام پیشروی با در نظر گرفتن سرعت نفوذ متوسط(حالت ۱)

جدول ۵-۸- زودترین و دیرترین زمان شروع و ختم هر یک از فعالیتها همراه با مدت زمان اجرای آنها و شناوری جمعی و فردی آنها (حالت ۱).

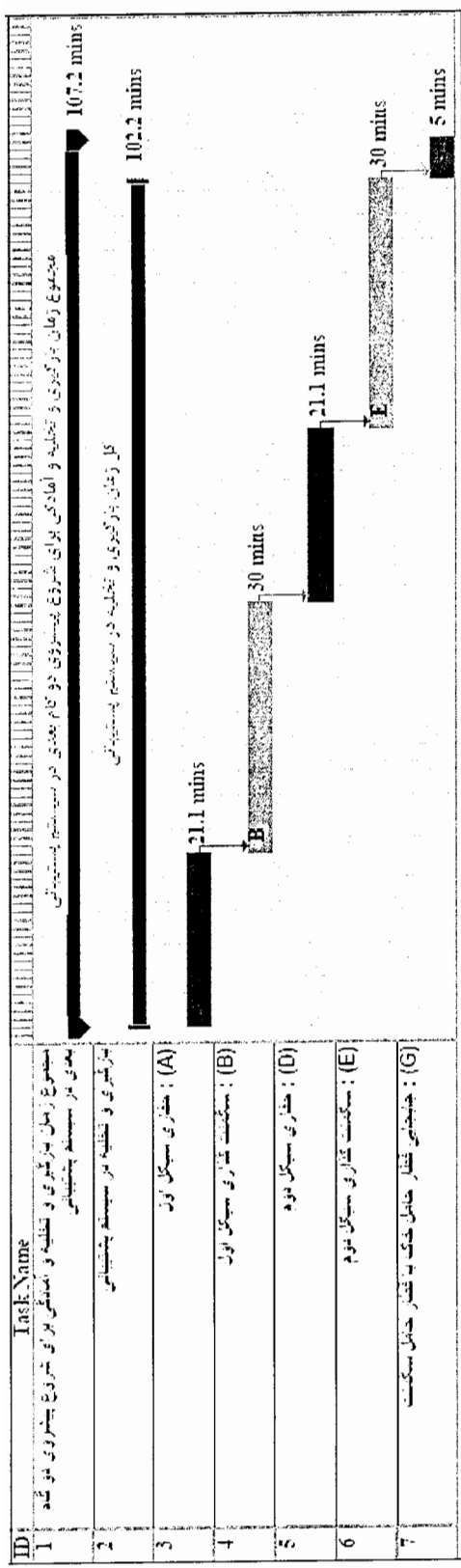
شناوری فردی	شناوری جمعی	زمانهای ختم		زمانهای شروع		مدت زمان اجرا (دقیقه)	فعالیت
		دیرترین زمان ختم	زودترین زمان ختم	دیرترین زمان شروع	زودترین زمان شروع		
.	.	21/1	21/1	.	21/1	21/1	A
.	.	51/1	51/1	21/1	21/1	30	B
.	۳/۹	۳۰	۲۶/۱	۲۵	۲۱/۱	۵	C
۳/۹	۳/۹	51/1	47/۲	۳۰	۲۶/۱	21/1	D
.	.	81/1	81/1	51/1	51/1	30	E
۳۲/۹	۳۲/۹	86/۱	52/۲	81/1	47/۲	۵	F
.	.	86/۱	86/۱	81/1	81/1	۵	G

جدول ۵-۹- مدت زمان بارگیری و تخلیه در سیستم پشتیبانی داخل تونل برای واحدهای زمین شناسی که دستگاه TBM در آنها از طریق تکیه به کفشهای پیشروی می کند.

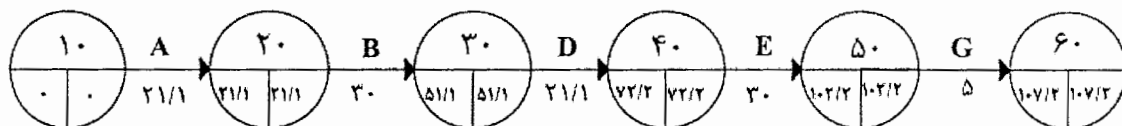
زمان بارگیری و تخلیه در سیستم پشتیبانی داخل تونل (دقیقه)	نام واحد زمین شناسی مهندسی
۸۰	Gta2
۷۸/۱	Gta3
۸۸	Gta4
۷۶/۵	Sts1
۸۲/۴	Sts2
۸۲	Sts2-3
۷۸	Tsh
۷۳/۸	Mdg

حالت ۲ - در شرایط زمین شناسی که امکان کفشک زدن برای دستگاه D.S.TBM وجود ندارد:

در این حالت شرایط زمین به گونه ایست که دستگاه تنها با اعمال فشار جکهای سپر عقبی به سگمنت های نصب شده به سمت جلو حرکت می کند. بنابراین امکان انجام فعالیت کفشک زنی وجود ندارد و تمامی فعالیتهای اشاره شده در حالت ۱ به غیر از این فعالیت انجام می شوند تا دو گام پیشروی انجام شود. تقدم و تأخیر فعالیتها نسبت به هم در این حالت به این صورت است که ابتدا فعالیت حفاری سیکل اول شروع و بعد از اتمام آن فعالیت سگمنت گذاری همان سیکل انجام می شود. بعد از اتمام فعالیت سگمنت گذاری سیکل اول، فعالیت حفاری سیکل دوم شروع می شود و بعد از اتمام آن فعالیت سگمنت گذاری همان سیکل انجام می شود. فعالیت نهايی جابجايی قطار پر با خالي می باشد. دو شکل ۱۸-۵ و ۱۹-۵ به ترتیب نمودار های گانت و CPM فعالیت های مذکور را نشان می دهند. جدول ۱۰-۵ نیز شناوری جمعی و فردی هر یک از فعالیت های حالت فوق را نشان می دهد. زمان سیکل حفاری در نمودارهای شکل ۱۸-۵ و ۱۹-۵ با در نظر گرفتن سرعت نفوذ متوسط دستگاه TBM منظور شده است. همانطور که قبلًا توضیح داده شد برای دقت بیشتر زمان حفاری واحد های زمین شناسی مربوطه جداگانه محاسبه شده و در نمودار های گانت و CPM منظور گردیده است. نتایج محاسبات زمان بارگیری و تخلیه در سیستم پشتیبانی در حالت عدم امکان کفشک زدن برای واحد های سنگی CZ و Gta1 در جدول ۱۱-۵ آورده شده است. نمودارهای گانت و CPM آنها نیز در ضمیمه ه آورده شده است.



شکل ۵-۱۸- نمودار گانت فعالیتهای انجام شده برای ۲ گام پیش روی با در نظر گرفتن سرعت نفوذ متوسط (حالت ۲)



شکل ۵-۱۹- نمودار CPM فعالیتهای انجام شده برای ۲ گام پیشروی با در نظر گرفتن سرعت نفوذ متوسط(حالت ۲)

جدول ۵-۱۰- زودترین و دیرترین زمان شروع و ختم هر یک از فعالیتها همراه با مدت زمان اجرای آنها و شناوری جمعی و فردی آنها (حالت ۲)

شناوری فردی	شناوری جمعی	زمانهای ختم		زمانهای شروع		مدت زمان اجرا (دقیقه)	فعالیت
		دیرترین زمان ختم	زودترین زمان ختم	دیرترین زمان شروع	زودترین زمان شروع		
.	.	۲۱/۱	۲۱/۱	.	۲۱/۱	۲۱/۱	A
.	.	۵۱/۱	۵۱/۱	۲۱/۱	۲۱/۱	۳۰	B
.	.	۷۲/۲	۷۲/۲	۵۱/۱	۵۱/۱	۲۱/۱	D
.	.	۱۰۲/۲	۱۰۲/۲	۷۲/۲	۷۲/۲	۳۰	E
.	.	۱۰۷/۲	۱۰۷/۲	۱۰۲/۲	۱۰۲/۲	۵	G

جدول ۵-۱۱- مدت زمان بارگیری و تخلیه در سیستم پشتیبانی داخل تونل برای واحدهای زمین شناسی که دستگاه TBM تنها با اعمال فشار جکهای سپر عقبی به سگمنت های نصب شده به سمت جلو حرکت می کند.

مدت زمان بارگیری و تخلیه در سیستم پشتیبانی (دقیقه)	نام واحد زمین شناسی مهندسی
۱۰۲/۶	Gta1
۱۰۸/۴	Cz

۵-۴-۲- زمان بارگیری و تخلیه در محوطه ترانشه

در خارج تونل عملیات تخلیه خاک های حاصل از حفاری، بارگیری سگمنت، شن نخودی و سیمان کیسه ای انجام می گیرد. قطاری که از تونل خارج می شود، به ترتیب لوکوموتیو در جلو

(سمت خروجی تونل)، واگن های حمل خاک پشت سر آن، واگن شن نخودی، ریل و تراورس، سیمان و سگمنت به ترتیب پشت سر آن قرار دارند. در محوطه ترانشه سه خط ریل گذاری برای سرویس دهی به سیستم ترابری ایجاد می شود (شکل ۵-۵). در یکی از این خطوط، واگن برگردان^۱ قرار دارد. لوكوموتیو از محل واگن بر گردان عبور کرده و واگن ها را تحويل آن می دهد. در همین زمان واگن های سگمنت، شن نخودی و سیمان کیسه ای از مجموعه واگن های حمل خاک جدا می شوند. واگن برگردان به ترتیب یک یک واگن های حمل خاک را به جلو کشیده و تخلیه می کند. در همین حین واگن های حمل شن نخودی، سگمنت و سیمان کیسه ای بارگیری می شوند. پس از اتمام تخلیه واگن های حمل خاک و بارگیری واگن های حمل سگمنت، شن نخودی، سیمان کیسه ای و کفی ریل و لوله، کلیه واگن ها به یکدیگر متصل شده و قطار آماده حرکت به داخل تونل می شود. اگر در مدت زمانی که یک قطار مشغول تخلیه و بارگیری در محوطه ترانشه می باشد، قطار دیگری از تونل خارج شود، این قطار در یک خط ریل منظر می ماند تا قطار اول به سمت تونل حرکت کرده، از روی خط بارگیری و تخلیه خارج شود. با توجه به تجرب قبلى در پژوهه های مشابه پیش بینی می شود مدت زمانی که از لحظه ورود یک قطار به محوطه ترانشه (از داخل تونل) می گذرد تا همین قطار مجددآ آماده حرکت به داخل تونل باشد، حدود ۲۵ دقیقه باشد.

۳-۴-۵- زمانبندی سیستم حمل و نقل از ابتدا تا انتهای تونل

با توجه به اینکه هدف اصلی از زمانبندی به صفر رساندن زمان انتظار دستگاه TBM برای شروع پیش روی می باشد لازم است همواره یک قطار در بخش پشتیبانی در حال بارگیری و تخلیه و یک قطار

¹ -Muck car tippler

دیگر در سوئیچ کالیفرنیایی متحرک پشت سیستم پشتیبانی آماده باشد تا به محض خروج قطار فوق الذکر از محدوده پشتیبانی جایگزین آن شود. لذا در متراژهای اولیه حداقل به دو دستگاه نیاز است اما با افزایش طول پیشروی و در نتیجه افزایش متراژ، دیگر دو قطار جوابگو نخواهد بود و لازم است به مجموعه ترابری قطار اضافه شود. همچنین به تبع آن برای جلوگیری از تداخل و ترافیک بین آنها نیاز به نصب سوئیچ کالیفرنیایی ثابت در نقاطی از مسیر می باشد. بطور معمول در سیستم های ترابری به ویژه ترابری معدنی برای بدست آوردن تعداد وسایل باربر که توسط وسیله بارکننده بارگیری می شوند از قاعده انتظار صفر استفاده می شود. براساس قاعده انتظار صفر اگر زمان یک سیکل کامل حمل و نقل به زمان بارگیری توسط وسیله بارکننده (در اینجا همان زمان بارگیری و تخلیه در سیستم پشتیبانی) تقسیم شود حداقل تعداد وسیله باربر (در اینجا قطار) برای سیستم حمل و نقل به نحوی بدست می آید که زمان انتظار وسیله بارکننده برای شروع بارکردن (در اینجا دستگاه TBM برای شروع پیشروی) صفر شود. در پروژه کرج به دلیل استفاده از سوئیچ کالیفرنیا و اینکه لازم است دو قطار حامل خاک و سگمنت هر دو در مقابل سوئیچ کالیفرنیا حاضر شوند و بعد سوئیچینگ صورت گیرد، شرایط متفاوت می شود. چون وسایل باربر که همان قطارها می باشند زمان انتظاری را بر یکدیگر تحمیل می کنند، بنابراین نمی توان از قاعده انتظار صفر استفاده کرد. برای محاسبه تعداد قطار مورد نیاز در هر متراژ، تعداد و جای قرارگیری سوئیچ کالیفرنیا در طول مسیر از ترسیم نمودار گان و تحلیل آن استفاده شده است. در این قسمت با توجه به مطالب مطرح شده در بخش ۱-۴-۵ پیرامون زمان بارگیری و تخلیه در سیستم پشتیبانی، زمانبندی سیستم حمل و نقل در دو حالت زیر بررسی می شود:

حالت ۱- برای تمامی واحدهای زمین شناسی مهندسی، زمان متوسط بارگیری و تخلیه در سیستم

پشتیبانی در نظر گرفته شود.

حالت ۲- برای هر یک از واحدهای زمین شناسی مهندسی، زمان بارگیری و تخلیه در سیستم

پشتیبانی مخصوص به خودش در نظر گرفته شود.

۱-۳-۴-۵- زمانبندی با در نظر گرفتن حالت ۱

در ابتدا سیستم ترابری نیازمند به دو دستگاه قطار می باشد. شکل ۲۰-۵ نمودار گانت فعالیتهای لازم

برای انجام ترابری در این حالت را نشان می دهد. همانطور که مشاهده می شود جمعاً شش فعالیت

کاری برای اتمام یک سیکل کامل ترابری انجام می شود که دو تا از فعالیتها یعنی حرکت قطار حامل

خاک از سیستم پشتیبانی به سمت دهانه تونل (فعالیت شماره ۵) و حرکت قطار حامل سگمنت از

دهانه تونل به سمت سیستم پشتیبانی (فعالیت شماره ۷) از نظر زمانی متغیر و مابقی ثابت اند. در

داخل هر نمودار گانت شماره مربوط به هر قطار نوشته شده است. تقدم و تاخر فعالیتها نیز نشان داده

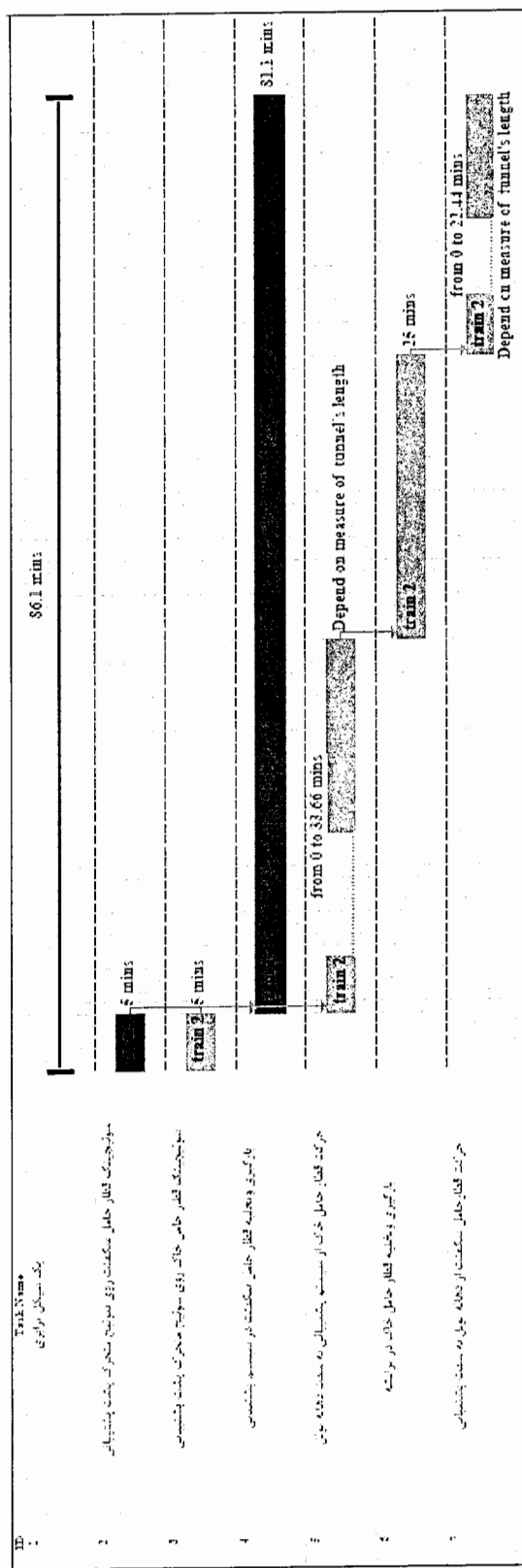
شده است. برای تحقق یافتن هدف طراحی یعنی به صفر رساندن انتظار دستگاه TBM برای شروع

پیشروی می بایست قبل از اتمام زمان بارگیری و تخلیه در سیستم پشتیبانی، قطار حامل سگمنت در

پشت سوئیچ متحرک پشتیبانی قرار گرفته باشد تا بلاfaciale پس از اتمام بارگیری و تخلیه در سیستم

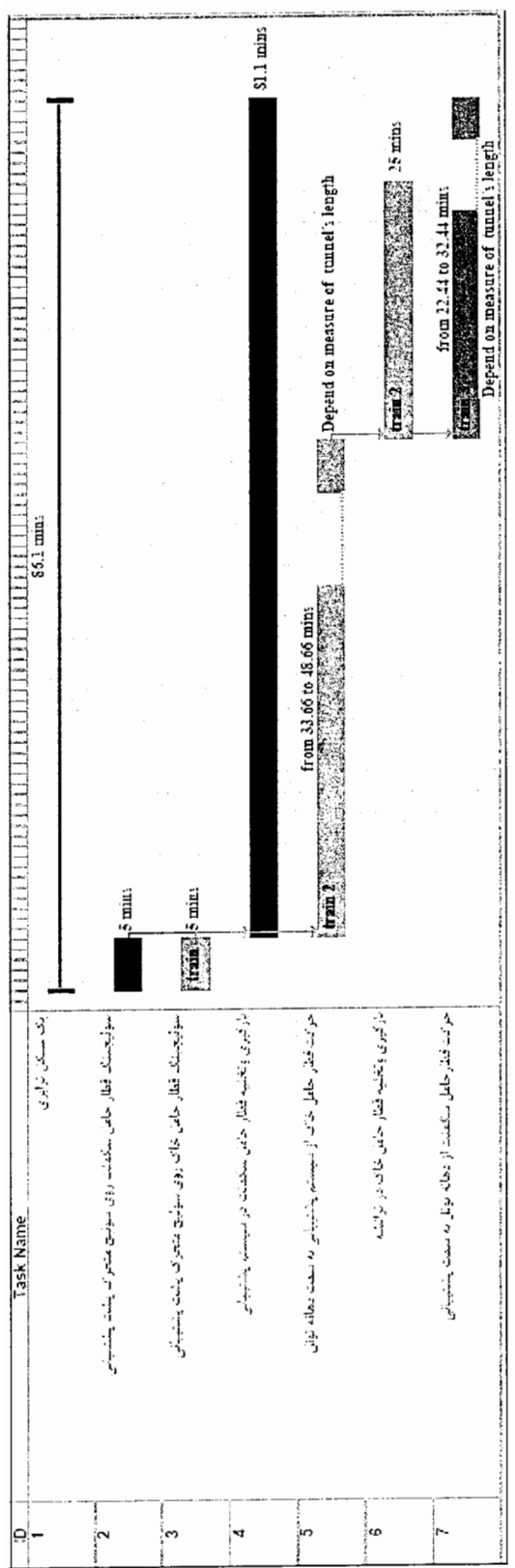
پشتیبانی، سوئیچنگ دو قطار در روی سوئیچ کالیفرنیای متحرک پشت پشتیبانی انجام و به این

ترتیب سیکل بعدی ترابری آغاز شود.



شکل ۵-۲۰- نمودارهای گازت یک سیکل تراویری برای حالت ۱ زمانیکه دو قطار در سیستم تردد می کنند

بنابراین با توجه به شکل ۲۰-۵ ، دو قطار تا زمانی که مجموع زمانی سه فعالیت حرکت قطار حامل خاک از سیستم پشتیبانی به سمت دهانه تونل (فعالیت شماره ۵)، بارگیری و تخلیه قطار حامل خاک در ترانشه (فعالیت شماره ۶)، و حرکت قطار حامل سگمنت از دهانه تونل به سمت پشتیبانی (فعالیت شماره ۷) از زمان اجرای فعالیت بارگیری و تخلیه در سیستم پشتیبانی تجاوز نکند، جوابگوی نیاز ترابری حین اجرای تونل می باشد. با توجه به سرعت حرکت قطار در رفت و برگشت و متراژی که دستگاه TBM در حال پیشروی از آن می باشد، می توان زمانهای دو فعالیت متغیر را در هر متراژی محاسبه کرد. بر همین اساس محاسبات نشان می دهد، تا متراژ ۵۶۱۰ دو قطار جوابگوی نیازهای سیکل ترابری می باشد. از این متراژ به بعد می بایست یک قطار دیگر به سیستم اضافه شود یعنی به محض خروج قطار از تونل و قرارگیری آن در ترانشه، قطار سوم از دهانه تونل به سمت سیستم پشتیبانی شروع به حرکت کند. شکل ۲۱-۵ بیانگر این مطلب می باشد. همانطور که مشاهده می شود تنها مجموع زمان دو فعالیت متغیر و وابسته به متراژ یعنی فعالیت حرکت قطار حامل خاک از سیستم پشتیبانی به سمت دهانه تونل و حامل سگمنت از دهانه به سمت سیستم پشتیبانی می باشد که نباید از زمان بارگیری و تخلیه در سیستم پشتیبانی تجاوز کند. با در نظر گرفتن این قاعده تا متراژ ۸۱۱۰ سه قطار جوابگو سیکل ترابری می باشد. از این متراژ به بعد دیگر سه قطار جوابگو نبوده و می بایست به سیستم یک قطار دیگر اضافه کرد. اما اضافه کردن یک قطار دیگر بدون استفاده از سوئیچ کالیفرنیا در این متراژ (۸۱۱۰ متر) بدليل ایجاد تداخل و ترافیک امکان پذیر نیست.



شکل ۵-۲۱ - نمودارهای گذشت یک سیکل تراوی برای حالت ۱ زمانیکه سه قطار در سیستم تردد می کنند.

ممکن است سؤالی مطرح شود که آیا اضافه کردن تنها سوئیچ کالیفرنیا در این متراز با همان سه قطار نیازهای ترابری را برأورده می کند؟ جواب منفی می باشد چون تنها به سیکل ترابری زمان سوئیچینگ روی سوئیچ کالیفرنیای ثابت اضافه شده است و تنها در تعداد کمی سیکل ترابری پشت سرهم، سه قطار می توانند جوابگوی ترابری تونل باشند. شکل ۲۲-۵ این مطلب را به وضوح نشان می دهد. بنابراین از این متراز به بعد هم تعداد قطار به ۴ دستگاه خواهد رسید و هم سوئیچ کالیفرنیا نصب خواهد شد. شکل ۲۳-۵ نحوه افزایش فعالیت های جدید ناشی از سوئیچ کالیفرنیا در این مرحله، تقدم و تأخیرشان نسبت به هم را در یک سیکل ترابری نشان می دهد. همانطور که در شکل ۲۳-۵ مشاهده می شود فعالیتهای شماره ۳ و ۴ پس از اتمام فعالیتهای شماره ۱ و ۲ شروع می شوند. فعالیت شماره ۴ وابسته به فاصله سوئیچ کالیفرنیای ثابت از سیستم پشتیبانی است و با افزایش آن افزایش می یابد. همچنین شرط شروع فعالیتهای شماره ۵ و ۶ اتمام فعالیت شماره ۴ و فعالیت حرکت قطار حامل سگمنت از دهانه تونل به سمت سوئیچ کالیفرنیای ثابت، مربوط به سیکل قبل می باشد. در واقع می باشد هم قطار حامل سگمنت و هم حامل خاک در پشت سوئیچ حاضر شوند و بعد سوئیچینگ انجام شود. دو فعالیت شماره ۷ و ۸ پس از اتمام هر دو فعالیت شماره ۵ و ۶ شروع می شوند. فعالیت شماره ۹ متغیر بوده و بستگی به فاصله سوئیچ کالیفرنیای ثابت از سیستم پشتیبانی دارد. فعالیت شماره ۹ پس از فعالیت شماره ۷ شروع می شود. فعالیت شماره ۱۰ پس از اتمام فعالیت بارگیری و تخلیه درترانشه (مربوط به سیکل قبل) و فعالیت شماره ۷ شروع می شود. در واقع قطار چهارم که حامل سگمنت است پس از خروج قطار حامل خاک از دهانه تونل، وارد تونل می شود.

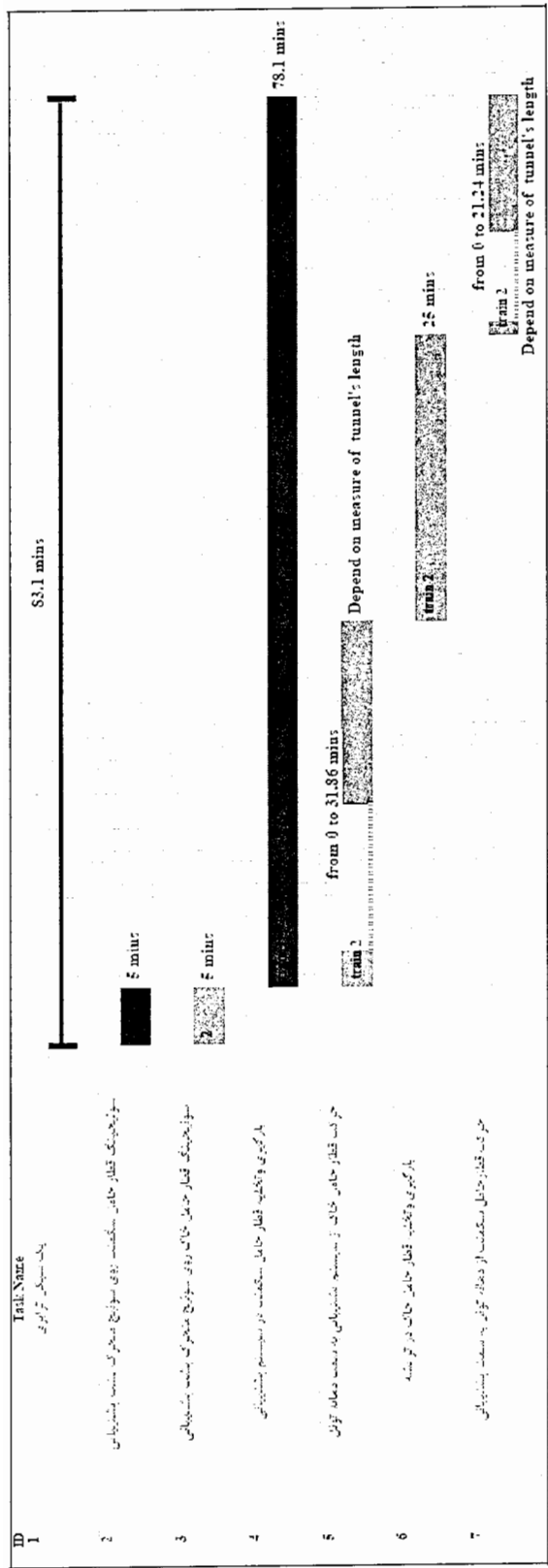
تمام فعالیتهای مذکور با شرایطی که ذکر شد (رعايت تقدم و تأخیر فعالیتها) در هر سیکل ترابری تکرار می شوند و در این حین زمانهای اجرای دو فعالیت شماره ۴ و ۸ از یک مقدار خیلی کم شروع و با هر گام پیشروی افزایش می یابند. این روال تا جایی می بایست ادامه یابد که مجموع اجرای زمان دو فعالیت مذکور بعلاوه ۳ دقیقه زمان سوئیچینگ دو قطار روی سوئیچ کالیفرنیای ثابت، از زمان بارگیری و تخلیه در سیستم پشتیبانی (فعالیت شماره ۳) تجاوز نکند. شایان ذکر است لازمه شروع هر سیکل ترابری اتمام زمان اجرای دو فعالیت بارگیری و تخلیه در سیستم پشتیبانی و حرکت قطار حامل سگمنت از سوئیچ کالیفرنیا به سمت سیستم پشتیبانی می باشد. براساس محاسبات تا متراز ۱۵۹۲۰ شرایط به همین صورت می باشد و در ۶۰ متر مابقی با در نظر گرفتن همین روال، تاخیرات کمی در پیشروی TBM ایجاد خواهد شد که با در نظر گرفتن مسائل اقتصادی و اجرایی قابل قبول می باشد در بخش بعدی پس از بررسی حالت ۲ توضیحات کاملی در این زمینه ارائه شده است.

۴-۳-۲- زمان بندی با در نظر گرفتن حالت ۲

با فرض این حالت زمان حفاری در هر واحد زمین شناسی مهندسی متفاوت بوده و در نهایت این تفاوت بسته به متراز حفاری باعث متغیر بودن زمان کلی بارگیری و تخلیه در سیستم پشتیبانی خواهد شد. بنابراین با زمانهای اجرای مختلف بارگیری و تخلیه در سیستم پشتیبانی روبرو خواهیم بود که می بایست در محاسبات به آنها توجه شود. در بخش قبلی حالتی که دو قطار، سه قطار و در نهایت ۴ قطار در سیستم تردد می کنند بررسی و ارائه گردید. در این حالت نیز زمان شروع هر فعالیت تقدم و تأخیر آنها نسبت به دیگر فعالیت ها مشابه حالت قبل می باشد. قاعده کلی برای تغییر تعداد قطار و قرارگیری سوئیچ کالیفرنیا مشابه حالت قبل می باشد. تنها زمان اجرای فعالیت بارگیری و تخلیه در

سیستم پشتیبانی باعث تغییر در نتیجه شده است. شکل های ۲۴-۵ و ۲۵-۵ و ۲۶-۵ نمودارهای گانت فعالیتها را به ترتیب در حالتهايی که ۲ قطار، ۳ قطار و ۴ قطار در سیستم تردد می کنند، نشان می دهند. بر اساس محاسبات در این حالت تا متراز ۵۳۱۰ دو قطار و از آن تا متراز ۷۶۵۰ به سه قطار نیاز می باشد. همچنین از متراز ۷۶۵۰ تا متراز ۱۵۱۵۰ به ۴ قطار همراه با نصب سوئیچ کالیفرنیا در متراز ۷۶۵۰ نیاز است. از این متراز به بعد از نظر محاسباتی دیگر ۴ قطار همراه با یک سوئیچ کالیفرنیا جوابگو نبوده و می بایست به سیستم ترابری قطار اضافه کرد اما بنا به دلایلی که قبلًا در مورد ۴ قطار با سوئیچ ذکر شد در اینجا نیز به نصب سوئیچ کالیفرنیای ثابت دوم در متراز ۱۵۱۵۰ نیاز می باشد.

شکل ۲۷-۵ نمودار گانت فعالیتهاي لازم برای انجام یک سیکل ترابری در این حالت را نشان می دهد. در شکل ۲۷-۵ دو فعالیت شماره ۴ و ۵ پس از اتمام فعالیتهاي شماره ۲ و ۳ شروع می شوند. فعالیت شماره ۵ از نظر زمان اجرا وابسته به فاصله سوئیچ کالیفرنیای ثابت دوم از سیستم پشتیبانی می باشد. همچنین شرط شروع دو فعالیت شماره ۶ و ۷ (سوئیچینگ روی سوئیچ ثابت دوم)، اتمام زمان اجرای فعالیت شماره ۵ و فعالیت حرکت قطار حامل سگمنت از سوئیچ کالیفرنیای اول به سمت سوئیچ کالیفرنیای دوم (مربوط به سیکل قبلی) می باشد یعنی سوئیچینگ روی کالیفرنیای ثابت دوم زمانی انجام می شود که هم قطار حامل سگمنت و هم حامل خاک در مقابل سوئیچ حاضر شده باشند. پس از اتمام فعالیت های شماره ۶ و ۷ دو فعالیت شماره ۸ و ۹ شروع می شوند. فعالیت های شماره ۸ از نظر اجرا متغیر بوده و به فاصله سوئیچ ثابت دوم از سیستم پشتیبانی بستگی دارد.



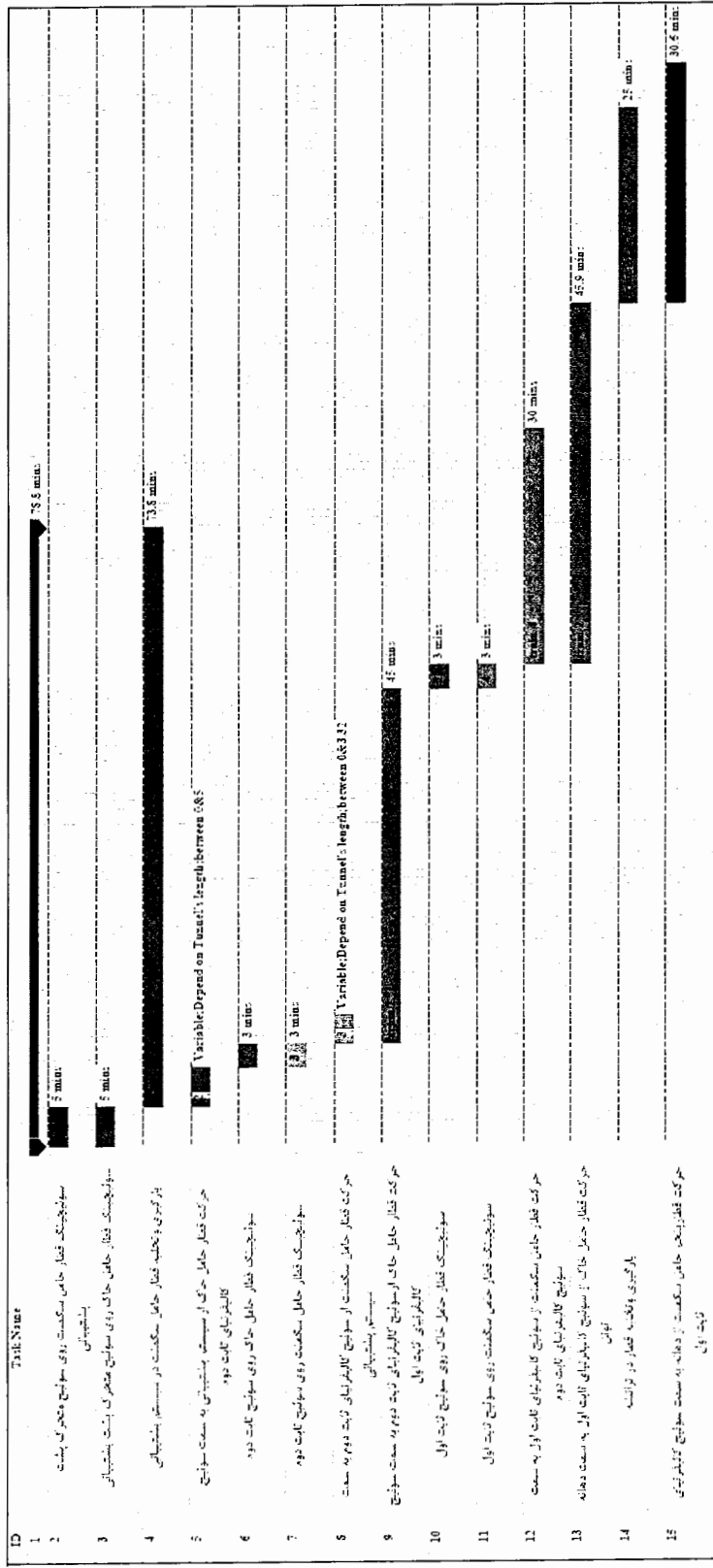
شکل ۵-۲۴-۲- نمودارهای گانت یک سیکل ترایبری برای حالت ۲ زمانی که دو قطار در سیستم تردد می کنند.

ID	Task Name	
1	بک سیکل بروز	81.5 mins
2	سوزنیگت قطار حامل مسکنن دوی سوینین مسحور	5 mins
3	سوزنیگت قطار حامل خانه دوی سوینین مسحور ک بست	5 mins
4	درگیری و تعطیله قطار حامل مسکنن در سیستم	76.5 mins
5	حرکت فقار حامل خاک از سیستم	from 31.86 to 45.9 mins
6	درگیری و تعطیله قطار حامل خاک در زانسته	train 2 25 mins
7	حرکت فقار حامل مسکنن از دادنه توغل بد سمعت	from 21.24 to 30.6 mins in 3 Depend on measure of tunnel's length

شکل ۵-۲۵- نمودارهای گانت یک سیکل ترابری برای حالت ۲ زمانی که سده قطار در سیستم تردد می کنند.

ID	Task Name	Time
1	سویچینگ فیلتر حامل سلکشن روی سویچ مخصوص پشت بشتابی	5 mins
2	سویچینگ فیلتر حامل کاری روی سویچ مخصوص پشت بشتابی	5 min:
3	پارکور و پنجه، قشر حامل سلکشن روی سویچ پشت بشتابی	
4	حرکت فیلتر حامل چالنگ سه بخشی به سمت موزونگ کالیفرنیا بایت نیز	Variable : from 0 to 45 min:
5	سویچینگ فیلتر حامل چالنگ سه بخشی به سمت موزونگ لاین اول	3 mins
6	سویچینگ قشر حامل سلکشن روی سویچ پایه اول	3 mins
7	حرکت فیلتر حامل چالنگ سه بخشی کالیفرنیا بایت بد سمت دهانه نیز	3 mins
8	حرکت فیلتر حامل چالنگ سه بخشی کالیفرنیا بایت به سمت موزونگ پشت بشتابی	45.9 min:
9	پارکور و پنجه، قشر حامل کاری در پوشش	25 min:
10	حرکت فیلتر حامل سلکشن از دهانه نیز به سمت پشت بشتابی	39.6 min:

شکل ۵-۲۶- نمودارهای گانت یک سیکل تراویری برای حالت ۲ زمانیکه سویچ کالیفرنیا نصب و چهار قطار در سیستم تردد می کنند



شکل ۵-۲۷-۲- نمودارهای گانت یک سیکل تراوی برای حالت ۲ زمانیکه سویچ کالیفرنیا دوم نسب و پنج قطار در سیستم نردد می کنند

شرط شروع دو فعالیت شماره ۱۰ و ۱۱ یعنی سوئیچینگ روی سوئیچ ثابت اول زمانی است که دو فعالیت شماره ۹ و فعالیت حرکت قطار حامل سگمنت از دهانه تونل به سمت سوئیچ کالیفرنیای اول (مربوط به سیکل قبلی) به اتمام رسیده باشند. بعد از اتمام دو فعالیت شماره ۹ و ۱۰ فعالیتهای شماره ۱۲ و ۱۳ انجام می‌شوند. فعالیت‌های شماره ۱۴ بعد از اتمام فعالیت شماره ۱۳ شروع می‌شود. فعالیت شماره ۱۵ پس از اتمام فعالیت بارگیری و تخلیه در ترانشه (مربوط به سیکل قبل) و فعالیت شماره ۱۳ شروع می‌شود. در واقع قطار پنجم که حامل سگمنت است پس از خروج قطار حامل خاک از دهانه تونل وارد تونل می‌شود. تمام فعالیت‌های مذکور با شرایطی که ذکر شد (رعایت تقدم و تأخیر فعالیتها) در هر سیکل ترابری تکرار می‌شوند و در این حین زمانهای اجرای دو فعالیت شماره ۵ و ۸ از یک مقدار خیلی کم شروع و با هر گام پیشروی افزایش می‌یابند. این روال می‌بایست تا جایی ادامه یابد که مجموع زمان اجرای دو فعالیت مذکور بعلاوه ۳ دقیقه زمان سوئیچینگ دو قطار روی سوئیچ کالیفرنیای ثابت دوم، از زمان بارگیری و تخلیه در سیستم پشتیبانی (فعالیت شماره ۴) تجاوز نکند.

شایان ذکر است لازمه شروع هر سیکل ترابری اتمام زمان اجرای دو فعالیت بارگیری و تخلیه در سیستم پشتیبانی و حرکت قطار حامل سگمنت از سوئیچ کالیفرنیا به سمت سیستم پشتیبانی می‌باشد. با بررسی چند سیکل ترابری پشت سر هم مشکلی بروز می‌کند که ناشی از قرارگیری سوئیچ کالیفرنیا در متراز ۱۵۱۵۰ بوده و می‌بایست تصحیح شود. شکل ۲۸-۵ نمودارهای گانت فعالیتهای چهار سیکل ترابری پشت سر هم زمانیکه ۵ قطار در سیستم تردد می‌کنند را نشان می‌دهد.

ID	Name
1	سکفت روی سوپلیچ کالیفرنیایی نات بسته پشتیبانی
2	سکفت روی سوپلیچ کالیفرنیایی نات بسته پشتیبانی
3	سکفت روی سوپلیچ کالیفرنیایی نات بسته پشتیبانی
4	سکفت روی سوپلیچ کالیفرنیایی نات بسته پشتیبانی
5	سکفت روی سوپلیچ کالیفرنیایی نات بسته پشتیبانی
6	سکفت روی سوپلیچ کالیفرنیایی نات بسته پشتیبانی
7	سکفت روی سوپلیچ کالیفرنیایی نات بسته پشتیبانی
8	سکفت روی سوپلیچ کالیفرنیایی نات بسته پشتیبانی
9	سکفت روی سوپلیچ کالیفرنیایی نات بسته پشتیبانی
10	سکفت روی سوپلیچ کالیفرنیایی نات بسته پشتیبانی
11	سکفت روی سوپلیچ کالیفرنیایی نات بسته پشتیبانی
12	سکفت روی سوپلیچ کالیفرنیایی نات بسته پشتیبانی
13	سکفت روی سوپلیچ کالیفرنیایی نات بسته پشتیبانی
14	سکفت روی سوپلیچ کالیفرنیایی نات بسته پشتیبانی
15	سکفت روی سوپلیچ کالیفرنیایی نات بسته پشتیبانی
16	سکفت روی سوپلیچ کالیفرنیایی نات بسته پشتیبانی
17	سکفت روی سوپلیچ هنتر ک بسته پشتیبانی
18	سکفت روی سوپلیچ هنتر ک بسته پشتیبانی
19	اول سکفت در سیستم پشتیبانی
20	اول سکفت در سیستم پشتیبانی
21	حاتک روی سوپلیچ نات بسته دوم
22	سکفت روی سوپلیچ نات بسته دوم
23	سکفت روی سوپلیچ کالیفرنیایی نات بسته دوم به سمت سوپلیچ کالیفرنیایی نات بسته دوم
24	از سوپلیچ کالیفرنیایی نات دوم به سمت سوپلیچ کالیفرنیایی نات بسته دوم
25	حاتک روی سوپلیچ نات بسته اول
26	سکفت روی سوپلیچ نات بسته اول
27	سکفت روی سوپلیچ کالیفرنیایی نات بسته اول به سمت سوپلیچ کالیفرنیایی نات بسته دوم
28	از سوپلیچ کالیفرنیایی نات بسته اول به سمت دهانه کوتل
29	گرانش
30	س از دهانه به سمت سوپلیچ کالیفرنیایی نات بسته اول
31	
32	
33	
34	
35	از سیستم پشتیبانی به سمت سوپلیچ کالیفرنیایی نات بسته دوم
36	حاتک روی سوپلیچ نات بسته دوم
37	سکفت روی سوپلیچ نات بسته دوم
38	س از سوپلیچ کالیفرنیایی نات بسته دوم به سمت سیستم پشتیبانی
39	از سوپلیچ کالیفرنیایی نات بسته دوم به سمت سوپلیچ کالیفرنیایی نات بسته اول
40	حاتک روی سوپلیچ نات بسته اول
41	سکفت روی سوپلیچ نات بسته اول
42	س از سوپلیچ کالیفرنیایی نات بسته اول به سمت سوپلیچ کالیفرنیایی نات بسته دوم
43	از سوپلیچ کالیفرنیایی نات بسته اول به سمت دهانه کوتل
44	گرانش
45	س از دهانه به سمت سوپلیچ کالیفرنیایی نات بسته اول
46	
47	سکفت روی سوپلیچ هنتر ک بسته پشتیبانی
48	حاتک روی سوپلیچ هنتر ک بسته پشتیبانی
49	اول سکفت در سیستم پشتیبانی
50	اول سکفت در سیستم پشتیبانی
51	حاتک روی سوپلیچ نات بسته دوم
52	سکفت روی سوپلیچ نات بسته دوم
53	س از سوپلیچ کالیفرنیایی نات بسته دوم به سمت سیستم پشتیبانی
54	از سوپلیچ کالیفرنیایی نات بسته دوم به سمت سوپلیچ کالیفرنیایی نات بسته اول
55	حاتک روی سوپلیچ نات بسته اول
56	سکفت روی سوپلیچ نات بسته اول
57	س از سوپلیچ کالیفرنیایی نات بسته اول به سمت سوپلیچ کالیفرنیایی نات بسته دوم
58	از سوپلیچ کالیفرنیایی نات بسته اول به سمت دهانه کوتل
59	گرانش 28 min:
60	س از دهانه به سمت سوپلیچ کالیفرنیایی نات بسته اول 30.6 min:

با دقت به فعالیتهای شماره ۲۱ و ۲۲ در سیکل دوم، ۳۶ و ۳۷ در سیکل سوم، ۵۱ و ۵۲ در سیکل چهارم متوجه می‌شویم که زمان سوئیچینگ روی سوئیچ کالیفرنیای ثابت دوم بدلیل تأخیر در رسیدن قطار حامل سگمنت به پشت سوئیچ کالیفرنیای ثابت دوم (فعالیت شماره ۱۲ برای سیکل دوم، فعالیت شماره ۲۷ برای سیکل سوم، فعالیت شماره ۴۲ برای سیکل چهارم) همواره در هر سیکل نسبت به سیکل قبل بیشتر به تأخیر می‌افتد. در واقع بعد از چندین سیکل تراپری پشت سر هم قطار حامل سگمنتی که بعد از سوئیچینگ روی سوئیچ ثابت دوم به سمت سیستم پشتیبانی حرکت می‌کرد و در پشت سوئیچ کالیفرنیای متحرک حاضر می‌گردید، دیگر بعد از اتمام زمان بارگیری و تخلیه در سیستم پشتیبانی در پشت سوئیچ متحرک حاضر می‌گردد و در نهایت منجر به افزایش زمان انتظار برای دستگاه TBM می‌شود. چنین مشکلی بخاطر بزرگتر بودن مجموع زمانهای رفت و برگشت قطارها بین دو سوئیچ کالیفرنیای ثابت بعلاوه مجموع زمانهای سوئیچینگ روی دو سوئیچ کالیفرنیای ثابت اول و دوم از جمع زمان بارگیری و تخلیه در سیستم پشتیبانی در همان سیکل و زمان سوئیچینگ روی سوئیچ کالیفرنیای متحرک، رخ داده است. در واقع برای رفع این مشکل باید مجموع زمان فعالیت‌های مذکور کوچکتر مساوی مجموع هر دو زمان بارگیری و تخلیه در سیستم پشتیبانی و زمان سوئیچینگ روی سوئیچ کالیفرنیای متحرک باشد. از بین فعالیت‌های مذکور تنها زمان اجرای دو فعالیت رفت و برگشت قطار بین دو سوئیچ کالیفرنیای ثابت را می‌توان کاهش داد. پس با تصحیح محل نصب سوئیچ دوم و قرار دادن آن در مترازی که شرط بالا برقرار شود این مشکل به راحتی حل می‌شود. شایان ذکر است ریشه اصلی این مشکل، کاهش زمان بارگیری و تخلیه در سیستم پشتیبانی از ۷۸ به ۷۳/۸ دقیقه در مترازهای بعد از نصب سوئیچ کالیفرنیای ثابت دوم است. همچنین این زمان (۷۳/۸ دقیقه)، ۷۷

درصد از طول مسیر بعد از سوئیچ کالیفرنیای ثابت دوم(۸۲۷ متر) را در بر می گیرد. بر اساس محاسبات مبتنی بر شرط مذکور سوئیچ کالیفرنیای ثابت در متراز ۱۴۹۳۰ قرار می گیرد. شکل ۲۹-۵ نمودار گانت فعالیتهای لازم برای انجام. یک سیکل ترابری با ۵ قطار را بعد از تصحیح نشان می دهد. همچنین شکل ۳۰-۵ نمودارهای گانت فعالیتهای چهار سیکل ترابری پشت سر هم زمانیکه پنج قطار در سیستم تردد می کنند را بعد از تصحیح نشان می دهد. نتایج مربوط به محاسبات زمانبندی در حالت ۱ و ۲ به ترتیب در جداول ۱۲-۵ و ۱۳-۵ به صورت خلاصه نشان داده شده است. همچنین جزئیات کامل محاسبات آنها در دو فایل Excel موجود در CD ضمیمه پایان نامه، ارائه شده است.

همانطور که در جدول ۱۲-۵ دیده می شود از ابتدای تونل تا متراز ۵۶۱۰ به دو دستگاه، از متراز ۵۶۱۰ تا ۸۱۱۰ به سه دستگاه، از متراز ۸۱۱۰ تا ۱۵۹۲۰ به ۴ دستگاه و از متراز ۱۵۹۲۰ تا آخر یعنی برای ۶۰ متر باقی مانده به پنج قطار نیاز است. همچنین لزوم قرارگیری دو سوئیچ کالیفرنیا در متراز ۸۱۱۰ و ۱۵۹۲۰ را نشان می دهد. از طرفی نتایج جدول ۱۳-۵ نشان می دهد تا متراز ۵۳۱۰ به دو دستگاه، از متراز ۵۳۱۰ تا ۷۶۵۰ به سه دستگاه، از متراز ۷۶۵۰ تا ۱۴۹۳۰ به چهار دستگاه و از متراز ۱۴۹۳۰ به بعد به پنج دستگاه قطار نیاز می باشد. همچنین جدول ۱۳-۵ لزوم قرارگیری دو سوئیچ کالیفرنیا در متراز ۷۶۵۰ و ۱۴۹۳۰ را نشان می دهد. اما قرار دادن سوئیچ کالیفرنیا دوم و اضافه کردن یک قطار (قطار پنجم) برای ۶۰ متر انتهای تونل در حالت ۱ و ۱۰۵۰ متر انتهای تونل در حالت ۲ با توجه به قیمت خرید بالای هر سوئیچ کالیفرنیا و لوکوموتیو که به ترتیب در حدود ۲۲۰ و ۱۵۰ هزار یورو است برای کل پروژه غیر اقتصادی و غیر منطقی می باشد.

جدول ۵-۱۳- زمانبندی سپیکل کامل تراویر، حداقل تعداد قطار و سویچ کالیفرنیا ثابت مورد نیاز بعد از تصحیح در حالت آر.

بنابراین پیش بینی می شود تنها به یک سوئیچ کالیفرنیا فی ما بین متراز ۷۵۰۰ و ۸۰۰۰ نیاز است. اما برآورد دقیق متراز آن مستلزم انجام پروژه و پیشروی حداقل تا کیلومتر ۶ می باشد تا با نتایج بدست آمده از حفریات و با به هنگام کردن محاسبات، تصمیم گیری دقیقتراز برای تعیین محل سوئیچ کالیفرنیا انجام گیرد. بنابراین برای انجام پروژه کرج کلأً به چهار دستگاه قطار نیاز است. پیش بینی می شود تا کیلومتر ۵ تنها به دو دستگاه قطار، از کیلومتر ۵ تا ۸ به سه دستگاه قطار و از کیلومتر ۸ تا انتهای پروژه به ۴ دستگاه قطار نیاز است به گونه ای که این تعداد قطارها به راحتی جوابگوی نیازهای عملیات حفاری و پیشروی در فواصل مذکور خواهند بود.

۴-۴-۴-تعداد تجهیزات مورد نیاز

با توجه به مطالب طرح شده در این فصل مهمترین تجهیزات مورد نیاز برای سیستم حمل و نقل حین اجرای توغل را می توان به صورت جدول ۱۴-۵ خلاصه کرد. علاوه بر تجهیزات فوق الذکر موارد جزئی مثل انواع اتصالات، سوزن ها و ... نیز مورد نیاز است. همچنین تجهیزات مورد نیاز برای تعمیر لوکوموتیو و واگن ها، تأمین و پس از نصب در تعمیرگاه های داخل محوطه ترانشه مورد بهره برداری قرار خواهند گرفت. چال سرویس مخصوص تعمیر لوکوموتیو نیز در محوطه ترانشه اجرا می شود. ریل های مسیر داخل توغل با پیچ و مهره و بغل بندها نصب می شوند.

جدول ۵-۱۴- لیست تجهیزات ترابری مورد نیاز پروژه کرج

تجهیزات	تعداد مورد نیاز تا پایان پروژه	ملاحظات
لوکوموتیو ۲۵ تنی	۴	CFL-180DCL ۱۴۱ کیلو وات، مدل
واگن حمل خاک	۴۰	۸ مترمکعب
واگن حمل پرسنل	۴	۱۰ نفره
واگن حمل سگمنت	۱۶	-
واگن کفی حمل سیمان	۴	-
واگن کفی حمل قطعات یدکی	۴	-
واگن کفی حمل ریل و تراورس، لوله و کابل	۴	-
واگن حمل شن نخودی	۴	۳/۶ مترمکعب
سوئیچ کالیفرنیای متحرک	۱	طول مفید ۱۲۵ متر
سوئیچ کالیفرنیای ثابت	۱	طول مفید ۱۲۵ متر در متراثی بین ۷۵۰۰ تا ۸۰۰۰ متر
ریل ۳۳ کیلوگرمی	۲۸۳۰	۱۷ کیلومتر
سوزن (سوئیچ)	۸	-
تراورس بتنی	۲۲۶۴۰	متشكل از دو بلوك بتنی به ابعاد (۱۸-۲۵)×۳۵×۳۵ سانتیمتر
واگن برگردان	۱	-
لودر ۱۲۰	۱	-
بولدوزر D۸	۱	-
کامیون (مايلر)	۲	۱۰ مترمکعب

۵-۴-۵-عملیات بارگیری و تخلیه در محوطه ترانشه

عملیات بارگیری سگمنت، شن نخودی و سیمان کیسه ای در واگن های مربوطه و تخلیه واگن های حمل خاک در محل واگن برگردان از جمله فعالیت های مرتبط با سیستم حمل و نقل هستند که در محوطه ترانشه انجام می شود. سوار و پیاده شدن پرسنل در واگن مربوطه، بارگیری ریل، لوله و سایر تجهیزات مورد استفاده درون تونل، سوختگیری لوكوموتیوها، آماده شدن آنها برای انتقال به محل تعمیر و غیره از دیگر فعالیت های مرتبط با حمل و نقل ریلی هستند که در محوطه ترانشه انجام می شود. بدیهی است هر یک از این فعالیت ها در یک بازه زمانی انجام خواهند شد و برای آنکه این گونه فعالیت ها در حداقل زمان ممکن انجام شوند و بلا فاصله پس از خروج یک قطار از تونل بتوان یک قطار آماده را به داخل تونل فرستاد، لازمست حداقل دو خط ریل در محوطه ترانشه وجود داشته باشد. با توجه به تجارب بدست آمده از پژوهه های مشابه سه خط ریل بدین منظور در نظر گرفته شده است. این سه خط به موازات هم و در جنب یکدیگر اجرا می شوند. هر قطار پس از خروج از تونل، روی خطی که واگن برگردان در آن واقع است آمده و کار بارگیری و تخلیه آغاز می شود. البته اگر کار تخلیه و بارگیری مواد به هر دلیلی به تعویق افتاده باشد به نحوی که هنگام خروج قطار پر از بار هنوز قطار تخلیه شده آماده ورود به داخل تونل نباشد، قطار خارج شده، به روی خط شماه ۲ هدایت شده و منتظر خروج قطار قبلی از روی خط شماره ۱ و ورود آن به داخل تونل خواهد ماند و سپس جایگزین آن می شود. مراحل بارگیری و تخلیه قطارها در محوطه ترانشه به صورت زیر می باشد:

الف) مرحله اول : خروج قطار پر از داخل تونل و قرار گرفتن آن در محل های تخلیه و بارگیری داخل ترانشه و شروع عملیات تخلیه مواد حاصل از حفاری، در حالی که اولین واگن حمل مواد در محل

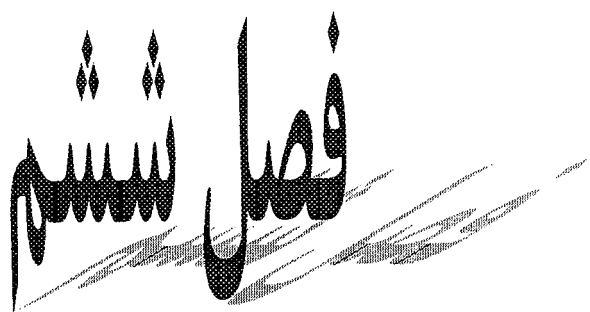
تخلیه وارد شده است، واگن های حمل سگمنت و شن نخودی از قطار جدا شده در محل بارگیری قرار می گیرند.

ب) مرحله دوم : بارگیری واگن های حمل سگمنت و شن نخودی به پایان رسیده و تخلیه واگن های مواد حفاری شده ادامه دارد.

ج) مرحله سوم : در این مرحله تخلیه واگن های حمل خاک و بارگیری واگن های حمل سگمنت، شن نخودی و سیمان کیسه ای قطار اول به پایان رسیده و آماده ورود به داخل تونل می شود. این قطار در خط انتظار ۲ قرار می گیرد تا قطار بعدی از تونل خارج و در خط ۱ قرار گیرد.

د) مرحله چهارم : قطار بعدی از تونل خارج و در خط ۱ قرار می گیرد تا عملیات تخلیه و بارگیری صورت گیرد . قطار ۱ مستقر در خط ۲ آماده ورود به تونل می باشد.

و) مرحله پنجم : قطار ۱ وارد تونل می شود و عملیات تخلیه و بارگیری قطار ۲ ادامه دارد.



نتیجہ گیری و پیشنهادات

۶-۱-نتیجه گیری

در این تحقیق برای اجرای تونل کرج، روش‌های چالزنی و آتشباری و روش‌های حفاری تمام مکانیزه (ماشین تونلزنی کله گاوی و ماشین تونلزنی تمام مقطع تونل) مورد بررسی قرار گرفت. استفاده از دو روش چالزنی و آتشباری و ماشین تونلزنی کله گاوی به ایجاد دسترسی های متعدد برای احداث تونل، قرارگیری این دسترسیها در توپوگرافی نامناسب، احتمال قرارگیری برخی از دهانه ها در زمینهای ارتش و ایجاد مشکلات تملیک، کم بودن سرعت متوسط حفاری و محدودیت زمان انجام پروژه (۷۰ ماه) برای احداث تونل کرج رد شدند. لذا ماشین تونلزنی تمام مقطع (TBM) برای حفر تونل مذکور انتخاب گردید.

رفتار مچاله شوندگی در حین حفر تونل یک مسئله با اهمیت می باشد که قبل از انتخاب نوع ماشین تونلزنی تمام مقطع تونل، در واحدهای زمین‌شناسی مهندسی مسیر تونل توسط روش نیمه تجربی هوک و مارینوس ۲۰۰۰ مورد بررسی قرار گرفت. نتایج بدست آمده عدم پتانسیل مچاله شوندگی در طول مسیر تونل را نشان داده است. بنابراین محدودیتی از لحاظ همگرایی و گیرکردن به دلیل مچاله شوندگی برای انتخاب ماشین تونلزنی تمام مقطع سپردار وجود ندارد.

همچنین با توجه به خارج بودن بازه زمانی انجام آستر بتني از کل زمان محدود انجام پروژه (۷۰ ماه) و عدم توانایی کفشک زدن در واحدهای زمین شناسی مهندسی Gta1 و Cz به دلیل فاصله داری اندک دسته درزه ها ($\text{Spacing} \leq 60\text{cm}$), پایین بودن مقاومت فشاری تک محوری ($\sigma_c < 40\text{MPa}$) و کم بودن ضریب کیفت سنگ ($RQD < 50\%$), استفاده از ماشین تونلزنی تمام مقاطع بدون سپر در این پروژه منتفی است.

در بین سه نوع ماشین تونلزنی تمام مقطع سپردار، استفاده از ماشین سپری تعادلی با فشار زمین برای حفر تونل کرج به دلیل کاربرد خاص آن در زمینهای خاکی و ریزدانه و با توجه به شرایط لیتولوژیکی مسیر منتفی است. در نهایت از بین دو نوع ماشین تونلزنی تمام مقطع سپری مضاعف و ماشین تونلزنی تمام مقطع سپری منفرد، ماشین نوع اول برای حفاری تونل کرج به دلیل توانایی کفشک زنی در طول زیادی از مسیر، سرعت حفاری بیشتر و کاربرد بیشتر در تونلهای بلند انتخاب شده است.

در مرحله بعد با در نظر گرفتن جهتداری درزه ها، مقاومت فشاری، شاخص بار نقطه ای و مقاومت کششی سنگ، شاخص عمر تیغه، درصد کانیهای ساینده، متوسط بار تیغه، مقاومت توده سنگ و سطح تنش سنگ، به کمک روش تجربی Q_{TBM} سرعت نفوذ و پیشروی دستگاه TBM برای هر واحد زمین شناسی مهندسی پیش‌بینی شده است. با توجه به نتایج بدست آمده می‌باشد در واحد زمین شناسی مهندسی Cz اصلاح مقدماتی انجام شود، در غیر این صورت ضریب بهره وری به شدت افت خواهد کرد. بدین منظور بایستی عملیات تزریق انجام شود که در نتیجه پارامترهای سیستم طبقه بندی مهندسی توده سنگ (Q) تغییر و کیفیت توده سنگ افزایش خواهد یافت.

با پیش‌بینی سرعت نفوذ و پیشروی برای هر یک از واحد‌های زمین‌شناسی مهندسی مسیر تونل، کمترین و بیشترین سرعت نفوذ به ترتیب مربوط به واحدهای Gta4 و Mdg می‌باشد. همچنین کمترین و بیشترین سرعت پیشروی به ترتیب مربوط به واحدهای Gta1 و Mdg می‌باشد. سرعت نفوذ متوسط و سرعت پیشروی متوسط برای کل مسیر تونل به ترتیب $3/7$ و $732/0$ متر بر ساعت پیش‌بینی شده است. طول پیشروی در هر سیکل حفاری دقیقاً برابر طول یک رینگ سگمنتی می‌باشد. با توجه به طرز قرارگیری سگمنتها بر روی واگن حمل سگمنت، طول رینگ سگمنتی با عرض قابل عبور و مرور در تونل ارتباط مستقیم دارد و حداکثر می‌تواند با عرض قابل عبور و مرور در تونل برابر باشد. با بررسی محدودیت‌های ناشی از فضای تونل، حداکثر عرض قابل عبور و مرور در داخل تونل 150 سانتی متر خواهد بود. در نهایت به دلیل محدودیت‌های ناشی از ابعاد سگمنت هنگام چرخش و قرارگیری بر روی تغذیه کننده نصاب و ظرفیت لوکوموتیو به لحاظ ابعادی، طول پیشروی در هر سیکل حفاری 130 سانتی متر در نظر گرفته شده است.

در انتخاب واگن‌ها محدودیت عرضی 150 سانتی‌متر به خاطر عبور از روی سوئیچ کالیفرنیا و محدودیت ارتفاعی 156 سانتی‌متر به خاطر عبور در سیستم پشتیبانی و همچنین حجم مواد و مصالحی که می‌بایست توسط هر قطار حمل شود، مورد توجه قرار گرفته است. برای هر قطار 10 دستگاه واگن حمل خاک، 4 دستگاه واگن حمل سگمنت به انضمام یک دستگاه از واگن‌های حمل شن نخودی، حمل پرسنل، کفی حمل ریل و تراورس، کفی حمل سیمان کیسه‌ای، کفی حمل قطعات یدکی در نظر گرفته شده است.

با بررسی کلیه مقاومتهای موجود در مسیر رفت و برگشت تونل در نهایت لوکوموتیو ۲۵ تنی مدل

CFL-180DCL ساخت شرکت آلمانی شوما با ۱۴۱ کیلووات توان انتخاب گردید.

بر اساس زمانبندی سیکل باربری، برای انجام پروژه تونل کرج به چهار دستگاه قطار نیاز است. پیش بینی

می شود تا کیلومتر ۵ تنها به دو دستگاه قطار، از کیلومتر ۵ تا ۸ به سه دستگاه قطار و از کیلومتر ۸ تا

انتهای پروژه به ۴ دستگاه قطار نیاز خواهد بود به گونه ای که این تعداد قطارها به راحتی جوابگوی

نیازهای عملیات حفاری و پیشروی در فواصل مذکور خواهند بود.

همچنین پیش بینی می شود تنها به یک سوئیچ کالیفرنیا در متراز ۷۵۰۰ تا ۸۰۰۰ نیاز است. اما برآورد

دقیق متراز آن مستلزم انجام پروژه و پیشروی حداقل تا کیلومتر ۶ می باشد تا با نتایج بدست آمده از

حفریات و با به هنگام کردن محاسبات، تصمیم گیری دقیقترا برای تعیین محل سوئیچ کالیفرنیا انجام

گیرد.

۶-۲- پیشنهادات

با انجام این تحقیق پیشنهاداتی به شرح زیر ارائه می شود:

۱- در بحث انتخاب روش حفر تونل با توجه به افزایش عوامل تأثیرگذار در انتخاب بهتر است از

روشهای تصمیم گیری چند معیاره برای انتخاب روش مناسب حفاری استفاده شود.

۲- با توجه به اهمیت عملکرد TBM در طراحی سیستم ترابری بهتر است از چند روش برای پیش-

بینی عملکرد استفاده شود و سپس با مقایسه آنها با هم عملکرد (سرعت نفوذ و پیشروی) مناسب

انتخاب شود.

۳- برای داشتن یک زمانبندی مناسب و اجرایی برای سیکل تراپری می بایست دائماً تغییرات زمانی فعالیتها با مقدار پیش‌بینی شده مطابقت داده شود و در صورت تغییر تصحیحات لازم صورت گیرد. به عبارت دیگر مبحث زمانبندی با پیشروی تونل به هنگام شود.

فهرست منابع :

- صدری، عبدالله، (۱۳۸۱)، ترابری و حمل و نقل در معادن، جزوه درسی، دانشگاه صنعتی امیرکبیر.
- منصوری بروجنی، حشمت الله، (۱۳۸۲)، انتخاب ماشین حفاری با توجه به شرایط ژئومکانیکی موجود در خط شمالی - جنوبی تونل قطار شهری اصفهان، پایان نامه کاشناسی ارشد، دانشکده مهندسی معدن، متالورژی و نفت، دانشگاه صنعتی امیرکبیر.
- فاروق حسینی، محمد، (۱۳۷۹)، در آمدی بر مکانیک سنگ، (مؤلف: وتوکوری، وی اس.، کاتسویاما، ک.)، مرکز خدمات فرهنگی سالکان، ص ۱۸۴-۱۸۹.
- قليان، حسين، (۱۳۷۷)، مهندسي راه آهن، (مؤلف: پروفيلديس، و. ا.)، مرکز انتشارات دانشگاه علم و صنعت ايران.
- مؤسسه حرا، (۱۳۸۲)، اسناد فني شركت در مناقصه برای تونل کرج.
- مؤسسه مهندسين مشاور ساحل، (۱۳۸۴)، گزارش زمين شناسی مهندسي مسیر تونل.
- مؤسسه مهندسين مشاور ساحل، (۱۳۸۳)، طراحی سیستم ترابری حین اجرای تونل.
- Askilsrud, O.G., (1996), “**Hard Rock Tunnel Boring Machine-Mechanical Tunnelling**”, Short Course in Colorado School of Mines, Atlas Copco Robbins Inc., Colorado, USA.
- Barla, G., (1995), “**Squeezing Rocks in Tunnels**”, ISRM News Journal, 3/4, PP: 44-49.
- Barton, N., (2000), “**TBM Tunneling in Jointed and Faulted Rock**”, A.A.Balkema/Rotterdam/Brookfield, Holland.
- Barton, N. and Itoh, J., (2000), “**TBM Performance Estimation in Rock Using Q_{TBM}**”, Fuji Research Institute Corporation.
- Bickel, J.O., Kuesel, T.R., (1996), “**Tunnel Engineering Handbook**”, Second Edition, Chapman & Hall Publication.
- Bieniawski Z.T., (1974), “**Geomechanics classification of Rock Masses and Its Application in Tunneling**”, proc. 3rd Int. cong. ISRM, vol.2, Part A, PP: 27-32.
- Boky, B., (1967), “**Mining**”, Translated from the Russian by Scott, J., Mir Publishers, Moscow, PP: 623- 633.

Bradly, W.B., (1978), “**Failure of Inclined Boreholes**”, Trans. of ASME, Vol. 101, PP: 232-239.

Friant, J. and Ozdemir, L., (1993), “**Tunnel Boring Technology – Present and Future**”, 1993 RETC Proceeding, PP: 869 – 888

Herrenknecht, M. and Bappler, K., (2001), “**The Latest Developments in Tunnelling Technology**”, AITES-ITA 2001, World Tunnel Congress, PP: 162-170.

Hoek, F., and Marinous, P., (2000), “**Prediction of Tunnel Squeezing Problems in Weak Heterogeneous Rock Masses**”, Tunnel and Tunneling International, Part One, PP: 45-51 and Part Two, PP: 33-36.

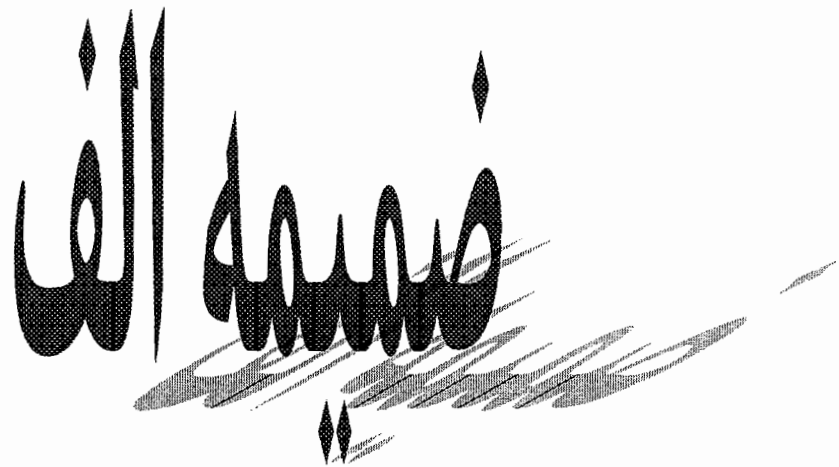
Maidl B. and Herrenknecht M., (1996) “**Mechanized Shield Tunnelling**”, Ernst & Sohn VCH Publishing Group.

Maidl, R. and Handke, D. (1989), “**Application Areas For Modern Boom-Type Roadheaders of Various Power Classes in Tunnelling**”, 2nd International Tunneling Symposium, World Tunneling, April 1989, PP: 222-230.

Ramezanzadeh, A., Rostami, J. and Kastner, R., (2003), “**Performance Prediction Models for Hard Rock Tunnel Boring Machines**”, 6th Tunnelling Congress, Tehran, Iran, PP: 575-589.

Whittaker B.N. and Frith R.C., (1990), “**Tunneling: Design, Stability and Construction**”, Institution of Mining and Metallurgy.

ضياء



جداول تعیین پارامترهای سیستم طبقه بندی

مهندسی تووده سنگ (Q)

جدول الف-۱- ضریب کیفیت سنگ RQD (Barton, 2000)

RQD%	شرایط	
۰-۲۵	خیلی ضعیف	A
۲۵-۵۰	ضعیف	B
۵۰-۷۵	نسبتاً خوب	C
۷۵-۹۰	خوب	D
۹۰-۱۰۰	عالی	E

توجه:

- ۱- جایی که RQD کمتر از ۱۰ (حتی صفر) اندازه گیری شده و یا بدست آمده است، برای ارزیابی Q مقدار اسمی ۱۰ به کار میروند.
- ۲- گامهای تغییرات RQD ، به مقدار ۵ می باشد. یعنی ۱۰۰ ، ۹۵ ، ۹۰ ، و... به مقدار کافی دقیق می باشند.

جدول الف-۲ - عدد دسته درزه J_n (Barton, 2000)

J _n	شرایط	
۱-۰/۵	توده ای، بدون درزه و یا حاوی تعداد کمی درزه	A
۲	یک دسته درزه	B
۳	یک دسته درزه همراه با درزه های نا منظم	C
۴	دو دسته درزه	D
۶	دو دسته درزه همراه با درزه های نا منظم	E
۹	سه دسته درزه	F
۱۲	سه دسته درزه همراه با درزه های نا منظم	G
۱۵	چهار دسته درزه یا بیشتر، درزه های نا منظم، شدیداً درزه دار ، "حبه قندی"	H
۲۰	سنگ خرد شده ، خاک مانند	I

توجه: ۱- در تقاطع ها از J_n ۳ استفاده شود. ۲- برای ورودیهای تونل از J_n ۲ استفاده شود.

جدول الف-۳- عدد زبری درزه J_r (Barton, 2000)

J_r	شرایط
(الف) تماس سنگ دیواره و (ب) تماس سنگ دیواره قبل از ۱۰ سالانه متر برش	
۴	درزه نا پیوسته A
۳	زبر یا نا منظم، موجدار B
۲	صف، موجدار C
۱/۵	آینه ای، موجدار D
۱/۵	زبر یا منظم، صفحه ای E
۱	صف، صفحه ای F
۰/۵	آینه ای، صفحه ای G
یادداشت:	
توضیحات فوق به ترتیب خود مربوط به ترکهای کوچک مقیاس و متوسط مقیاس می باشند.	
(ج) فاقد تماس سنگ دیواره هنگام برش	
۱	منطقه حاوی مواد رسی و با ضخامت کافی برای جلوگیری از تماس سنگ H
۱	ماسه ای، شنی، یا منطقه خرد شده و با ضخامت کافی برای جلوگیری از تماس سنگ دیواره I

توجه:

- اگر متوسط فاصله داری دسته درزه مورد نظر بیش از ۳ متر باشد، ۱ اضافه می شود.
- برای درزه های صیقلی و صفحه ای که سطحی خط خطی دارند از $J_r = 0/5$ استفاده شود، به شرط آن که خطوط ایجاد شده در جهت مقاومت حداقل قرار گرفته باشند و در این جهت چرخیده باشند.
- طبقه بندي J_r و J_a به دسته درزه ها یا نا پیوستگی هایی اعمال می شود که برای پایداری درزه هم از نقطه نظر جهت یافتگی و هم از جهت مقاومت برشی $\tau \approx \sigma_n \tan \frac{J_r}{J_a}$ از کمترین مطلوبیت برخوردارند.

جدول الف-۴- عدد دگرگونی (هوازدگی) درزه Φ_r (Barton, 2000).

J_a	Φ_r (درجه)	وضعیت
الف- دیواره های سنگی در تماسند (بدون پرشدنگی، صرفاً پوشش)		
۰/۷۵		شدیداً جوش خورده، سخت، سست نمی شود، پرکننده نفوذ نایذر مثل کوارتز یا اپیدوت A
۱	۲۵-۳۵	دیواره های درزه فاقد هوازدگی می باشند، رنگ سطوح فقط اندکی تغییر کرده است B
۲	۲۵-۳۵	دیواره های درزه اندکی هوازده اند. کانیهایی که نرم نمی شوند سطح را می پوشانند، ذرات ماسه ای، سنگ تجزیه شده بدون رس C
۳	۲۰-۲۵	پوشاننده های از جنس رس سیلیتی یا ماسه ای، قسمت کوچکی از جنس رس (که نرم شونده نیست) D
۴	۸-۱۶	کانیهای پوشاننده از جنس رس با اصطکاک کم یا نرم شونده است مثل کائو لینیت، میکا، کلریت، تالک، ژیپس، گرافیت و... و مقادیر کمی از رسهای تورمی (پوشاننده های نا پیوسته با ضخامت ۱ تا ۲ میلی متر یا کمتر) E
ب- دیواره های سنگی بعد از ۱۰ سانتی متر برش تماس پیدا می کنند(پرشدنگی نازک)		
۴	۲۵-۳۰	ذرات ماسه ای، ستگهای تجزیه شده بدون رس و... F
۶	۱۶-۲۴	پوشاننده های از جنس رس بسیار تحکیم یافته و سست نشونده G (پیوسته با ضخامت کمتر از ۵ میلی متر)
۸	۱۲-۱۶	پوشاننده های رسی با بیش تحکیمی کم یا متوسط (پیوسته با ضخامت کمتر از ۵ میلیمتر) H
۸-۱۲	۶-۱۲	پرکننده های از جنس رس تورمی مثل مونتموریولونیت (پیوسته با ضخامت کمتر از ۵ میلیمتر). مقدار J به درصد ذرات رسی و دستررسی به آب و غیره بستگی دارد.
ج- دیواره های سنگی در برش هیچ تماسی پیدا نمی کنند(پرشدنگی ضخیم)		
۸ و ۸	۶-۲۴	نواحی یا نوارهایی از سنگ خرد شده و رس (برای توصیف شرایط رس به G, H, J مراجعه شود) K, L, M
۵	-	نواحی یا نوارهایی از رس ماسه ای یا سیلیتی، مقدار کمی از ذرات رسی (غیر نرم شونده) N
۱۰ و ۱۲ یا -۲۰ ۱۳	۶-۲۴	مناطق یا نوارهایی پیوسته و ضخیم از رس (برای توصیف شرایط رس به G, H, J مراجعه شود) O, P, R

توجه: اگر محصولات هوازده وجود داشته باشد، مقادیر Φ_r فقط یک راهنمای تقریبی در مورد خصوصیات کانی شناسی و مینرالوژی این محصولات می باشند.

جدول الف-۵- فاکتور کاهش تنش (Barton, 2000) SRF

SRF	شرایط			
الف- مناطق ضعیف تونل را قطع می نماید و ممکن است در حین حفر تونل باعث سست شدن توده سنگ شوند.				
۱۰	ناواحی ضعیف چند بار ظاهر می شوند این نواحی ضعیف حاوی رس یا سنگ از نظر شیمیایی غیر یکپارچه یا سنگ بسیار سست (در هر عمقی) می باشند. A			
۵	ناواحی ضعیف منفرد که شامل رس یا سنگی است که از نظر شیمیایی یکپارچه نیست (عمق حفاری کمتر یا مساوی ۵۰ متر). B			
۲/۵	ناواحی ضعیف منفرد که شامل رس یا سنگی است که از نظر شیمیایی یکپارچه نیست (عمق حفاری بیشتر یا مساوی ۵۰ متر). C			
۷/۵	مناطق برشی متناوب در سنگ مقاوم (فاقد رس)، سنگ در برگیرنده سست می باشد (در هر عمقی). D			
۵	ناواحی برشی منفرد در سنگ مقاوم (فاقد رس) (عمق کمتر یا مساوی ۵۰ متر) E			
۲/۵	ناواحی برشی منفرد در سنگ مقاوم (فاقد رس) (عمق بیشتر یا مساوی ۵۰ متر) F			
۵	درزه های باز و ضعیف، سنگ شدیداً درزه دار یا حبه قندی وغیره (در هر عمقی). G			
ب- سنگ مقاوم: مشکلات ناشی از تنش در سنگ				
SRF (جديد)	SRF (قدیم)	σ_0/σ_c	σ_e/σ_1	
۲/۵	۲/۵	<۰/۰۱	>۲۰۰	تنش کم، درزه های باز در نزدیکی سطح H
۱	۱	-۰/۰۱ ۰/۳	-۲۰۰ ۱۰	تنش متوسط، وضعیت تنش مساعد J
۰/۵ - ۲	۰/۵ - ۲	۰/۳ - ۰/۴	۵ - ۱۰	تنش بالا، ساختار بسیار محکم (ممولاً مناسب برای پایداری، ممکن است از نظر ناپایداری دیواره نامناسب باشد) K
۵ - ۵۰	۵ - ۹	-۰/۱۵ ۰/۶۵	۳ - ۵	پوسته شدن متوسط پس از گذشت بیش از یک ساعت در سنگ توده ای L
۵۰ - ۲۰۰	۹ - ۱۵	۰/۶۵ - ۱	۲ - ۳	پوسته شدن و انفجار خود به خودی سنگ پس از چند دقیقه در سنگ توده ای M
۲۰۰ - ۴۰۰	۱۵ - ۲۰	>۱	<۲	انفجار خود به خودی سنگ زیاد رخ می دهد (کرنش-انفجار) و تغییر شکل N متوسط در سنگ توده ای
ج- سنگ فشارنده و مچاله شونده : جریان خمیری سنگ ضعیف تحت تأثیر فشار های سنگ زیاد				
۵ - ۱۰		فشار ناشی از فشارنده و مچاله شدن کم O		
۱۰ - ۲۰		فشار ناشی از فشارنده و مچاله شدن زیاد P		
د- سنگ تورمی : از نظر شیمیایی، میزان تورم وابسته به آب می باشد.				
۵ - ۱۰		فشار ناشی از تورم کم Q		
۱۰ - ۱۵		فشار ناشی از تورم زیاد R		

یادداشت:

۱- اگر نواحی برشی مورد نظر حفاری را قطع نمی کنند و فقط بر آن تأثیر می گذارند، مقدار SRF مربوط ۲۵-۵۰ درصد کاهش داده شود.

۲- درجایی که وضعیت تنفس شدیداً ناهمسان یا غیر ایزوتrop است (اگر اندازه گیری شده است) که $\sigma_1 / \sigma_3 \leq 5$ می باشد، $\sigma_1 / \sigma_3 = 0.75$ کاهش داده می شود. اگر $\sigma_1 / \sigma_3 > 10$ باشد، $\sigma_1 / \sigma_3 = 0.5$ کاهش داده می شود، مقاومت فشاری تک محوری است و $\sigma_1 / \sigma_3 = 0.5$ به ترتیب تنشهای اصلی کوچکتر و بزرگتر می باشند.

۳- نمونه های اندکی در مورد این که عمق تاج تونل در زیر سطح زمین کمتر از عرض دهانه باشد، ثبت شده است. در چنین مواردی پیشنهاد می شود که مقدار SRF از $2/5$ به 5 افزایش یابد (به H مراجعه شود).

۴- شرایط زمین فشارنده و مچاله شونده ممکن است در عمق $H > 350 Q^{1/3}$ رخ دهد (Singh و همکارانش ۱۹۹۲، میلادی). مقاومت فشاری توده سنگ را می توان از $q \approx 0.7 Q^{1/3}$ (به MPa) حدس زد که در آن $= 2$ وزن مخصوص سنگ به KN/m^3 است (Singh ۱۹۹۳، میلادی).

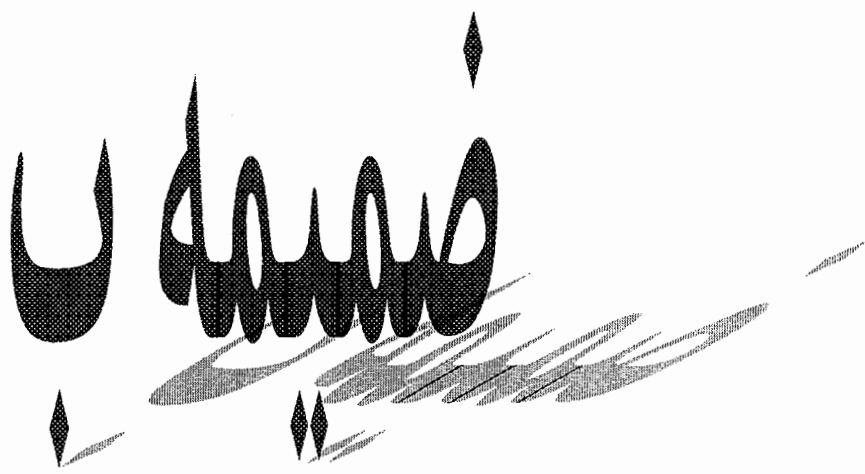
جدول الف-۶- شاخص آب درزه J_w (Barton, 2000)

J_w	فشار آب (MPa)	شرایط	
۱	< 0.1	حفاری خشک یا کمترین جریان یعنی به طور موضعی ۵ لیتر در دقیقه	A
۰.۱۶۶	$0.1-0.25$	جریان متوسط و یا گاهی فشار باعث شسته شدن پرکننده درزه ها می شود.	B
۰.۵	$0.25-1$	جریان زیاد و یا فشار زیاد در سنگهای مقاوم با درزه های پر نشده	C
۰.۳۳	> 1	جریان زیاد یا فشار بالا، پر کنندگی درزه ها به مقدار قابل ملاحظه ای شسته شده است.	D
$0.1-0.2$	> 1	جریان یا فشار آب فوق العاده زیاد در زمان آتشباری که با زمان کاهش پیدا می کند	E
$0.05-0.1$	> 1	جریان یا فشار آب فوق العاده زیاد که بدون هیچ کاهشی ادامه پیدا می کند.	F

توجه:

۱- فاکتور های C تا F تخمینهای حدودی هستند، اگر ملاحظات زهکشی انجام گرفته است، J_w کاهش داده شود.

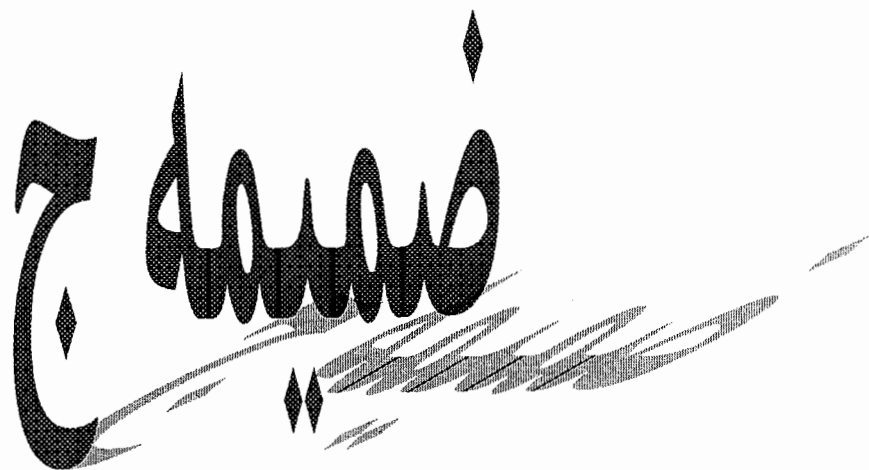
۲- مشکلات خاصی که در اثر تشکیل بخ ایجاد می شود مورد نظر نمی باشد.



جدول مربوط به جهتداری ناپیوستگی‌های مؤثر در حفاری،

سطح سینه کار و زاویه بین آنها

جدول بـ ١- جهتداری تابعوستگاهای مؤثر در حفاری، سطح سینه کار و زاویه بین آنها



مقادیر پارامترهای ورودی مورد نیاز برای روش QTBM

و نتایج محاسبات برای هر مقطع

۴۴۰		متراژ بزرگ (III)		Gt1	واحد زمین شناسی مهندسی				
صف تا کمی زبر، موجدار	شروع	عدد	متوسط	نتیج	عدد هوازدگی				
۲	رتبه	Jn (J _n)	۳	رتبه	Ja' (J _{a'})				
نیازی شیف چند بار تکرار می شود	فاکتور کاهش	شروع	غاری خشک	شروع	شاخن آب				
۱۰	رتبه	TSF (SRF)	۱	رتبه	درزه (Jw)				
۴ دسته درزه+تصادفی	عدد دسته	شروع	تاخین کیفی توده سنگ در حیث حفر توتل (%)						
۱۵	رتبه	Jn (J _n)	۲۵	مقاومت فشاری سنگ (Gc) MPa (150)					
۴۶	قطع حفاری (m)	۲۰	شاخن بار نقله ای Mpa (150)						
۱۲	(m) F		چگالی سنگ (γgr/cm ³)						
۱۲.۵	درصد تخلخل (n) (%)	۲۵	شاخن سمعه نفعه CLI						
۱۵	درصد کوارتز (q) (%)	۲۵	سوپس ارتفاع رویاره (m)						
۱	(K) نسبت نسب افت اتم حسونی	۲۰۰	تست اولانه I						
۰.۱۶۷	Q مقادیر	-۰.۴۲	زاویه سطح نایوسی بحرانی با سطح تند کار (β)						
۵۱۶۹	اندازه		نا متناسب برای حفاری						
طول صیر (III)									
تست مهندسی دیواره توتل (Gt) MPa									
$Q_0 = 0.111111111$									
$SIGMA_{Chm} = ۴.۱۸۲۷۸۸۷۲۲۳$									
$SIGMA_{Am} = ۰$									
$SIGMA = ۴.۱۸۲۷۸۸۷۲۲۳$									
$OTBM = ۴.۷۹۷۲۲۵۲۹۷$									
$m = -0.425372549$									
$U(\%) = ۲.۸۸۲۲۳۸۴۳۵۳$									
سرعت تعهد (مترب ساعت) = ۳.۶۵۴۰۱۴									
سرعت نیزدی (مترب ساعت) = ۰.۱۰۵۳۲۳									
سریعی (hr/Day) = ۲.۱۰۶۴۵۴									

واحد زمین سنجی مهندسی	Cz	مترار تاول (III) از	۴۴۰	۵۶۰
عدد	زیاد	شرخ	حیقلی، مسطح	صفر
رتبه	۴	رتبه	۰.۵	رتبه
مدد هوازدگی	زیاد	شرخ	حیقلی، مسطح	صفر
رتبه	(Ja')	رتبه	(JF)	رتبه
ساختن آب	جریان زیاد	شرخ	فشار ناشی از محاله شویندگی زیاد	صفر
درزهای (JW)	۰.۵	رتبه	۱۵	رتبه
ساختن کیفیت سک در جیبت خود	۱۵	شرخ	سنگ خرد شده	مدد دسته
توغل (%)	RQD (%)	۱۵	۲۰	رتبه (Ja)
مقاومت فشاری سک	۱۵	MPa(GC)	قطر خارجی (mm)	۴۶
شاخن تار نقطه ای (G50)	۱۲	Mpa	تبروی والتن	m
بارگذاری سک (q) (kg/cm ²)	۲۶	q	درصد بدل (%)	۱۲.۵
شاخن متر دیغ CLT	۱۵	mm	درصد کوارتز (%)	۵
بیوپلاستیک رویاره (III)	۳۰۰	mm	سنتیت (K) به صورتی	۱
شب اولیه (III)	-۰.۸	mm	Q ₀	-۰.۰۰۳
زاویه سطح نایوسنگی بحرانی با سطح سد (β)	۹۰	شرخ	۱۲۰	شرخ سسرا (III)
تا مناسب برای حفاری			۱۵.۶ = MPa (G)	تنش مهندسی رویاره توغل (G)
			Q ₀ = -۰.۳۱۲۵	
			SIGMAcm = ۱.۰۰۹۸۵.۵۶۴	
			SIGMATm = *	
			SIGMA = ۱.۰۰۹۸۵.۵۶۴	
			OTBM = -۰.۲۷۱۳۹۲۵۸	
			m = -۰.۷۸۳۷۷۴۷۸۵۴	
			U(%) = -۰.۱۳۵۸۹۲۵۳	
			سرعت پیوی (متر ساعت) = ۱۰.۲۸۶.۹	
			سرعت پیوی (متر ساعت) = -۰.۰۰۱۳۹۸	
			پیش روی دوران (yr/hr/Day) = -۰.۰۲۷۹۵۶	

۲۲۳۰	۵۶۰	مترا مکعب (m³)	Gta1	واحد زیمن شناسی مینیمیس
تabel ۱				
صف تا کمی زیر، موجدار	تیرخ	محدوده (Jm)	متوسط	محدوده مواردیگی
۲	زیست	Jm (Jm)	۳	زیست (Ja')
ناخن خمید چند بار تکرار من شوند	تیرخ	فاکتور تاکت	حفاری خنک	ناخن اب
۱۰	زیست	SRI	۱	دروده (Jw)
۴ دسته درزه+تصادفی	تیرخ	محدوده	شاخن آبی بوده سیک در حیث سیک	۲۵
۱۵	زیست	Jm	ROD (%)	دولا
۴۶	(cm)	قطع علایق	۳۰	مقاومت فشاری سک (MPa(GC))
۱۲	tmf (F)	تزویی این		شاخن با نقطه ای (I50) Mpa
۱۲۵	(II) (%)	درصد پالپ (%)	۲۶	جکالی (gr/cm²)
۱۵	Q	٪ حمل مواردی (%)	۲۵	شاخن متریک CLI
۱	/K	٪ بتن این یعنی ۱۰۰٪ بتنی	۲۰۰	متوسط ارتفاع ریباره (III)
۰.۱۶۷	Q	عذار	-۰.۴۲	شب اویله (III)
۵۱.۶۹	اطاری	راویده سطح نایپوتگن بخاری با سطح سفت کار (%)		
تا مناسب برای حفاری	مشخص			
تabel ۲				
۱۶۷۰	طول سیر (III)			
۱۰۰	تشریفاتی ۵ باره تول (MPa (G))			
Q₀ =	۰.۱۱۱۱۱۱۱۱			
SIGMAcm =	۴.۱۸۳۷۸۸۷۲۲۲			
SIGMARm =	*			
SIGMA =	۴.۱۸۳۷۸۸۷۲۲۲			
QTBM =	۴.۷۹۷۷۲۲۵۲۹۷			
III =	-۰.۴۲۵۲۷۷۳۵۴۹			
I (۳۶) =	۱.۷۳۸۰۵۴۶۳۸			
سرعت بودجه سیر سافت =	۳.۶۵۴.۱۴			
سرعت بودجه سیر سخت =	۰.۰۴۹۲۳۹			
تزویی روزانه (تغیر شمات) =	۰.۷۸۴۷۷۶			
تزویی روزانه (T-hr/Day) =	-			

۲۲۸۰

۲۲۳۰

(III)

مسار تولی (III)

Cz

واحد دینی سپاهی پیشگیری

صیقلی، مسطح	متر	متر	زیاد	متر	عدد موادی
۰.۵	روند	زبری (Jr)	۴	روند	(Ja)
فشار ناشی از مجهله متونگی زید	تقریب	فاکتور کاهش	جریان زیاد	تقریب	شاخص آب
۱۵	روند	تست (SRF)	۰.۵	روند	دزه (Jw)
سگ خرد شده	تقریب	عدد دیگر	۱۵	تقریب	شاخص گیفی بوده سک درجهت حری
۲۰	روند	دزه (Jn)			بول (%) RODo
۴۶	(III)		۱۵		مقاومت فشاری سک (MPa(GC))
۱۲	(II)	بروی و لین			شاخص بار نقطه ای (I50) Mpa
۱۲۵	(II) (%)	درصد نتایل	۲۶		نگالی سک (γgr/cm²)
۵	(q) (%)	دزه صد کوارتز	۱۵		شاخص عرضیتde CLI
۱	(K)	سبت کشت افتی هدی	۳۰۰		متوسط ارتفاع روبازه (III)
۰.۰۰۳	Q	بعدار	-۰.۸		نسب اولیه (III)
۹۰	اندازه				زاویه سطح نایوسنگی بحرانی ها سطح سست کار (β°)
نا متناسب برای حفاری	تقریب				

طول مسیر (m)

تسن میانی دیواره بول (MPa(GC))

 $Q_0 = -0.2125$ $SIGMA_{\text{cm}} = 1.009850564$ $SIGMA_{\text{tm}} = *$ $SIGMA = 1.009850564$ $QTBM = -0.27139258$ $m = -0.783747854$ $I(%) = -0.324465979$

سرعت نفوذ (مترا ساعت)

سرعت ایروزی (متر ساعت)

رسروی روزان (m-hr/Day)

۲۸۰۰	۲۲۸۰	ستاره‌زنی (III)	Gta2	واحد و مین متری میکروسی
کمی زیر، مسطح	تیرخ	عدد	اندک تا متوسط	تیرخ
۱	رتبه	زیری (Jr)	۲	رقبه (Ja)
فشار ناتی از مجله شوندنی ملائم	تیرخ	فاکتور کاهش	جریان متوسط	تیرخ
۷.۵	رقبه	تیس (SRF)	.۶۶	رتبه درزه (Jw)
۳دسته درزه	تیرخ	عدد دسته	۵۰	شاخص کیفی بوده سگ در حب خفر
۹	رتبه	درزه (Jn)		RQD _o (%)
۴۶	ستاره عماری (III)	۷۵	MPa (σc)	مقامت ستاری سگ
۱۵	نیروی راست (F)		Mpa (150)	شاخص باز تقطه ای
۷۵	درصد تخلخل (%) (D)	۲.۶	(γ)gr/cm ³	چگالی سگ
۱۵	درصد کوارٹا (%) (Q)	۲۵	CLI	شاخص خرس تبغه
۱	نسبت بتن افنت به خمودی (K)	۲۵۰		متوسط ارتفاع رویاره (III)
۰.۹۸	مقدار Q	-۰.۲	III	شت اویله
۸۸.۱۴	زاویه سطح نایپوتکی بحرانی با سطح سند کار (β)			
نا مناسب برای حفاری	تیز			
۵۲۰	طول پیشی (III)			
۱۸.۲	MPa (σ _b)			
	تیز میانی سیاره تبل (G)			
	$Q_0 = ۰.۲۴۴۴۴۴۴۴۴$			
	SIGMA _{Acem} = ۷.۳۸۵۱۱۲۳۲۴			
	SIGMA _{Am} = *			
	SIGMA = ۷.۳۸۵۱۱۲۳۲۴			
	QTBM = ۲.۵۰۰۶۳۹۱۰۴			
	m = -۰.۱۹۷۴۵۰۷۲۲			
	$U(\%) = ۲۹.۹۸۹۹۱۲۷۷$			
۳.۸۹۱۷۱۱	سرعت نفوذ (تیر ساعت)			
۱.۱۶۷۱۲	سرعت نسبتی (تیر ساعت)			
۲۲.۳۴۲۴۱	دسترسی روزانه (g/hr/Day)			

۳۰۶۰		۲۸۰۰		سازنده (III)		Cz		وائدهای مهندسی	
صیقلی، مسطح	تیر	تیر	تیر	عدد	زیاد	زیاد	تیر	عدد هوازدگی	
۰.۵	رتبه	۰.۵	رتبه	زیاد (Jr)	۴	۴	رتبه	(Ja)	
فشار ناتی از مجاله سوتگی زیاد	تیر	فاکتور گاهی	تیر	جریان زیاد	تیر	تاخین آب	تیر		
۱۵	رتبه	۱۵	رتبه	تیش (SRF)	۰.۵	درزه (Jw)	رتبه		
سنگ خرد شده	تیر	تیر	تیر	عدد دسته	۱۵	تاخین گیفی توده سنگ در جبهت خبر	تیر	RQD (%)	
۲۰	رتبه	۲۰	رتبه	درزه (Jn)					
۴۶		۴۶		قطر حفاری (m)	۱۵	مقاومت فشاری سنگ (MPa (OC))			
۱۲		۱۲		دبروی رانش (F)		تاخین باز نقطه ای (f50) (Mpa)			
۱۲.۵		۱۲.۵		درصد بخلع (n) (%)	۲.۶	جگال سنگ (γgr/cm³)			
۵		۵		درصد کوارتز (q) (%)	۱۵	ساختار غیر نسبت (CLI)			
۱		۱		سنت تیش افقی به عمدی (K)	۳۰۰	متوسط ارتفاع رویاره (H)			
۰.۰۰۳		۰.۰۰۳		مقدار O	-۰.۸	سنت اولیه (m)			
۹۰		۹۰		تاره		زاویه سطح نایپوستگی بحرانی ناسطح سنت کار (β)			
نا متاب براي حفاری		تیر							
۲۶۰ = (m)		تیش مقابضه حبورا (f50) (MPa)							
۱۵.۶		= ۱۰۰۳۱۲۵							
SIGMAcm = ۱.۰۰۹۸۵۰۵۶۴									
SIGMAtm = *									
SIGMA = ۱.۰۰۹۸۵۰۵۶۴									
QTBM = ۰.۰۲۷۱۳۹۲۵۸									
m = -۰.۷۸۳۷۴۷۸۵۴									
U(%) = +۰.۰۰۸۲۴۵۳۱									
ضرعات بقوه ابتدا (t) = ۱۰.۲۸۶۰۹									
ضرعات بسته ابتدا (t) = ۸.۴۸E-۰۵									
ضرعه روزانه (t) = ۰.۰۰۱۶۹۶									

واحد رعایت شناسی مبتدی		Gta2	سازار تول (m)	تا ۳۰۶۰	۲۸۴۵		
کمی زیر، مسطح	تیر	اعداد	اندک تا متوسط	تیر	عدد هوارزدگی (Ja ¹)		
۱	رتبه	ردیفی (Jr ¹)	۲	رتبه	ردیفه (Ja ¹)		
فشار ناتی از مجله توننگی ملائم	تیر	فاکتور گاهش (SRF)	جریان متوسط	تیر	شاخص آب درزه (Jw)		
۷.۵	رتبه	تیر	۰.۶۶	رتبه			
آدسته درزه	تیر	عدد دسته (Jn)	۵۰	شاخص کفی بوده سک در جهت حفر			
۹	رتبه	دوره (Jn)		RQD (%)			
۴۶	قطر حفاری (III)		۷۵	مقاومت فشاری سک (MPa/σc)			
۱۵	بروی رانی (E)			شاخص فشار نشانه ای (150) Mpa			
۷.۵	درصد مسلح (II) (%)		۲.۹	چگال سک (Vgr/cm ³)			
۱۵	درصد کوارتز (q) (%)		۲۵	شاخص عمر بند CLI			
۱	مستويات افقی و عمودی (K)		۲۵۰	متوسط ارتفاع رویاره (III)			
۰.۹۸	مقدار Q		-۰.۲	ثبت اویله (III)			
۸۸.۱۴	اندازه			زاویه اسطح نایپوسکی برخانی با سطح ثابت (θ)			
نا متناسب برای حفاری	تیر						
۷۸۵ = (III)							
۱۸.۲ = MPa (G0)							
Q₀ = +.۲۲۴۴۴۴۴۴۴۴							
SIGMAcm = ۷.۳۸۵۱۱۳۳۲۴							
SIGMAfm = *							
SIGMA = ۷.۳۸۵۱۱۳۳۲۴							
QTBm = ۲۵۰۰۶۳۹۱۰۴							
m = -۰.۱۹۷۴۵۰۷۲۲							
U(%) = ۲۷.۰۹۹۷۱۰.۵							
سرعت نفوذ (ترب شافت) = ۳.۸۹۱۷۱۱							
سرعت انتشاری اتصالات = ۱.۰۵۴۶۵۲							
دسترسی (hr/Day) = ۲۱.۰۹۳۰۵							

واحد رسمی نتایج معین	Cz	سازو تابع (m)	۳۸۴۵	۳۸۹۵
عدد هوازدگی	زیاد	کسر	کسر	صیقلی، مسطح
(Ja')	۴	زیاد	کسر	۰.۵
شاخص آب	درجه (Jw)	کسر	کسر	خشار ناتی از مجاله شوندگی زیاد
RQD (%)	۰.۵	کسر	کسر	سنگ خرد شده
مقاومت تشاری سک	۱۵	کسر	کسر	قطر خارجی (mm)
Mpa (150)	۱۲	کسر	کسر	بروی رانس (F)
جگالی سک (gr/cm²)	۱۲۵	کسر	کسر	درصد تخل (n) (%)
شاخص عمر بند	۱۵	کسر	کسر	درصد کوارت (q) (%)
متوسط ارتفاع روتاژ (H)	۳۰۰	کسر	کسر	نسبت نسب اتفاقی به عرضی (K)
متلب اولیه	-۰.۸	کسر	کسر	مقدار Q
زاویه سطح نایپوستگی بحرانی با سطح سنته کار (β°)	۹۰	کسر	کسر	نا متناسب برای حفاری
طول متری (m)= ۱۵.۶ = MPa (G0)				
Q0= ۰.۰۰۳۱۲۵				
SIGMAcm= ۱.۰۰۹۸۵۰۵۶۴				
SIGMAfm= *				
SIGMA= ۱.۰۰۹۸۵۰۵۶۴				
QTBM= ۰.۰۲۷۱۳۹۲۵۸				
m= -۰.۷۸۳۷۴۷۸۵۴				
Q(%)= ۰.۳۲۴۴۶۵۹۷۹				
موضع ایجاد (سینه ساعت)= ۱۰.۲۸۶۰۹				
مساحت نیزی (سینه ساعت)= ۰.۳۲۲۷۵				
بسیروی روزان (1 hr/Day)= ۰.۶۶۷۴۹۷				

۴۴۲۲		۳۸۹۵		سرازیری (m)		Gta ۲		واحد رسمی ستاری سنتزی	
توضیحات									
کمی زیر، مسطح	شرح	عدد		اندک تا متوسط	شرح	عدد	عدد هواردگی		
۱	رتبه	(Jn ¹)		۲	رتبه	(Ja ¹)			
فشار ناتی از مجده سوندگی علایم	شرح	فاکتور کاهشی		جریان متوسط	شرح		شاخص آب		
۷.۵	رتبه	ست (SRF)		.۶۶	رتبه		درجه (Jw)		
۳ دسته درزه	شرح	عدد دسته		۰			شاخص کیفی بوده سگ در جهت حر		
۹	رتبه	(Jn ²)					توتل (%)		
۴۶		قطع حفاری (III)		۷۵			مقاومت فشاری سنگ (MPa(GC))		
۱۵		تمدیدی رانی					شاخص تار نقله ای (I50) Mpa		
۷.۵		درصد بدل (%)		۲.۶			چگالی سگ (gr/cm ³)		
۱۵		درصد کوارتز (%)		۲۵			شاخص عمر تبعه		
۱		سبت سین افتاده غصی (K)		۲۵۰			متوسط ارتفاع روزاره (m)		
۰.۹۸		متدار (Q)		-۰.۲			سبت اولیه I		
۸۸.۱۴	کتابخانه						راوید سطح نایپوستگی تحریانی با سطح سبت کار (P)		
نا مناسب برای حفاری شرح									
جدول مسیر (m)									
۱۸.۲ = MPa (G)									
Q ₀ = .۲۲۴۴۴۴۴۴									
SIGMA _{cm} = ۷.۳۸۵۱۱۳۳۲۴									
SIGMA _{fm} = *									
SIGMA = ۷.۳۸۵۱۱۳۳۲۴									
QTBM = ۳۵۰۰۶۳۹۱۰۴									
m = -۰.۱۹۷۴۸۰۷۳۲									
U(%) = ۲۹.۱۹۱۴۱۲۸۴									
۳.۸۹۱۷۱۱ = سرعت نیروهای سفرنگی (m/s)									
۱.۱۶۳۲۸۷ = سرعت نیترات (مسدۀ ساعت)									
۲۳.۲۶۵۷۵ = سریعی روزانه (U·hr/Day)									

واحد زمین شناسی مهندسی

۴۵۸۰

۵

۴۴۲۲

صرار تول (m)

Gta ۲

کمی زبر، مسطح	تیر	عدد	اندک تا متوسط	تیر	عدد هواردگی
۱	روزنه	Jr	۲	روزنه	Ja'
فشار ناتی از مجاهه شوندگی ملایم	تیر	فاکتور کامپرس	جریان متوسط	تیر	شاخص آب
۷.۵	روزنه	TSF	۰.۶۶	روزنه	درزه (Jw)
۳دسته درزه	تیر	عدد دسته	۵۰	شاخص کیفی بوده سک در جهت حریز	RQD _a (%)
۹	روزنه	JIII			
۴۶	(iii)	قطوه خاری (iii)	۷۵	مقاومت فشاری سک (MPa(GC))	
۱۵	m _f (T)	سیبروی راسی			شاخص بار نقله ای (Mpa (ISO))
۷.۵	(ii) (%)	درصد متعجل	۲.۶		چگالی سک (g/cm ³)
۱۵	(q) (%)	درصد کوارتز	۲۵		شاخص عمر تندی CLI
۱	(k)	سبت سن اتفاق به عوادی	۲۵۰		متوجه ارتفاع رویاره (m)
۰.۹۸	Q	متدار	-۰.۲		شیب اولیه (m)
۷۹.۸۷	نکاره				
نا مناسب برای حفاری	معنی				
زاویه سطح تابیوسنگی بحرانی با سطح سیمه کار (β _c)					

۱۵۸ - طبقه ششم (m)

۱۸.۲ = $\sigma_{\text{III}} \text{ ماسی دلیانه تول (G9)} (\text{MPa})$

$$Q_o = ۰.۲۴۴۴۴۴۴۴$$

$$\text{SIGMA}_{\text{cm}} = ۷.۲۸۵۱۱۳۳۲۴$$

$$\text{SIGMA}_{\text{tm}} = ۰$$

$$\text{SIGMA} = ۷.۲۸۵۱۱۳۳۲۴$$

$$Q_{\text{IBM}} = ۳.۵۰۰۶۳۹۱۰۴$$

$$m = -0.1974507722$$

$$U(\%) = ۴۰.۲۰۲۹۲۰۴۹$$

$$\text{سرعت نفوذ (ت در ثانی)} = ۳.۸۹۱۷۱$$

$$\text{سرعت پیشروی (متر در ثانی)} = ۱.۵۶۴۵۸۱$$

$$\text{بسیروی روزانه (m/hr/day)} = ۲۱.۲۹۱۶۳$$

۴۸۰۰	۴۵۸۰	مقدار بولن (III)	Cz	واحد رعنین متناسب مهندسی			
تقریبی مقدار ارزش‌های مهندسی							
صیقلی، مسطح	ترجع	عدد	زیاد	ترجع			
۰.۵	رتبه	دربی (J _r)	۴	رتبه			
فشار ناشی از مجاله سینه‌گی زیاد	ترجع	فاسیور کاوش	جریان زیاد	شاخن آب			
۱۵	رتبه	ترجع (SRF)	۰.۵	درزه (J _w)			
سنگ خرد شده	ترجع	عدد دسته	۱۵	شاخن گلی توده سک در جهت حفر			
۲۰	رتبه	دربزد (J _n)	RQD _o (%)				
۴۶	قطعه عماری (m)		۱۵	مقاومت فشاری بسته			
۱۲	بروکی رالس (E)		Mpa (150)				
۱۲.۵	درصد تخلخل (n) (%)		۲.۶	چگالی سک (γ/cm ³)			
۵	درصد کوارتز (q) (%)		۱۵	شاخن عمرانی CLI			
۱	تسبیت گذشت افقی به عمقی (K)		۳۰۰	متراپل ارتفاع رویاده (H)			
۰.۰۰۳	مقدار Q		--.۸	شب اویله (m)			
۹۰	اندازه	طول سطح (m)					
زاویه سطح ناپیوستی بحرانی، دا سطح صفتگار (β)							
نا متناسب برای حفاری							
تقریبی ارزش دیواره بولن (III)							
۲۲۰ = (m)							
۱۵.۶ = MPa (G0)							
Q ₀ = ۰.۰۰۳۱۲۵							
SIGMA _{Arm} = ۱.۰۰۹۸۵۰۵۶۴							
SIGMA _{Am} = *							
SIGMA = ۱.۰۰۹۸۵۰۵۶۴							
QTBM = ۰.۰۲۷۱۳۹۲۵۸							
m = -۰.۷۸۳۷۷۴۷۸۵۴							
U(%) = ۰.۰۱۵۱۰۵۹۴							
ضریب مقاومت (ضریب انتقال) = ۱۰.۲۸۶۰۹							
ضریب انتقال (ضریب انتقال) = ۰.۰۰۰۱۰۵۵							
پیشرفت روی (پیشرفت) = ۰.۰۰۰۳۱۰۸							

۵۲۰۷		۴۸۰۰		از		متراژ مول (m)	Gta ^۳	واحد رمی توانی سهندسی
کمی زبرتا زبر، موجدار	تیرخ	عدد	اندک	تیرخ	عدد هوازدگی			
۲	رتبه	زبری (J _r)	۱	رتبه	(J _{a'})			
فشار ناتی از مجله شوندگی ملائم	تیرخ	فاکتور کائس	جریان متوسط	تیرخ	شاخص آب			
۷.۵	رتبه	(SRF)	۰.۶۶	رتبه	(J _w)			
آردسته درزه	تیرخ	عدد آردسته	۷۰	تیرخ	شاخص کیفی توده سنگ در جهت حفر			
۹	رتبه	درزه (J _n)			RQD _o (%)			
۴۶		ضریب حرارتی (III)	۱۰۰		مقاومت فشاری سنگ (MPa(GC))			
۲۰		ضریب رانس (R)			شاخص بار نظره ای (Mpa (150))			
۷.۵		درصد تخلخل (n) (%)	۲.۶		چگالی سی (γ/cm ³)			
۱۵		ضریب کوارتز (q) (%)	۲۵		شاخص عمر بند (CLL)			
۱		پرسن سین افیل (K)	۲۵۰		نمودار ارتفاع رویاره (m)			
۲.۰۵		Q _۰ امقدار	-۰.۱۹		ثبت اولیه (m)			
۶۲.۲۳	امداده							
نا متناسب برای حفاری	تیرخ							
زاویه سطح نایپوستگی بحرانی با سطح استسکنار (β)								
۴۰۷ = طول میسر (m)								
۱۸.۲ = MPa (G) (Göbel مول)								
Q _۰ = ۱.۳۶۸۸۸۸۸۸۹								
SIGMA _{Acin} = ۱۸.۴۳۴۴۲۲۶۸								
SIGMA _{Am} = *								
SIGMA _{Al} = ۱۸.۴۳۴۴۲۲۶۸								
QTBM = ۲.۱۵۷۶۹۵۹۹۴								
m = -۰.۱۸۷۵۷۸۱۹۶								
Q(%) = ۳۴.۹۴۹۴۲۰.۳۶								
سرعت بعد (متر ساعت)								
۱.۴۹۸۳۳۷ = سرعت پیشگیری (متر ساعت)								
۲۹.۹۶۶۷۴ = دسترسی (m/h/Day)								

واحد رعین توانی مهندسی						
۶۰۰۰	۵۲۰۷	از	مترا مکعب (m³)	Gta³		
کمی زبرتا زیر، موجدار	سرعت	عدد	اندک	سرعت	عدد هوازدگی	
۲	در ثانی (J _s)	۱	وقتی (J _{a'})			
فشار ناتی از مجله شوندگی علایم	سرعت	فائزور کاهش	جریان متوسط	سرعت	شاخص آب	
۷.۵	در ثانی (SRF)	۰.۶۶	در ثانی (J _w)		درزه	
آردسته درزه	سرعت	آردسته	۷۰	شاخص کنیت نوده سک در حیث حفر		
۹	وقتی (J _n)			RQD ₀ (%)		
۴۶	تنش خارجی (m)	۱۰۰		مقاومت فشاری سک (MPa(GC))		
۲۰	تنش راستی (R)			شاخص بار نقطه ای (Mpa (150))		
۷.۵	در حد مطلع (H) (%)	۲.۶		چگالی سک (γgr/cm³)		
۱۵	در صفت کوارتز (%) (%)	۲۵		شاخص عمر تبعه CLI		
۱	تست فتن افتاده حسنه (K)	۲۵۰		نمودار ارتفاع رویاره (m)		
۲۰.۵	Q مقدار	-۰.۱۹		نسبت اولت (m)		
۷۳.۶۴	لتر			زاویه سطح نایپوستنی بحرانی با سطح سینه کار (β)		
نا متناسب برای حفاری	سرعت					

۷۹۲ = $\text{قطن خوب} (\text{III})$
۱۸.۲ = $\text{تنش مقاومت نیوازه حوتل (G)} (\text{MPa(GC)})$
$Q_0 = 1.368888889$
$SIGMA_{\text{CHI}} = 14.43442268$
$SIGMA_{\text{Am}} = 0$
$SIGMA = 14.43442268$
$OTBM = 2.157695994$
$m = -0.187578196$
$U(\%) = 29.9608567$
$\text{سرعت انعدام (سرعت ساعت)} = ۴.۲۸۷۱۸۲$
$\text{سرعت پیشری (سرعت ساعت)} = ۱.۲۸۴۴۷۷$
$\text{سرعت روزانه (hr/Day)} = ۲۵.۶۸۹۵۳$

۷۲۳۰	۶۰۰۰	سازه‌تیبل (III)	Sts2-1	واحد زمین متناسب می‌باشد
کمی زیر، موجدار	تیرخ	عدد	آندک	عدد هواردگی
۲	رتبه	درجه (Jn)	۱	رتبه (Ja')
تشی بلا، ساختار سیلر محکم	تیرخ	فاکتور کامن	ظرای خشک یا کمترین جریان	شاخص آب
۲	رتبه	پیش (SRF)	۱	درزه (Jw)
آردسته درزه + تصادفی	تیرخ	عدد دسته	شاخص کیفی نوده سگ در جهت حفر	تولل (%) RQD _o
۶	رتبه	درزه (Jn)	۹۰	
۴۶	قطر خارجی (mm)	۱۵۰	MPa (σc)	مقاومت فشاری سگ
۲۵	این (E)	۴.۷	Mpa (L ₅₀)	شاخص بار نقطه‌ای
۱۲۵	درصد بخل (%)	۲.۵۵	(γ) gr/cm ³	چگالی سگ
۲۵	درصد کوارتز (%)	۲۰	CLI	شاخص غیر معنی
۱	پیسی عیش افتی به عمودی (K)	۲۵۰	(III)	متوسط ارتفاع روباه
۱۵	Q مقدار	-۰.۱۶	m	ثبت اولیه
۸۰.۱۲	انداده			
نا متناسب پرای حفاری	تیرخ			
زاویه سطح نایبیستگی بحرانی با سطح نسبت کار (β°)				
۱۲۳۰ = (III)	طول مسیر (m)			
۱۲.۸ = MPa (G)	تست ممانس - بیواره - تول (G)			
Q ₀ = ۱۵				
SIGMA _{Acem} = ۳۵.۹۹۴۶۲۸۱				
SIGMA _{Am} = ۳۳.۱۸۰۷۷۷۶۳				
SIGMA = ۳۵.۹۹۴۶۲۸۱				
OIBM = ۶.۱۵۹۶۷۴۴۳۶				
m = -۰.۱۶۵۹۳۹۱۵				
U(%) = ۳۱.۱۰۹۸۹۶۸۹				
۲.۴۷۸۸۲۹ = سرعت انتشار (متر ساعت)				
۱.۰۸۱۳۲۷ = سرعت پیشرفتی (متر ساعت)				
۲۱.۶۲۶۵۴ = پیشروی روزانه (m-hr/Day)				

واحد رمیں سطحی میڈیسی						
7850	ل	7230	ل	مسار تول (m)	Stsl	
صف، مسطح	تیرج	عدد		هوائی دہ	تیرج	عدد هوای دگی
1	رتبہ	درزی (Jn)		0.75	رتبہ	(Ja')
نواحی خوبی منفرد (عین = ۵۰)	تیرج	فائزور کا عیش		جریان زیاد یا فشار بالا	تیرج	شاخص آب
2.5	رتبہ	رس (SRF)		0.33	رتبہ	درزہ (Jw)
آدستہ درزہ	تیرج	عدد دستہ		شاخص کیفیت توده سٹک در جہا حفر		
9	رتبہ	درزہ (Jn)		70		RQD (%)
46	ل	مسار خواری (m)		120	MPa (σc)	مقاومت قصاری سٹک
20	ل	پیوی رانس (E)			MPa (150)	شاخص بار نقطہ ای
2.5	ل	درصد چھٹا (n) (%)		2.6	N/mm²/cm (γ)	چکالی سٹک
25	ل	درصد کوارٹا (q) (%)		20	CLT	شاخص عمر تند
1	ل	تستہ تنشی اضافی نہ حسوسی (K)		150	(III)	متوسط ارتفاع روناہ
1.03	ل	مقدار Q		-0.2	III	تیب اولہ (I)
82.45	ل	راویہ سطح نابوتی بحرانی با سطح سند کار (β)				
نا متناسب برای حفاری	تیرج					
620 = طول میٹر (m)						
7.8 = MPa (σt) (60)						
$Q_0 = 1.3688888889$						
SIGMAcm = 15.33886295						
SIGMAfm = *						
SIGMA = 15.33886295						
QTBM = 1.364817939						
m = -0.202193149						
U(%) = 29.01379673						
4.698455 = سرعت نیوی (cm/min ساعت)						
1.3632 = سرعت نیوی (cm/min ساعت)						
27.264 = سرعت نیوی (cm/hr/Day) (cm/min ساعت)						

واحد زمین شناسی مهندسی
Tsh-1
هزار بیتال (III)
از
۷۸۵۰
۸۲۱۰

صف، مسطح	ترح	عدد	هوایزد	ترح	عدد هوایزدگی
۱	رتبه	رتبه	۰.۷۵	رتبه	(Jz')
نوحی ضعیف چند بار تکرار می شوند	فاکتور کاهشی	ترح	جريان متوسط	ترح	شاخص آب
۱۰	رتبه	ترح (SRF)	۰.۶۶	رتبه	درزه (Jw)
آردسته درزه + تصادفی	شرح	عدد دسته	۵۰	شاخص کافی بوده سک در حجم سک	RQD _o (%)
۱۲	رتبه	درزه (Jn)			
۴۶	قطر حفاری (m)		۵۰	مقاومت فشاری سک (MPa (σc))	
۱۵	بروی ریز (mm)			شاخص بار بسطه ای (σ ₀)	MPa
۵	درصد خال (n) (%)		۲.۶	حال سک	γ gr/cm ³
۲۵	درصد کاربر (n) (%)		۴۵	شاخص عمر بعد	CLL
۱	سبت سنت افیت به عصبی (K)		۱۵۰	توسط ارتفاع دوباره	(m)
۰.۱۲۸	Q مقدار		-۰.۴۴	شت اولیه	m
۸۹.۰۲	لذام			زاویه سطح نایپوسکی بحرانی با سطح سبک کار (β)	
نا متناسب برای حفاری	ترجی				

۸۶۰ = طول مستقر (m)
ترجی مقابس دواره توبل (G) = MPa

$$Q_0 = ۰.۳۶۶۶۶۶۶۷$$

$$\Sigma \text{GMA} = ۷.۲۸۵۱۱۲۲۲۴$$

$$\Sigma \text{GMA} = *$$

$$\Sigma \text{GMA} = ۷.۲۸۵۱۱۲۲۲۴$$

$$\Sigma \text{GMA} = ۷.۰۸۳۷۱۳۷۵۲$$

$$m = -۰.۴۱۰۱۷۶۵۸۶$$

$$U(95) = ۲.۵۱۷۷۷۷۷۴۹۳$$

$$\text{سرعت نفوذ (سانتی متر/ ساعت)} = ۴.۲۱۷۲۰۲$$

$$\text{سرعت پیشروی (سانتی متر/ ساعت)} = ۰.۱۰۸۶۹۸$$

$$\text{سریروی دوران (hr/Day)} = ۲.۱۷۳۹۵۱$$

۹۰۸۴	۸۷۱۰	مسار آر تیل (III)	Sts2-2	واحد زمین سازی مهندسی
کمی زبر، مو glands	تیرخ	عدد	اندک	تیرخ
۲	رتبه	وزنی (J _{rl})	۱	رتبه
تشخیص پلاس ساختار بسیار محکم	تیرخ	فاسکوئر کافش	حضور خشک یا کمترین جریان	تیرخ
۲	رتبه	تیرخ (SRF)	۱	رتبه
آردسته درزه + تصادفی	تیرخ	عدد دسته	تاخض کیمی توده سنگ در جهت حرفر	تاخض کیمی توده سنگ در جهت حرفر
۶	رتبه	درزه (J _{rn})	۹۰	RQD _o (%)
۴۶	قطع حفاری (III)	۱۵۰	مقاومت فشاری سنگ (σ _c)	Mpa
۲۵	تزوی رانس (E)	۴.۷	تاخض باز نقطه ای (150)	Mpa
۱۲.۵	درصد بخلخل (γ%)	۲.۵۵	سکالی سنگ (γ) gr/cm ³	
۲۵	درصد کوارتز (Q) (%)	۳۰	تاخض سیل تجهیز	
۱	تیرخ افقی، عرضی (K)	۲۵۰	توضیح ارتفاع رویاره (m)	
۱۵	متدار Q	-۰.۱۶	تیرخ اوله (m)	
۸۴.۹۲	اندازه		زاویه سطح نایپوسکی بحرانی با سطح سینه کار (β)	
نا متناسب برای حفاری	تیرخ			
۳۷۴	(m)	مدل مستقر		
۱۲.۸	Mpa	تیرخ مذابی دروازه تیل (σ _b)		
Q _o = ۱۵				
SIGMA _{CH} = ۲۵.۹۹۴۶۲۸۱				
SIGMA _{Atm} = ۲۳.۱۸-۷۷۷۶۳				
SIGMA _A = ۲۵.۹۹۴۶۲۸۱				
OTBM = ۶.۱۵۹۶۷۴۴۳۶				
m = -۰.۱۶۵۹۳۹۱۵				
U (%) = ۳۹.۴۲۴۳-۸۹۲				
۳.۴۷۸۸۲۹	=	تیرخ افقی (تیرخ تیرخ ساخت)		
۱.۳۷-۳۲۲	=	تیرخ بسته (تیرخ تیرخ ساخت)		
۲۷.۴-۶۴۳	=	تیرخ روزانه (t·hr/Day)		

واحد رمین میلی متری	Sts2-2	متراژ تول (III) آن	۹۰۸۴	۹۸۸۵
عدد هوازدگی	شرخ	آندک	عدد	کمی زبر، موجدار
رتبه	(J _a)	۱	رتبه	۲
شرخ	حضاری خشک یا کمترین جریان	تراویح	فاکتور کاهش	تراویح
رتبه	درزه (J _w)	۱	ستن (SRF)	تنش بلا ، ساختار بسیار محکم
تراویح	تراویح	۹۰	تراویح	آددسته درزه + تصادفی
رتبه	درزه (J _w)	۹۰	تراویح	مقاومت کناری سنج در حفظ حفر
مpa (OC)	۱۵۰	۱۵۰	مpa (150)	مقاومت کناری (III)
مpa	۴.۷	۴.۷	مpa	شاخن بار نقطه ای
g/gr/cm ²	۲.۵۵	۲.۵۵	g/gr/cm ²	جگالی سنج (%)
CLI	۳۰	۳۰	CLI	شاخن حفر نیمه
(III)	۲۵۰	۲۵۰	(III)	موسم ارتفاع روباه
III	-۰.۱۶	-۰.۱۶	III	سمت اوله
زاویه سطح نایپوستی بحرانی با سطح مبنیه کار (θ)	شرخ	شرخ	اندامه	۸۰.۳۵
نا متناسب برای حفاری				
۸.۱ - (III) طبل عالمبر				
۱۲.۸ = Mpa (50) تنش مسامی روباه تول (III)				
Q ₀ = ۱۵				
SIGMAcm = ۳۵.۹۹۴۶۲۸۱				
SIGMArm = ۲۳.۱۸۰۷۷۷۶۳				
SIGMA = ۳۵.۹۹۴۶۲۸۱				
Q IBM = ۶.۱۵۹۶۷۴۴۳۶				
m = -۰.۱۶۵۹۳۹۱۵				
U(%) = ۳۳.۸۸۱۱۴۸۰۱				
۳.۴۷۵۸۲۹ = سرعت پیوند سوزن راسان				
۱.۱۷۷۶۵۱ = سمت دیستروی ریزون (امت)				
۲۲.۵۵۳۰۲ = دشتروی وزارت (۱.۰ hr/Dm ³)				

واحد زیین	نام	ردیف	ردیف	ردیف	ردیف	ردیف
۱۰۰۱۰	۹۸۸۵	(iii)	هزار تولی	Sts2-2		
کمی زبر، موجدار	شرح	عدد	اندک	شرح	عدد هوازدگی	
۲	رنده	زبری (Jz)	۱	رنده	(Ja ¹)	
تشش بالا ، ساختار پسیلر محکم	شرح	فاکتور کاهش	حداری خشک یا کمترین جریان	شرح	شاخص آت	
۲	رنده	رس (SRF)	۱	رنده	درجه (Jw)	
آدمسته درزه + تصادفی	شرح	عدد آدمسته	۹۰	شاخص کلی توده سک در جهات حرفر	RQD _o (%)	
۶	رنده	Jn _o				
۴۶	خط خواری (III)		۱۵۰	Mpa (σc)	مقاومت قصاری سک	
۲۵	بروی راس (E)		۴.۷	Mpa (f ₅₀)	شاخص بار نطفه ای	
۱۲۵	دورندیختال (II) (%)		۲.۵۵	kg/cm ² (γgr/cm ²)	چکالی سک	
۲۵	دورصد خواری (I) (%)		۲۰	CLI	شاخص غیر تبعه	
۱	تسبیت رس (آلتی یا عمودی) (L)		۲۵۰	(M)	موسط ارتفاع (روزنه)	
۱۵	مقدار Q		-۰.۱۶	m ₁	نسب اولیه	
۷۵.۷۶	اندازه				زاویه سطح نایپوسکی حرارتی با سطح سبک کار (β)	
نا متناسب برای حفاری	شرح					

١٢٥	= طول سطح (III)
١٢.٨	= MPa (σθ) تنش مهادی دیواره توپل
Q_0	= ١٥
$SIGMA_{ACM}$	= ٣٥.٩٩٤٦٢٨١
$SIGMA_{ADM}$	= ٣٣.١٨٠٧٧٧٦٣
$SIGMA_{A}$	= ٣٥.٩٩٤٦٢٨١
Q_{TBM}	= ٦.١٥٩٦٧٤٤٣٦
m	= -٠.١٦٥٩٣٩١٥
$\Omega(\%)$	= ٤٩.٠٢٩٥٨٤٥٦
٢.٤٧٦٨٨٢٩	= سرعت تدوير (ستير/ساعه)
١.٧٤١٨٥	= سرعت بطيئي (ستير/ساعه)
٣٤.٠٨٣٩	= كسر ٥٥٪ (hr/Day)

واحد رعایت شناسی متناسب	Cz	(iii) سازه تول	نمره (Ja')	دسته (Jr')	نمره (Jw)	نمره (Jn)	دسته (Jz)	نمره (Jt)	دسته (Jv)
صیقلی، مسطح	نمره	عدد	زیاد	زیاد	زیاد	زیاد	زیاد	زیاد	زیاد
۰.۵	دسته	دسته	۴	دسته	۰.۵	دسته	۱۵	دسته	۰.۵
قشار ناشی از مجاله توندگی زیاد	فاکتور کاهش	نمره	جریان زیاد	نمره	درجه	نمره	تاخین آب	نمره	تاخین آب
۱۵	دسته	دسته	۰.۵	دسته	۱۵	دسته	درجه	دسته	درجه
سنگ خرد شده	عدد دسته	نمره	۱۵	نمره	۱۵	نمره	تاخین کمی بوده سک در جهت حرفر	نمره	تاخین آب
۲۰	دسته	دسته	۰.۵	دسته	۰.۵	دسته	RQD _o (%)	دسته	RQD _o (%)
۴۶	ضرر خارجی (III)	۱۵	MPa(GC)	مقاومت متاری سک					
۱۲	ضرری راسی (I)		Mpa (150)	تاخین بازنقطه ای					
۱۲۵	درصد تخلخل (n) (%)	۲.۶	gr/cm ²	چگالی سک					
۵	درصد کوارت (q) (%)	۱۵	CLI	تاخین عیم بعد					
۱	نسبت پس اندی - عسوچی (k)	۳۰۰	(III)	محض ارتفاع روباره					
۰.۰۰۳	مقدار Q	-۰.۸	III	شب اویله					
۹۰	اندازه			زاویه سطح نایوسنگی بحرانی ناسطح سند کار (B)					
نا متناسب برای حفاری	نمره								
۲۵۰	طول سنتی (III)								
۱۵.۶	MPa (Gc)								
$Q_0 = ۰.۰۰۳۱۲۵$									
$SIGMA_{cm} = ۱.۰۰۹۸۵۰۵۶۴$									
$SIGMA_{fm} = *$									
$SIGMA = ۱.۰۰۹۸۵۰۵۶۴$									
$Q_{IBM} = ۰.۰۲۷۱۳۹۲۵۸$									
$m = -۰.۷۸۳۷۷۴۷۸۵۴$									
$U(\%) = ۰.۰۰۹۵۰۴۷۳$									
۱۰.۲۸۶.۹	سرعت سند (سنتی ساعت)								
$9.78E-0.5$	سرعت سند (ساعی ساعت)								
۰.۰۰۱۹۵۵	(m/day)								

واحد زمین شناسی مهندسی	Sts2-2	مساز تول (m)	۱۰۲۶۰	۱۰۹۵۰
عدد هواردگی	اندک	شدت	جهت	گمی زبر، موجدار
(Ja')	۱	رتبه	زیری (Jr)	۲
شاخص آب	حفاری خشک یا کمترین جریان	جهت	جهت	تشی شلا . ساختار بسیار محکم
(Jw)	۱	رتبه	تشی (SRF)	۲
شاخص کیفی نوکه سنگ در جهت حفر	RQD _o (%)	عدد دسته	جهت	آردسته درزه + تصادفی
مقاآفت فشاری سنگ	MPa (σc)	۹۰	جهزه (Jn)	۶
شاخص بار نفعه ای	Mpa (f _{ult})	۴.۷	inf (F)	۲۵
جگالی سگ	(γ) gr/cm ³	۲.۵۵	درصد تخلخل (%)	۱۲.۵
شاخص عمر دهنده	CLL	۳۰	درصد کوارتز (%)	۲۵
متوجه ارتفاع روباهه	(III)	۲۵۰	تشی شیخ افقی به عبوری (I)	۱
ثابت اولیه	m	-۰.۱۶	متدار Q	۱۵
زاویه سطح غایوسنگی بحرانی با سطح سنته کار (β°)			جهان	۷۰.۷۶
نا متناسب برای حفاری	جهت			
طول مسیر (m)	۶۹۰			
تشی مقابس دیواره نوکه (f _{ult}) MPa	۱۲.۸			
Q _o	۱۵			
SIGMA _{cIII}	۳۵.۹۹۴۶۲۸۱			
SIGMA _{tIII}	۳۳.۱۸۰۷۷۷۶۳			
SIGMA _{sIII}	۳۵.۹۹۴۶۲۸۱			
OTBM	۶.۱۵۹۶۷۴۴۳۶			
m	-۰.۱۶۵۹۳۹۱۵			
U(%)	۲۴.۹۰۱۷۳۳۰.۹			
سرعت نفوذ (ضریب سافت)	۳.۴۷۵۸۲۹			
سرعت پیشروی (ضریب سافت)	۱.۲۱۳۱۲۵			
پیشروی در راه (cm/Day)	۲۴.۲۶۲۴۹			

۱۴۲۳۰		۱۰۹۵۰		متراز توتل (m)		Gta4		واحد ریاضی شناسی مهندسی	
کمی زبرتا زبر، موجدار	شرح	عدد	تیر	هوایزدہ	شرح	عدد	تیر	عدد هواردگی	(Ja')
۲	رتبه	(J _a)	۰.۷۵	رتبه	(J _{a'})				
تشخیص بلا، ساختار بسیار محکم	شرح	فاکتور کاکشن	حذاری خشک یا کمترین جریان	شرح	شاخص آب				
۲	رتبه	(SRF)	۱	رتبه	(J _w)				
آردسته درزه + تصادفی	شرح	عدد دسته	۹۵	شاخص کافی نوده سنگ در حیث حفر					
۶	رتبه	(J _m)		نوتل (%)					
۴۶	قطر حفاری (m)	۱۵۰	مقاومت قtarی سck (MPa(OC))						
۲۵	دبروی رانس (E)		شاخص بار لطفه ای (Mpa)						
۷.۵	درصد تخلخل (%)	۲.۶	چگالی سک (γgr/cm ³)						
۱۵	(q) (%)	۲۵	شاخص عمر بند CLT						
۱	تمیت شن افقی به سودی (K)	۵۰۰	متوسط ارتفاع رویارویه (m)						
۲۱.۱۱	Q مقدار	-۰.۱۷	تسب اولیه (m)						
۷۹.۶۴	کندو								
نا مناسب برای حفاری	شرح								
زاویه سطح نابرابری سکی بحرانی = انتظار سیمه کار (β°)									
۳۲۸۰ = طول مستو (m)									
۲۶۰ = MPa (σ ₀)									
$Q_0 = 21.11111111$									
$SIGMA_{cm} = ۴۱.۱۲۸۶۱۹۸۲$									
$SIGMA_{tm} = ۰$									
$SIGMA = ۴۱.۱۲۸۶۱۹۸۲$									
$Q_{TBM} = ۱۴.۵۴۳۸۶۰۳۴$									
$m = -۰.۱۶۷۸۲۳۱۲۳$									
$U(\%) = ۲۴.۲۶۵۱۳۶۱$									
سرعت بیرونی (مترا ساعت) = ۲.۹۲۷.۷۶									
مسافت مسیروی (مترا ساعت) = ۰.۷۱۰۲۵۹									
مسروری زمانی (hr/Day) = ۱۴.۲۰۵۱۸									

گزارش آزمایشی					
واحد زمین شناسی مهندسی	نام و نشانه	تاریخ	شماره نمونه (III)	نام	تاریخ
کمی زبر، موجدار	شروع	۱۴۶۸۰	تاریخ	۱۴۲۳۰	نام
۲	رتبه	عدد	دزه (J _a)	الدك	شرح
تشقیق بلا ، ساخته بسیار محکم	فاکتور کاهش	شروع	۱	۱	رتبه
۲	رتبه	تئی	(SRF)	شروع	دزه (J _w)
۲ دسته درزه + تصادفی	تئی	تئی	J _w	۹۰	شروع
۶	رتبه	دزه	تئی	RQD _a (%)	شروع
۴۶	(III)	قطع خطری	۱۵۰	Mpa (6c)	مقاومت فشاری سک
۲۵	m _f (F)	متری داشت	۴.۷	Mpa (150)	شاخن غار نعمت‌الله
۱۲.۵	(II) (%)	در مستطیل	۲.۰۵	g/cm ²	چکالی سک
۲۵	(q) (%)	در مستطیل	۳۰	CLI	شاخن عمر تند
۱	(Ic)	تئی افقی دعوی	۲۵۰	mm	ضویط ارتفاع رویاره
۱۵	Q	معدار	-۰.۱۶	m	شیب اولیه
۴۰.۹۲	نیازه	نیازه			زاویه سطح نایپوستگی بحرانی ناسطح تسلیه کار (β)
نا مناسب برای حفاری	نیازه	نیازه			
خطاب سلسه (III)					
نام آزمایش دیواره نمونه (III)					
Q _d	۱۵				
SIGMA _{Acim}	= ۲۵.۹۹۴۶۲۸۱				
SIGMA _{Aim}	= ۲۳.۱۸۰۷۷۷۶۲				
SIGMA	= ۲۳.۱۸۰۷۷۷۶۲				
QTBM	= ۵.۶۷۸۱۴۶۹۴۸				
m	= -۰.۱۶۵۹۳۹۱۵				
U (%)	= ۳۸.۱۲۲۹۶۲۸۱				
سرعت پیده (متر بر ساعت)	۳.۵۲۲۸۷۸				
سرعت پیده (متر بر ساعت)	۱.۳۴۶۸۲۸				
سرعت پیده (m/hr/Day)	۲۶.۹۲۶۷۶				

۱۴۸۸۰		۱۴۶۸۰		از		متراز تول (III)		Tsh-2		واحد زمین شناسی مهندسی	
صف، مسطح	مسطح	عدد	عدد	هوائی ده	شروع	عدد هوایزدگی	شروع	رتبه	رتبه	شروع آب	تاریخ
۱	رتبه	درزه (Jn')	درزه (Jn')	۰.۷۵	رتبه	(Jz')	درزه (Jw)				
نوحی ضعیف چند بار تکرار می شوند	فاکتور گامی	مسطح	جیریان متوسط	ترن	شروع آب						
۱۰	رتبه	ترن (SRF)	۰.۶۶	رتبه	درزه (Jw)						
آردسته درزه + تصادفی	عدد آردسته	مسطح	شروع	۵۰	شاخن کیفی توده سگ در حیث خفر						
۱۲	رتبه	دوره (Jn)			RQD (%)						
۴۶		قطع حفاری (m)		۵۰	مقاومت فشاری سگ (MPa(Gc))						
۱۵		mnl (F)				شاخن بار نعله ای (Mpa (L50))					
۵		نر بندی خالص (n) (%)		۲.۶		چگالی سگ (g/cm²)					
۲۵		(n) (%)		۴۵		شاخن عمر تغه CLI					
۱		تست تسلی افقی - عوتدی (Ks)		۱۵۰		متوسط ارتفاع روباهه (m)					
۰.۱۲۸		مقتار Q		-۰.۴۴		شب اوله (I)					
۸۷.۰۵	ندازه					زاویه سطح ناپیوستگی بحرانی با سطح سینه کار (β)					
نا متناسب برای غلاری	مسطح										
۲۰۰ = (III)		طول سیمه		۷.۸ = MPa (Gc)		تension شاری دیواره مولن (M)					
$Q_0 = ۰.۳۶۶۶۶۶۶۶۷$											
$SIGMA_{cm} = ۷.۳۸۵۱۱۲۲۲۴$											
$SIGMA_{tm} = ۰$											
$SIGMA = ۷.۳۸۵۱۱۲۲۲۴$											
$QTBM = ۲.۰۸۳۷۱۳۷۵۲$											
$I = -۰.۴۱۰۱۷۶۵۸۶$											
$U(%) = ۶.۹۴۲۹۷۶۳۳۹$											
سرعت بند (سیمه) = ۴.۲۱۷۲۰۲											
سرعت پیروی (سیمه) = ۰.۲۹۹۷۴۲											
سرعت پیروی (سیمه) = ۰.۹۹۴۸۴۷ = (hr/Day) (Gc)											

واحد رعایت سازی مهندسی

۱۴۹۳۰

۱۴۸۸۰

مسار تعزیز (III)

Cz

صیقلی، مسطح	شرح	عدد	زیاد	شرح	عدد	هواردگی
	رتبه	(Jn)		رتبه	(Ja)	
فشار ناشی از مجاہله شوندگی زیاد	شرح	فاکتور کائس	جزیی (SRF)	جزیان زیاد	شرح	شاخص آب
۰.۵	رتبه		رتبه	۰.۵	رتبه	دوره (Jw)
سنگ خرد شده	شرح	عدد دسته	۱۵	شاخص کیفیت توده سنگ در حجم حفر	RQD (%)	بونل (Bn)
۲۰	رتبه	دوره (Jn)				
قطر حفاری (m)		۱۵		مقاومت فشاری سیک (σc)	MPa	
۱۲	inf (E)			شاخص بار نقله ای (Ie)	Mpa	
۱۲.۵	درصد تخلخل (%)		۲.۶	بنایی سیک (γc)	gr/cm³	
۵	درصد کوارتز (%)		۱۵	شاخص غربتینه	CLI	
۱	نسبت سنت افی به عصردی (K)		۳۰۰	متوسط از تفاضع رویاره (m)		
۰.۰۰۳	Q	معدار	-۰.۸	شیب اولیه (m)		
۹۰	اندازه			راویه سطح نایپوستگی بحرانی با سطح سیک (P)		
نا متناسب برای حفاری	شرح					

طول مسیر (m) = ۵۰

تens مهاره دیواره بونل (σb) = ۱۵.۶ MPa

Qo = ۰۰۰۳۱۲۵

SIGMAcm = ۱.۰۰۹۸۵۰۵۶۴

SIGMAtm = *

SIGMA = ۱.۰۰۹۸۵۰۵۶۴

QTBM = -۰.۲۷۱۳۹۲۵۸

m = -۰.۷۸۳۷۴۷۸۵۴

U(%) = ۰.۴۲۴۴۶۵۹۷۹

سرعت نفوذ (مترا ساعت) = ۱۰.۲۸۶۰.۹

عیوب آبروی (مترا ساعت) = ۰.۳۲۳۷۵

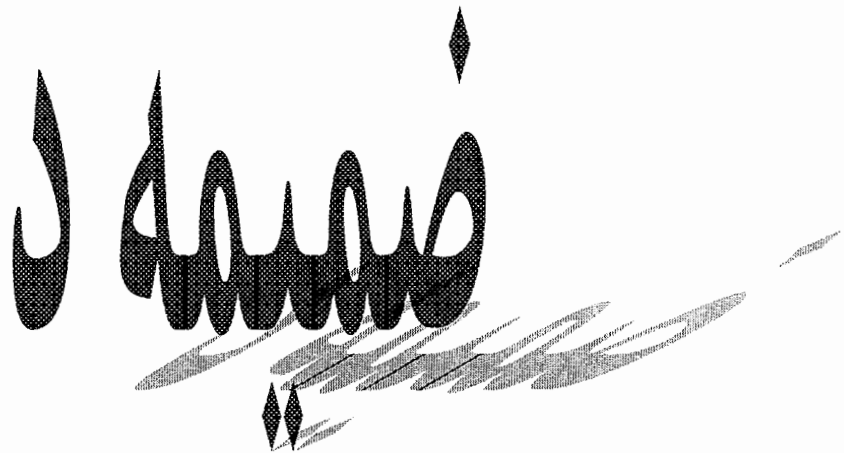
پستروی روزانه (m/Day) = ۰.۶۶۷۴۹۷

۱۵۲۲۰	۱۴۹۳۰	د	متراز دل (III)	Tsh-2	واحد زمین شناسی مهندسی
صفه، مسطح	شرح	عدد	هزاره	شرح	عدد هزارده
۱	روزه	روزه (J _a)	۰.۷۵	روزه	(J _{a'})
نواحی ضعیف چند بار تکرار می شوند	فاکتور گاهش	فاکتور گاهش	جزیران متوسط	شاخن آب	
۱۰	روزه	SRF (T _n)	۰.۶۶	روزه	D _w (J _w)
آردسته درزه + تصادفی	عدد درسته	عدد درزه (J _n)	۵۰	شاخن کیتی توده سنگ در جهت حفر	RQD ₀ (%)
۱۲	روزه				
۴.۶	قطع سناری (III)		۵۰	مقاومت فشاری سنگ	Mpa(GC)
۱۵	بروی راسی (F _r)			شاخص بار نقطه ای (150)	Mpa
۵	درصد متخلخل (%)		۲۶	عکالی سنگ	g/gr/cm ³
۲۵	دودسته کوارتز (%)		۴۵	شاخص عمر تغه	CLI
۱	نسبت دتر افقی به عمودی (K _d)		۱۵۰	میزان ارتفاع رویاره	(III)
۰.۱۳۸	Q	قدار	-۰.۵۵	شب اوله (III)	
۸۳.۰۵	نخرازه			زاویه سطح تاپیوستکی بحرانی با سطح سخته کار (β)	
نامناسب برای حفاری	شرح				
توضیحات					
۳۰۰	طول سنت (III)				
۷.۸	تنش مکانیکی دینامیکی توپل (σ ₀)	Mpa	(σ ₀)		
Q ₀	= ۰.۳۶۶۶۶۶۶۶۷				
SIGMA _{Arm}	= ۷.۳۸۵۱۱۲۲۲۴				
SIGMA _{Atm}	= ۰				
SIGMA _A	= ۷.۳۸۵۱۱۲۲۲۴				
QTBM	= ۲.۰۸۳۷۱۳۷۵۲				
III	= -۰.۴۱۰۱۷۶۵۸۶				
U (%)	= ۵.۲۳۷۰۶۲۳۵۷				
نمودار					
F.۳۱۷۲-۲	نمودار نفوذ (نیترات)				
-۰.۲۲۶-۹۵	نمودار پرسوری از سطح ساخت				
F.۵۲۱۸۹۲	پرسوری رویاره (g/m ³ /Day)				

۱۵۲۳۰	۱۵۲۳۰	هزار تول (m ³)	Cz	واحد رمین سنجی مهندس
نحوه محاسبه				
صیقلی، مسطح	شرط	عدد ذری (Jr)	زیاد	عدد هوازدگی (Ja)
۰.۵	رتبه		۴	رتبه
فشار ناتی از مجاله توننگی زیاد	شرط	فاکتور کاهش (SRF)	جریان زیاد	شاخص آب
۱۵	رتبه	تسل (TS)	۰.۵	درجه (Jw)
سنگ خرد شده	شرط	عدد دسته (Jn)	۱۵	شاخص کتفی توده سنگ در جهت حفر تول (RQD _o %)
۲۰	رتبه	درجه (Jw)		
۴۶	قطعه‌چاقوی (III)	۱۵	MPa (Gc)	مقاومت فشاری سنگ
۱۲	تیروی دانتن (F)		Mpa (f ₅₀)	شاخص باز نقطه‌ای
۱۲.۵	درصد تخلخل (n) (%)	۲.۶	(γ) gr/cm ³	چگالی سنگ
۵	درصد کوارتز (Q) (%)	۱۵	CLI	شاخص عبر تیغه
۱	نسبت تسل افقی به عمودی (K)	۳۰۰	(III)	متوسط ارتفاع رویاره
۰.۰۰۳	مقدار Q	-۰.۸	m	تست اولتی
۹۰	عداد			زاویه سطح نایپوستگی بحرانی با سطح سینه کار (β ^o)
نا متناسب برای غفاری				
۱۰۰ (III)				
۱۵.۶ = MPa (Gc)	تنش مهاری دیواره تول (Gc)			
Q _o = ۰.۳۱۲۵				
SIGMA _{Acm} = ۱.۰۰۹۸۵۰۵۶۴				
SIGMA _{Afm} = *				
SIGMA = ۱.۰۰۹۸۵۰۵۶۴				
QTBM = ۰.۲۷۱۳۹۲۵۸				
QTBm = -۰.۷۸۲۷۷۴۷۸۰۴				
U(%) = ۰.۲۶۳۱۲۷۸۱				
۱۰.۲۸۶۰۹ = سرعت نفوذ (cm/ ساعت)				
۰.۰۰۲۷۰۷ = سمت پیشی (cm/ ساعت)				
۰.۰۵۴۱۳۱ = پیشروی روزانه (cm/hr/Day)				

تاریخ		مترار تول (III)		Mdg	واحد زمین شناسی مهندسی	
۱۵۹۶	ت	۱۵۲۳۰	ز	(III)		
زبر، موجدار	شرح	عده	آندک	شرح	عدد هوازدگی	
۲	رتبه	درجه (Jn)	۱	رتبه	رتبه (Ja')	
نواحی ضیف منفرد (عمق < ۰-۵)	شرح	فاکتور کاوش	جریان متوسط	شرح	ناخص آب	
۲.۵	رتبه	قیمت (SRF)	۰.۶۶	رتبه	درجه (Jw)	
۳ دسته درزه	شرح	عدد دسته	۷۰	ناخص کیفی بوده سگ در جهت حفر		
۹	رتبه	درزه (Jn)		RQD (%)		
۴۶	قطعه خاری (III)		۹۰	مقاومت فشاری سگ MPa (σc)		
۲۲	inf (E)			شاخن بار نعله ای (I50) Mpa		
۲.۵	(II) (%)		۲۸	جگالی سگ gr/cm ²		
۲.۵	(Q) (%)		۱۵	ناخص سرتونه CLI		
۱	نسبت تنش افقی به عمودی (K)		۱۰۰	متوسط ارتفاع روباهه (III)		
۶.۱۶	Q _o مقدار		-۰.۱۷	شیب اولیه (m)		
۷۸.۹۲	نیازه			زاویه سطح نایپوستگی بحرانی با سطح بسته کار (β ^o)		
نامناسب برای حفاری		شرح				
طول مسیر (III)						
۵.۶ = MPa (G)						
Q _o = ۶.۱۶						
SIGMAcm = ۲۴.۷۷۸۱۶۳۲۲						
SIGMAtm = ۰						
SIGMA = ۲۴.۷۷۸۱۶۳۲۲						
QTBM = -۰.۵۴۹۲۲۶۹۵						
III = -۰.۱۴۲۳۷۸۴۲۲						
G (%) = ۴۰.۴۱۰۷۵۳۳۸						
۰.۶۳۶۶۱۱ = سرعت نیزد (متر/ ساعت)						
۲.۵۵۹۶۲۷ = سرعت نیزدی افتخار شافت						
۵۱.۱۹۲۵۵ = سرعت نیزدی افتخار شافت (m/hr/Day)						

واحد زمین شناسی مهندسی	Cz	متراز تول (m)	۱۵۹۶۰	۱۵۹۸۰
صیقلی، مسطح	ترجح	عدد ریزی (Jr)	زیاد	عدد هوایزدگی (Ja')
۰.۵	رتبه	۴	رتبه	درجه (Jw)
فشار ناتی از مچاله توننگی زیاد	ترجح	فاکتور کاهش (SRF)	جزیان زیاد	تachsen آب
۱۵	رتبه	۰.۵	رتبه	درجه (Jw)
سنگ خرد شده	ترجح	عدد دسته (Jn)	۱۵	تachsen کیفی بوده سنگ در جهت حرفر
۲۰	رتبه	درجه (Jn)	۰.۵	توول (%)
۴۶	قطعه حفاری (m)	۱۵	مقاومت فشاری سنگ (MPa(σc))	
۱۲	برخوبی داشتن (F)	۰.۵	تachsen نار تقدیم ای (I50) Mpa	
۱۲.۵	درصد بیان (n) (%)	۲.۶	جگالی سنگ (gr/cm²)	
۵	درصد توأرت (q) (%)	۱۵	تachsen عرب بینه (CLI)	
۱	نسبت نتش افقی به عمودی (K)	۲۰۰	متوسط ارتفاع رویاره (H)	
۰.۰۰۳	مقدار Q	-۰.۸	نسب اولت (M)	
۹۰	شدت	(β)	زاویه سطح نایپوسکی بحرانی ماسطع سه کار (β°)	
نا مناسب برای حفاری				
۲۰	طول مستقر (m)			
۱۵.۶	نتش ماسی دیواره توول (G) MPa			
$Q_0 = ۰.۰۰۳۱۲۵$				
$SIGMA_{cm} = ۱.۰۰۹۸۵۰۵۶۴$				
$SIGMA_{tm} = *$				
$SIGMA = ۱.۰۰۹۸۵۰۵۶۴$				
$QTBM = ۰.۰۲۷۱۳۹۲۵۸$				
$m = -0.7837747854$				
$D(\%) = ۸.۹۸۲۴۷۲۷۴۲$				
۱۰.۲۸۶۰۹	سرعت نفوذ (تریل ساخت)			
۰.۹۲۳۹۴۵	سرعت پرسنی (تریل ساخت)			
۱۸.۴۷۸۹۱	ترخوی دودان (l·hr/Dm)			



مشخصات فنی تجهیزات
Rolling Stock

شرکت MSD

MASCHINEN- UND STAHLBAU DRESDEN

**PROJECT: ROLLING STOCK KARAJ –
TEHERAN WATER TRANSMISSION TUNNEL**

MSD-IDENTIFICATION N° 700331

**TECHNICAL SPECIFICATION
Revision A**

Dresden, 01.09.05

1. TECHNICAL DESCRIPTION OF A MUCK CAR 8 M³ - SIDE TIPPING AND DISCHARGING DEVICE

(NOT REVISED)

See drawing: 7-036-01-000; for discharging device see drawing 7-036-02-000

Volume:	8 m ³
Length:	6.350 mm
Width:	1.500 mm
Height:	1.550 mm
Wheel base:	2.500 mm
Min. Radius of switches:	35 m
Brake:	pneumatic (one axle braked)
Support of the axes:	suspension bearing
Diameter of the wheels:	350 mm
Empty weight:	approx. 6.000 kg
Permissible total weight:	approx. 20.000 kg
Material of barrier:	plate with lug pattern
Connection between the cars:	Willison 1'

The main dimensions are clarified with Herrenknecht AG.

The muck container is detachable on a flat car and is secured against slipping through bedstops. On the edge from the platform are mounted the bedstops.

On each muck container a rubber mat is fixed at the top of one front wall. It protect the tunnel-bottom against dirt.

With above mentioned dimensions of the muck container it has an absolutely maximum capacity of 8 m³ (water)!

Via a cross beam the muck container will after lifting, set down on a bearing support. Through the eccentric arrangement of the load retainer the container tilts automatically. By the lateral procedure of the crane the container tilts and empties themselves. The specific form of the hitch disables the hang out of the cross beam.

2. TECHNICAL DESCRIPTION OF A SEGMENT CAR

(REVISED)

See drawing: 7-036-03-000 A

Length: **3.107 mm**

in use as a double segment car: **6.515 mm**

Width: **1.200 mm**

Height: **1.560 mm (with 3 segments)**

Wheel base: **1.640 mm**

Brake: **pneumatic (one axle braked)**

Min. Radius of switches: **35 m**

Support of the axes: **suspension bearing**

Diameter of the wheels: **250 mm**

Segment Support: **wood (150 mm width)**

Segment per car: **3 pieces**

Empty weight: **approx. 2.000 kg**

Permissible total weight: **approx. 14.000 kg**

Material of barrier: **plate with lug pattern**

Connection between the cars: **Willison 1' on one side**

Coupling with steering rod on the other side

Segment Car is to be used to transport maximum 3 segments. The segments must be uniformly placed on the supports. Segment support holders are integrated into the chassis to provide a secure support for the segments. Onto the side facing the segment it is bolted on a wooden support. This ensures the segments will not be damaged.

Gravity of the two segment supports are nearby the centre of the wheel base.

The height of 1.560 mm is confirm with the back up system clarified with Herrenknecht AG. To reach the max. height of 1.560 mm the wooden layers between two segments should have a max. Thickness of max. 140 mm!

The segment cars are to be used in twin-mode as a double segment car. That design is compatible with the actual back up system of Herrenknecht AG.

3. TECHNICAL DESCRIPTION OF A FLAT CAR

(NOT REVISED)

See drawing: 7-036-04-000

<i>Length:</i>	7.780 mm
<i>Width:</i>	1.500 mm
<i>Height:</i>	460 mm
<i>Wheel base:</i>	3.500 mm
<i>Min. Radius of switches:</i>	35 m
<i>Brake:</i>	pneumatic (one axle braked)
<i>Support of the axes:</i>	suspension bearing
<i>Diameter of the wheels:</i>	350 mm
<i>Empty weight:</i>	approx. 2.900 kg
<i>Permissible total weight:</i>	approx. 20.000 kg
<i>Material of support:</i>	plate with lug pattern
<i>Connection between the cars:</i>	Willison 1'

The main dimensions are clarified with Herrenknecht AG.

These type of flat car is a universal car for cement boxes, comparable boxes, spare parts, other equipment.

The wagons are not equipped with supports for container or boxes.

2 cars will be equipped with stakes (6 pc. each).

4. TECHNICAL DESCRIPTION OF A MENRIDER CAR FOR 10 PERSONS

(NOT REVISED)

See drawing: 7-036-06-000

<i>Seats:</i>	10
<i>Length:</i>	5.525 mm
<i>Width:</i>	1.500 mm
<i>Height:</i>	1.550 mm
<i>Wheel base:</i>	3.500 mm
<i>Min. Radius of switches:</i>	35 m
<i>Brake:</i>	pneumatic (one axle braked)
<i>Support of the axes:</i>	suspension bearing
<i>Diameter of the wheels:</i>	250 mm
<i>Empty weight:</i>	approx. 3.000 kg
<i>Permissible total weight:</i>	approx. 5.000 kg
<i>Connection between the cars:</i>	Willison 1'

The main dimensions are clarified with Herrenknecht AG.

The cabin has a lateral sliding door with safety lock and is completely noise reduced.
While the car is moving, the sliding door must remain closed and locked.

In case of an accident, the windows at the ends of the cabin can be opened.

5. TECHNICAL DESCRIPTION OF A PEA GRAVEL CAR 3,4M³ (NOT
REVISED)

See drawing: 7-036-07-000

<i>Length:</i>	7.780 mm
<i>Width:</i>	1.500 mm
<i>Height:</i>	1.460 mm
<i>Wheel base:</i>	3.500 mm
<i>Min. Radius of switches:</i>	35 m
<i>Brake:</i>	pneumatic (one axle braked)
<i>Support of the axes:</i>	suspension bearing
<i>Diameter of the wheels:</i>	350 mm
<i>Empty weight:</i>	approx. 5.900 kg
<i>Permissible total weight:</i>	approx. 12.000 kg
<i>Connection between the cars:</i>	Willison 1'
 <i>container length:</i>	4.500 mm
<i>container width:</i>	1.200 mm
<i>container height:</i>	1.000 mm
<i>Lower outlet of container:</i>	manual operated side outlet flaps

The pea gravel container is an open top container, is detachable on a flat car and is secured against slipping through bedstops.

Unloading technology and size of the container is clarified with Herrenknecht AG.

6. TECHNICAL DESCRIPTION OF A RAIL, PIPE CAR

(REVISED)

See drawing: 7-036-08-000 A

<i>Length:</i>	12.500 mm
<i>Width:</i>	1.500 mm
<i>Height:</i>	500 mm
<i>distance between the bogies:</i>	7.000 mm
<i>internal wheel base:</i>	1.200 mm
<i>Min. Radius of switches:</i>	35 m
<i>Brake:</i>	pneumatic
<i>Support of the axes:</i>	suspension bearing
<i>Diameter of the wheels:</i>	350 mm
<i>Empty weight:</i>	approx. 8.000 kg
<i>Permissible total weight:</i>	approx. 60.000 kg
<i>Material of support:</i>	plate with lug pattern
<i>Connection between the cars:</i>	Willison 1'
<i>Chassis:</i>	with bogie

The main dimensions are clarified with Herrenknecht AG.

These type of flat car is a universal transport car for long equipment. as rails, pipes a.s.o. up to a length of approx. **12,00 metres**.

Car will be equipped with stakes (8 pc.).

7. TECHNICAL DESCRIPTION OF SWITCH PORTAL INSTALLATION

(NOT REVISED)

See drawing: 7-036-10-000

Type of rails: S 33
Gauge: 750 mm
Length: 10.000 mm
Radius of switch: 35 m

- without base frame
- without switchman

8. TECHNICAL DESCRIPTION OF CALIFORNIA SWITCH MOVEABLE (NOT REVISED)

See drawing: 7-036-11-000

Gauge:

750 mm

Maximum permissible wagon width:

approx. 1.300 mm

Total length:

approx. 166 m

Maximal length of train:

approx. 120 m

Points radius:

approx. 40 m

Min. Radius of switches:

40 m

Slope:

approx. 0,137%

Total weight:

approx. 78 to

Type of rail:

S33

switchman:

manual

Switch operation:

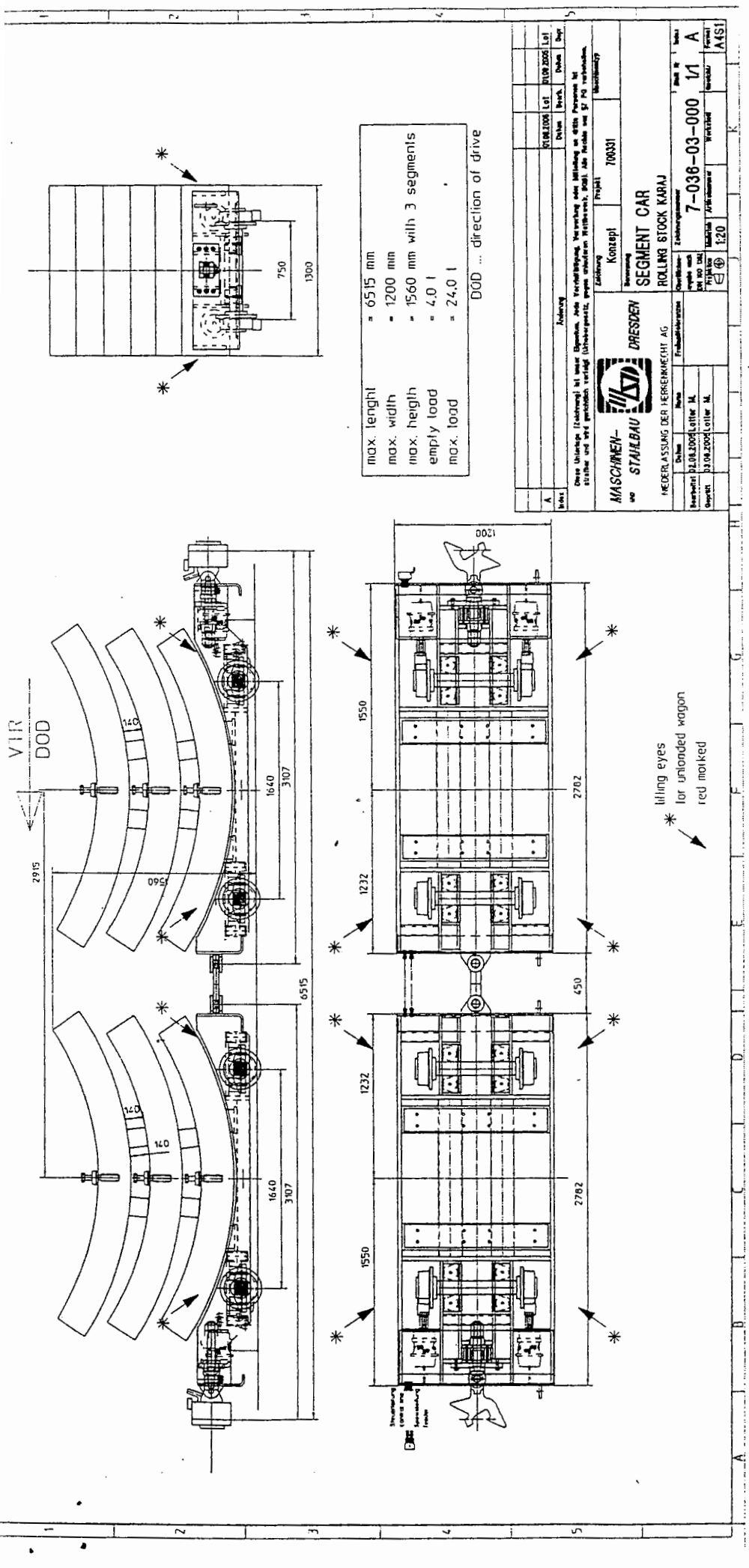
In load-condition the construction is supported directly on the bottom-segment and on the rails.
The approach ramps lie on the rails of the train track installed in the tunnel.

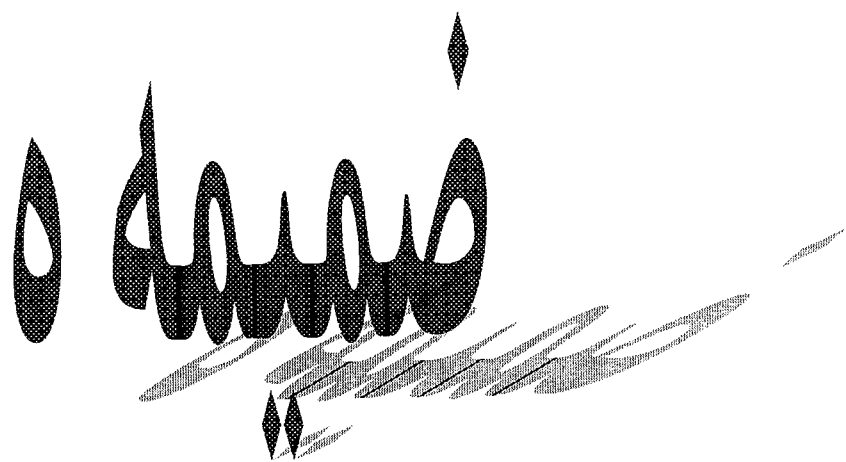
Move operation:

To traverse the California the switch will be lift with a pneumatic lifting device.

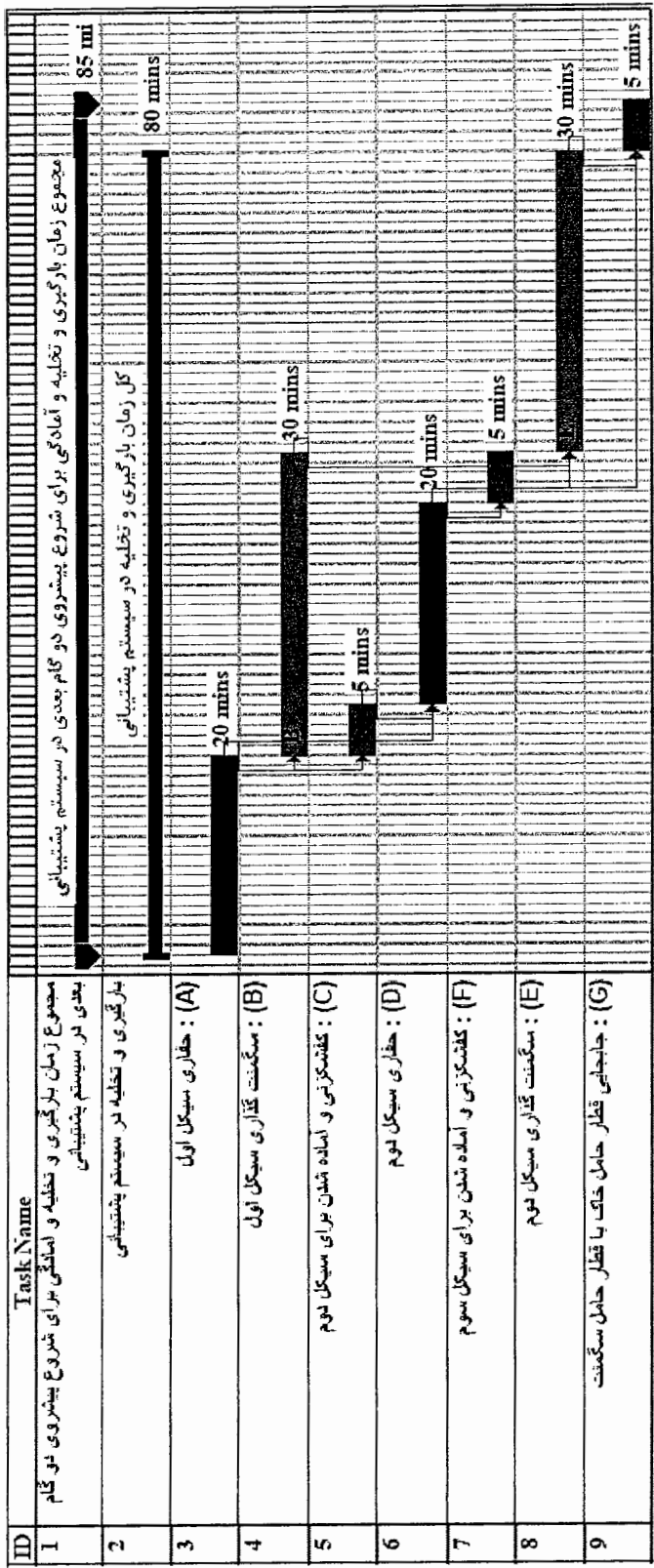
The lifting operation for example can be done by the compressor from the tunnel locomotive.

Areas between the running and safety rails are covered with walkable plates with lug pattern.

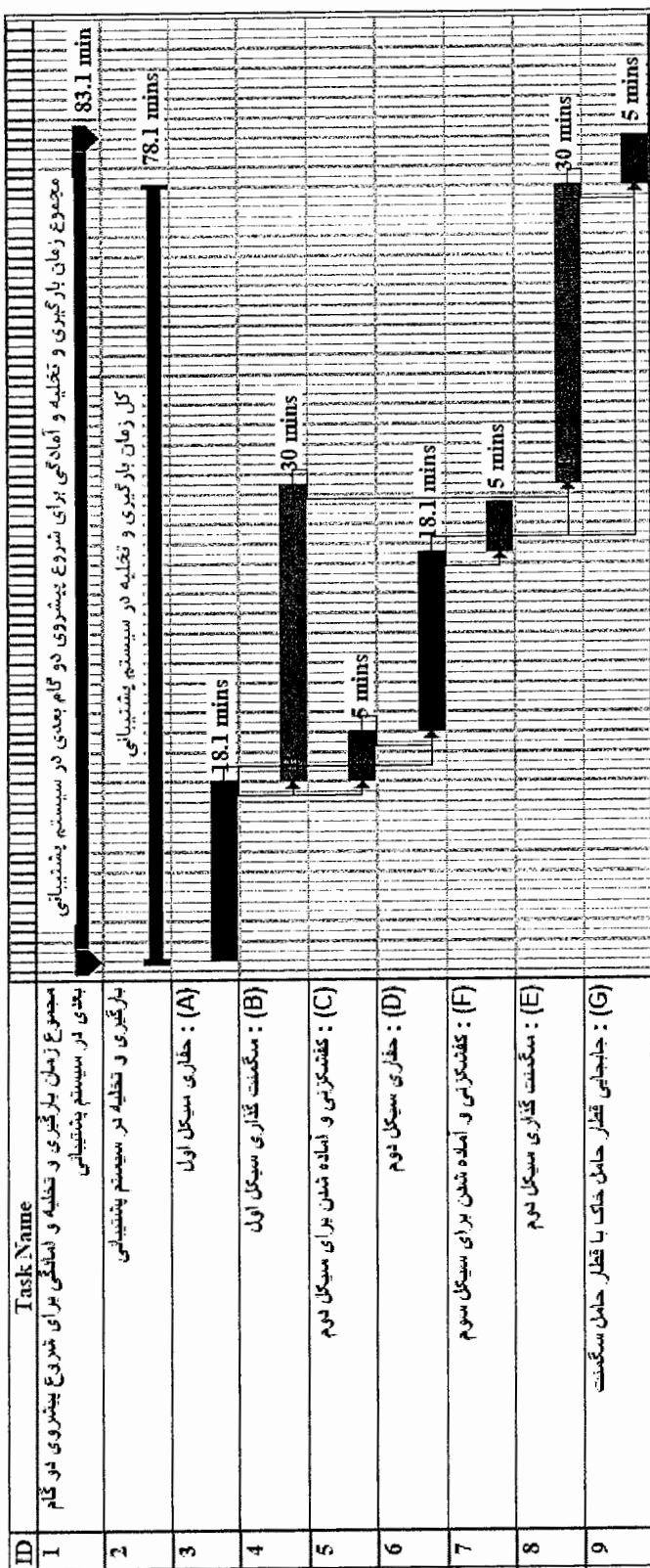




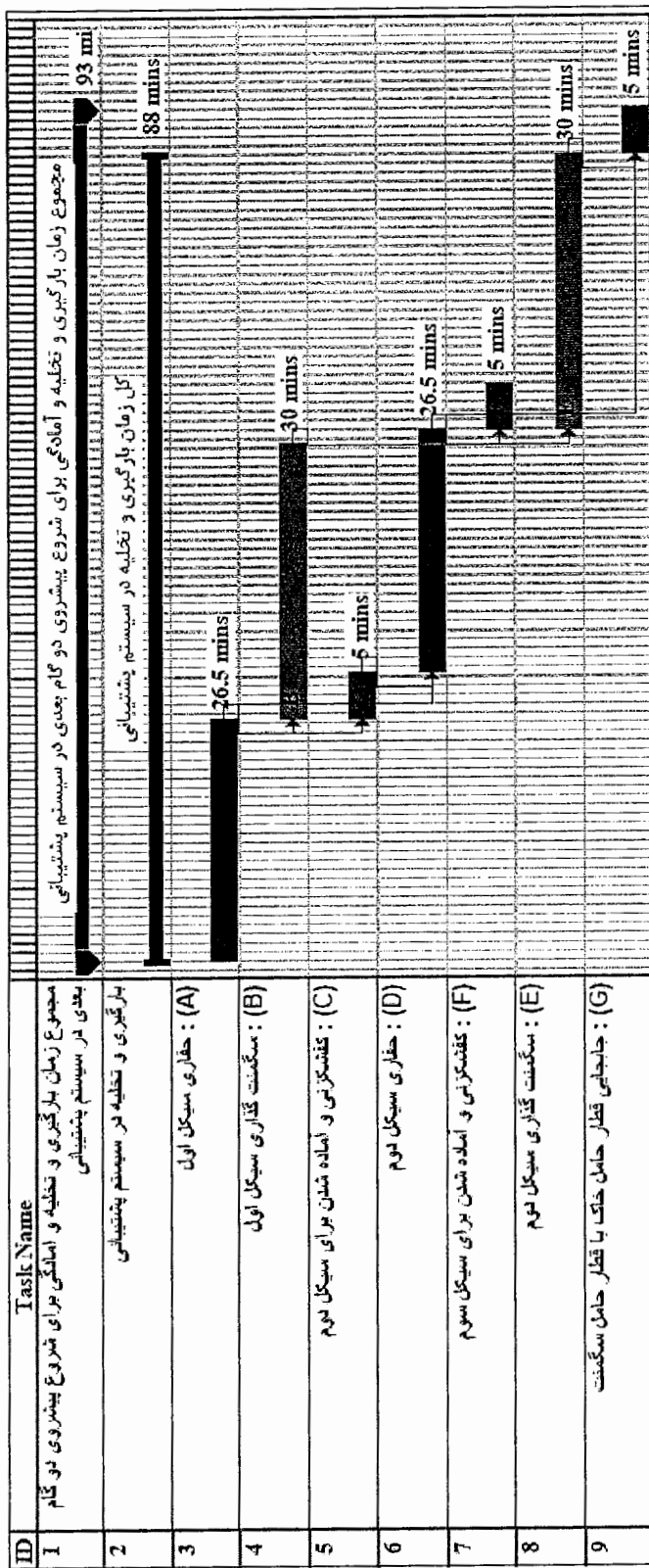
نمودارهای گانت و CPM
در سیستم پشتیبانی
برای هر واحد زمین شناسی مهندسی



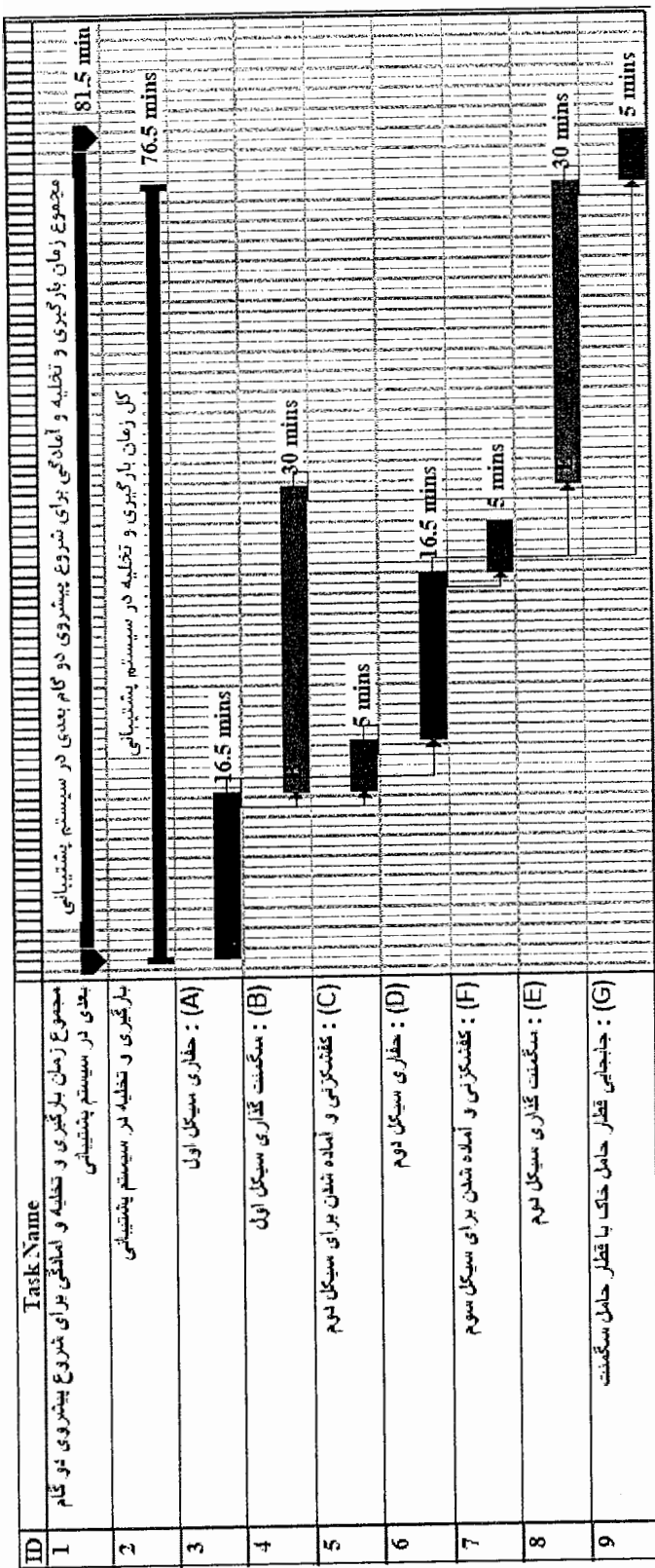
شکل ۱-۱ - نمودار گانت فعالیتهای انجام شده برای ۲ گام پیشروی با در نظر گرفتن زمان حفاری در واحد Gta2 (حالات ۱)



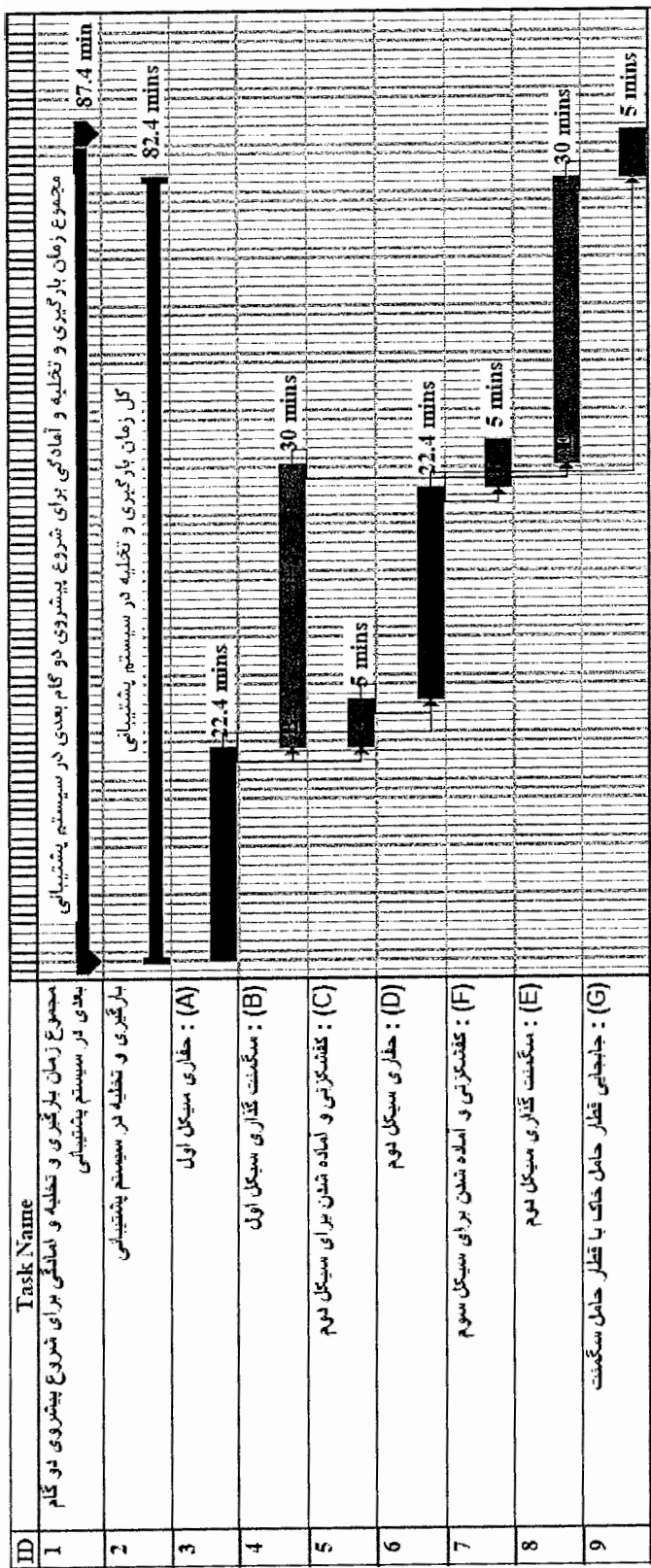
شکل ۵-۲-نمودار گانت فعالیتهای انجام شده برای ۲ گام پیشروی با در نظر گرفتن زمان حفاری در واحد Gta3 (حالات)



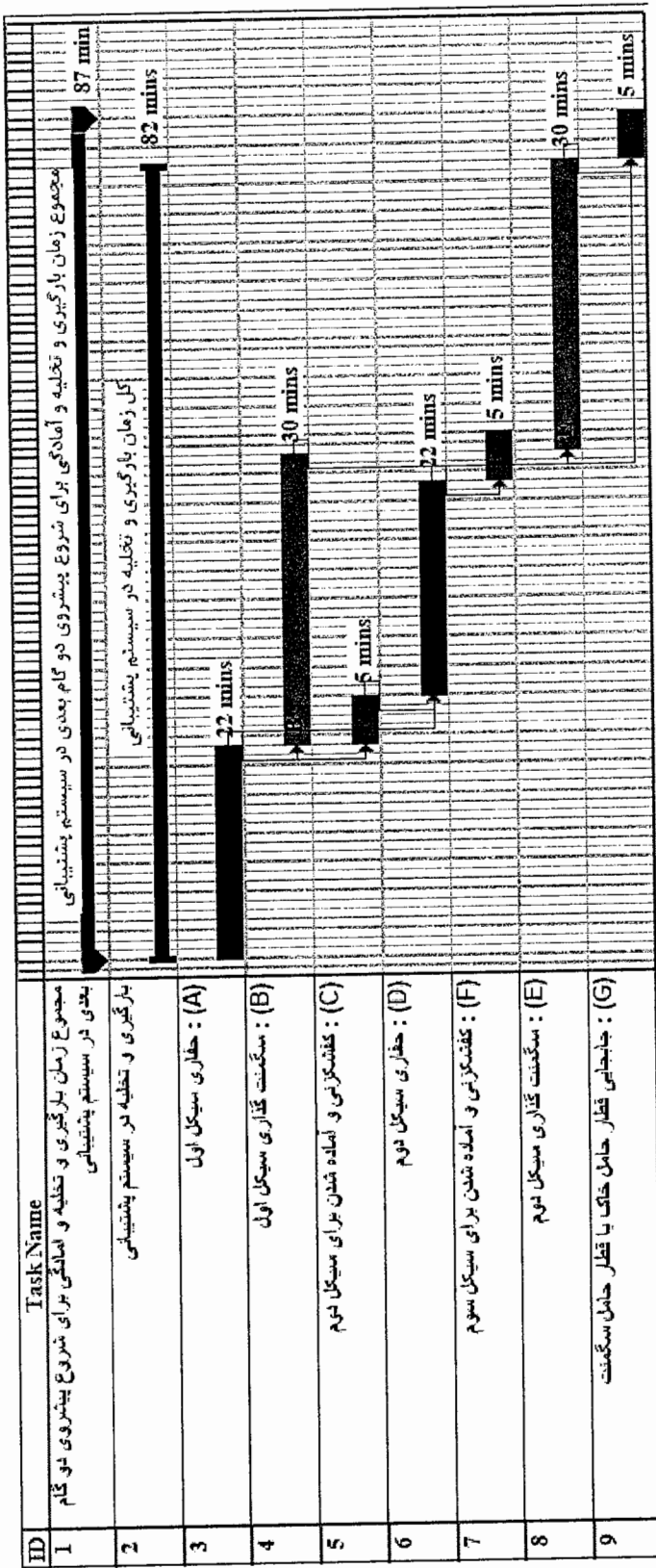
شکل ۵ - ۳ - نمودار گانت فعالیتهای انجام شده برای ۲ گام پیشروی با در نظر گرفتن زمان حفاری در واحد ۴(Gta4(حالات ۱)



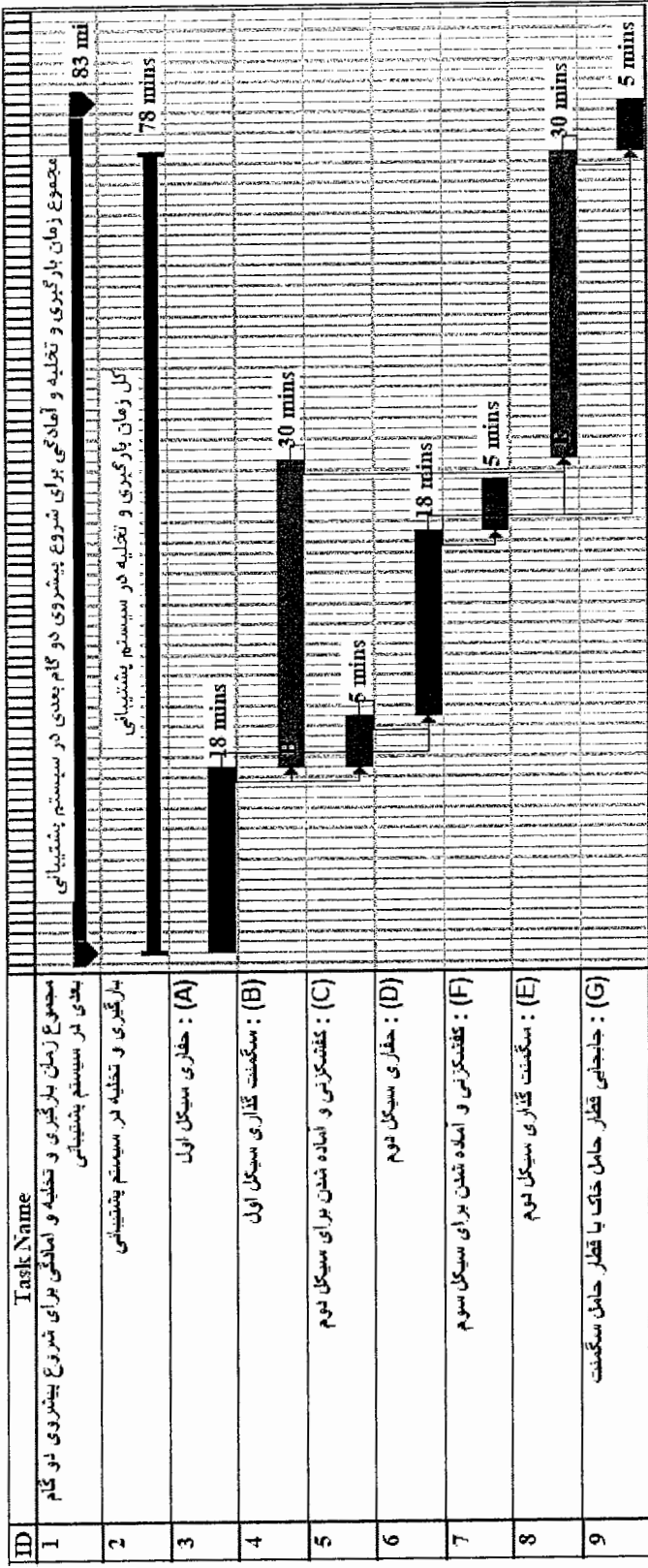
شکل ۴-۴ - نمودار گانت فعالیتهای انجام شده برای ۲ گام پیشروی با درنظر گرفتن زمان حفاری در واحد 1Sts1(حالات ۱)



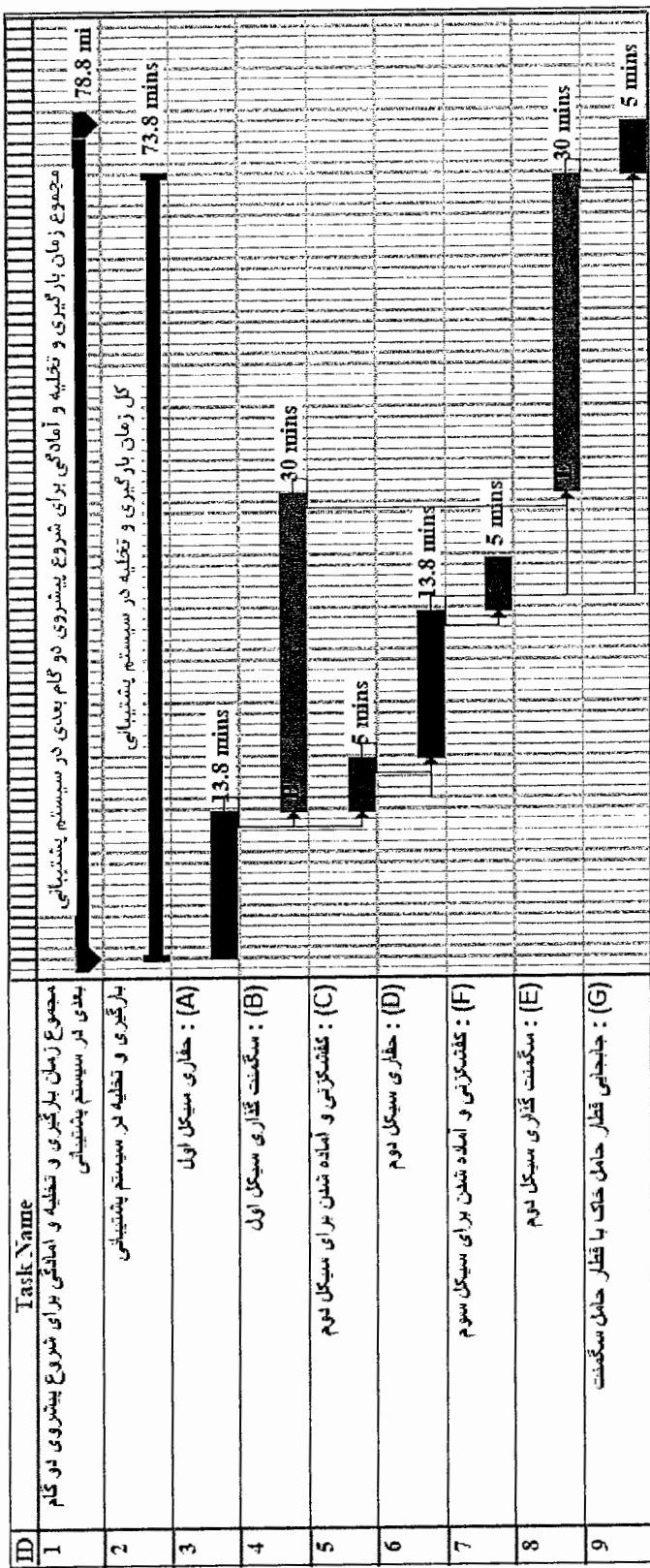
شکل ۵-۵-نمودار گانت فعالیتهای انجام شده برای ۲ گام پیش روی با در نظر گرفتن زمان حفاری در واحد 2Sits2(حالات ۱)



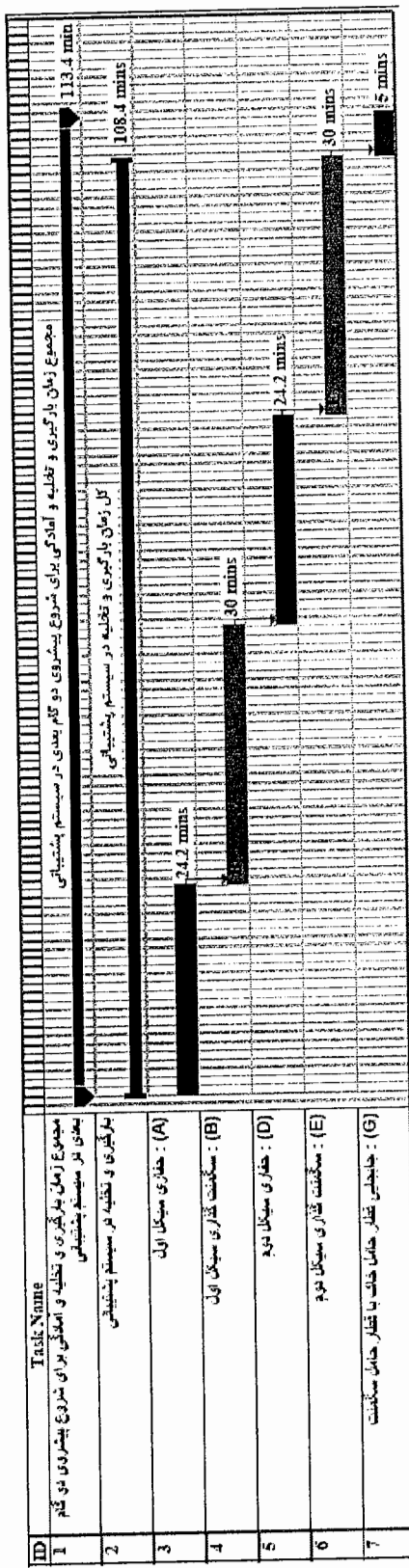
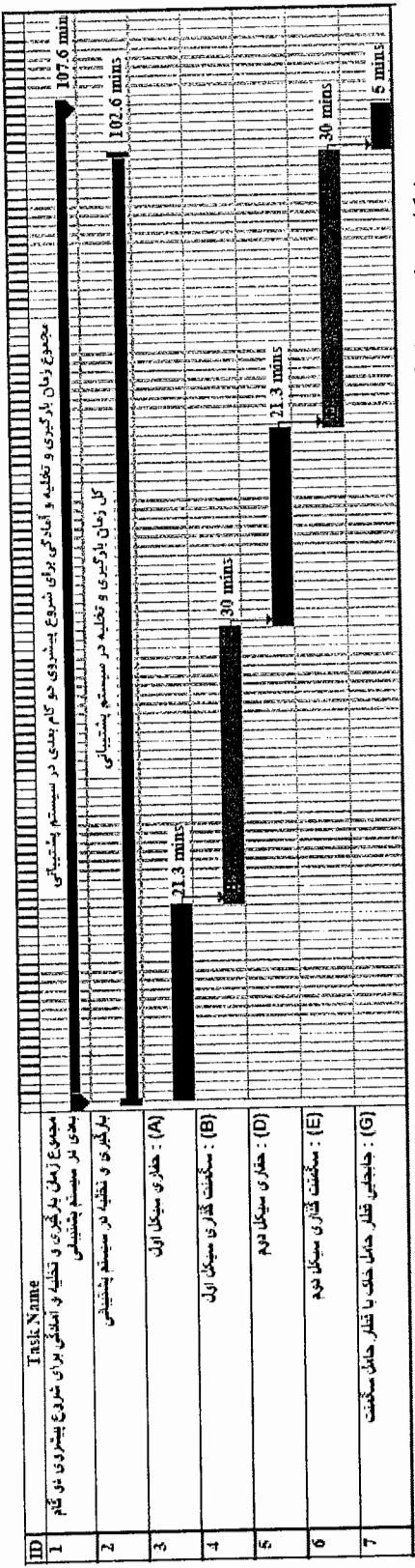
شکل ۵-۶- نمودار گافت فعالیتهای انجام شده برای ۲ گام پیشروی با در نظر گرفتن زمان حفاری در واحد ۳-۲-STS (حالت ۱)

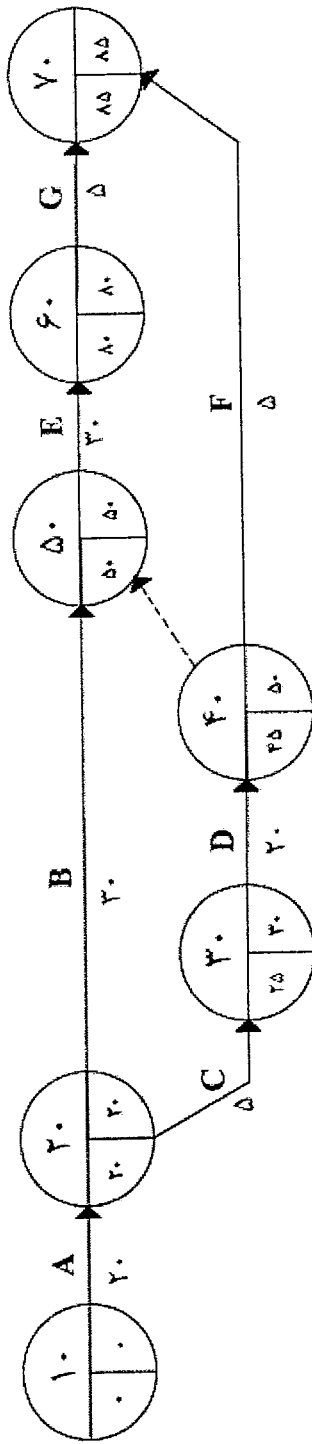


شکل ۶-۷ - نمودار کانت فعالیتهای انجام شده برای ۲ گام پیششروع با در نظر گرفتن زمان حفاری در واحد Tsh(حالات ۱)

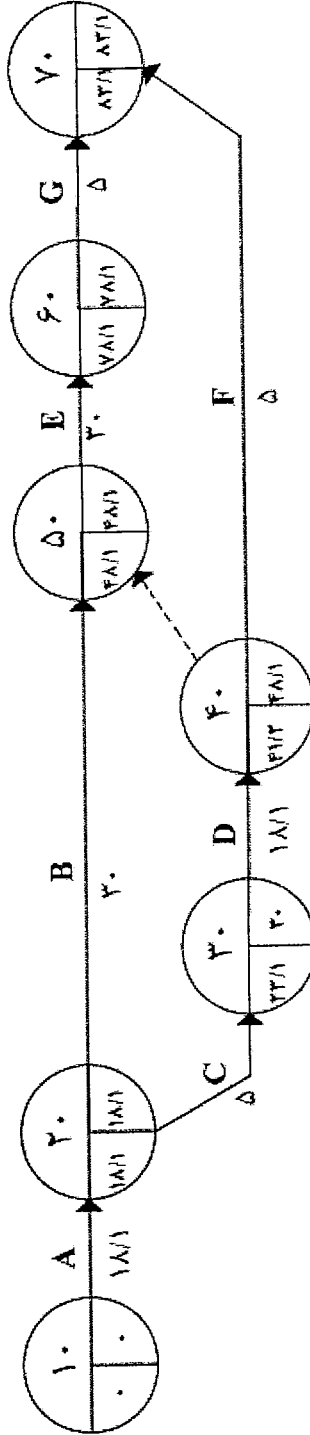


شکل ۵-۸- نمودار گذت فعالیتهای انجام شده برای ۲ کام پیشروی با در نظر گرفتن زمان حفاری در واحد هجده ساعت (۱)

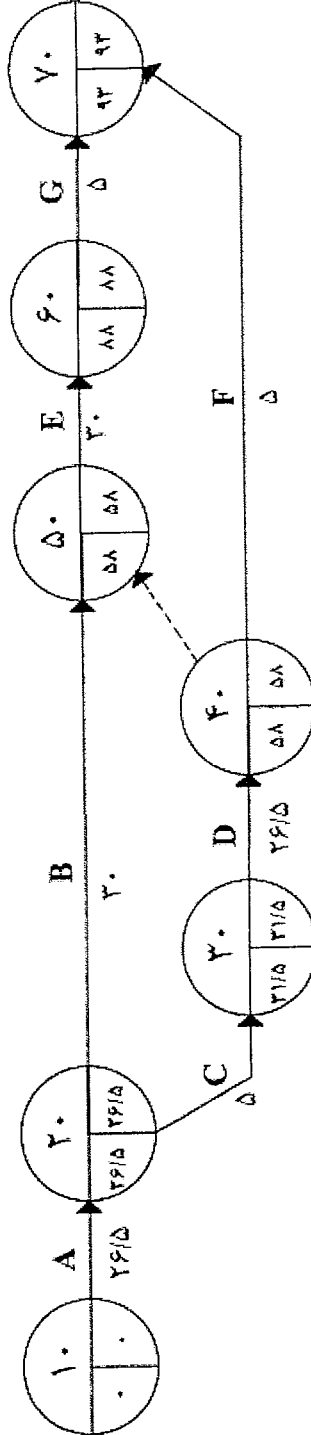




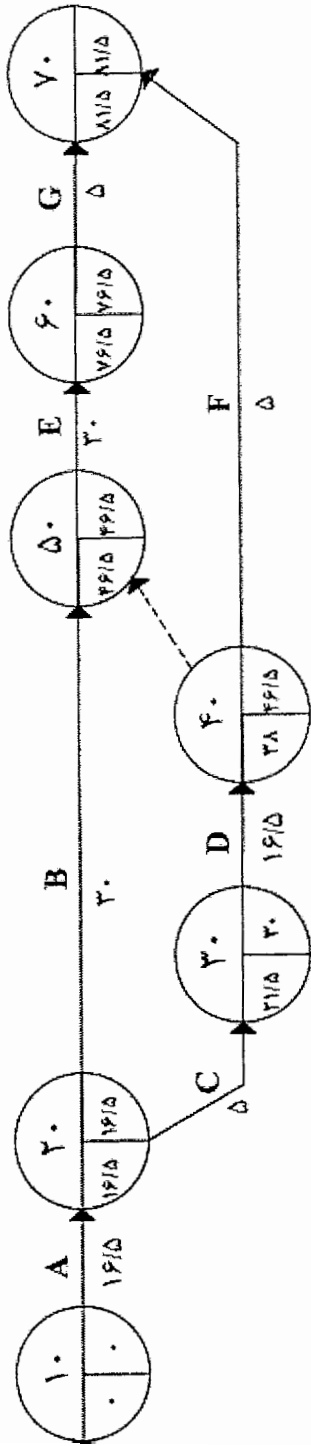
شکل ۵-۱۱- نمودار CPM فعالیتهای انجام شده برای ۲ گام پیشروی با درنظر گرفتن زمان حفاری در واحد Gta2 (حالت ۱)



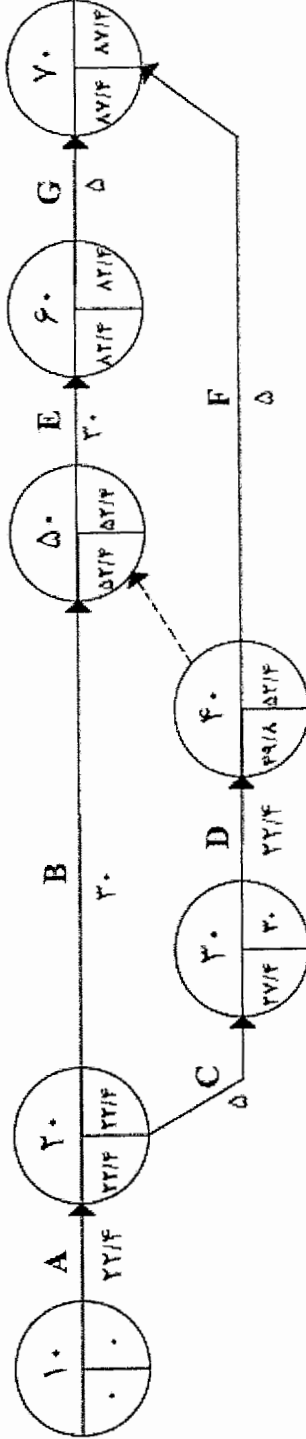
شکل ۵-۱۲- نمودار CPM فعالیتهای انجام شده برای ۲ گام پیشروی با درنظر گرفتن زمان حفاری در واحد Gta3 (حالت ۱)



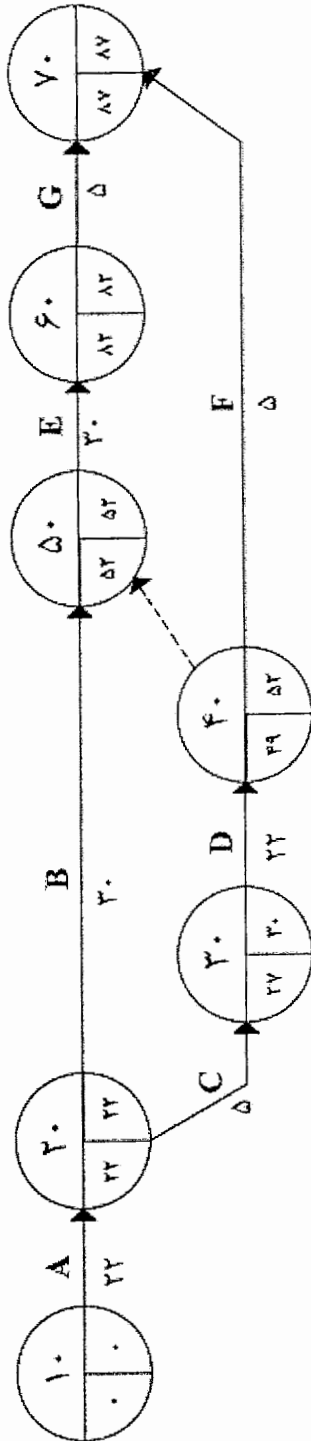
شکل ۵-۱۳- نمودار CPM فعالیتهای انجام شده برای ۲ گام پیشروی با درنظر گرفتن زمان حفاری در واحد Gta4 (حالت ۱)



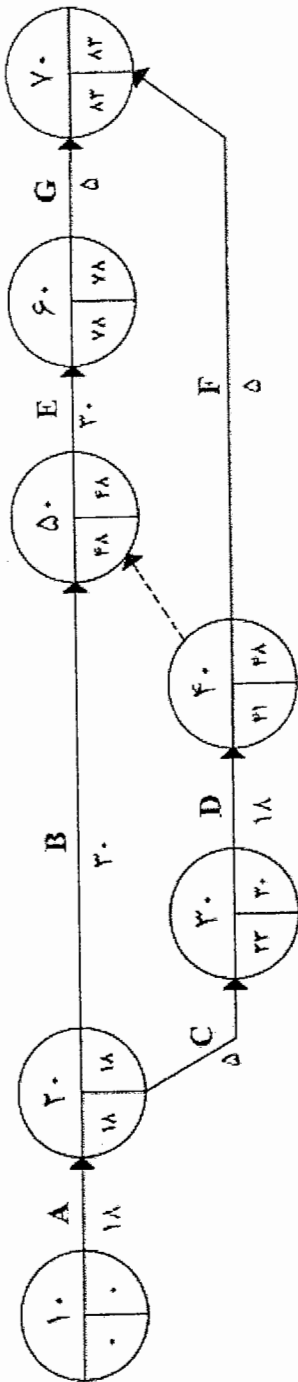
شکل ۵-۱۴ - نمودار CPM فعالیتهای انجام شده برای ۲ گام پیشروی با درنظر گرفتن زمان حفاری در واحد ۱ (حالات ۱)



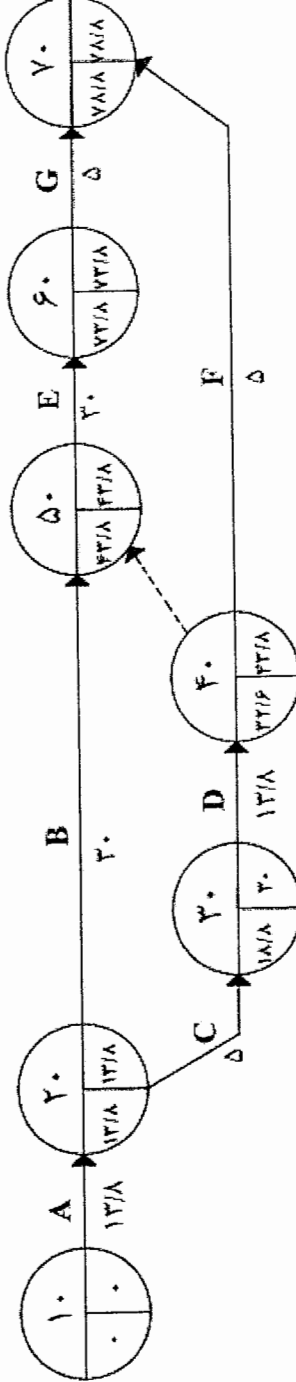
شکل ۵-۱۵ - نمودار CPM فعالیتهای انجام شده برای ۲ گام پیشروی با درنظر گرفتن زمان حفاری در واحد ۲ (حالات ۱)



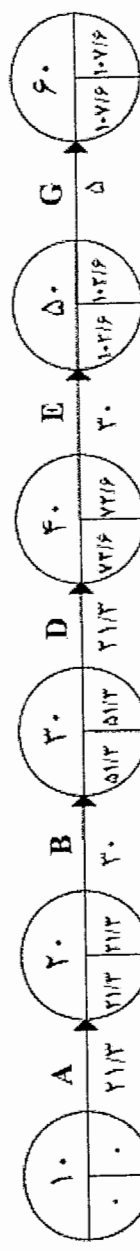
شکل ۵-۱۶ - نمودار CPM فعالیتهای انجام شده برای ۲ گام پیشروی با درنظر گرفتن زمان حفاری در واحد ۳ (حالات ۱)



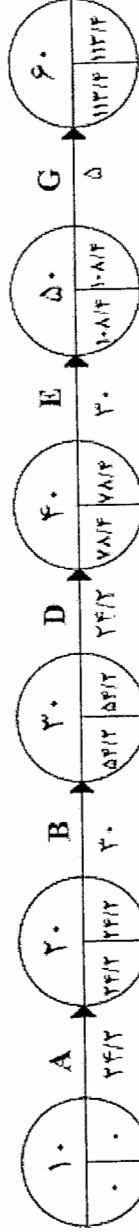
شکل ۵-۱۷- نمودار CPM فعالیتهای انجام شده برای ۲ گام پیشروی با در نظر گرفتن زمان حفاری در واحد Tsh (حالت ۱)



شکل ۵-۱۸- نمودار CPM فعالیتهای انجام شده برای ۲ گام پیشروی با در نظر گرفتن زمان حفاری در واحد Mdg (حالت ۱)



شکل ۵-۱۹- نمودار CPM فعالیتهای انجام شده برای ۲ گام پیشروی با در نظر گرفتن زمان حفاری در واحد Gtal (حالت ۲)



شکل ۵-۲۰- نمودار CPM فعالیتهای انجام شده برای ۲ گام پیشروی با در نظر گرفتن زمان حفاری در واحد Cz (حالت ۲)



Shahrood University of Technology
Faculty of Mining and Geophysics

Transportation design for water conveyance tunnel during
performance from Amirkabir dam to Tehran water
refinery No.6

Master of Science in Mining Exploitation Engineering

Student:

Ali Tabrizi

Supervisors:

Dr. M. Ataie
Dr. R. Kakaie

Consultant:

M. karimi

June 2006